

OPCHAIN-E&G

OPTIMIZING THE VALUE CHAIN

ELECTRICITY & GAS
SUPPLY CHAIN OPTIMIZATION

Versión
Actualizada:

Fecha
Documento:
10/03/2018



OPCHAIN-E&G

IS A COMMERCIAL OPTIMIZATION SOFTWARE PRODUCED BY DECISIONWARE

OPTEX Mathematical Modeling System - Chief Scientist DecisionWare International Corp. (OPTEX MMS 374838-456059)

OPCHAIN-E&G

OPTIMIZING THE VALUE CHAIN

ELECTRICITY & GAS SUPPLY CHAIN OPTIMIZATION



Powered by

Think the mathematical model and  will make the software for you

Aceptar

Usuario E&G

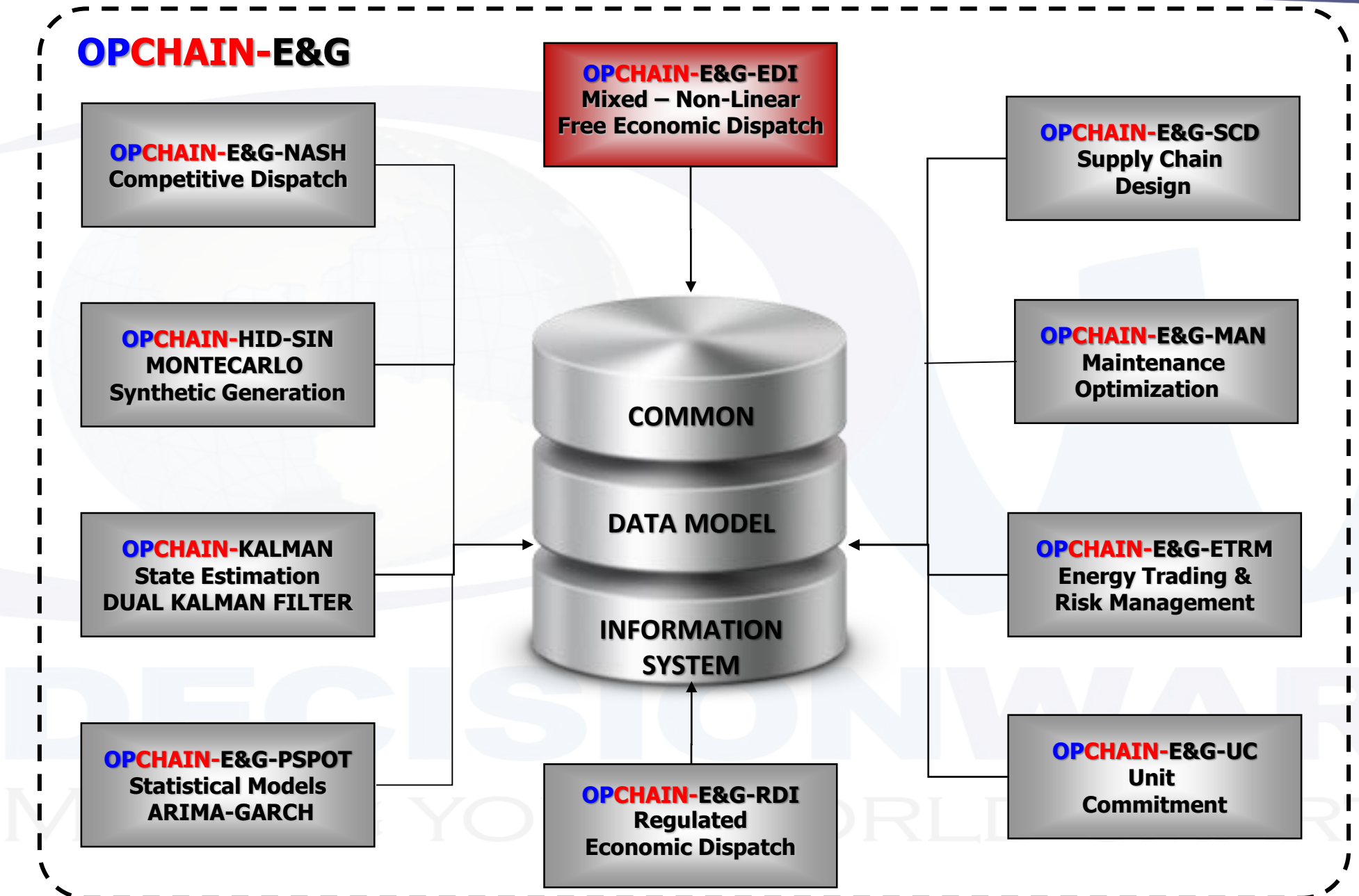
Clave

Cambiar Clave

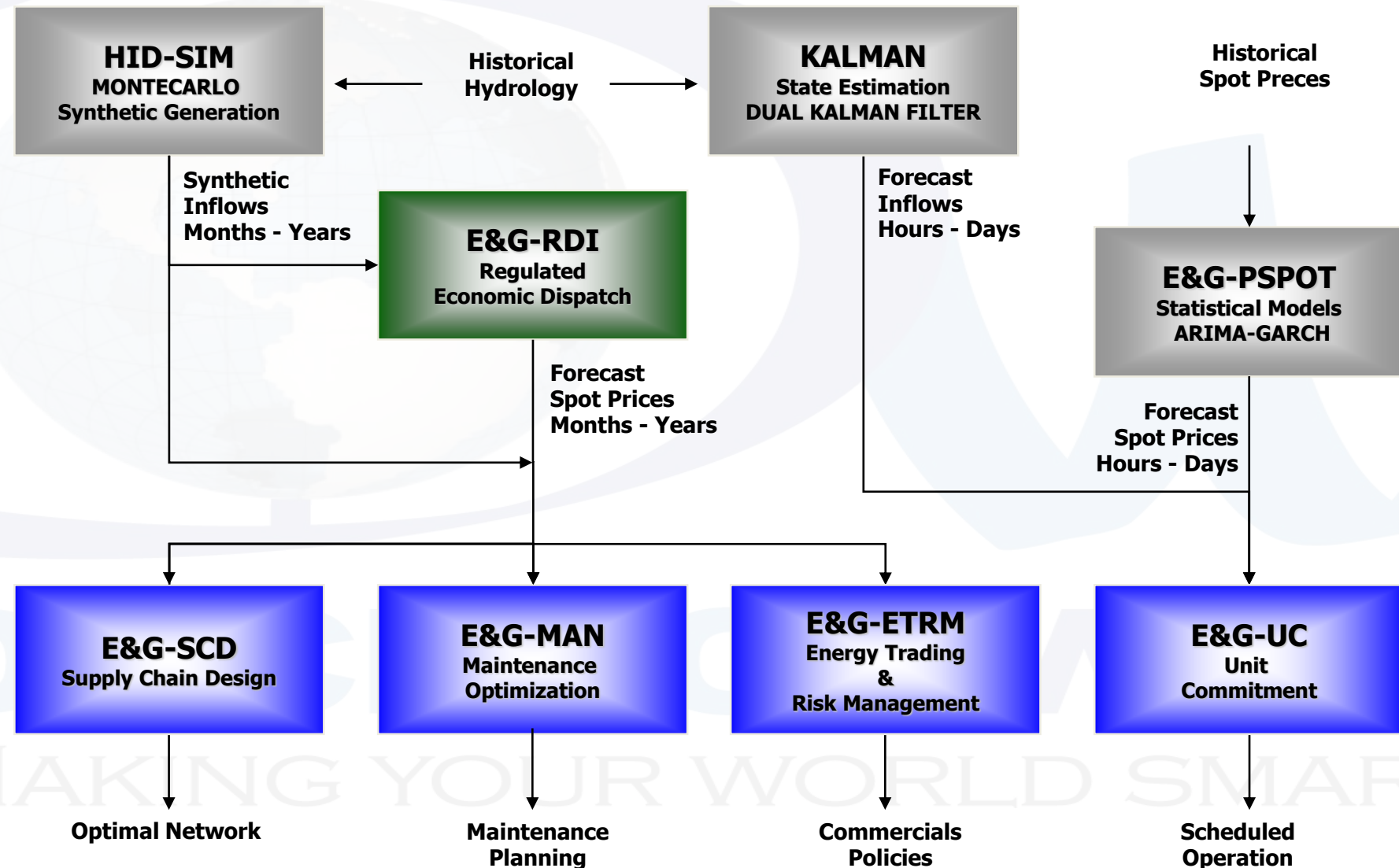
Nueva Clave

Cancelar

| OPCHAIN-E&G - MATHEMATICAL MODELS | |
|--|--|
| Model | Description |
| OPCHAIN-E&G | The central model OPCHAIN-E&G corresponds to the clearance system generating plants which can be used by two types of agents for multiple purposes. Generically this model has been called OPCHAIN-E&G (Hydro-Thermal Simulation-Gas) and based on the same multiple models are built for specific purposes. The theoretical support of this model OPCHAIN-E&G gives rise to three variations of the model according to the economic concepts that support modeling. |
| EDI | Economic (minimum cost): delivery of plants conventional office minimizes the cost of operation of the interconnected system |
| | Economic Regulated: Delivery of plants that minimizes the cost of operation of the interconnected system and includes representatives of regulatory aspects of the electricity market being simulated. |
| | Cournot-Nash equilibrium: Delivery of plants oriented to the simulation of competitive electricity markets with agents that have the ability to influence their decisions on transactions occurring in the market. |
| | Unit Commitment associated with operational planning (short term) decisions related to delivery plants on a daily basis. Respect all non-linear constraints that are part of the delivery. |
| | Integrated simulation of economic dispatch plus financial modeling (ALM). Oriented to use in valuation of electric assets. |
| STRATEGIC PLANIFICATION | |
| SCD | Associated with strategic planning (long-term) decisions related to designing the supply chain, in relation to capacity of reservoir, transfers, power plants and other elements of an electrical system. |
| TACTICAL PLANIFICATION | |
| ETRM | Energy Trading and Risk Management |
| MAN | Oriented policy making preventive maintenance of multiple central generation plants. It can be applied to all plants in a region or a national grid. |
| OPERATIVE PLANIFICATION | |
| UC | Unit Commitment associated with operational planning (short term) decisions related to office plants on a daily basis. |
| HID-SIM | Synthetic generation of water intake based on a model of Fiering-Matalas type. |
| KALMAN | Projected short-term hydrological contributions via a Dual Kalman Filter Dual |
| PSPOT | Projected electricity prices short-term competitive markets through ARMAX-GARCH models |



OPCHAIN-E&G MODELS CONNECTIVITY



OPCHAIN-E&G

IS A COMMERCIAL OPTIMIZATION SOFTWARE DEVELOPED USING OPT Σ X MMS

OPTEX Mathematical Modeling System - Chief Scientist DecisionWare International Corp. (OPTEX MMS 374838-456059)

OPCHAIN-E&G

OPTIMIZING THE VALUE CHAIN

ELECTRICITY & GAS SUPPLY CHAIN OPTIMIZATION



Powered by

Think the mathematical model and  OPT Σ X will make the software for you

Aceptar

Usuario

E&G

Clave

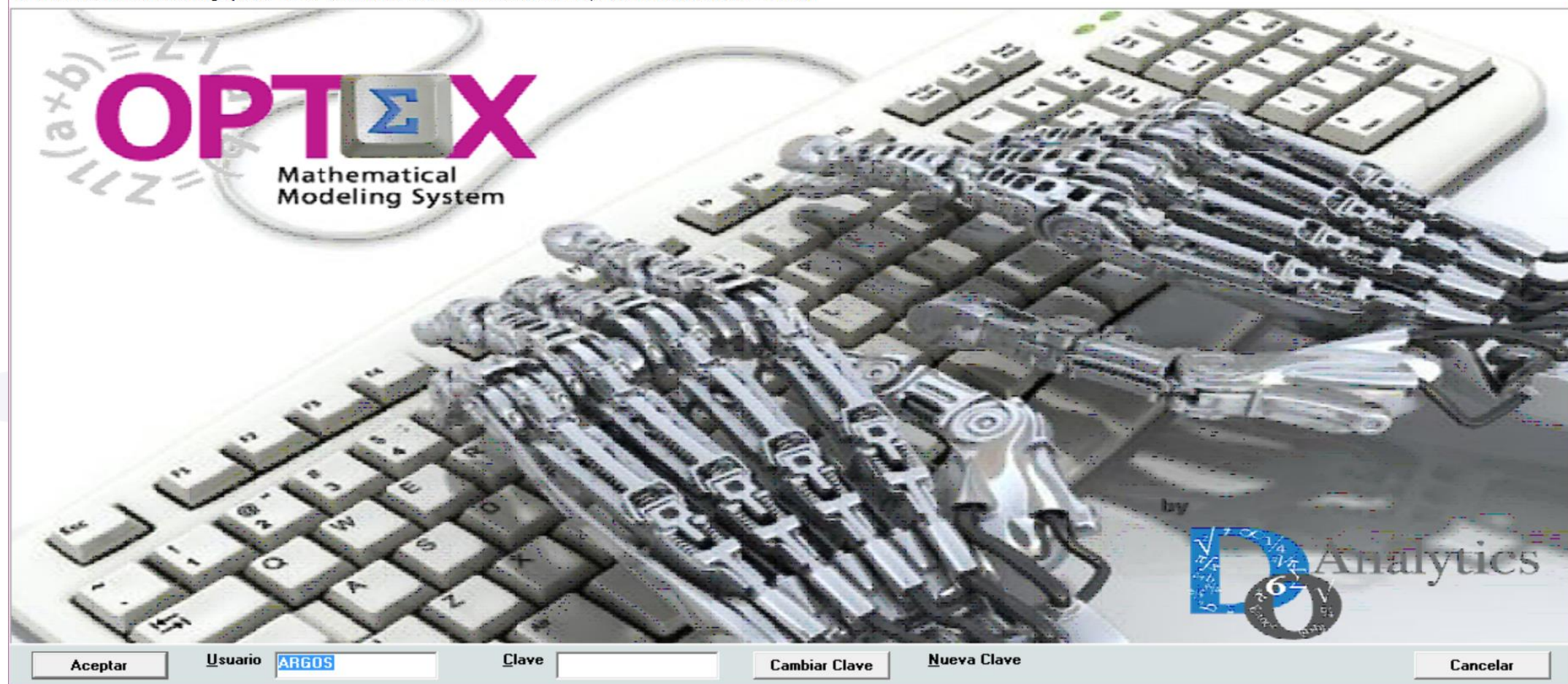
Cambiar Clave

Nueva Clave

Cancelar

**OPTEX MATHEMATICAL MODELING SYSTEM
IS A COMMERCIAL OPTIMIZATION TECHNOLOGY
PRODUCED BY DO ANALYTICS
(A SPIN OFF COMPANY OF DECISIONWARE)**

OPTEX Mathematical Modeling System - Chief Scientist DecisionWare International Corp. (OPTEX MMS 374838-456059)



ALGEBRAIC MODEL

$$\frac{x^3 - y^3}{\sqrt{z}} = 2 \sqrt{\frac{(x^a - y^b)(3z + 2x - y^2)}{a^3 + b^3}}$$

$$\sqrt{\frac{\alpha^4 + \frac{1}{2}b^4}{y^4}} \cdot \frac{z^3}{\alpha^3} = \frac{(\alpha^2 + b^2 + x^2 + y^2)(x^3 - b^3)}{\sqrt{3x - 2y^3 - z^2}}$$

$$\frac{3}{2} \sqrt{\frac{(2xy)^2 \cdot (3ab + 3x)^3}{x^2 y^2}} = \frac{5x^2 + 3y^2 - a^2 - b^2}{z^2 a^2 b^2}$$

A large red arrow pointing to the right, indicating the direction of the next section.

MODEL IN MS-WORD

| PARÁMETROS | | | | |
|--------------------------------|---|------------------------|------------------|-------|
| Parámetro | Descripción | Unidad | Tabla Referencia | Campo |
| CTMI_{ud} | Costo de inversión de referencia mínimo si se instala un biodigestor con tecnología td | \$ | MAE_TBD | CTMI |
| CIFA_{ud,tr} | Costo de inversión asociado al tramo tr si se instala un biodigestor con tecnología td | \$ | TBD_TCI | CIFA |
| FCTD_{ud,td} | Factor de ajuste de costos de inversión para la tecnología td en el sitio ud | | UDB_TBD | FCTD |
| CIMI_{ud,td} | Costo de inversión de referencia mínimo si se instala un biodigestor con tecnología td en el sitio ud . Se calcula con base en la siguiente fórmula: | \$ | | |
| | CIMI_{ud,td} = FCTD_{ud,td} × CTMI_{td} | | | |
| CTVB_{ud,td,tr} | Pendiente del tramo tr para el costo de inversión variable de un biodigestor con tecnología td en el sitio ud . Se calcula con base en la siguiente fórmula: | \$/m ³ .dia | | |
| | CTVB_{ud,td,tr} = FCTD_{ud,td} × (CIFA_{ud,tr+1} - CIFA_{ud,tr}) / (CALT_{ud,tr+1} - CALT_{ud,tr}) | | | |
| CAMI_{td} | Capacidad de procesamiento mínima de un biodigestor con tecnología td | m ³ .día | MAE_TBD | CAMI |
| CALT_{td,tr} | Capacidad de procesamiento asociada al tramo tr para un biodigestor con tecnología td . | m ³ .día | TBD_TCI | CALT |



LOAD EXCEL



LOAD OPTEX







CODE GENERATION INCLUDING LARGE SCALE METHODOLOGIES

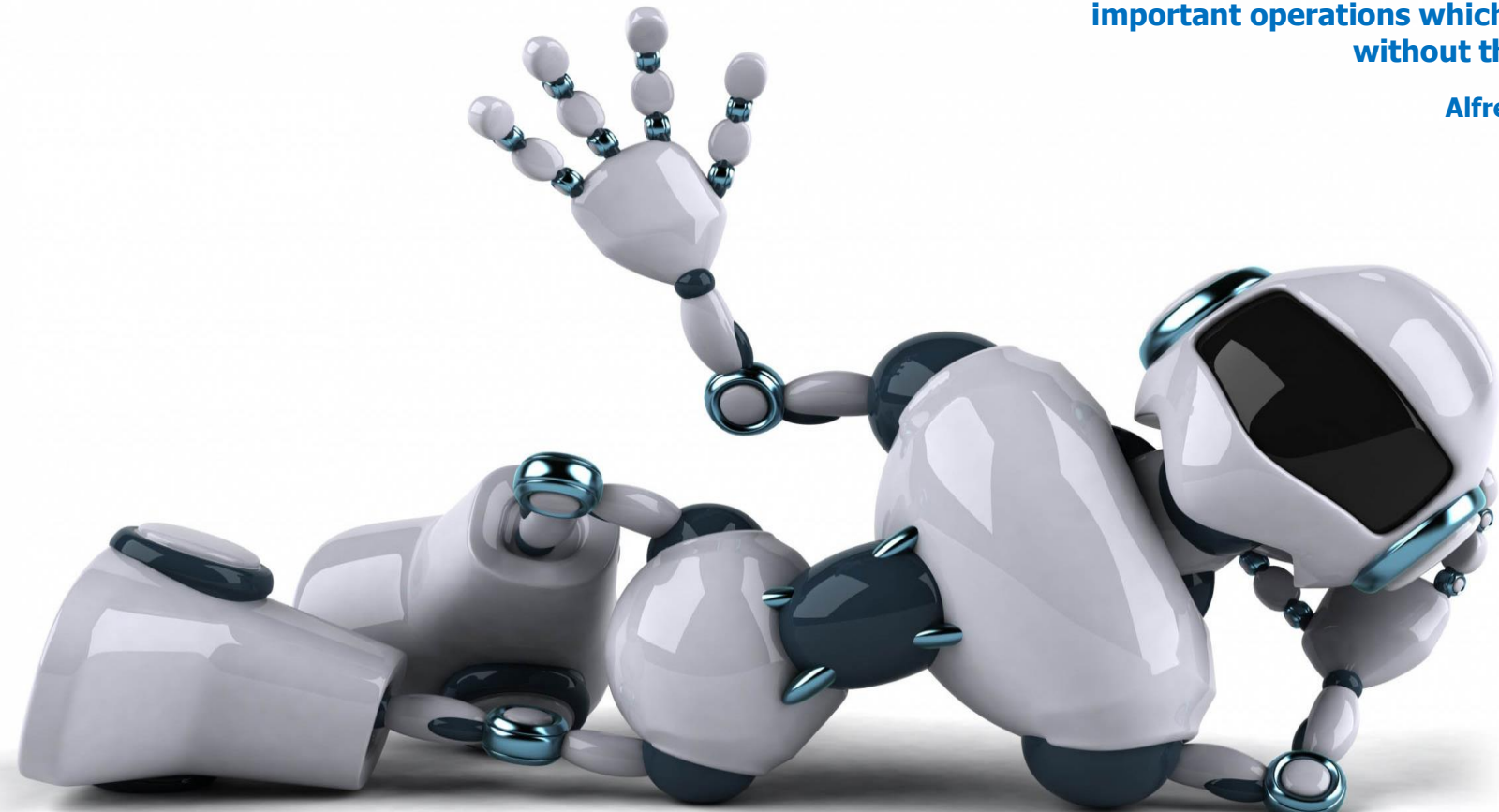


.CSV
FILES

MODEL IN EXCEL

MODEL IN A COMPUTER LANGUAGE

THE FIRST AUTOMATIC GENERATOR OF LARGE SCALE OPTIMIZATION MODELS



"Civilization advances by extending the number of important operations which we can perform without thinking of them".

Alfred North Whitehead



OPCHAIN-E&G

MAKES USE OF

G-SDDP MATHEMATICAL METHODOLOGIES & G-SDDP OPTIMIZATION TECHNOLOGIES

OPTEX Mathematical Modeling System - Chief Scientist DecisionWare International Corp. (OPTEX MMS 374838-456059)

OPCHAIN-E&G
OPTIMIZING THE VALUE CHAIN
ELECTRICITY & GAS
SUPPLY CHAIN OPTIMIZATION



Powered by

Think the mathematical model and  will make the software for you

Mathematical
Modeling System

Aceptar

Usuario E&G

Clave

Cambiar Clave

Nueva Clave

Cancelar

G-SDDP GENERALIZED STOCHASTIC DUAL DYNAMIC PROGRAMMING

APLICACIONES EN EL SECTOR ELÉCTRICO:

- DESPACHO ECONÓMICO MIXTO NO-LINEAL
 - “UNIT COMMITMENT”
 - EXPANSIÓN DE SISTEMAS ELÉCTRICOS
- CONTROL DE RIESGOS FÍSICOS Y FINANCIEROS

Mixed Non-Linear Economic Dispatch Using G-SDDP with Unified Benders Cuts

Jesus Velásquez-Bermúdez, Eng. D.
 Chief Scientist, DecisionWare - DO Analytics LLC
jesus.velasquez@decisionware.net

Submitted to 2018 IEEE PES Transmission & Distribution Conference

Abstract - This paper presents the computational implementation of the Generalized Dual Dynamic Programming (**GDDP**), whose theory was developed by J. M. Velasquez (2002), and its use in electric sector applications. The **GDDP** is based on the chained application Benders Partition Theory (**BT**) (Benders, 1962) applied to the solution of multi-period dynamic problems using the Dynamic Programming (**DP**) and the Discrete Control Theory (**DCT**) approaches. In the implementation is used the concept of Unified Benders Cuts (**UBC**) (Velasquez, 2018a). Applications to the Economic Dispatch problem are presented using Generalized Stochastic Dual Dynamic Programming (**G-SDDP**), the stochastic version of **GDDP**.

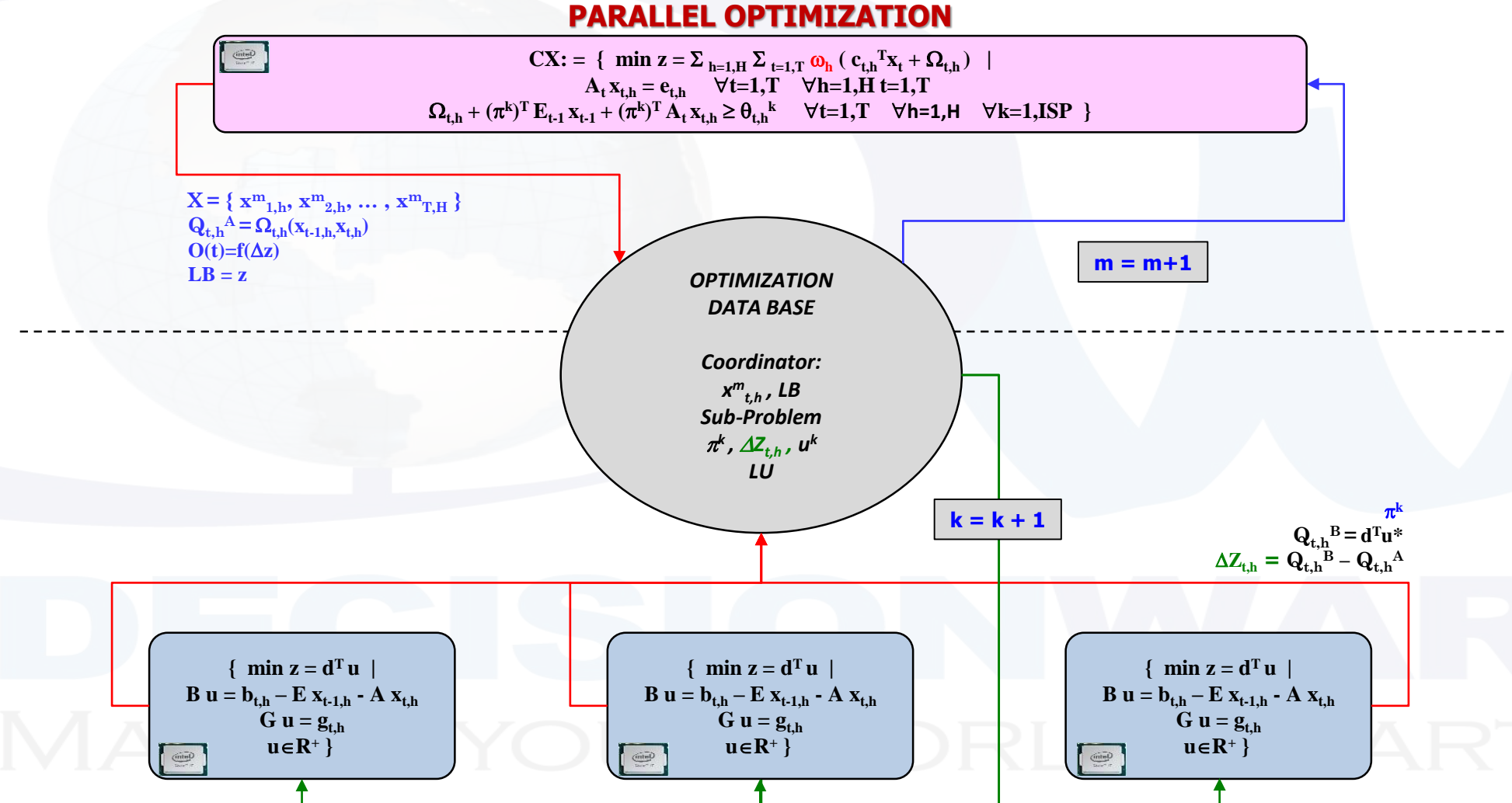
Key words: Benders Decomposition, Nested Benders, Dynamic Programming, Dual Dynamic Programming, Discrete Control Theory, Unified Benders Cuts, Mixed Non-Linear Economic Dispatch.

| Method | Or der | Dual Bound | Primal Bound | Time Solution (secs) | Times FULL | Times GDDP- UBC-T |
|----------|-----------|---------------|-----------------|----------------------------|---------------|-------------------------|
| FULL | | | 1866850.066 | 0.078 | 1.00 | |
| GDDP-UBC | T | 1866850.066 | 1866963.730 | 1.651 | 21.17 | 1.00 |
| GDDP-UBC | D | 1866850.066 | 1866963.730 | 1.970 | 25.26 | 1.19 |
| GDDP-UBC | A | 1866850.066 | 1866963.730 | 2.006 | 25.72 | 1.22 |
| GDDP-DBC | | 1866850.066 | 1866906.898 | 2.775 | 35.58 | 1.68 |
| DDP | | 1866850.066 | 1866885.648 | 12.696 | 162.77 | 7.69 |
| GDDP-DDP | | 1866850.066 | 1866982.674 | 42.912 | 550.15 | 25.99 |

| Model | Scenarios | GAP | Solution Time (secs) | Times FULL | Times G- SDDP | GAMS Options |
|------------|-----------|---------|----------------------------|---------------|---------------------|-----------------|
| FULL | 10 | | 0.402 | 1.00 | | |
| G-SDDP | | 0.00000 | 4.297 | 10.69 | 1.00 | SLINK |
| SDDP | | 0.00011 | 458.00 | 1139.30 | 106.59 | SLINK+GUSS |
| G-SDDP-DDP | | 0.00000 | 25.172 | 62.61 | 5.85 | SLINK+GUSS |
| FULL | 20 | | 0.606 | 1.00 | | |
| G-SDDP | | 0.00000 | 7.005 | 11.56 | 1.00 | SLINK |
| SDDP | | 0.00017 | 687.00 | 1133.66 | 98.07 | SLINK+GUSS |
| G-SDDP-DDP | | 0.00000 | 53.092 | 87.607 | 7.58 | SLINK+GUSS |

G-SDDP: GENERALIZED - STOCHASTIC DUAL DYNAMIC PROGRAMMING

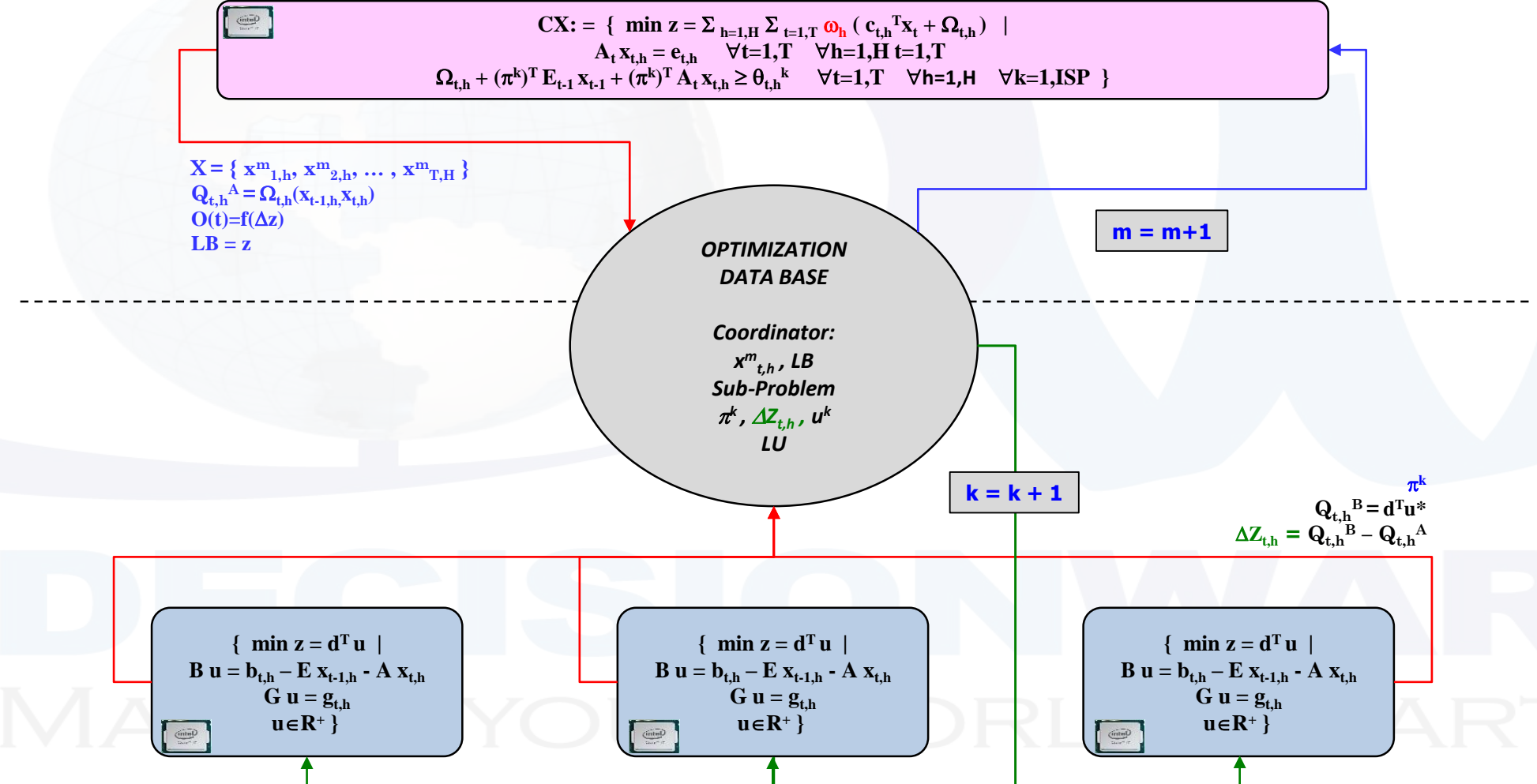
IS A LARGE SCALE OPTIMIZATION METHODOLOGY
DEVELOPED BY DECISIONWARE AND IMPLEMENTED IN OPTEX BY DO ANALYTICS



G-SDDP: GENERALIZED - STOCHASTIC DUAL DYNAMIC PROGRAMMING

IS A LARGE SCALE OPTIMIZATION METHODOLOGY
DEVELOPED BY DECISIONWARE AND IMPLEMENTED IN OPTEX BY DO ANALYTICS

PARALLEL OPTIMIZATION



G-SDDP APPLICATIONS IN ELECTRIC SECTOR: ECONOMIC DISPATCH & UNIT COMMITMENT

The **Generalized Dual Dynamic Programming Theory (GDDP)**, an extension of the approach known as Dual Dynamic Programming (DDP). The **GDDP** is oriented to speed up the solution of complex problems using asynchronous parallel optimization approaches.

The controlled experiments, using a simple dynamic economic electric dispatch linear model, show that the **GDDP** may be 7 to 8 times faster than **DDP**.

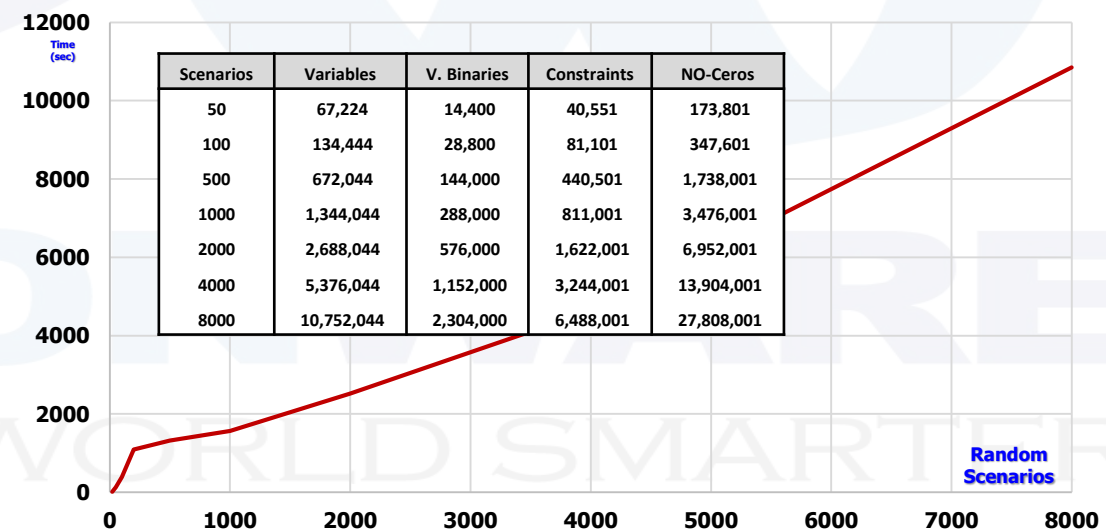
DETERMINISTIC UNIT COMMITMENT
LINEAR RELATION: SOLUTION TIME VS. COMPLEXITY

| Model | Periods | GAP | Solution Time(sec) | V. Continuas | V. Binarias |
|------------------------------------|---------|-------------------------------|--------------------------------|--------------|-------------|
| FULL GDDP-ST-CI GDDP-S1-O-CI | 24 | 0.00000 0.00000 0.0000 | 0.373 1.277 1.947 | 576 | 288 |
| FULL GDDP-ST-CI GDDP-S1-O-CI | 48 | 0.00000 0.00000 0.00000 | 0.896 4.673 5.424 | 2214 | 384 |
| FULL GDDP-ST-CI GDDP-S1-O-CI | 96 | 0.00000 0.00002 0.00000 | 1.309 17.546 13.126 | 4225 | 1152 |
| FULL GDDP-ST-CI GDDP-S1-O-CI | 192 | 0.00000 0.00002 0.00000 | 27.466 44.582 16.540 | 9217 | 1536 |
| FULL GDDP-ST-CI GDDP-S1-O-CI | 384 | 0.00060 0.00007 0.00000 | 1001.147 75.094 33.032 | 18433 | 3072 |
| FULL GDDP-ST-CI GDDP-S1-O-CI | 768 | 0.00020 0.00008 0.00000 | 1003.005 185.228 130.555 | 36865 | 6144 |

The **GDDP** can solve MIP, NLP and MINLP problems, that can't be solved using **DDP**. The experiment show that **GDDP** can solve discrete deterministic unit commitment models, having a linear relation between the solution time and the amount of periods.

The stochastic optimization experiments, using **G-SDDP**, shows that the solution time of the mathematical problems is a "linear" function of the number of scenarios. **G-SDDP** has solved MIP stochastic problems with more than two million of binary variables in less than four hours in a PC (without parallelization).

STOCHASTIC UNIT COMMITMENT
LINEAR RELATION: SOLUTION TIME VS. COMPLEXITY



DDP vs. GDDP

| FULL PROBLEM | BENDERS MASTER | BENDERS SUBPROBLEM | DDP | GDDP |
|--------------|----------------|--------------------|-----|------|
| LP | LP | LP | YES | YES |
| MIP | MIP | LP | NO | YES |
| NLP | NLP | LP | NO | YES |
| MINLP | MINLP | LP | NO | YES |

GDDP is more robust than **DDP**

DETERMINISTIC ECONOMIC DISPATCH LINEAR MODEL

Complexity:

Real Variables: 1057

Constraints: 337

Elements no-Cero: 2245

| Model | Order | Cota Dual | Cota Real | GAP (%) | T. Solution (secs) | Times FULL | Times GDDP-UBC |
|---------------|-------|-------------|-------------|---------|--------------------|------------|----------------|
| FULL | | | 1866850.066 | 0.0000 | 0.078 | 1.00 | |
| GDDP-UBC-O-CI | TEM | 1866850.066 | 1866963.730 | 0.0061 | 1.651 | 21.17 | 1.00 |
| GDDP-UBC-O-CI | DEM | 1866850.066 | 1866963.730 | 0.0061 | 1.970 | 25.26 | 1.19 |
| GDDP-UBC-O-CI | CUB | 1866850.066 | 1866963.730 | 0.0001 | 2.006 | 25.72 | 1.22 |
| GDDP-ST-CI | TEM | 1866850.066 | 1866906.898 | 0.0030 | 2.775 | 35.58 | 1.68 |
| DDP | TEM | 1866850.066 | 1866885.648 | 0.0019 | 12.696 | 162.77 | 7.69 |
| GDDP-ST-DDP | TEM | 1866850.066 | 1866982.674 | 0.0071 | 42.912 | 550.15 | 25.99 |

The experiments show that

GDDP with UNIFIED CUTS is 8 times faster than **DDP**

GDDP with DECOUPLED CUTS is 4.5 times faster than **DDP**

STOCHASTIC ECONOMIC DISPATCH LINEAR MODEL

| Model | Scenarios | GAP | T. Solution (secs) | Times FULL | Times G-SDDP-UBC-O | Algorithm CO | Algorithm SP | GAMS |
|------------------|-----------|---------|--------------------|------------|--------------------|--------------|--------------|------------|
| FULL | 10 | 0.00000 | 0.402 | 1.00 | | | | |
| G-SDDP-UBC-O-CI | | 0.00000 | 4.297 | 10.69 | 1.00 | Default | Dual Simplex | SLINK |
| SDDP | | 0.00011 | 458.00 | 1139.30 | 106.59 | Default | NA | SLINK+GUSS |
| G-SDDP-UBC-O-DDP | | 0.00000 | 25.172 | 62.61 | 5.85 | Default | Dual Simplex | SLINK+GUSS |
| FULL | 20 | 0.00000 | 0.606 | 1.00 | | | | |
| G-SDDP-UBC-O-CI | | 0.00000 | 7.005 | 11.56 | 1.00 | Default | Dual Simplex | SLINK |
| SDDP | | 0.00017 | 687.00 | 1133.66 | 98.07 | Default | NA | SLINK+GUSS |
| G-SDDP-UBC-O-DDP | | 0.00000 | 53.092 | 87.607 | 7.58 | Default | Dual Simplex | SLINK+GUSS |

The experiments show that

G-SDDP with UNIFIED CUTS and Integrated Coordinator is 100 times faster than SDDP
G-SDDP with UNIFIED CUTS and SDDP Coordinator is 15 times faster than SDDP

OPCHAIN-E&G

END USER

MATHEMATICAL MODELER
OPTIMIZATION TECHNOLOGY

OPTIMIZATION METHODOLOGIES

DECISIONWARE
MAKING YOUR WORLD SMARTER

OPCHAIN-E&G

END USER

OPTIMIZATION METHODOLOGIES

DECISIONWARE
MAKING YOUR WORLD SMARTER

MATHEMATICAL MODELER
OPTIMIZATION TECHNOLOGY



TRANSPARENCY:
ACCESS TO SOURCE CODE

**THE MATHEMATICAL MODELER CAN CHANGE,
DELETE OR CREATE EQUATIONS OF THE
MODELS, AND
CAN CREATE NEW MODELS.**

OPCHAIN-E&G

END USER

OPTIMIZATION METHODOLOGIES

INTEGRATED

LARGE SCALE:

BENDERS THEORY
GBD, DDP, GDDP, SDDP, G-SDDP

LAGRANGEAN RELAXATION

CROSS DECOMPOSITION

MATHEMATICAL MODELER OPTIMIZATION TECHNOLOGY



FINAL OPTIMIZATION TECHNOLOGY

**TRANSPARENCY:
ACCESS TO SOURCE CODE**

**THE MATHEMATICAL MODELER CAN CHANGE,
DELETE OR CREATE EQUATIONS OF THE
MODELS, AND
CAN CREATE NEW MODELS.**

OPCHAIN-E&G

END USER

OPEN COMMON DATA MODEL:

CONNECTIVITY WITH "ALL" SQL DATABASES

**CONNECTIVITY WITH "ALL" BI VIEWERS
(DEVELOPED BY THE USER)**

OPTIMIZATION METHODOLOGIES

INTEGRATED

LARGE SCALE:

BENDERS THEORY
GBD, DDP, GDDP, SDDP, G-SDDP

LAGRANGEAN RELAXATION

CROSS DECOMPOSITION

MATHEMATICAL MODELER

OPTIMIZATION TECHNOLOGY



FINAL OPTIMIZATION TECHNOLOGY

**TRANSPARENCY:
ACCESS TO SOURCE CODE**

**THE MATHEMATICAL MODELER CAN CHANGE,
DELETE OR CREATE EQUATIONS OF THE
MODELS, AND
CAN CREATE NEW MODELS.**

OPCHAIN-E&G

OPCHAIN-E&G has been developed (since 1995) to support processes of decision-making of the agents involved in the markets of electricity and/or natural gas.

OPCHAIN-E&G is composed of a set of optimization models that describe the process of supply/demand of electricity and natural gas; from this point of view determines the point of partial market balance of electricity-gas under conditions of economic efficiency.

OPCHAIN-E&G was the starting point of the models:

- **MODSEI** provided by **DW** to Superintendence of Services Publics of Colombia (**SSPD**)
- **MODPLAN** provided by **DW** to **COES-SINAC**, Peruvian ISO (Independent System Operator)

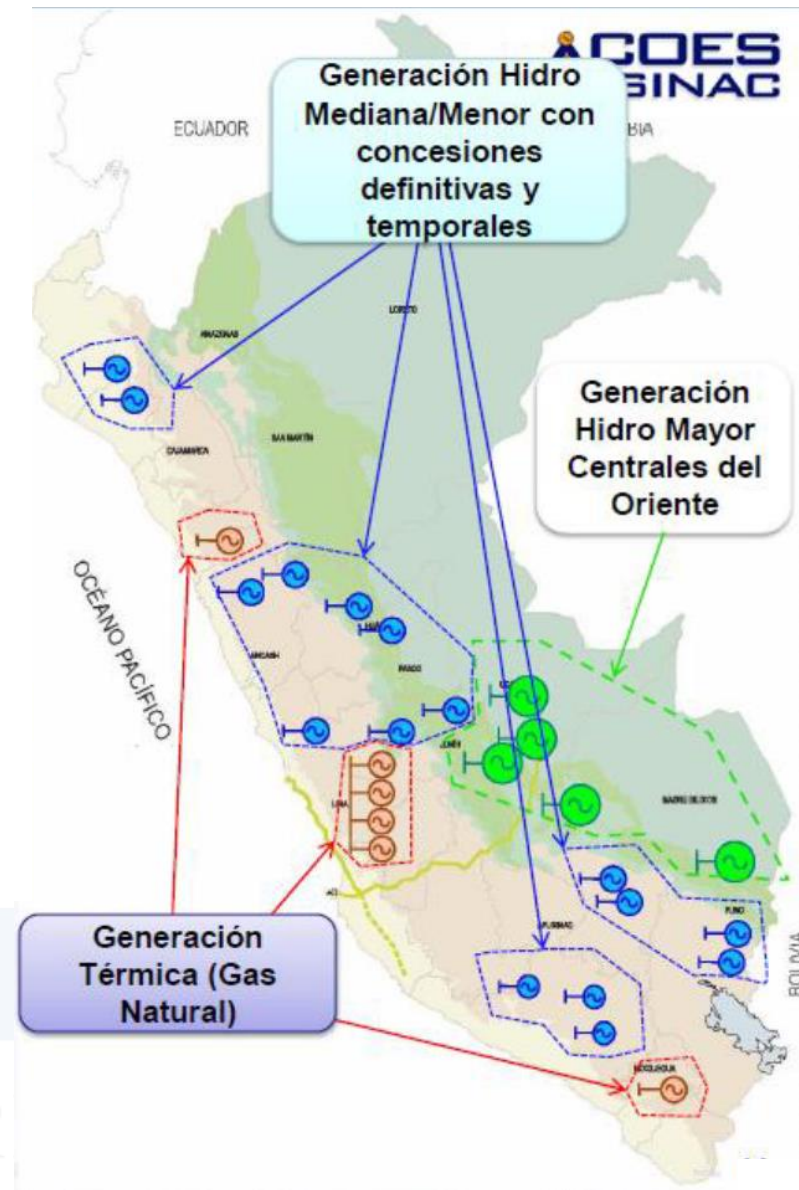
OPCHAIN-E&G was developed using  **OPT Σ X** Mathematical Modeling System.

DECISIONWARE
MAKING YOUR WORLD SMARTER

In October of 2013, **COES-SINAC**, Committee for Economic Operation of the National Electricity Interconnected System of Peru (Peruvian Independent System Operator -**ISO**-), selected **DW** to develop the project "**NEW SIMULATION MODEL OF THE ECONOMIC DISPATCH OPERATION FOR THE NATIONAL PLAN OF TRANSMISSION**", which includes multiple mathematical optimization models to support the expansion of the transmission electricity network of the Republic of Peru.

The project includes simulation models of simultaneous optimum dispatch of electricity and natural gas systems and the evaluation of multiple expansion uncertainty scenarios, in order to build pareto curves that support the selection of a robust expansion plan.

The model developed is called by **COES-SINAC** as **MODPLAN**, and it is the official model used for this purpose in Perú.





Superintendencia de Servicios
Públicos Domiciliarios
República de Colombia

The **SUPERINTENDENCE OF PUBLIC DOMESTIC SERVICES OF COLOMBIA (SSPD)** hired DW in 2007 and in 2010 to implement a system of models to simulate joint operation of the electricity market and the gas market in Colombia.

The Decision Support Systems include following models:

- Joint dispatch electricity & gas systems. The gas transport system, the production and handling of liquefied gas by liquefaction and regasification.
- To track electricity market in Colombia based on a Nash-Cournot equilibrium model that simulates dominant generators (price makers) that maximize its revenue and followers generators (price takers).

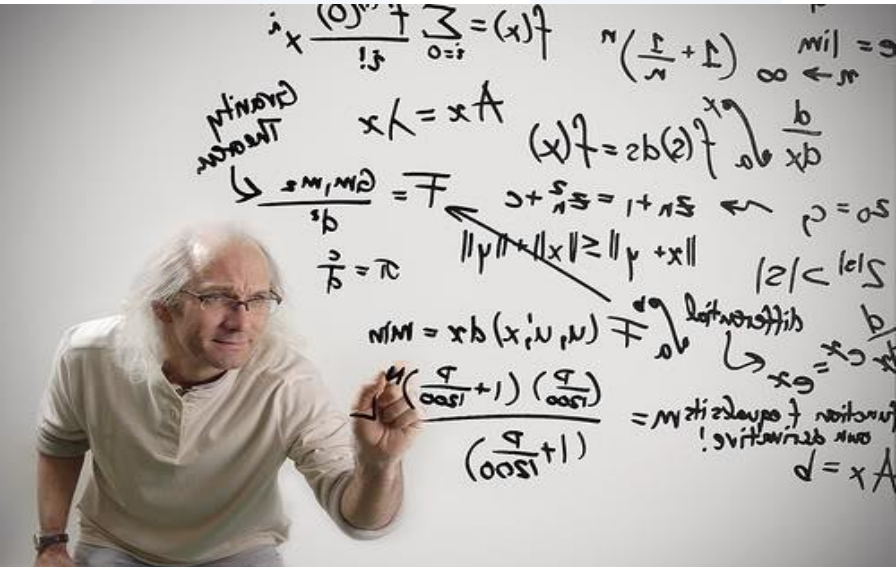


OPCHAIN-E&G

OPTIMIZING THE VALUE CHAIN

Electricity & Gas Supply Chain Optimization

MATHEMATICAL METHODOLOGIES



OPCHAIN-E&G

ALL MODELS ARE BASED ON
NON-ANTICIPATIVE STOCHASTIC OPTIMIZATION METHODOLOGIES
AND INCLUDE RISK MANAGEMENT MODELING

OPTEX Mathematical Modeling System - Chief Scientist DecisionWare International Corp. (OPTEX MMS 374838-456059)

OPCHAIN-E&G OPTIMIZING THE VALUE CHAIN ELECTRICITY & GAS SUPPLY CHAIN OPTIMIZATION



Powered by

Think the mathematical model and  will make the software for you

Aceptar

Usuario

E&G

Clave

Cambiar Clave

Nueva Clave

Cancelar

MAKING YOUR WORLD SMARTER

(AVAILABLE IN SPANISH & ENGLISH)

OPCHAIN-E&G - RISK MANAGEMENT

OPTIMIZACIÓN ESTOCÁSTICA NO-ANTICIPATIVA

- **Solución vía Optimización Estocástica No-Anticipativa:**
 - **Integrada**
 - **Técnicas de Partición y de Descomposición**
 - **Teoría de Benders**
 - **SDDP: Stochastic Dual Dynamic Programming**
 - **G-SDDP: Generalized Stochastic Dual Dynamic Programming**
 - **Relajación Lagrangeana**
 - **Cross Decomposition**
- **Optimización Paralela**

DECISIONWARE
MAKING YOUR WORLD SMARTER

OPCHAIN-E&G - RISK MANAGEMENT

CRITERIOS DE DECISIÓN

- **Criterios de Decisión (Funciones Objetivo):**
 - **Valor Esperado**
 - **Mean-Variance**
 - **Maximo Arrepentimiento**
 - **Value-at-Risk (VaR)**
 - **Valor Esperado con VaR restringido**

DECISIONWARE
MAKING YOUR WORLD SMARTER

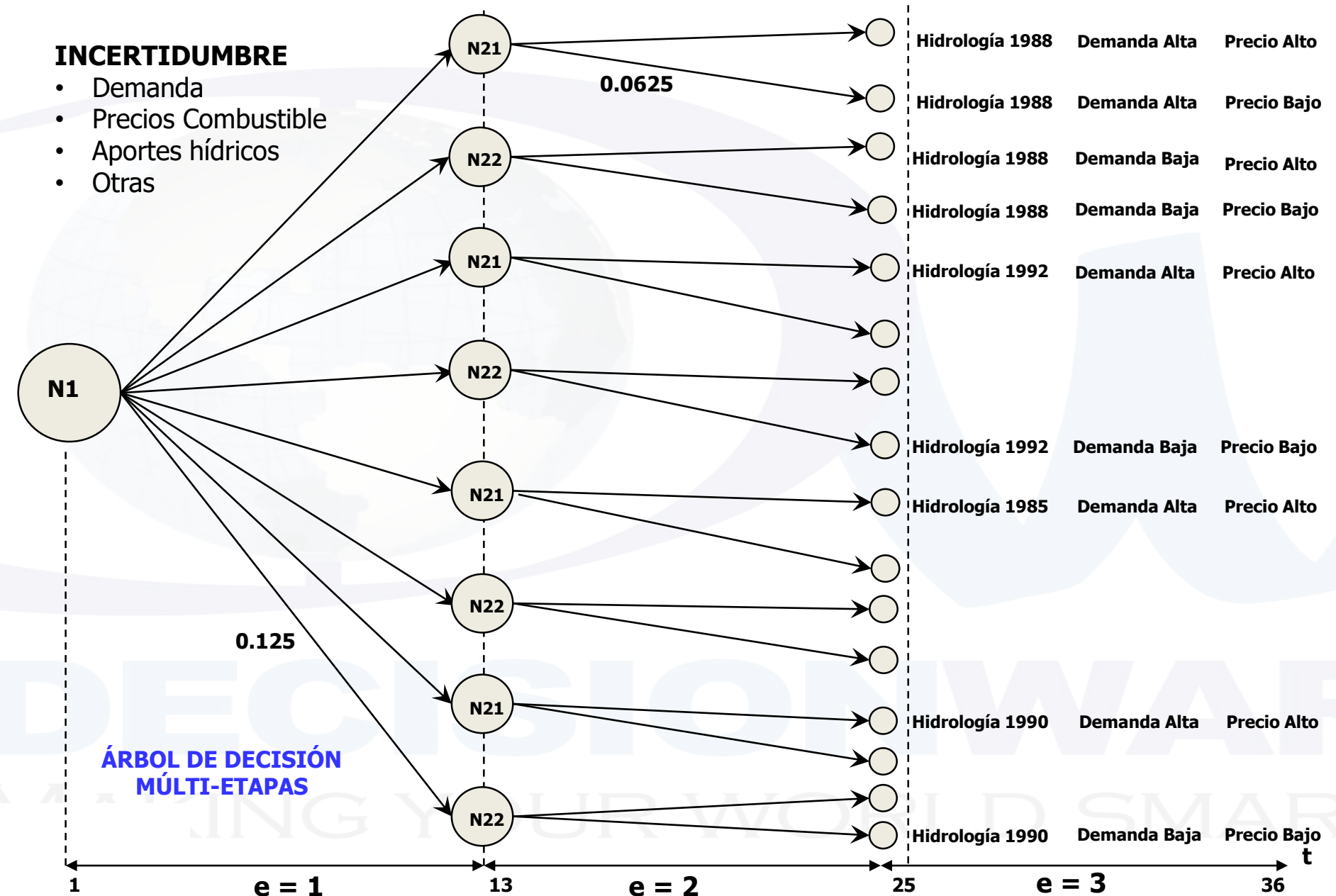
OPCHAIN-E&G - RISK MANAGEMENT

DIMENSIONES DE INCERTIDUMBRE

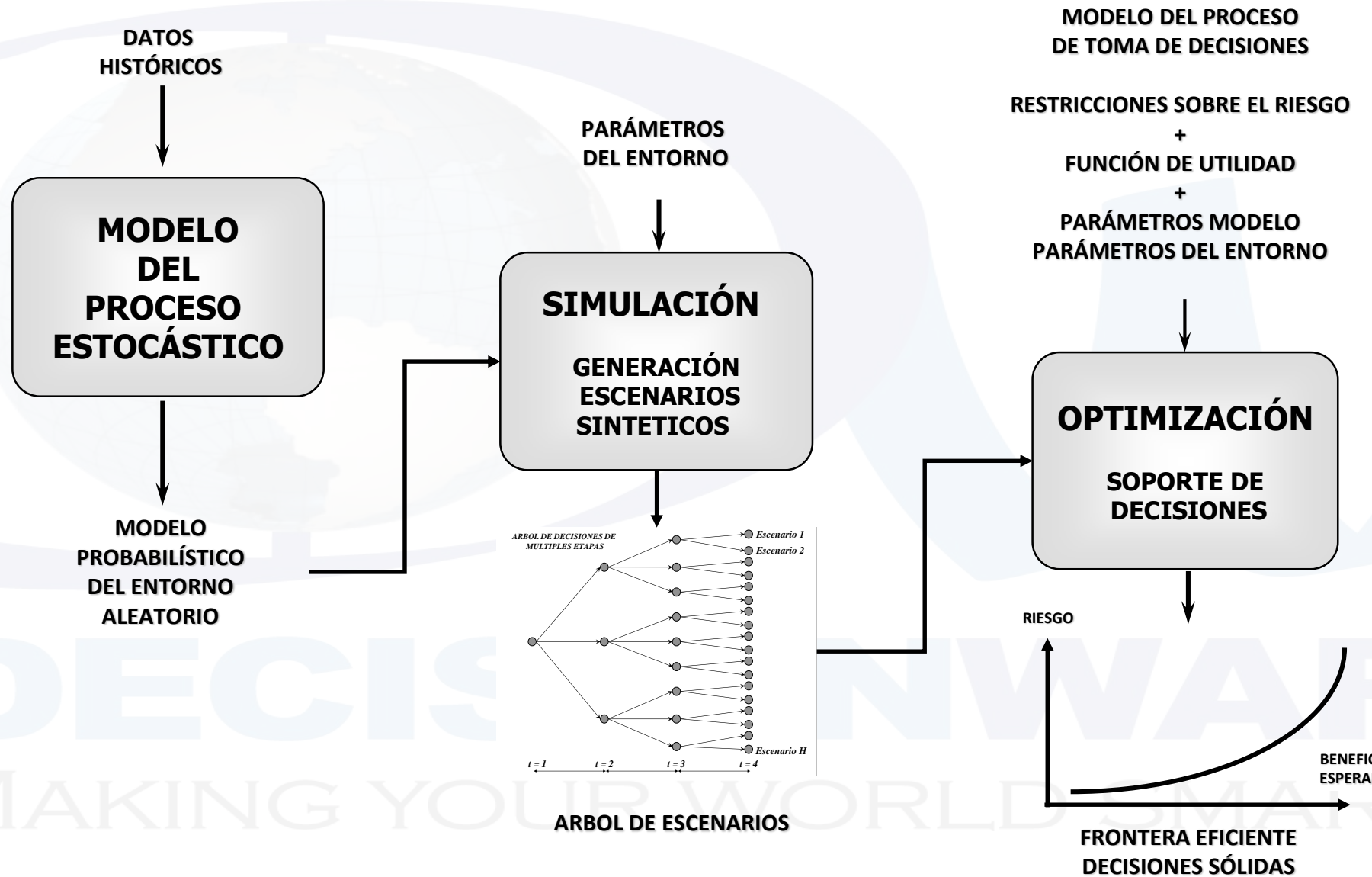
MANEJO DE MÚLTIPLES DIMENSIONES DE INCERTIDUMBRE CONFIGURABLES POR EL USUARIO

- **Ejemplos de Dimensiones de Incertidumbre:**
 - **Demand**
 - **Parámetros Hidro-climáticos**
 - **Demand - Hidrología**
 - **Precio Combustibles**
 - **Plan de Expansión**
 - **Costo de Infraestructura**
 - **Eventos Socio-Políticos**
 - **Eventos Catastróficos**
 - **...**

DECISIONWARE
MAKING YOUR WORLD SMARTER



OPCHAIN – OPTIMIZACIÓN ESTOCÁSTICA MULTIETAPA NO-ANTICIPATIVA



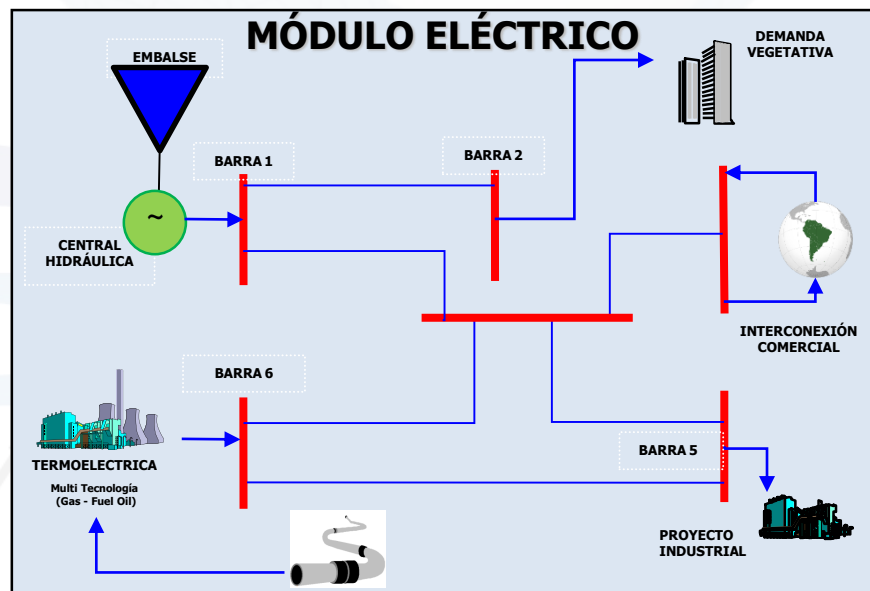
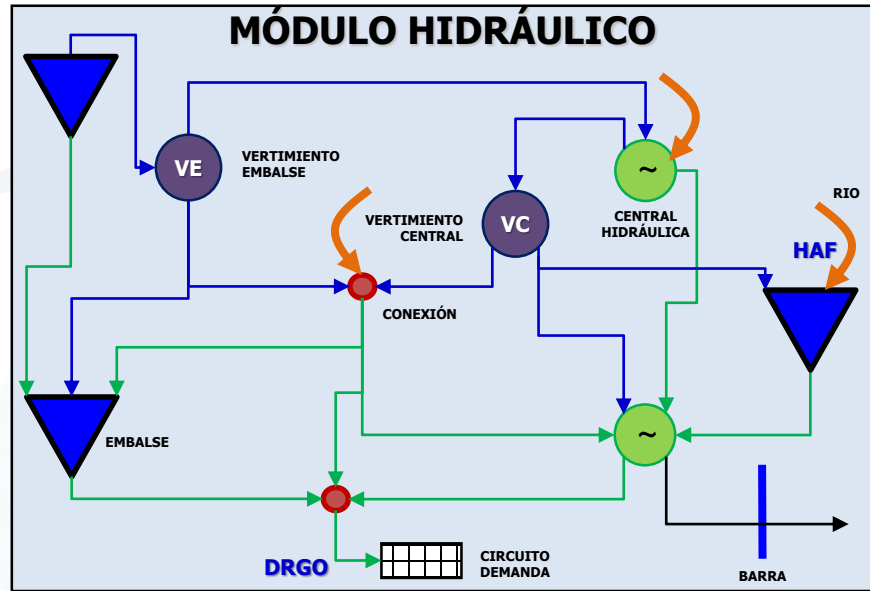
OPCHAIN-E&G

OPTIMIZING THE VALUE CHAIN

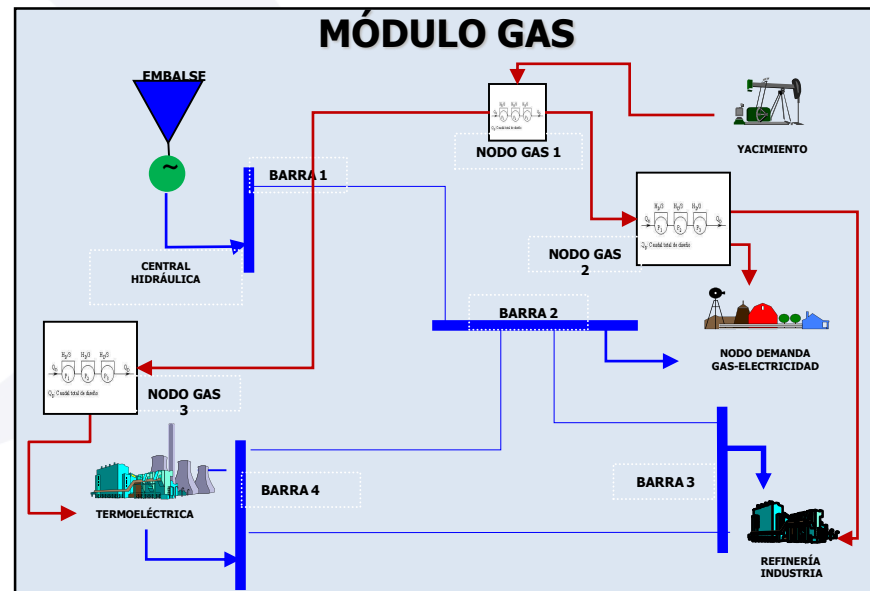
Electricity & Gas Supply Chain Optimization

PHYSICAL MODELING





MÓDULOS OPCHAIN-E&G



MODELO HIDRÁULICO

$$\text{Min } \Psi = \sum_{t=1}^T \sum_{i=1}^{N_T} \Psi_{(i,t)}$$

s.a.

$$\Psi_{(i,t)} = \frac{c_{(i,t)}}{2} \cdot P_{(i,t)}^2 + e_{(i,t)} \cdot P_{(i,t)}$$

$$V_{(j,t+1)} = V_{(j,t)} + \tau \cdot (A_{(j,t)} - Q_{(j,t)} - S_{(j,t)})$$

$$P_{(j,t)} = \rho_{(j)} \cdot Q_{(j,t)}$$

MODELO ELÉCTRICO

$$\text{Min } \Psi = \sum_{t=1}^T \sum_{i=1}^{N_T} \Psi_{(i,t)}$$

s.a.

$$\Psi_{(i,t)} = \frac{c_{(i,t)}}{2} \cdot P_{(i,t)}^2 + e_{(i,t)} \cdot P_{(i,t)}$$

$$V_{(j,t+1)} = V_{(j,t)} + \tau \cdot (A_{(j,t)} - Q_{(j,t)} - S_{(j,t)})$$

$$P_{(j,t)} = \rho_{(j)} \cdot Q_{(j,t)}$$

MODELOS OPCHAIN-E&G

MODELO GAS

$$\text{Min } \Psi = \sum_{t=1}^T \sum_{i=1}^{N_T} \Psi_{(i,t)}$$

s.a.

$$\Psi_{(i,t)} = \frac{c_{(i,t)}}{2} \cdot P_{(i,t)}^2 + e_{(i,t)} \cdot P_{(i,t)}$$

$$V_{(j,t+1)} = V_{(j,t)} + \tau \cdot (A_{(j,t)} - Q_{(j,t)} - S_{(j,t)})$$

$$P_{(j,t)} = \rho_{(j)} \cdot Q_{(j,t)}$$

M

ONWARE
WORLD SMARTER

OPTEX CONSIDERES THAT A MP (MATHEMATICAL PROGRAMMING) STORED IN AN INFORMATION SYSTEM IS STANDARD; THEN IT IS POSSIBLE TO JOIN TWO MP PROBLEMS TO OBTAIN A NEW MP MODEL.

$$\text{Min } \Psi = \sum_{t=1}^T \sum_{i=1}^{N_t} \Psi_{(i,t)}$$

S.a.

$$\Psi_{(i,t)} = \frac{c_{(i,t)}}{2} \cdot P_{(i,t)}^2 + e_{(i,t)} \cdot P_{(i,t)}$$

HYDRAULIC

$$V_{(j,t+1)} = V_{(j,t)} + \tau \cdot (A_{(j,t)} - Q_{(j,t)} - S_{(j,t)})$$

$$P_{(j,t)} = \rho_{(j)} \cdot Q_{(j,t)}$$

+

$$\text{Min } \Psi = \sum_{t=1}^T \sum_{i=1}^{N_t} \Psi_{(i,t)}$$

S.a.

$$\Psi_{(i,t)} = \frac{c_{(i,t)}}{2} \cdot P_{(i,t)}^2 + e_{(i,t)} \cdot P_{(i,t)}$$

ELECTRICITY

$$V_{(j,t+1)} = V_{(j,t)} + \tau \cdot (A_{(j,t)} - Q_{(j,t)} - S_{(j,t)})$$

$$P_{(j,t)} = \rho_{(j)} \cdot Q_{(j,t)}$$

=

$$\text{Min } \Psi = \sum_{t=1}^T \sum_{i=1}^{N_t} \Psi_{(i,t)}$$

S.a.

$$\Psi_{(i,t)} = \frac{c_{(i,t)}}{2} \cdot P_{(i,t)}^2 + e_{(i,t)} \cdot P_{(i,t)}$$

GAS

$$V_{(j,t+1)} = V_{(j,t)} + \tau \cdot (A_{(j,t)} - Q_{(j,t)} - S_{(j,t)})$$

$$P_{(j,t)} = \rho_{(j)} \cdot Q_{(j,t)}$$

+

OPCHAIN-E&G

s.a.

$$\Psi_{(i,t)} = \frac{c_{(i,t)}}{2} \cdot P_{(i,t)}^2 + e_{(i,t)} \cdot P_{(i,t)}$$

HYDRAULIC
&
ELECTRICITY
&
GAS

$$V_{(j,t+1)} = V_{(j,t)} + \tau \cdot (A_{(j,t)} - Q_{(j,t)} - S_{(j,t)})$$

$$P_{(j,t)} = \rho_{(j)} \cdot Q_{(j,t)}$$

N

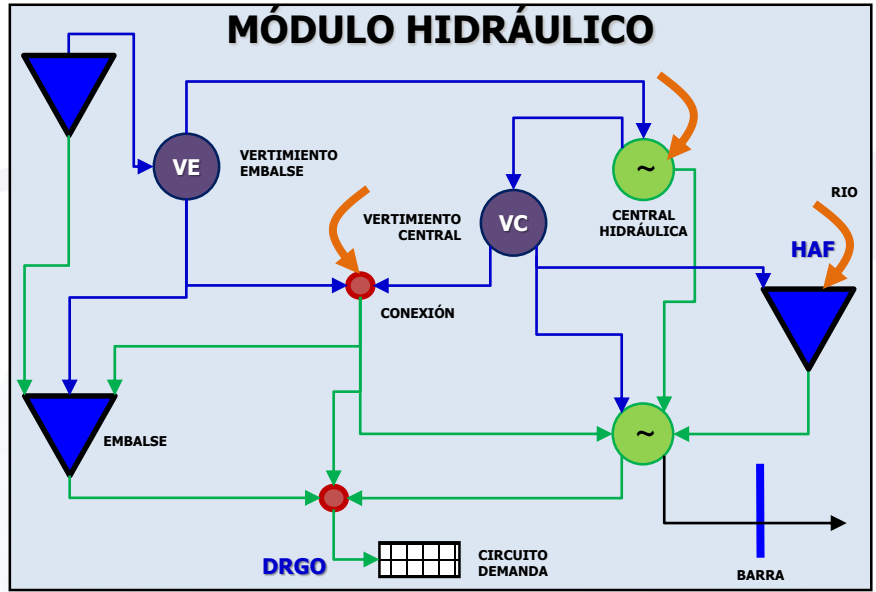
OPCHAIN-E&G

OPTIMIZING THE VALUE CHAIN

Electricity & Gas Supply Chain Optimization

PHYSICAL MODELING – HYDRO SYSTEM





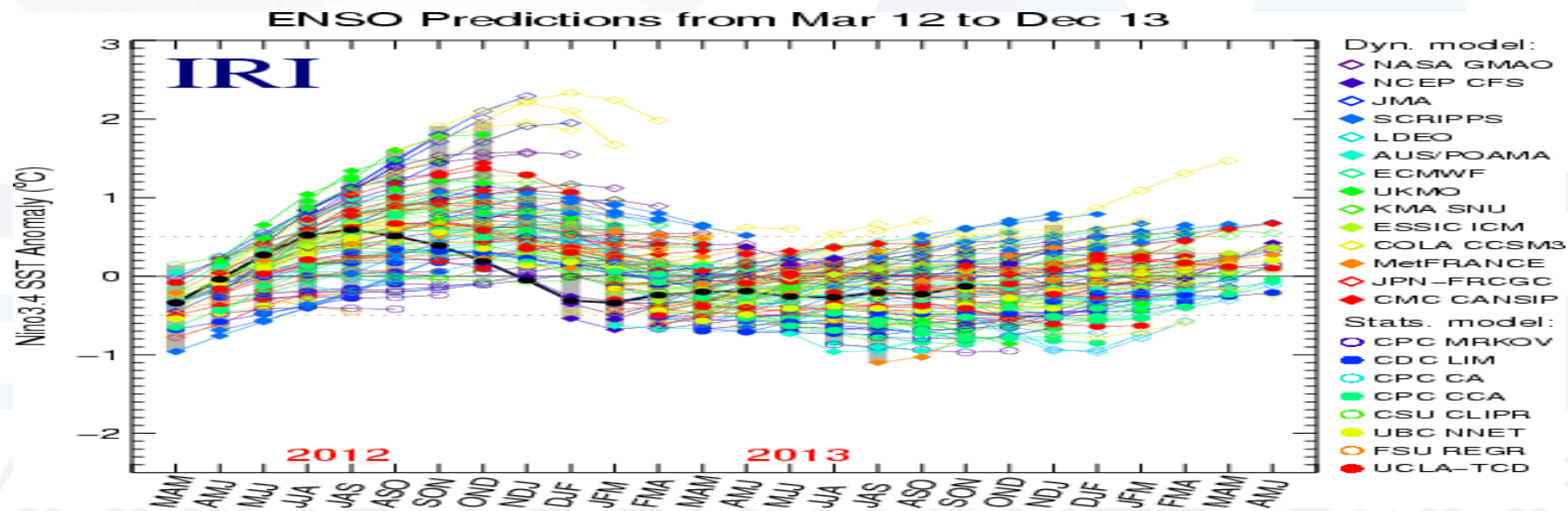
DECISIONWARE
MAKING YOUR WORLD SMARTER

OPCHAIN-E&G

OPTIMIZING THE VALUE CHAIN

Electricity & Gas Supply Chain Optimization

FORECAST OF RENEWABLE ENERGY SOURCES



MODELAMIENTO HIDRO-CLIMATICO

HID-HIS
HIDROLOGÍA HISTÓRICA

PROCESAMIENTO
DE DATOS



DECISIONWARE
MAKING YOUR WORLD SMARTER

MODELAMIENTO HIDRO-CLIMATICO

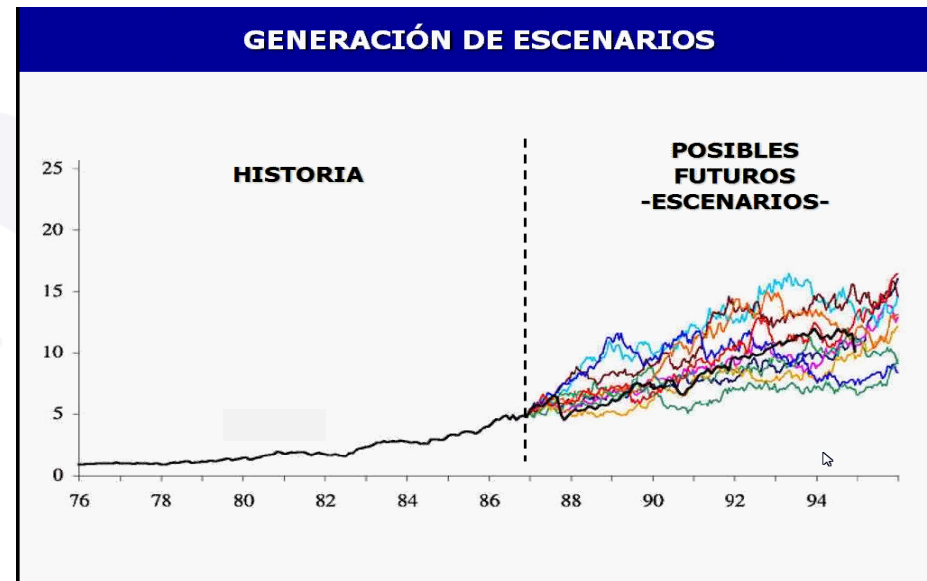
HID-HIS
HIDROLOGÍA HISTÓRICA

PROCESAMIENTO
DE DATOS →

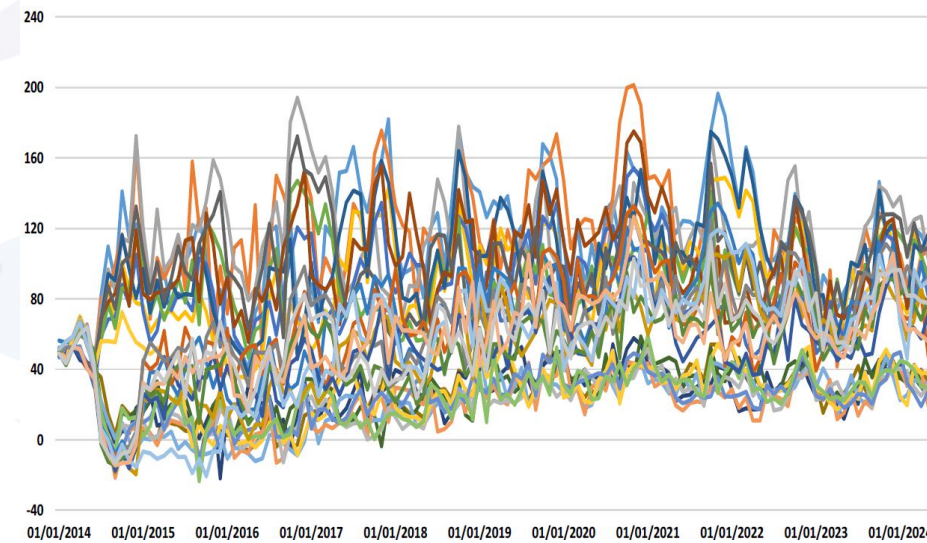
GENERACIÓN SINTÉTICA SERIES HISTÓRICAS

HID-HIS
HIDROLOGÍA HISTÓRICA

MATALAS
GENERADOR SINTÉTICO
TEORÍA MATALAS →



HIDROLOGIA



MODELAMIENTO HIDRO-CLIMATICO

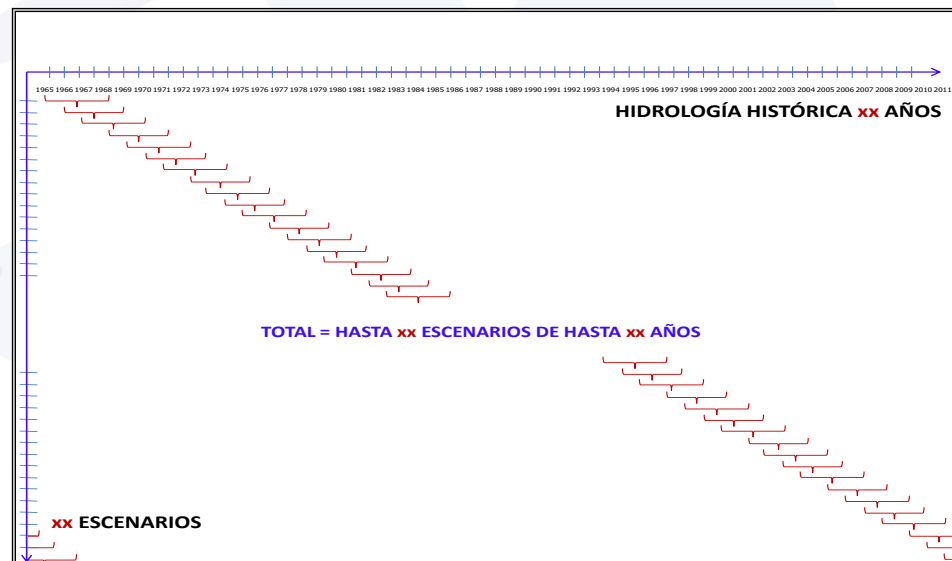
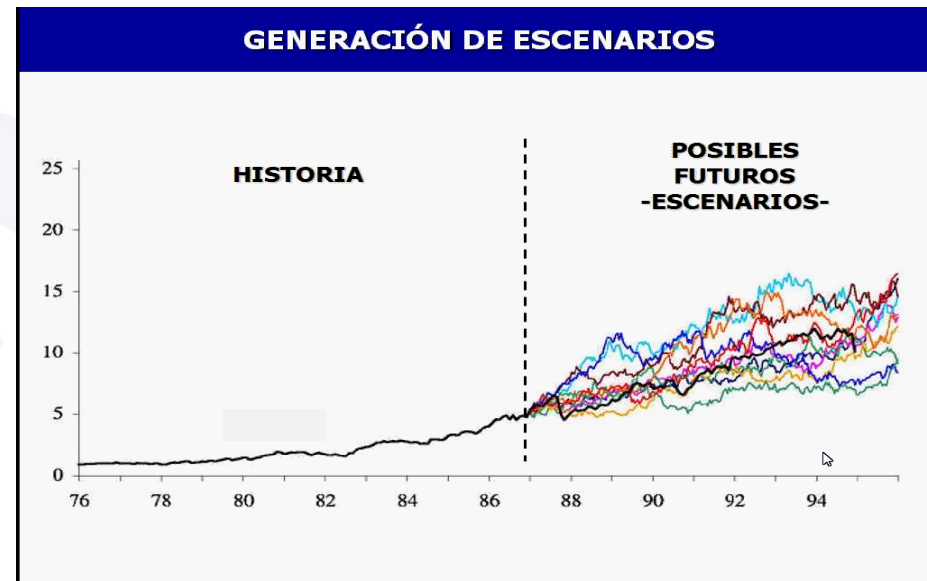
HID-HIS
HIDROLOGÍA HISTÓRICA

PROCESAMIENTO
DE DATOS

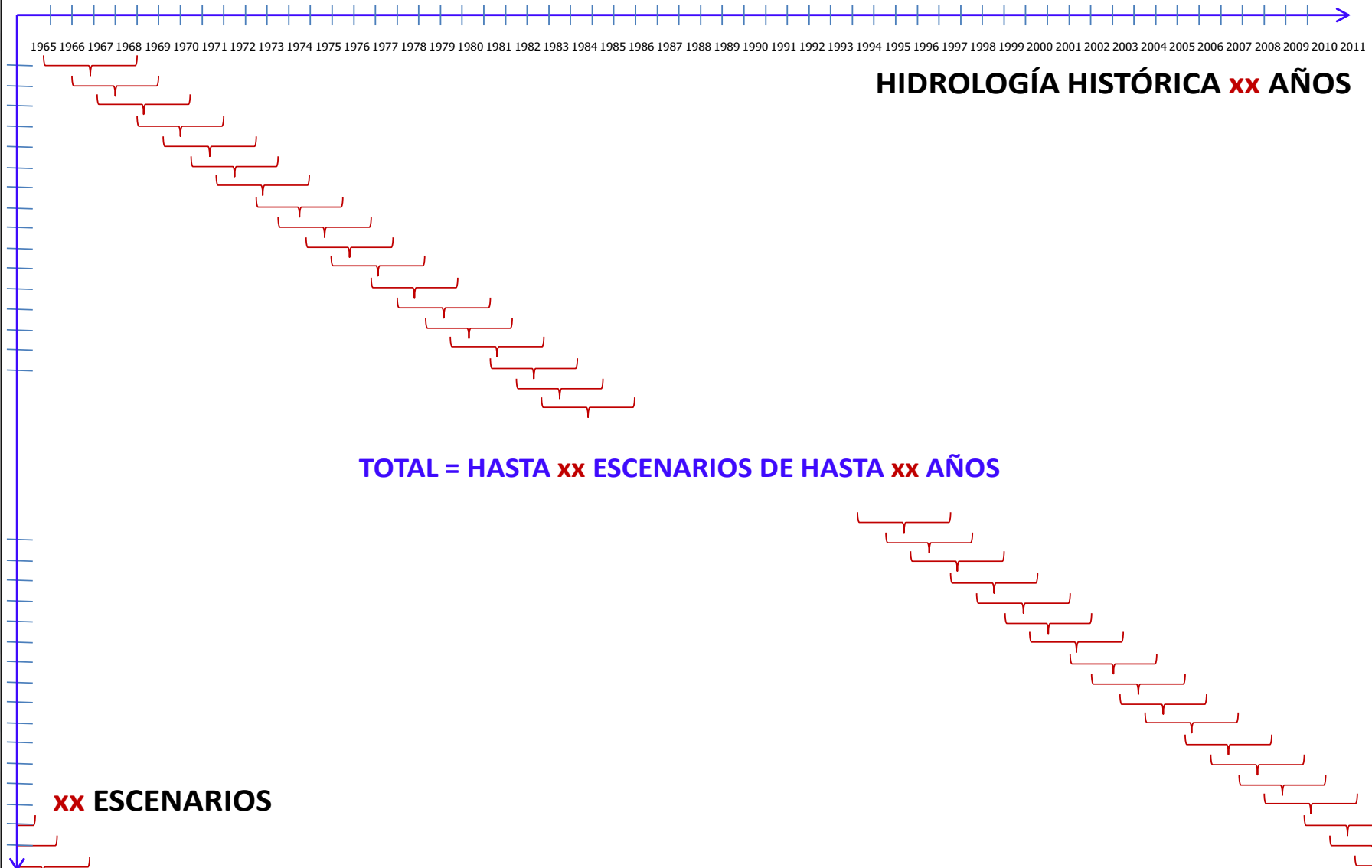
GENERACIÓN SINTÉTICA SERIES HISTÓRICAS

HID-HIS
HIDROLOGÍA HISTÓRICA

GENERADOR SINTÉTICO
A PARTIR DE MEZCLA DE
SERIES HISTÓRICAS



GENERADOR SINTÉTICO A PARTIR DE MEZCLA DE SERIES HISTÓRICAS



PROYECCIÓN DEL FENÓMENO ENOS

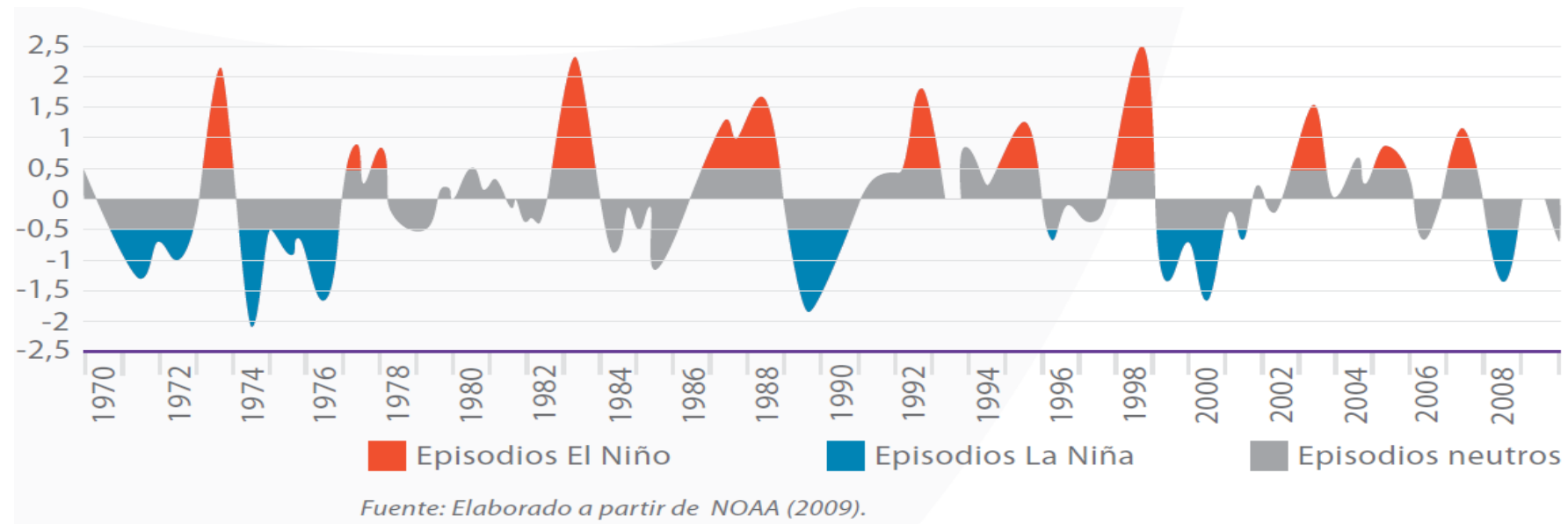
Los eventos **ENOS** (en inglés **ENSO El Niño Southern Oscillation**) han demostrado ser determinantes de los aportes hídricos en las cuencas americanas y por ende determinantes del precio spot (los que se calculan como una función de los costos marginales de atender la demanda) de la energía eléctrica en los mercados eléctricos. Por dicha razón se toma como referente para determinar las condiciones hidrológicas que afectarán al **SIN** en el corto plazo y en el largo plazo para poder correlacionar dichas condiciones con variables del mercado eléctrico.

Se denomina El Niño la presencia de aguas anormalmente cálidas (más de 0.5°C por encima de lo normal) en la Costa Pacífica de Sudamérica por un período mayor a tres meses consecutivos. Actualmente es considerado como un fenómeno ocasional, irregular, aperiódico y de grandes repercusiones socioeconómicas en el mundo. Se presenta con variada intensidad, siendo los episodios de 1982-1983 y 1997-1998 los de más impacto en el siglo XX.

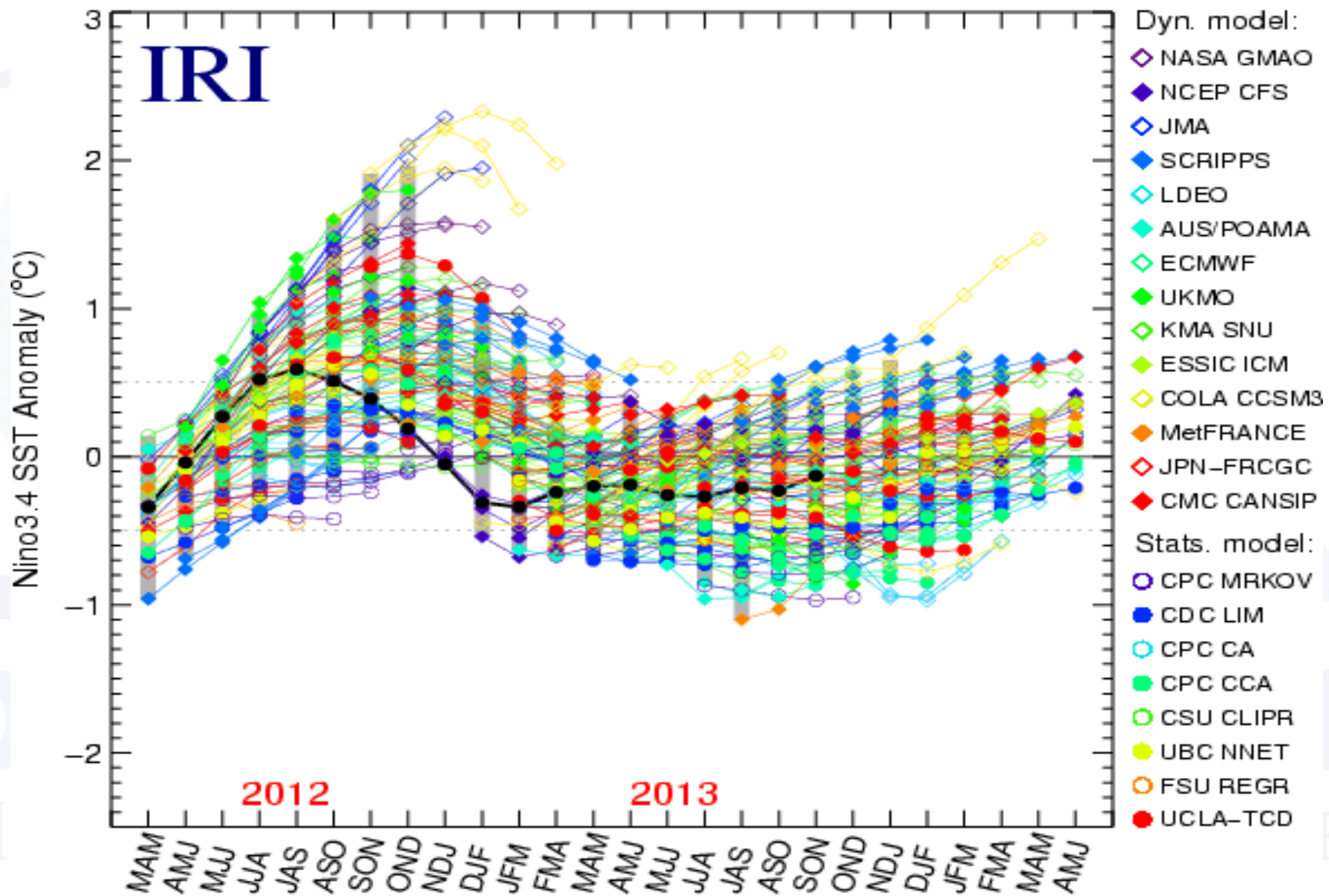
En otras ocasiones ocurre el fenómeno opuesto. Los vientos alisios del sur se intensifican frente a las costas sudamericanas y provocan un mayor afloramiento de aguas frías, las cuales cubren la superficie del Pacífico desde Suramérica hasta un poco más allá del centro del océano. Por sus características contrarias a El Niño, este fenómeno es conocido como La Niña. Se destacan los episodios de 1988-1989, 1998-2000 y 2010-2011 por su intensidad, duración y efecto climático.

PROYECCIÓN DEL FENÓMENO ENOS

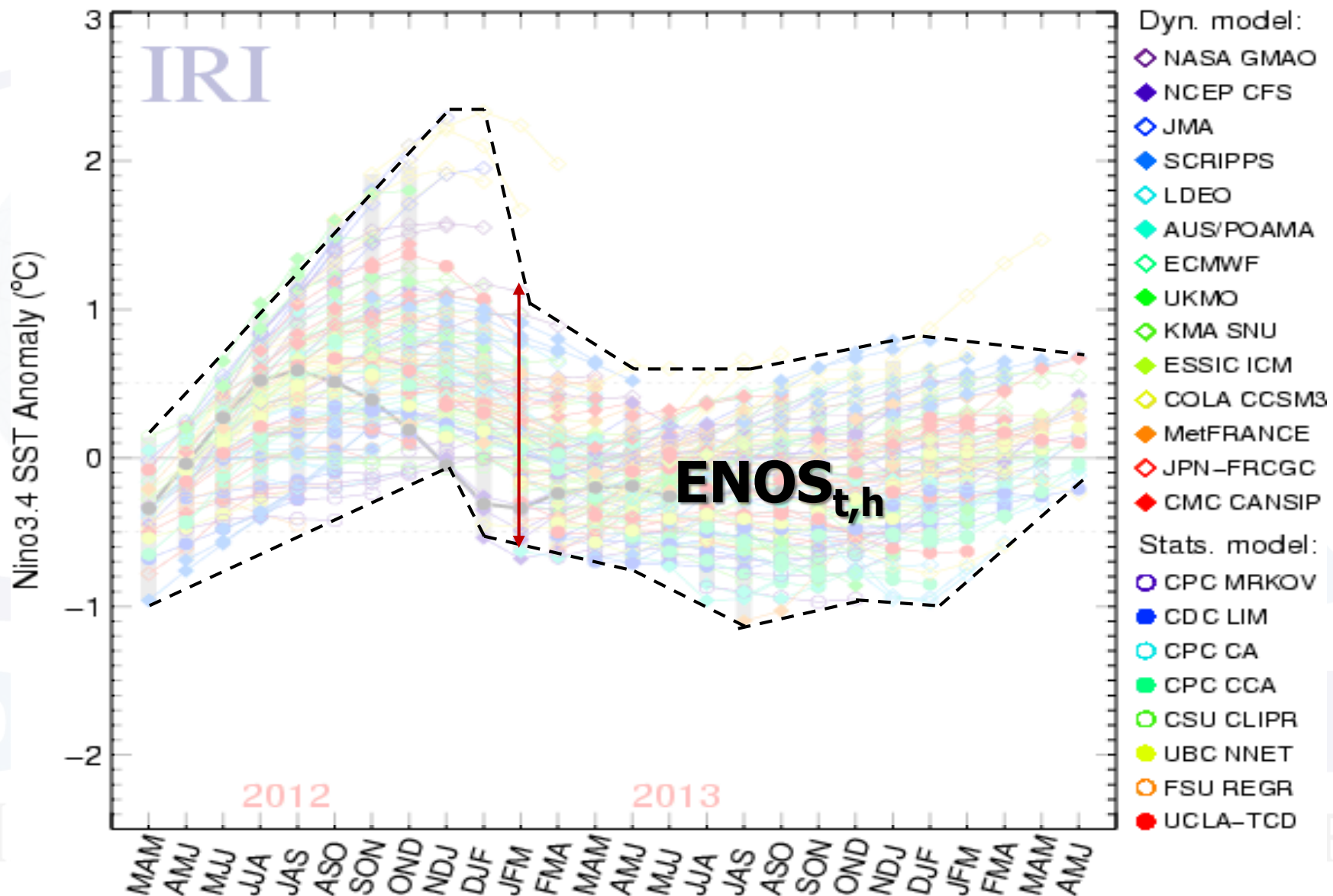
El indicador del proceso **ENOS** más comúnmente utilizado es el denominado NINO 3.4 index (120-170W, 5S-5N). La siguiente gráfica presenta los eventos ocurridos en el período 1970-2008



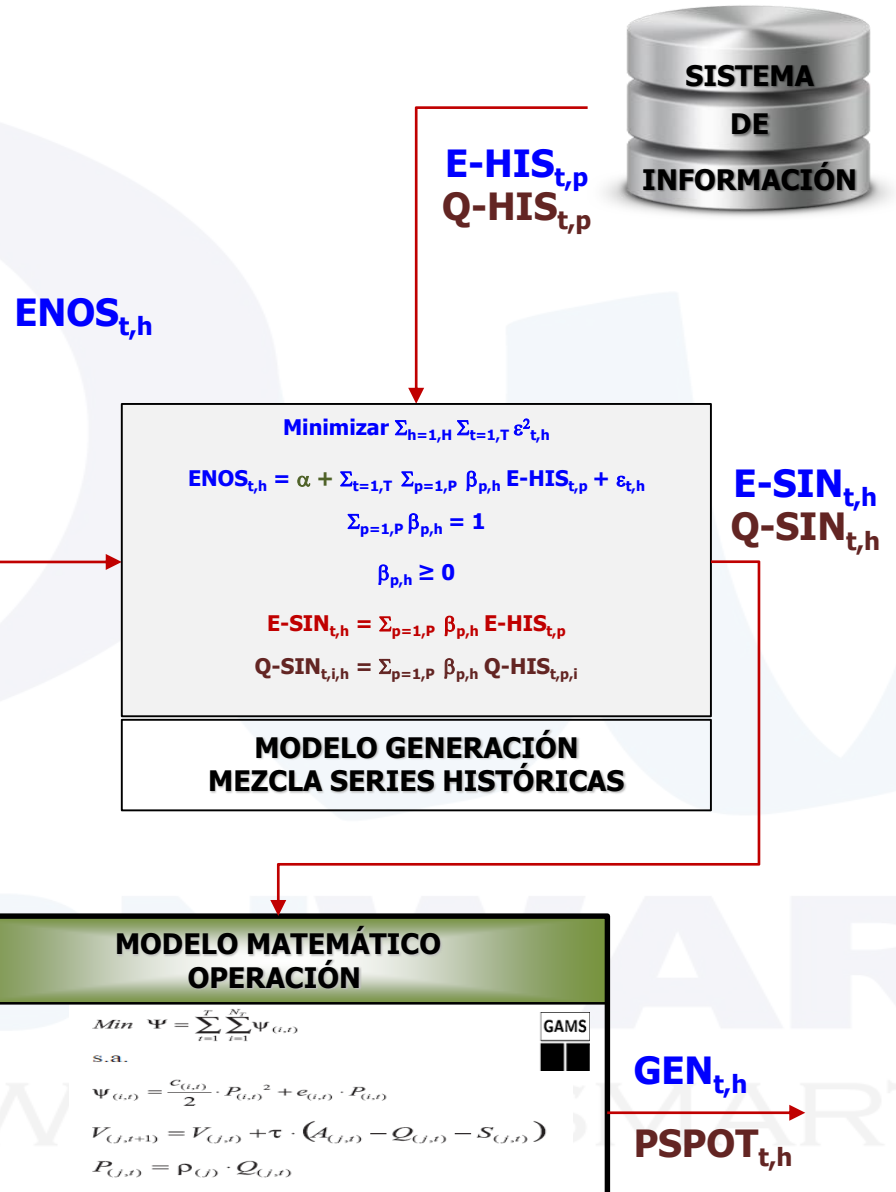
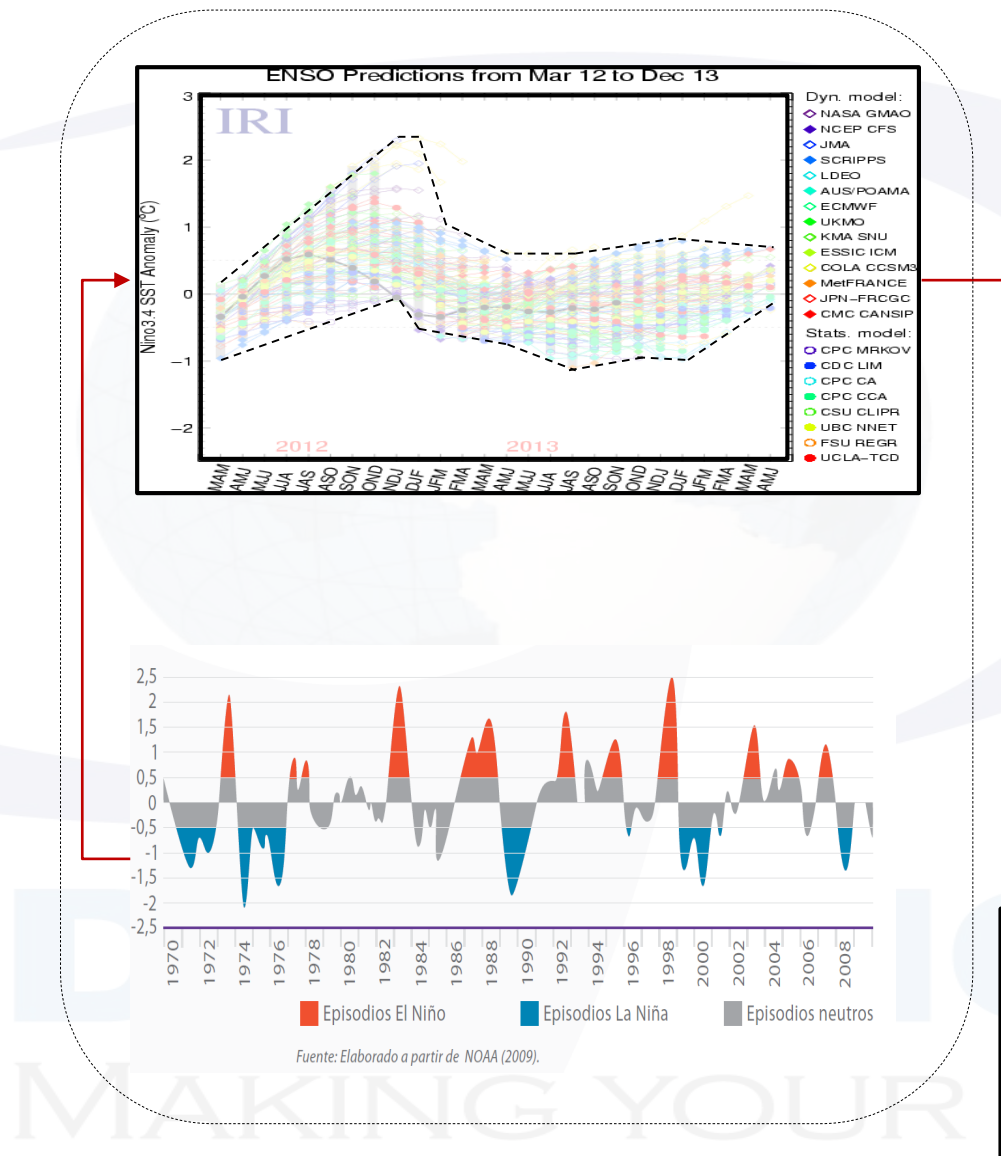
ENSO Predictions from Mar 12 to Dec 13



ENSO Predictions from Mar 12 to Dec 13



GENERACIÓN SINTÉTICA DE VARIABLES



PROYECCIÓN DE LAS SERIES DE APORTES HÍDRICOS (UN MODELO DE EJEMPLO)

1. PROYECCIÓN DE SERIES SINTÉTICAS ENOS ($\text{ENOS}_{t,h}$) CARACTERIZADAS A PARTIR DE LOS RESULTADOS IRI POR MEDIO DE UN MODELO PROBABILÍSTICO OBTENIDO A PARTIR DE LAS PROYECCIÓN DEL IRI.
2. PROYECCIÓN DE LA SERIE SINTÉTICA DEL ENOS ($\text{E-SIN}_{t,h}$) CON BASE EN UNA COMBINACIÓN LINEAL CONVEXA DE SERIES HISTÓRICAS DEL ÍNDICE ENOS.
3. LOS FACTORES DE PONDERACIÓN ($\beta_{p,h}$) SE DETERMINAN CON BASE LA MINIMIZACIÓN SUMA DE ERRORES ($\varepsilon_{t,h}^2$) AL CUADRADO ($\varepsilon_{t,h}^2$) DE LA SERIE ENOS PREDICHA A PARTIR DE LAS SERIES HISTÓRICAS ENOS ($\text{E-HIS}_{t,p}$).
4. PROYECCIÓN DE LAS SERIES SINTÉTICAS DE APORTES HÍDRICOS ($\text{Q-SIN}_{t,i,h}$) CON BASE EN LOS FACTORES DE PONDERACIÓN APLICADOS

$$\text{Minimizar } \sum_{h=1,H} \sum_{t=1,T} \varepsilon_{t,h}^2$$

$$\text{ENOS}_{t,h} = \alpha + \sum_{t=1,T} \sum_{p=1,P} \beta_{p,h} \text{E-HIS}_{t,p} + \varepsilon_{t,h}$$

$$\sum_{p=1,P} \beta_{p,h} = 1$$

$$\beta_{p,h} \geq 0$$

$$\text{E-SIN}_{t,h} = \sum_{p=1,P} \beta_{p,h} \text{E-HIS}_{t,p}$$

$$\text{Q-SIN}_{t,i,h} = \sum_{p=1,P} \beta_{p,h} \text{Q-HIS}_{t,p,i}$$

INDICES:

| | |
|---|----------------------------|
| t | período |
| h | Serie Sintética |
| p | Año Inicio Serie Histórica |
| i | Afluente |

OPCHAIN-E&G

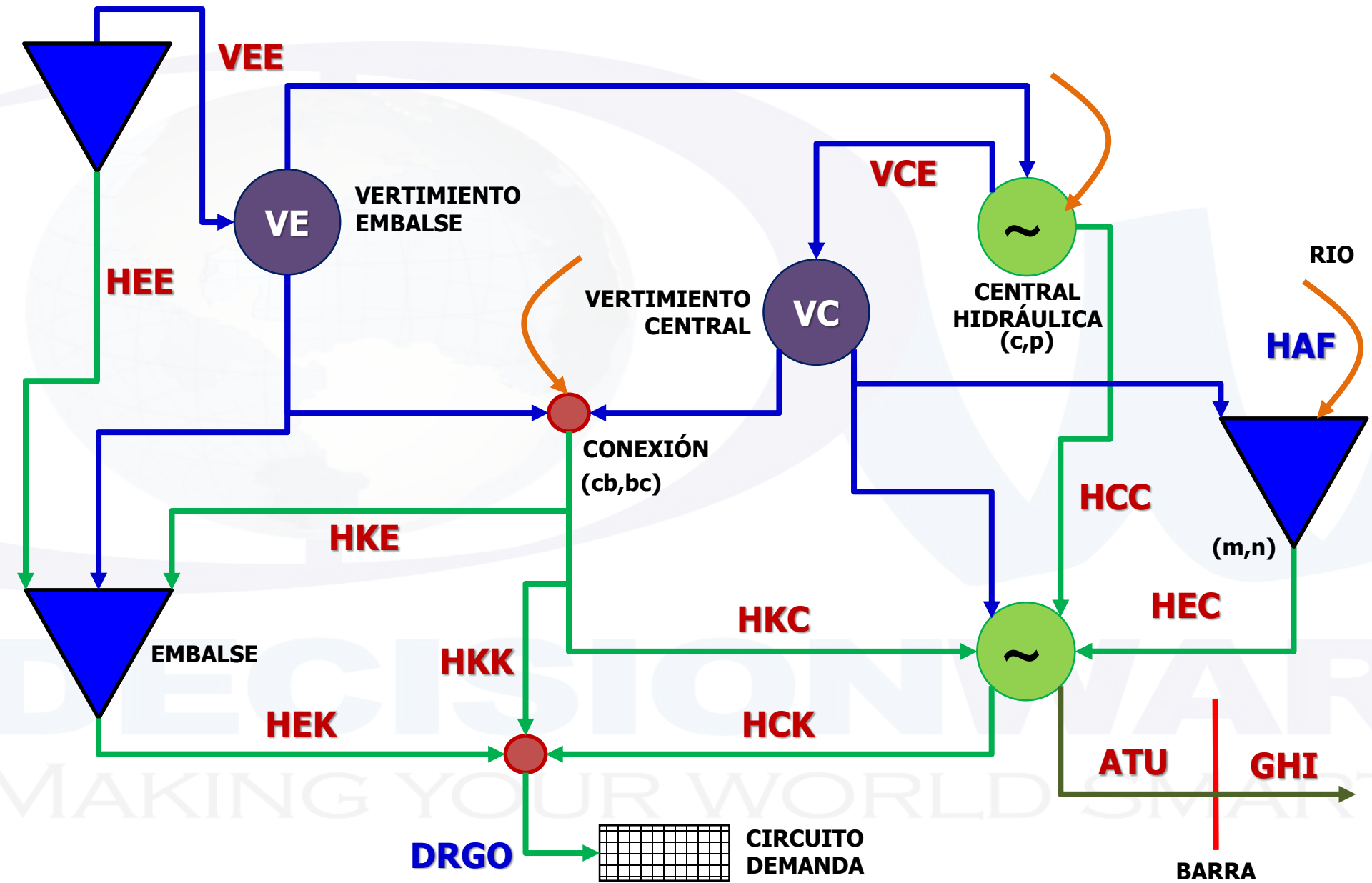
OPTIMIZING THE VALUE CHAIN

Electricity & Gas Supply Chain Optimization

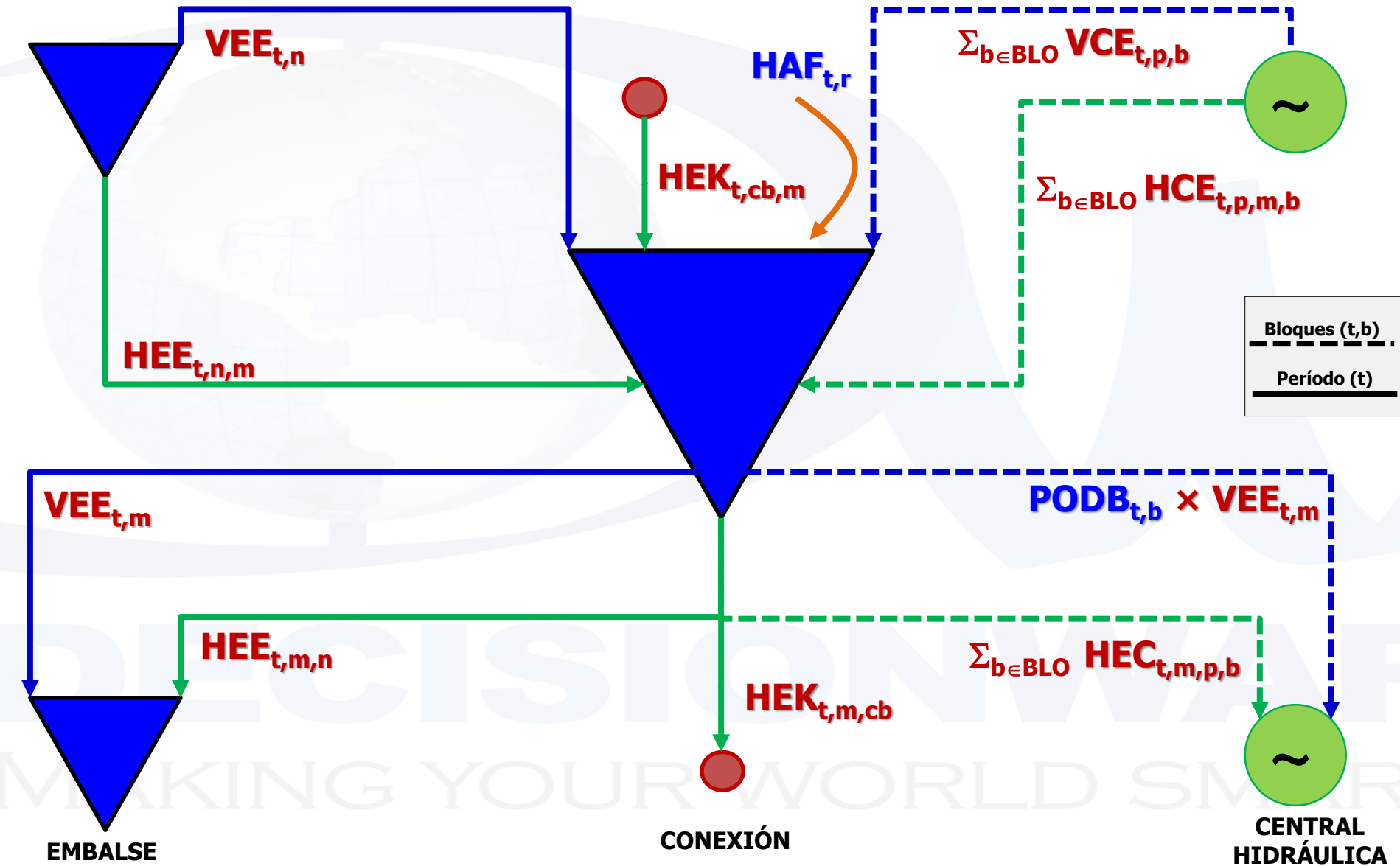
PHYSICAL MODELING – HYDRO SYSTEM



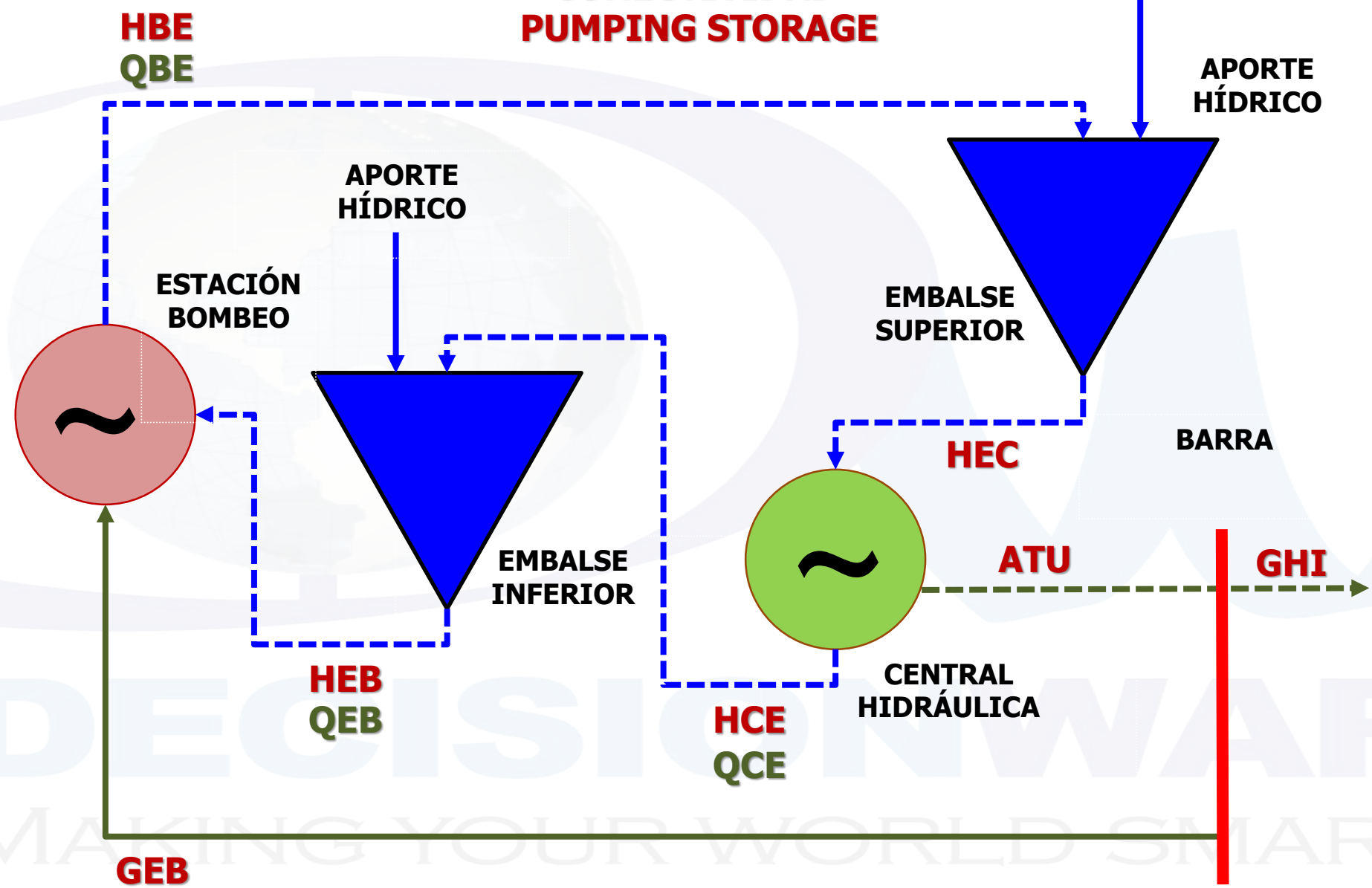
SISTEMA HIDRÁULICO



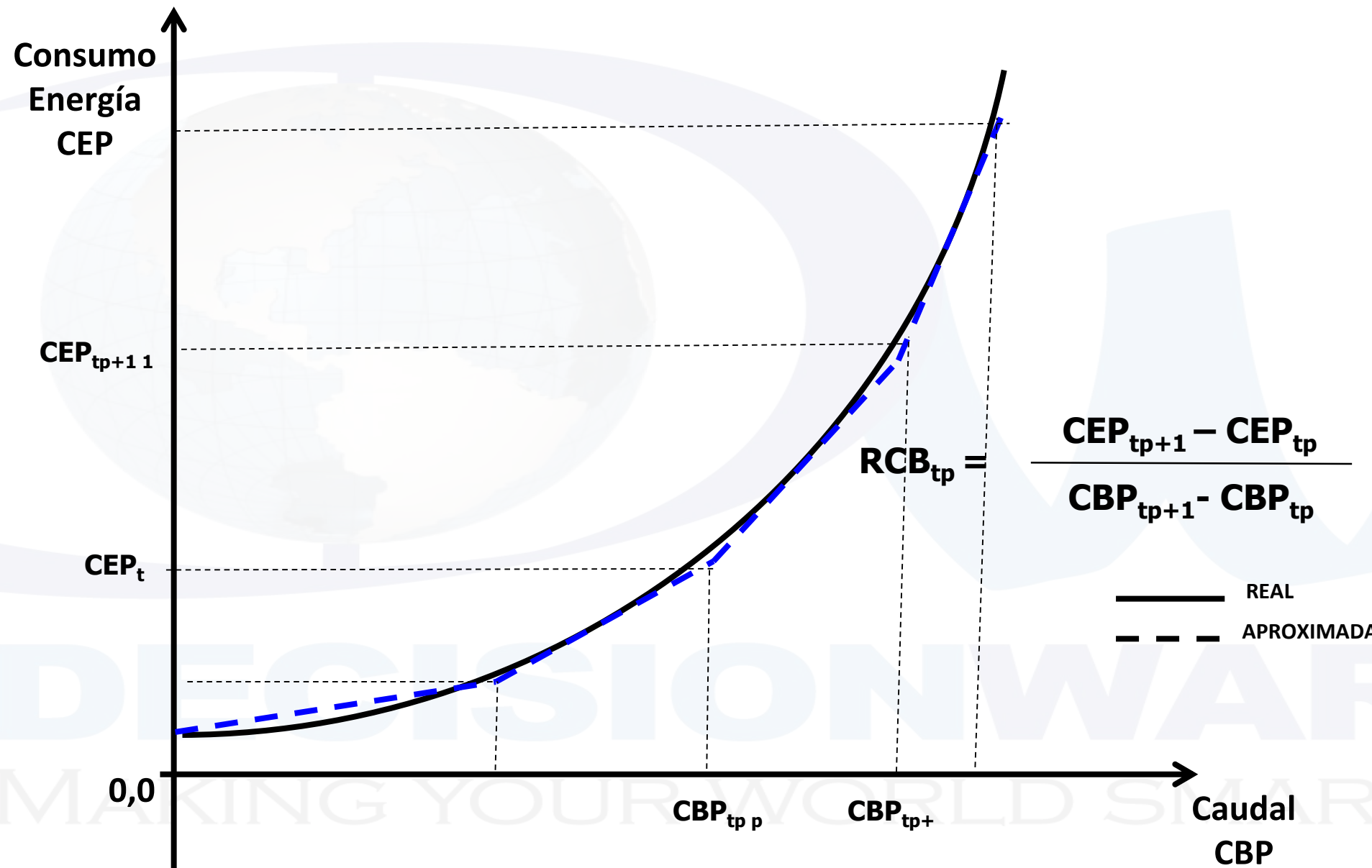
EMBALSES BALANCE POR PERÍODO



CONECTIVIDAD PUMPING STORAGE



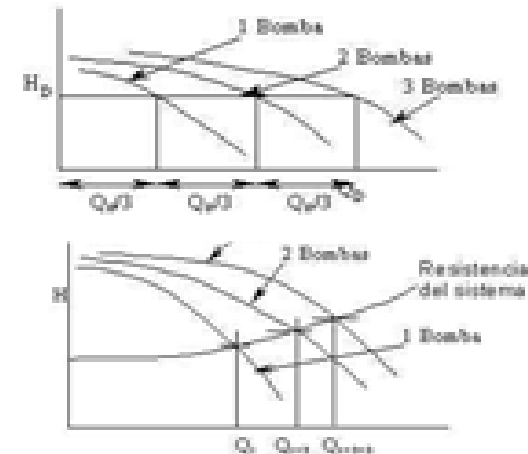
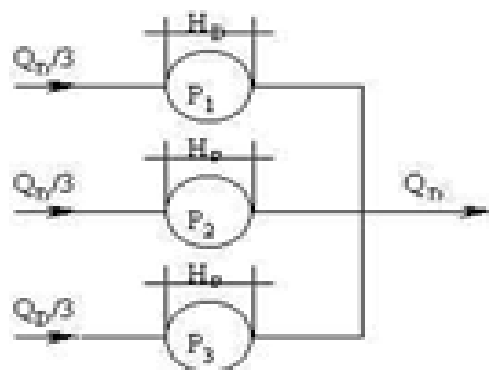
APROXIMACIÓN CURVA DE ENERGÍA vs CAUDAL



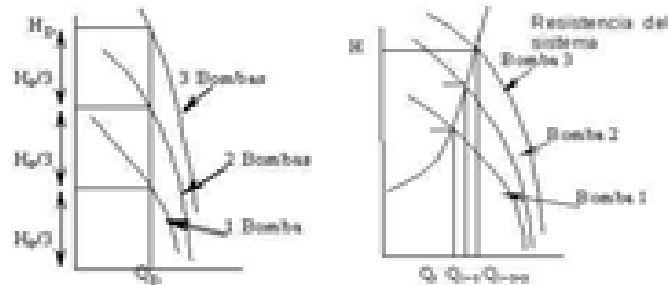
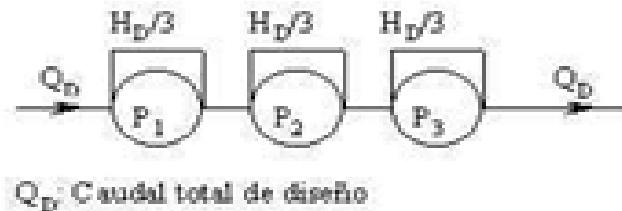
OPERACIÓN DETALLADA DE PLANTAS DE BOMBEO

PATRONES DE BOMBEO CONFIGURACION BOMBEO

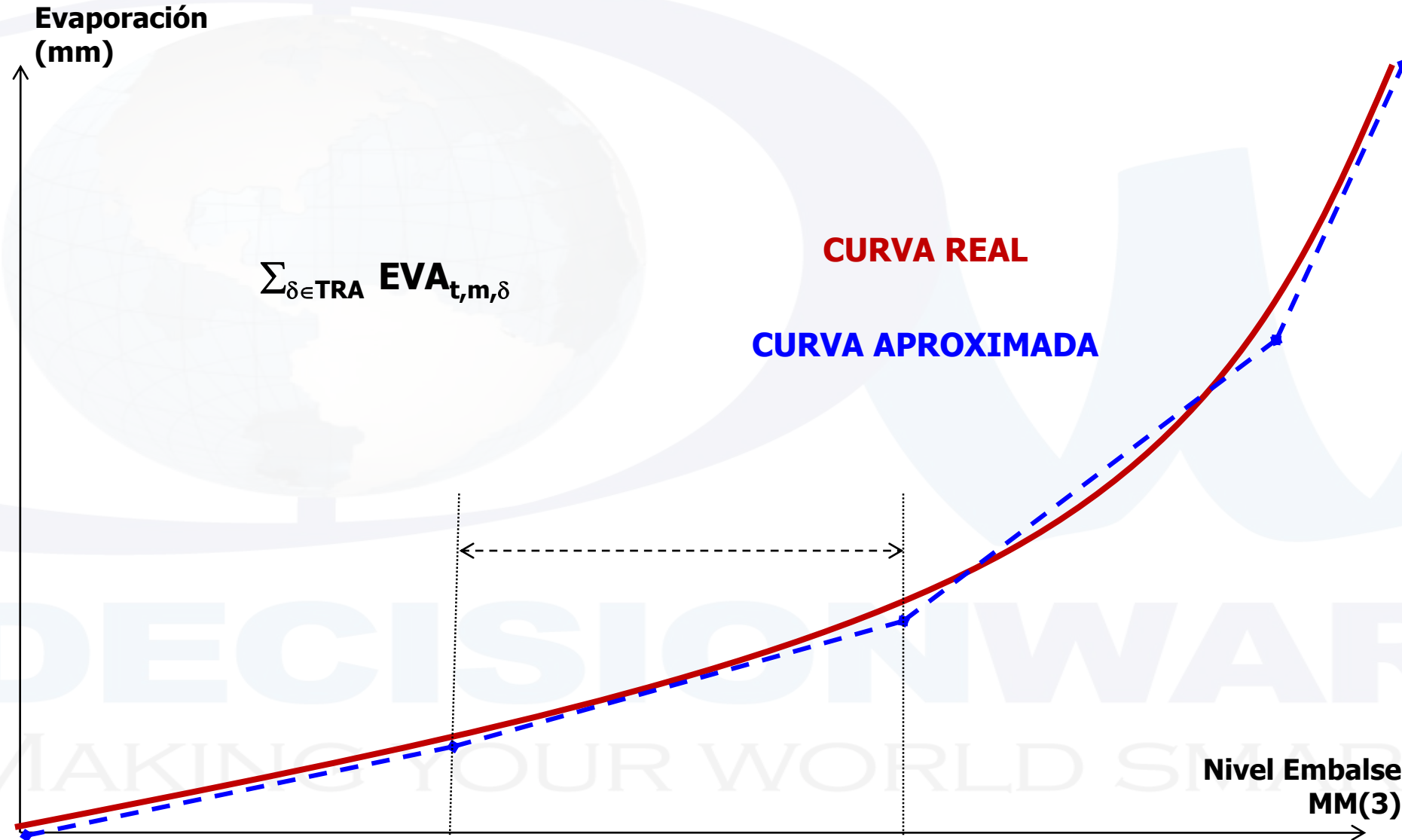
EN PARALELO



EN SERIE



CURVA DE EVAPORACIÓN = FUNCIÓN (VOLUMEN DEL EMBALSE)



CURVA DE HIDRO-GENERACIÓN "EXACTA"

POSIBLES ENFOQUES

**MODELAJE BINARIO
(EMBALSE PARTICIONADO)**

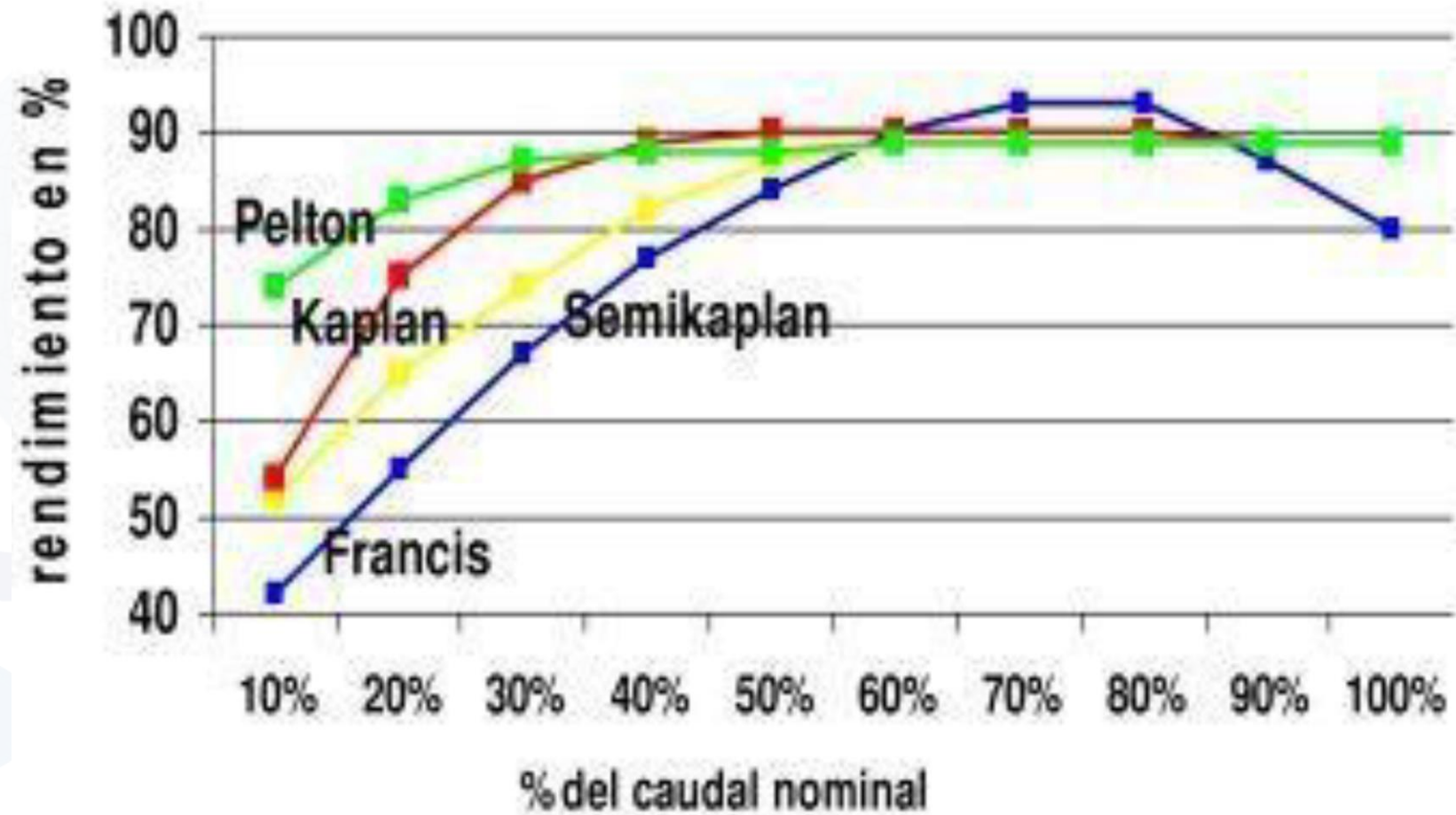
**APROXIMACIÓN FUNCIONES NO-LINEALES
(MODELO POLINOMIAL)**



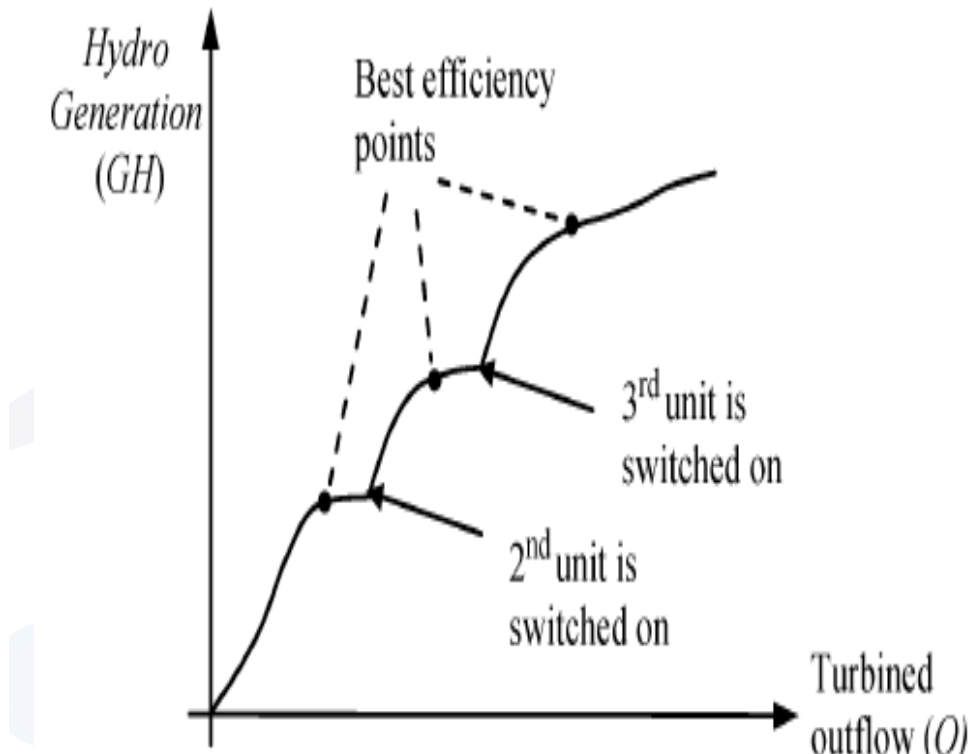
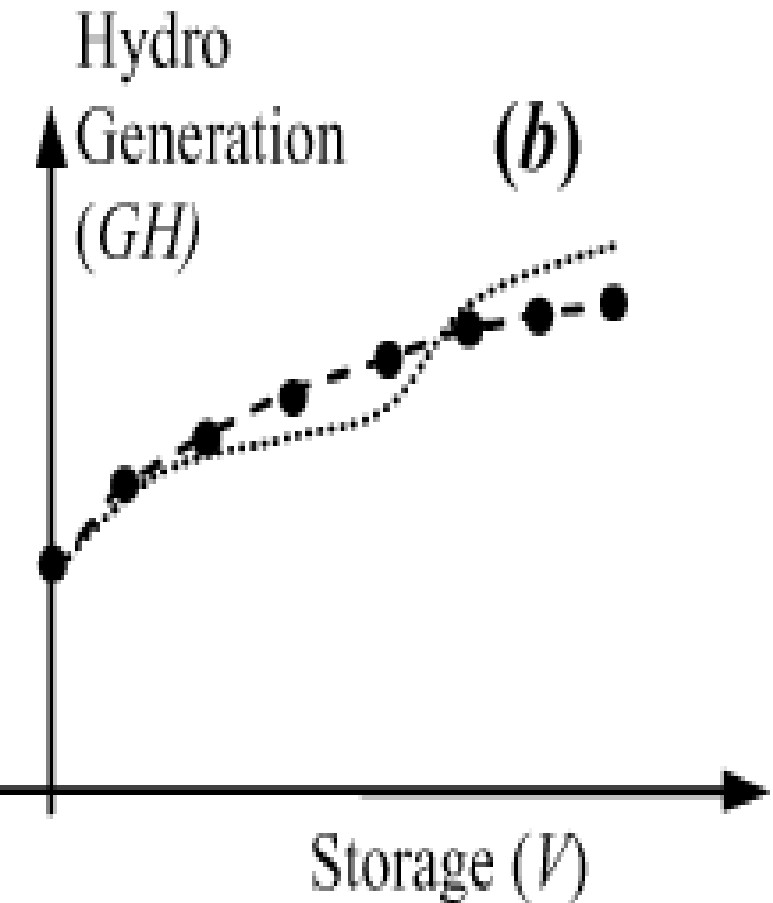
CONVEX HULL

DECISIONWARE
MAKING YOUR WORLD SMARTER

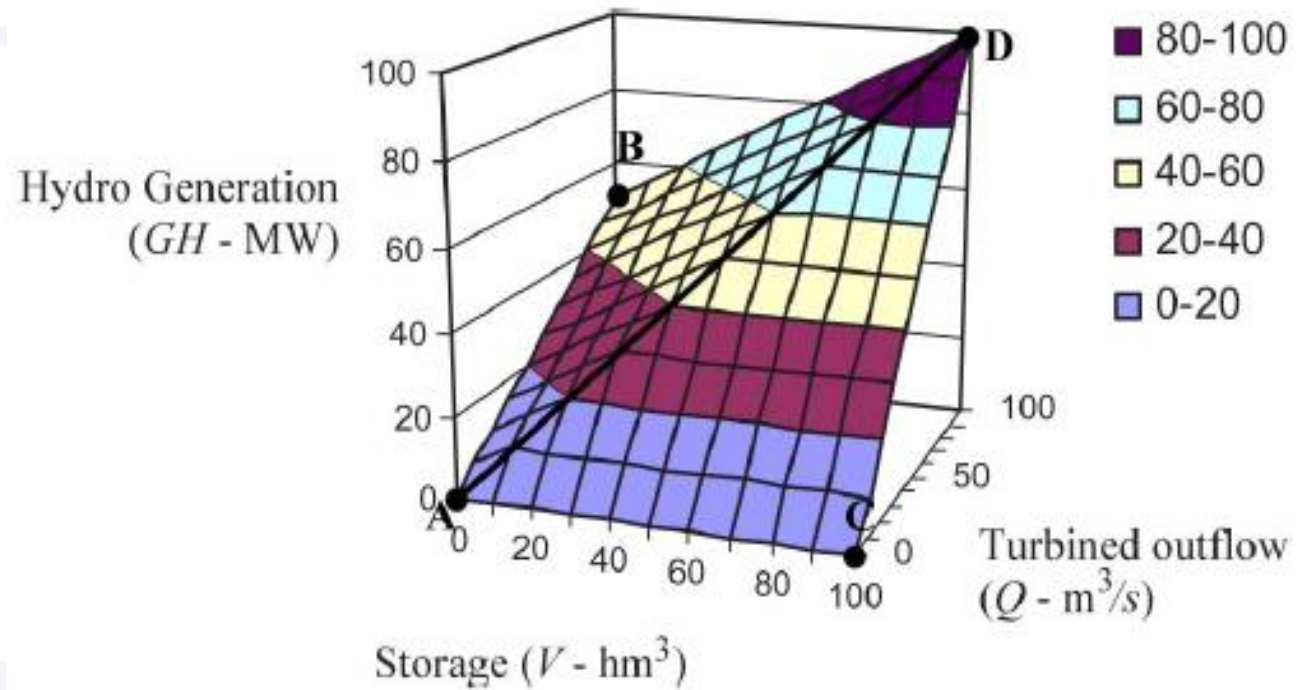
CURVA DE HIDRO-GENERACIÓN "EXACTA"



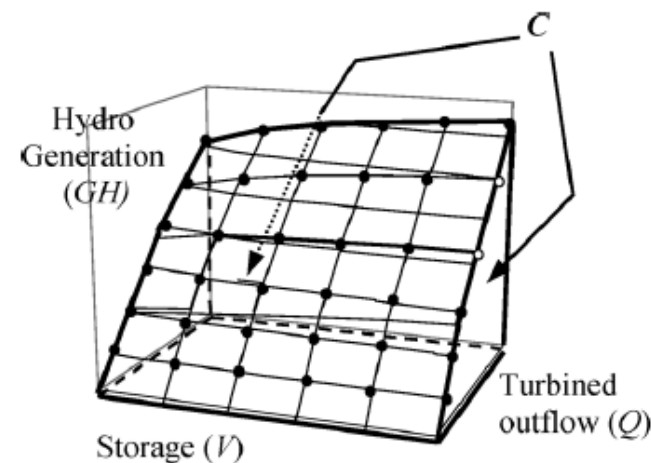
CURVA DE HIDRO-GENERACIÓN "EXACTA"



CURVA DE HIDRO-GENERACIÓN "EXACTA"



DECISION
MAKING YOUR WC



CURVA DE HIDRO-GENERACIÓN "EXACTA"

La superficie formada por la unión de hiperplanos puede ser o no convexa, si es convexa el “convex hull” será igual al conjunto de hiperplanos que componen la superficie, si no lo es debe determinar, para ello existen algoritmos eficientes disponibles libremente en <http://www.qhull.org>, en adelante el “convex hull” sera referido como $\mathbf{GH}^c(\mathbf{V}^n, \mathbf{Q}^k)$.

$\mathbf{GH}^c(\mathbf{V}^n, \mathbf{Q}^k)$ limita la mayor cantidad de generación hidráulica que se puede obtener para un punto $(\mathbf{V}^n, \mathbf{Q}^k)$ pudiéndose aproximar en cualquier período la generación hidráulica $\mathbf{GH}_t(\mathbf{V}_t, \mathbf{Q}_t)$ en una cuadrícula de la malla por medio de una combinación lineal convexa de los valores de $\mathbf{GH}^c(\mathbf{V}^n, \mathbf{Q}^k)$ en los puntos extremos de la cuadrícula, matemáticamente esto se expresa como

$$\mathbf{GH}(\mathbf{V}_t, \mathbf{Q}_t) = \mathbf{GH}_t = \sum_{n=1, N} \sum_{k=1, K} \theta_{t,n,k} \mathbf{GH}^c(\mathbf{V}^n, \mathbf{Q}^k)$$

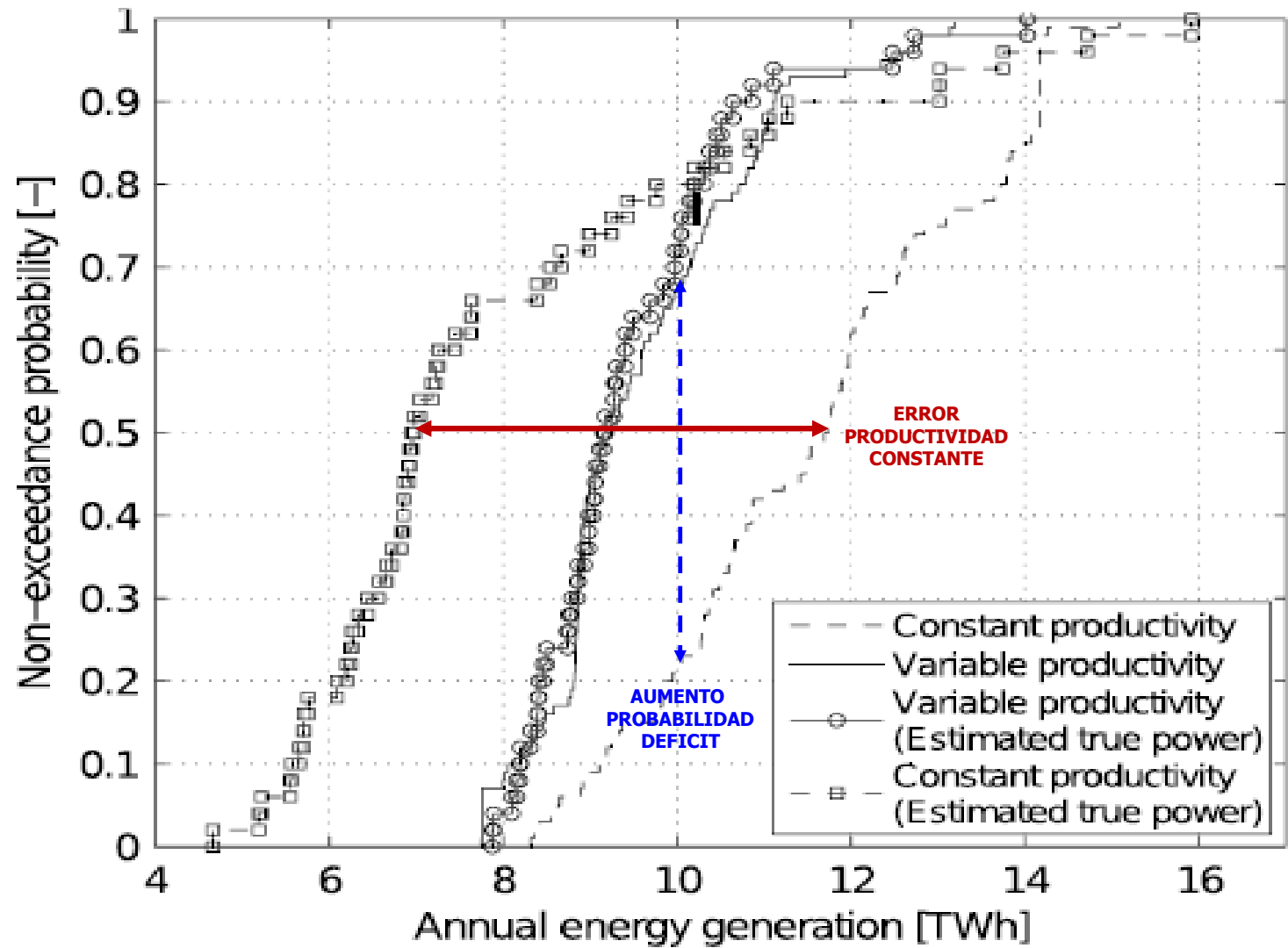
$$\sum_{n=1, N} \sum_{k=1, K} \theta_{t,n,k} = 1$$

$$\mathbf{V}_t = \sum_{n=1, N} \sum_{k=1, K} \theta_{t,n,k} \mathbf{V}^n$$

$$\mathbf{Q}_t = \sum_{n=1, N} \sum_{k=1, K} \theta_{t,n,k} \mathbf{Q}^k$$

$$\mathbf{V}_t = \mathbf{V}_{t-1} - \mathbf{Q}_t + \mathbf{I}_t - \mathbf{S}_t$$

donde $\theta_{t,n,k}$ corresponde a los multiplicadores que expresan las variables como una combinación convexa, **N** corresponde al número de puntos tomados para discretizar el almacenamiento, **K** el número de puntos para el caudal, **I_t** al aporte hídrico al embalse durante el período y **S_t** la pérdida agua por desbordamiento y/o evaporación. A mayor cantidad de puntos mayor presición y mayor tiempo de cómputo.



CURVA DE HIDRO-GENERACIÓN "EXACTA"

En resumen, las no-linealidades inherentes a la función hidro-generación pueden aproximarse por trozos funciones lineales, que conforman un "convex hull", manteniendo el modelo lineal.

Esta representación, más precisa, resulta en problemas de optimización más complejos y aumenta el tiempo de computación.

Pero considerando que el efecto del modelaje de la cabeza hidráulica cambia las políticas de manejo de los embalses que afectan no sólo a la producción de energía, sino también a la disponibilidad de agua en todo el sistema, el costo adicional se justifica.

Adicionalmente, el perfil del riesgo del sistema cambia, aparentando ser menos riesgoso cuando se simula con una línea de energía constante.

Los resultados demuestran que considerar variable la productividad de las plantas de energía hidroeléctrica es de suma importancia, ya que al ignorarlo se introduce un sesgo grave en el manejo del sistema.

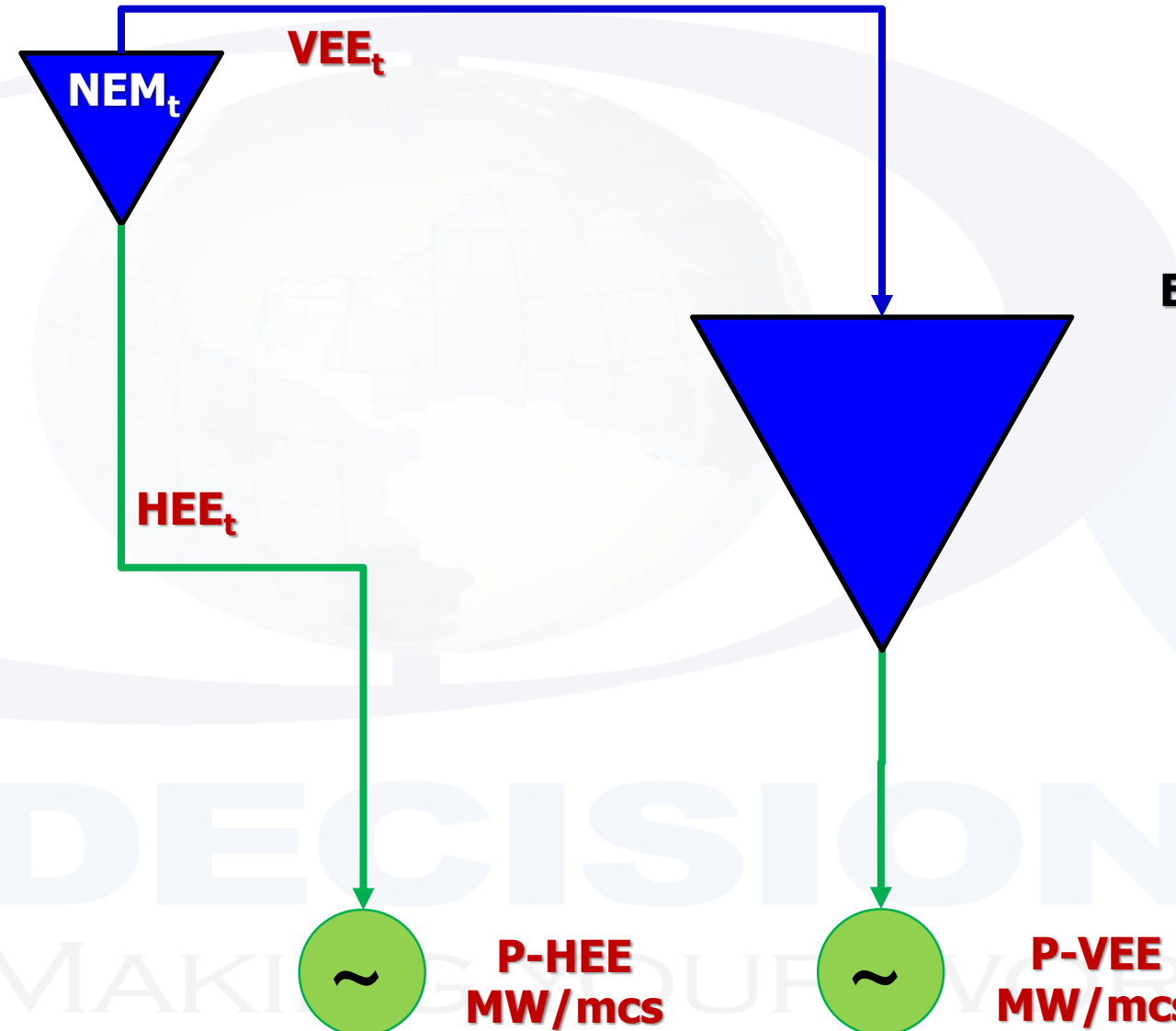
MODELAMIENTO VERTIMIENTOS

Es bastante común que los **vertimientos** y los **caudales mínimos** sean manejados por medio de restricciones blandas, **que implican penalizaciones subjetivas en la función objetivo.**

Los problemas derivados de las penalizaciones se concentran en el hecho de que son artificios matemáticos para controlar la representatividad de la solución física de problema, variables primales, que termina alterando la representatividad de la solución económica, variables duales (multiplicadores de Lagrange o variables duales o costos/beneficios de oportunidad).

Lo anterior puede llevar a decisiones equivocadas, cuando las variables económicas, son utilizadas para estimar el precio del mercado spot de los energéticos, principalmente la variable dual asociada a la ecuación de demanda que se considera un “proxy” del precio spot de la electricidad.

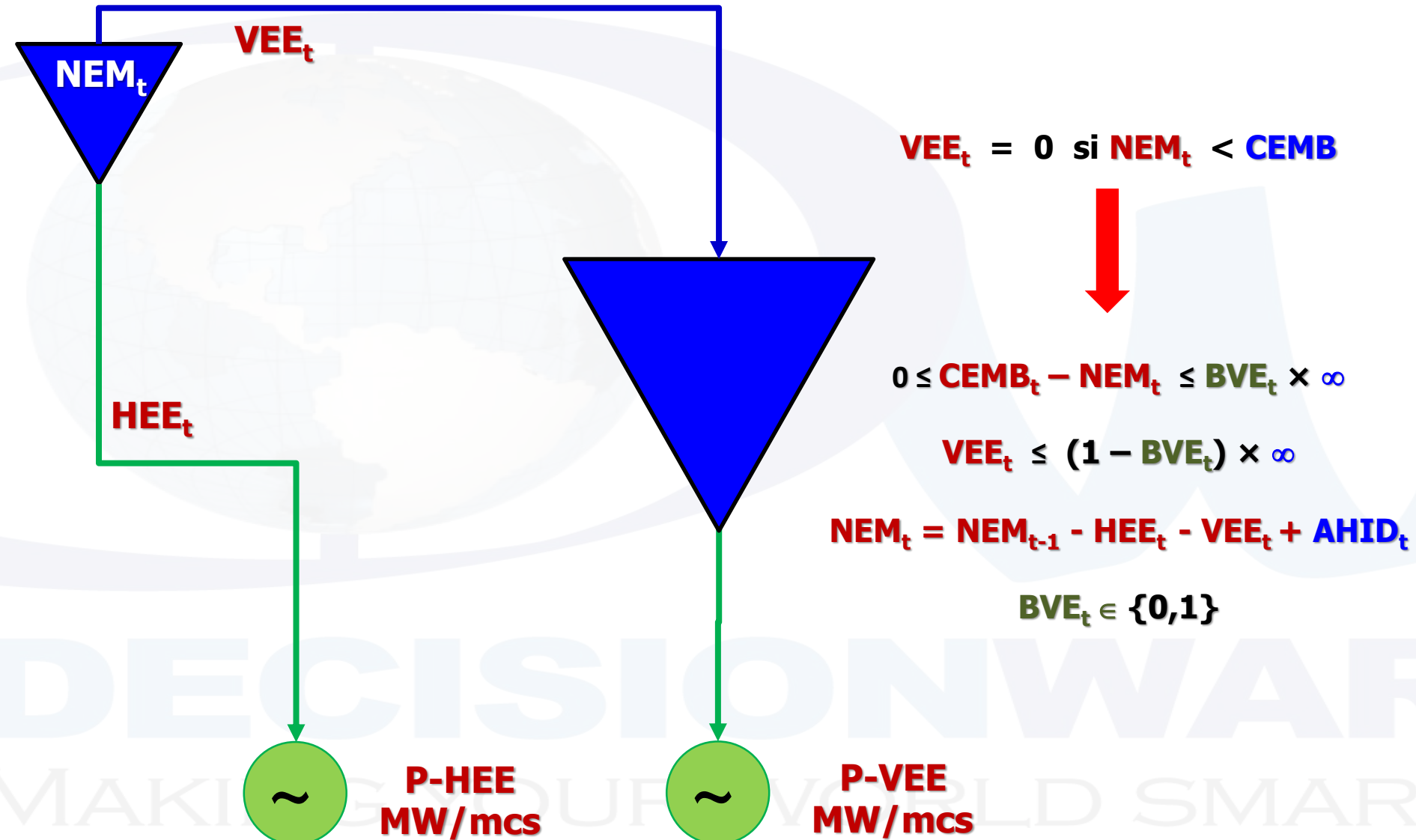
MODELAMIENTO VERTIMIENTOS



SI
 $P\text{-VEE} > P\text{-HEE}$

EL MODELO UTILIZARÁ
PRIMERO EL
VERTIMIENTO ANTES
QUE LA TURBINA DEL
EMBALSE

MODELAMIENTO VERTIMIENTOS



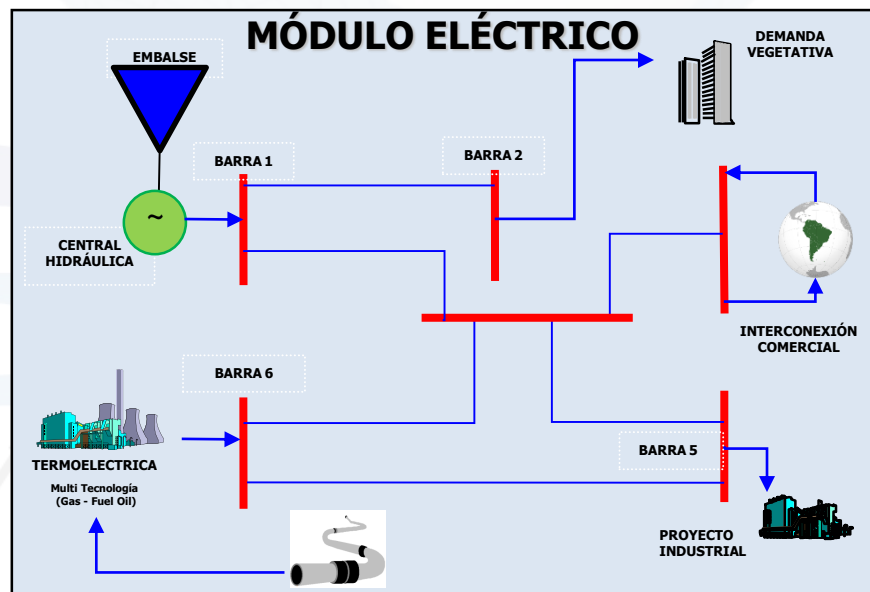
OPCHAIN-E&G

OPTIMIZING THE VALUE CHAIN

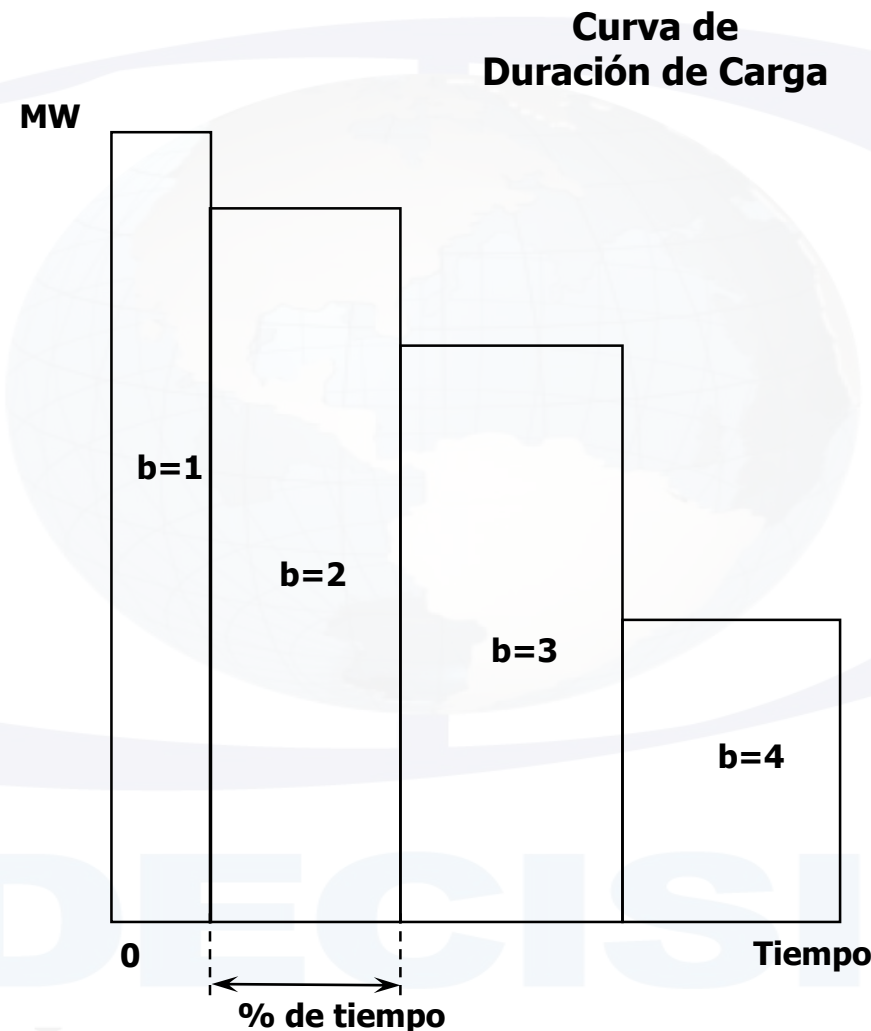
Electricity & Gas Supply Chain Optimization

PHYSICAL MODELING – ELECTRIC SYSTEM

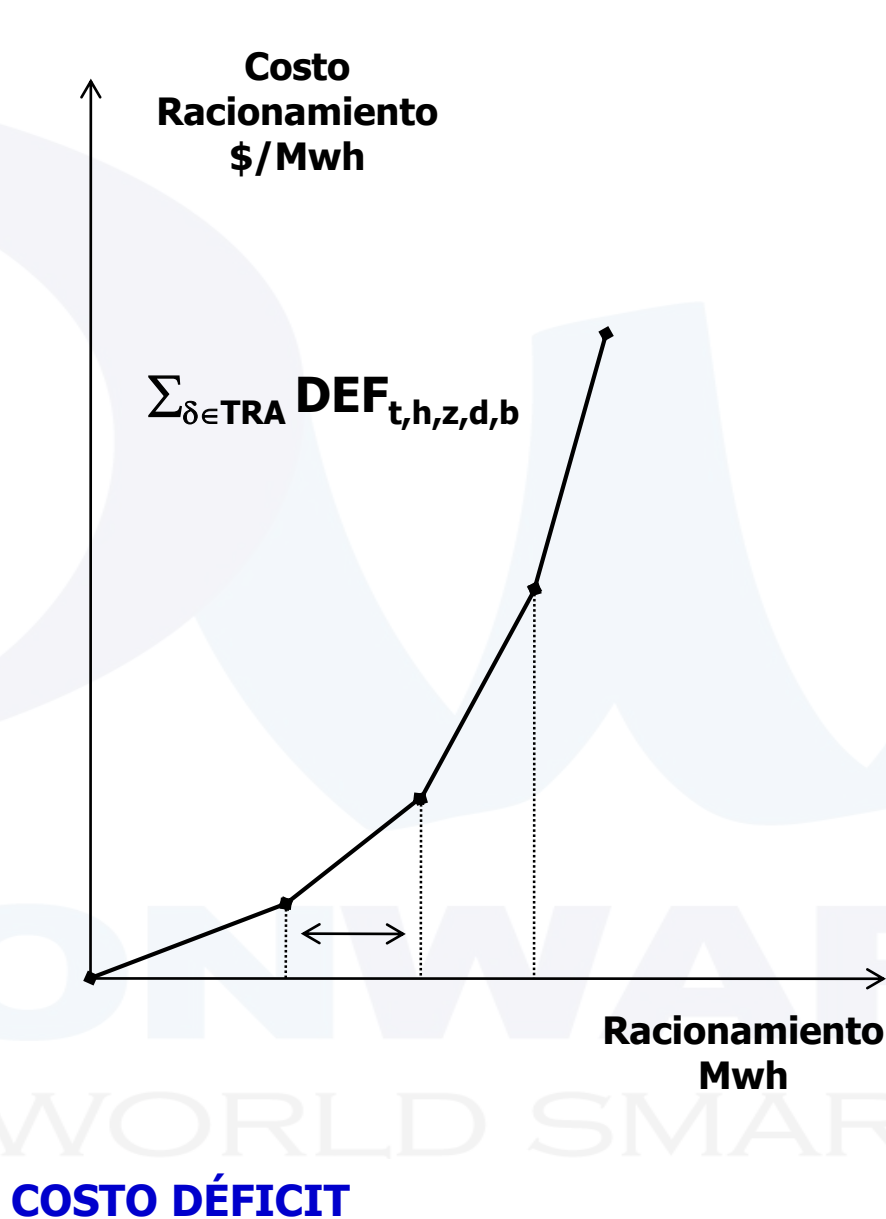




MODELAMIENTO DE LA DEMANDA

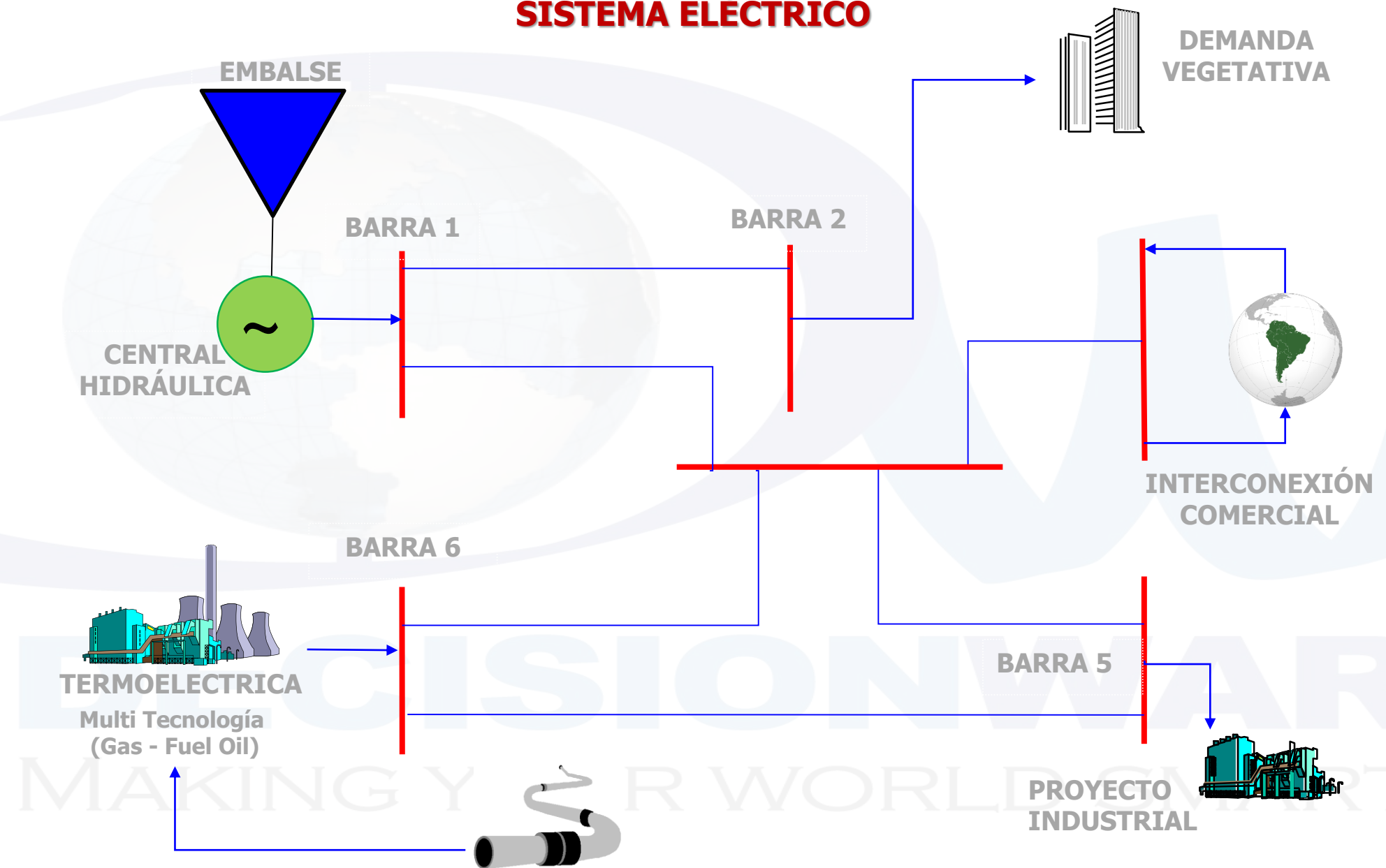


DEMANDA

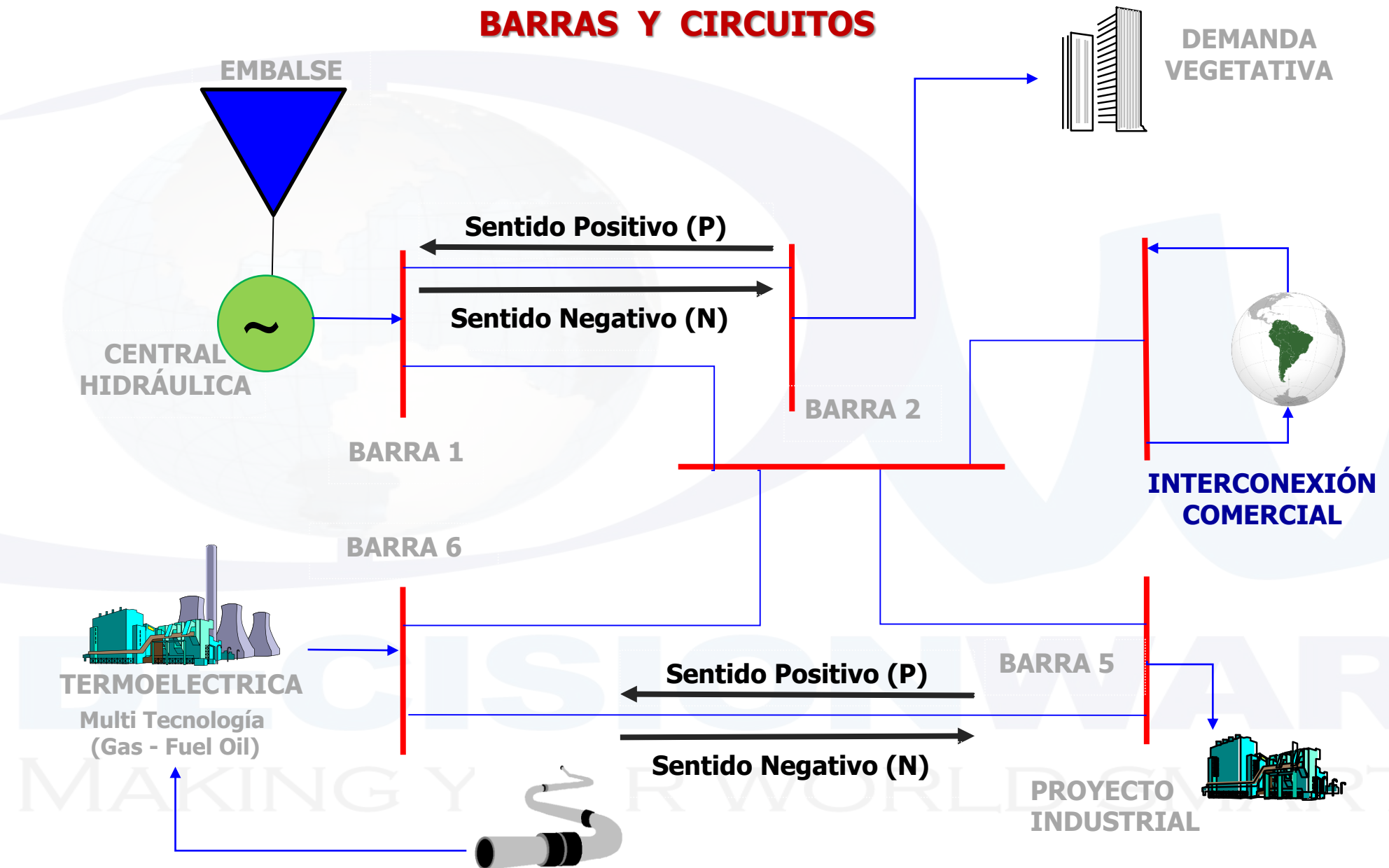


COSTO DÉFICIT

SISTEMA ELÉCTRICO



SISTEMA ELÉCTRICO INTERCONECTADO BARRAS Y CIRCUITOS



MODELAMIENTO DEL SISTEMA DE TRANSMISIÓN

ALTERNATIVAS

FLUJO: SISTEMA DE TRANSPORTE

PÉRDIDAS: FUNCIÓN DE PÉRDIDAS LINEALIZADA

FLUJO: SEGUNDA LEY DE KIRCHHOFF

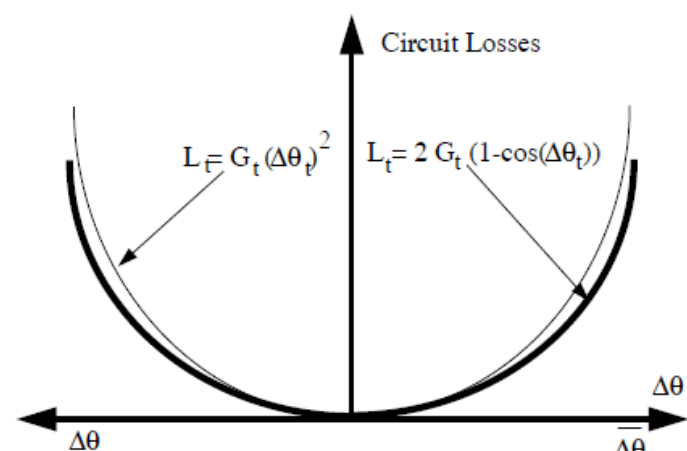
PÉRDIDAS: FUNCIÓN DE PÉRDIDAS LINEALIZADA

FLUJO: SEGUNDA LEY DE KIRCHHOFF

PÉRDIDAS: APROXIMACIÓN LINEAL DE LA APROXIMACIÓN COSEINOIDAL

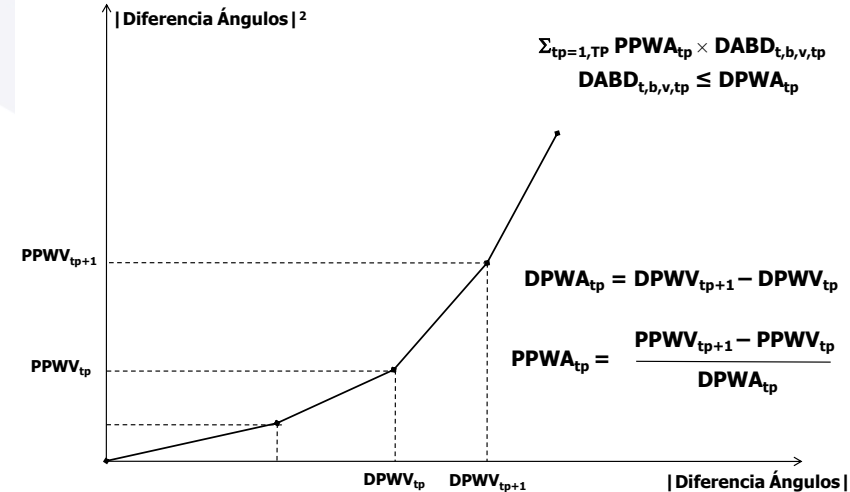
DECISIONWARE
MAKING YOUR WORLD SMARTER

PÉRDIDAS ÓHMICAS

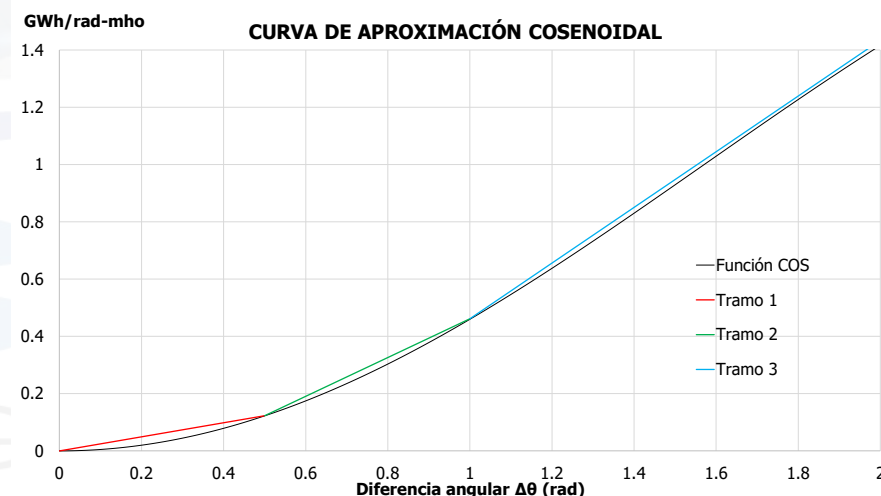


Metodología: Aproximación Cuadrática

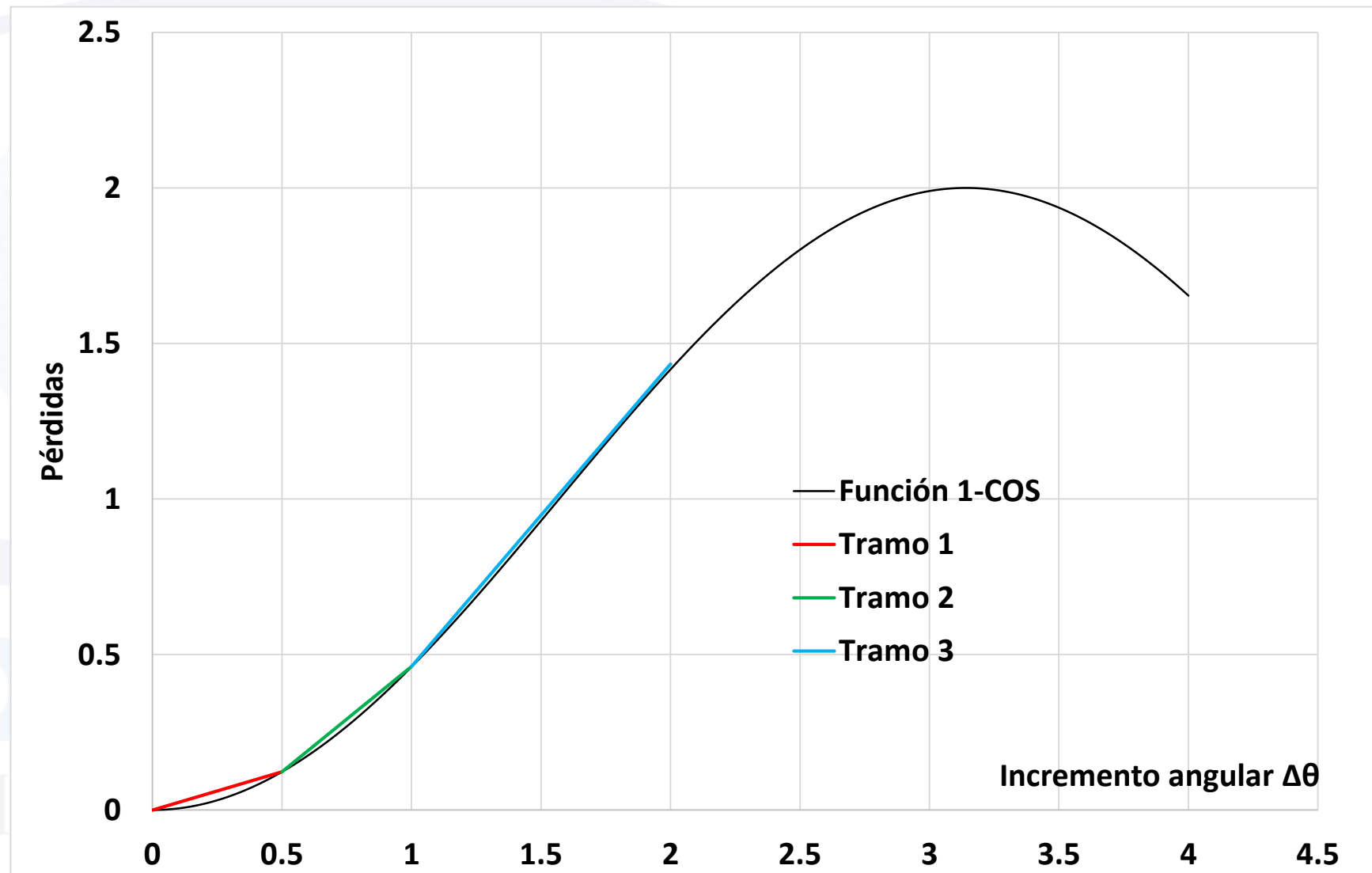
CURVA DIFERENCIA ÁNGULOS AL CUADRADO



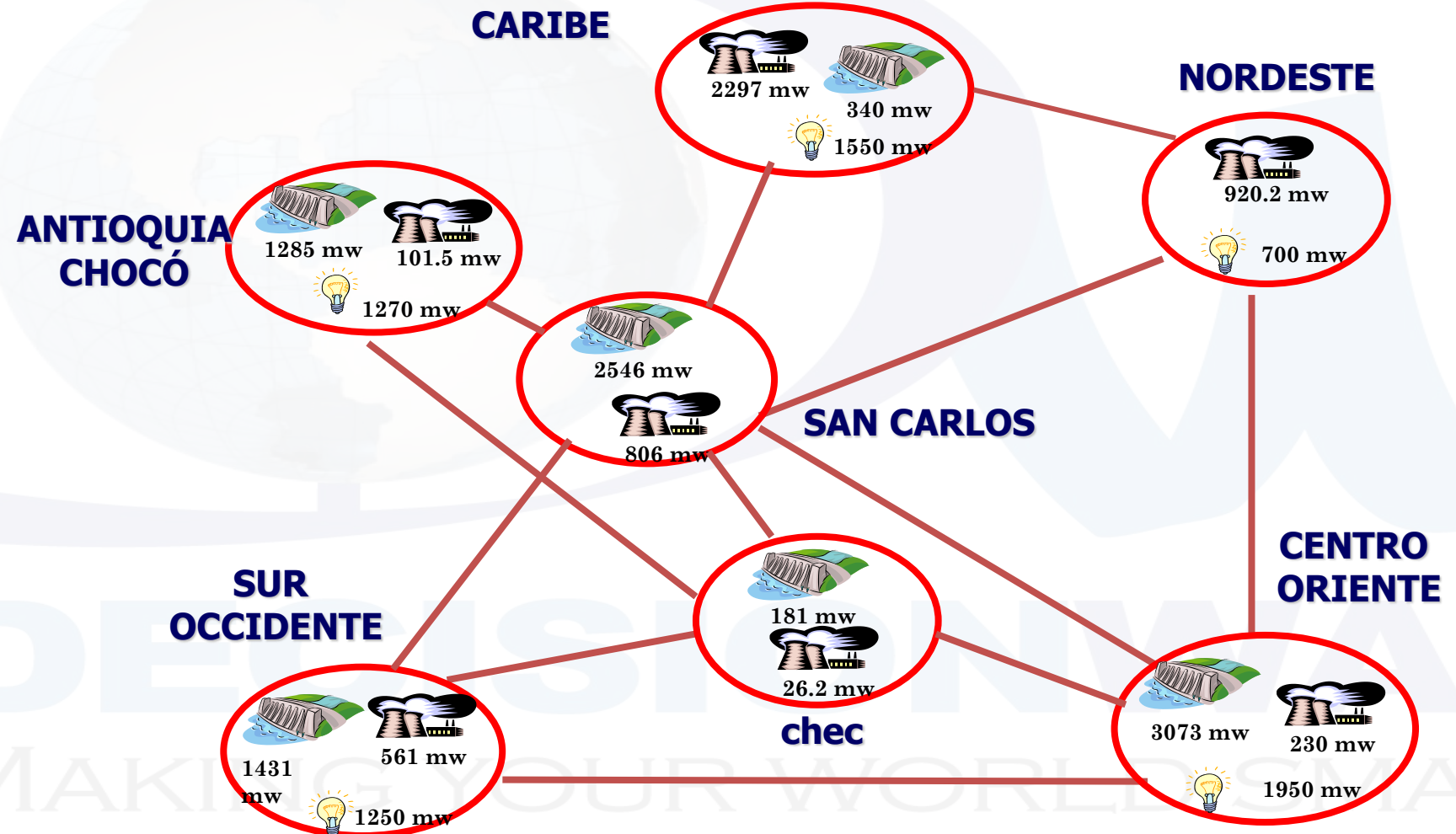
CURVA APROXIMADA



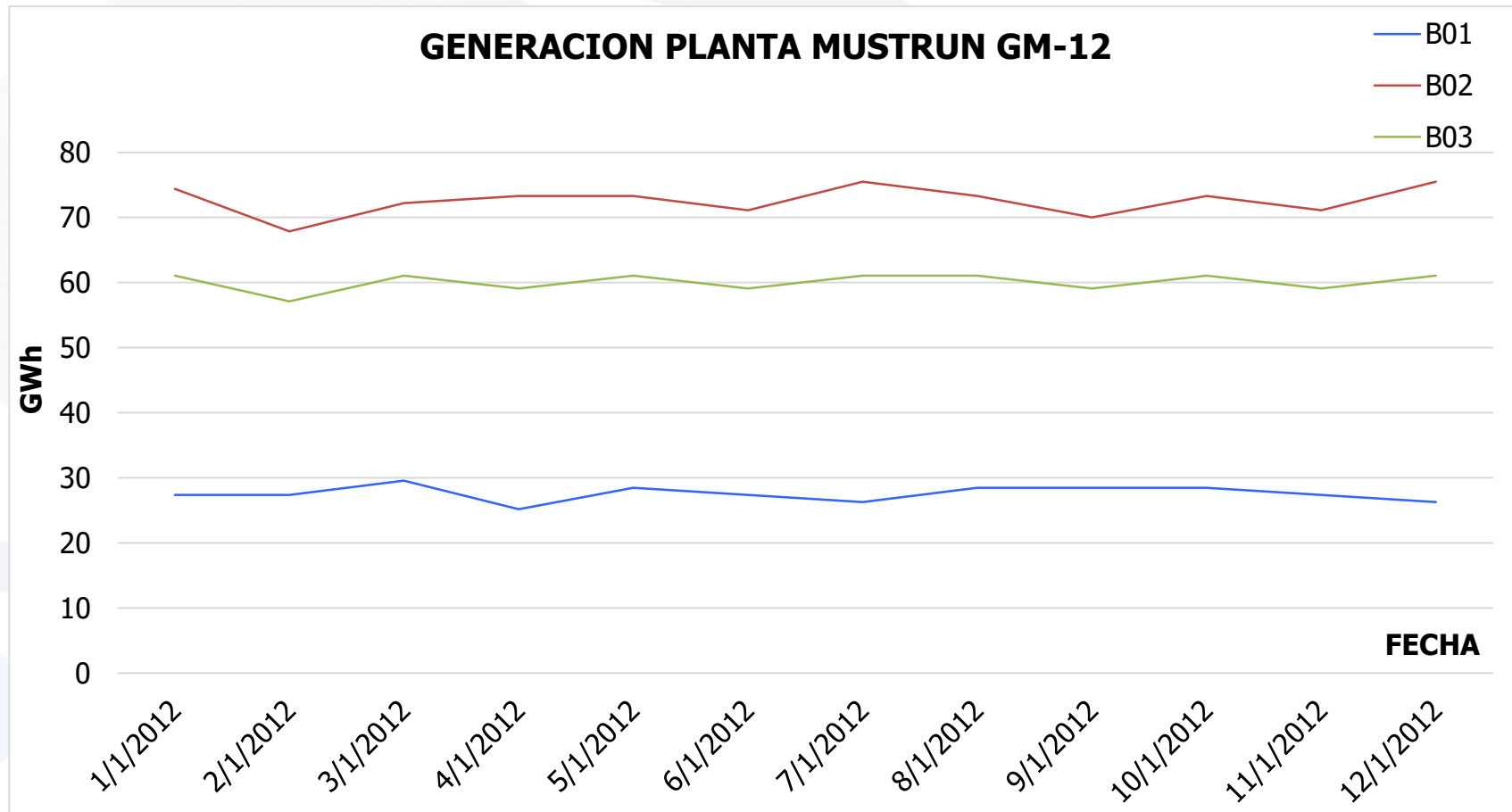
APROXIMACIÓN HASTA 2 RAD CON 3 TRAMOS



SISTEMA ELECTRICO INTERCONECTADO VÍA AREAS OPERATIVAS



CENTRALES TIPO MUST RUN (CARBÓN - NUCLEAR)



CENTRALES TIPO MUST RUN (CARBÓN - NUCLEAR)

ARRANQUE PARADA DE PLANTAS
ARRANQUE POR PERÍODO

$$\text{BAR}_{t,p} \times \text{GMIN}_{t,p} \leq \text{GTE}_{t,p} \leq \text{BAR}_{t,p} \times \text{GMAX}_{t,p}$$

$\text{BAR}_t \in \{0,1\} \rightarrow \text{Arranque Planta Térmica}$

COSTO:

$$\text{CVGT}_{t,p} \times \text{GTE}_{t,p} + \text{CARR}_p \times \text{BAR}_{t,p}$$

CENTRALES TIPO MUST RUN (CARBÓN - NUCLEAR)

**ARRANQUE PARADA DE PLANTAS
OPERACIÓN CONTINUA**

$$EST_{t,p} \times GMIN_{t,p} \leq GTE_{t,p} \leq EST_{t,p} \times GMAX_{t,p}$$

$$EST_{t,p} - EST_{t-1,p} \leq BAR_{t,p}$$

BAR_t ∈ {0,1} → Arranque Planta Térmica

EST_{t,p} ∈ {0,1} → Estado Planta Térmica (off, on)

COSTO:

$$CVGT_{t,p} \times GTE_{t,p} + CARR_p \times BAR_{t,p}$$

CENTRALES TIPO MUST RUN (CARBÓN - NUCLEAR)

**ARRANQUE PARADA DE PLANTAS
OPERACIÓN CONTINUA**

$$EST_{t,p} - EST_{t-1,p} \leq BAR_{t,p}$$

| $EST_{t,p}$ | - | $EST_{t-1,p}$ | \leq | $BAR_{t,p}$ |
|-------------|---|---------------|--------|-------------|
| 1 | - | 0 | \leq | 1 |
| 0 | - | 0 | \leq | 0 |
| 1 | - | 1 | \leq | 0 |
| 0 | - | 1 | \leq | 0 |

COSTO:

$$CVGT_{t,p} \times GTE_{t,p} + CARR_p \times BAR_{t,p}$$

FUENTES DE ENERGÍA RENOVABLES



$GTE_{t,b,g}$



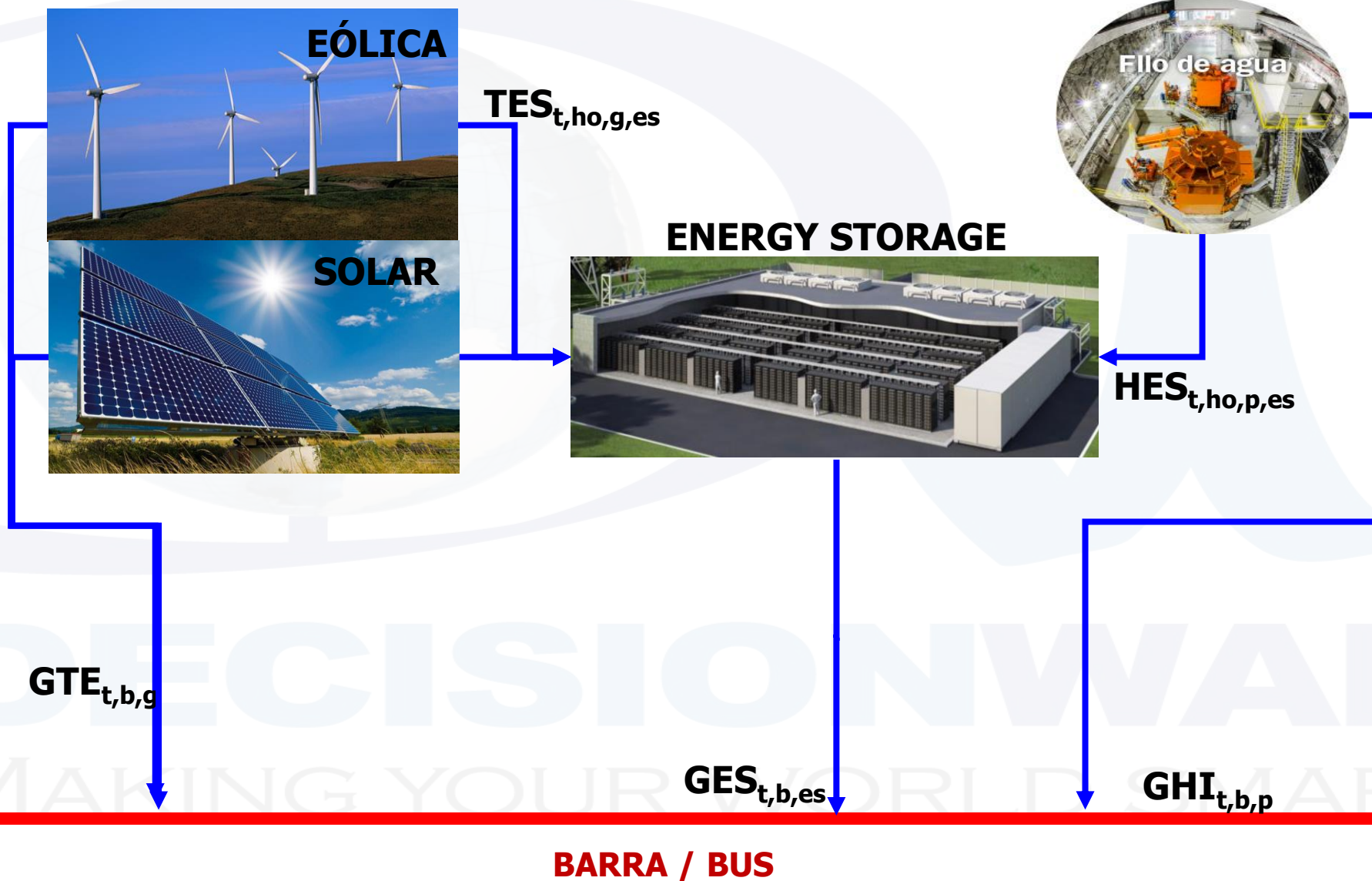
FILO DE AGUA



$GHI_{t,b,p}$

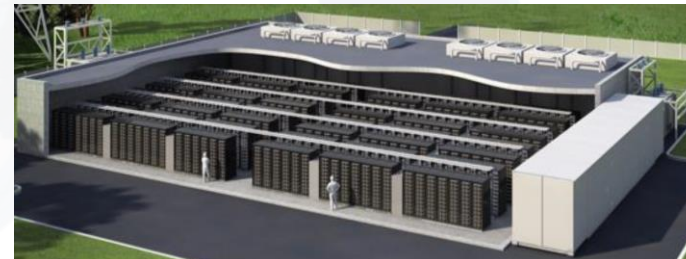
BARRA / BUS

FUENTES DE ENERGÍA RENOVABLES



FUENTES DE ENERGÍA RENOVABLES

ENERGY STORAGE

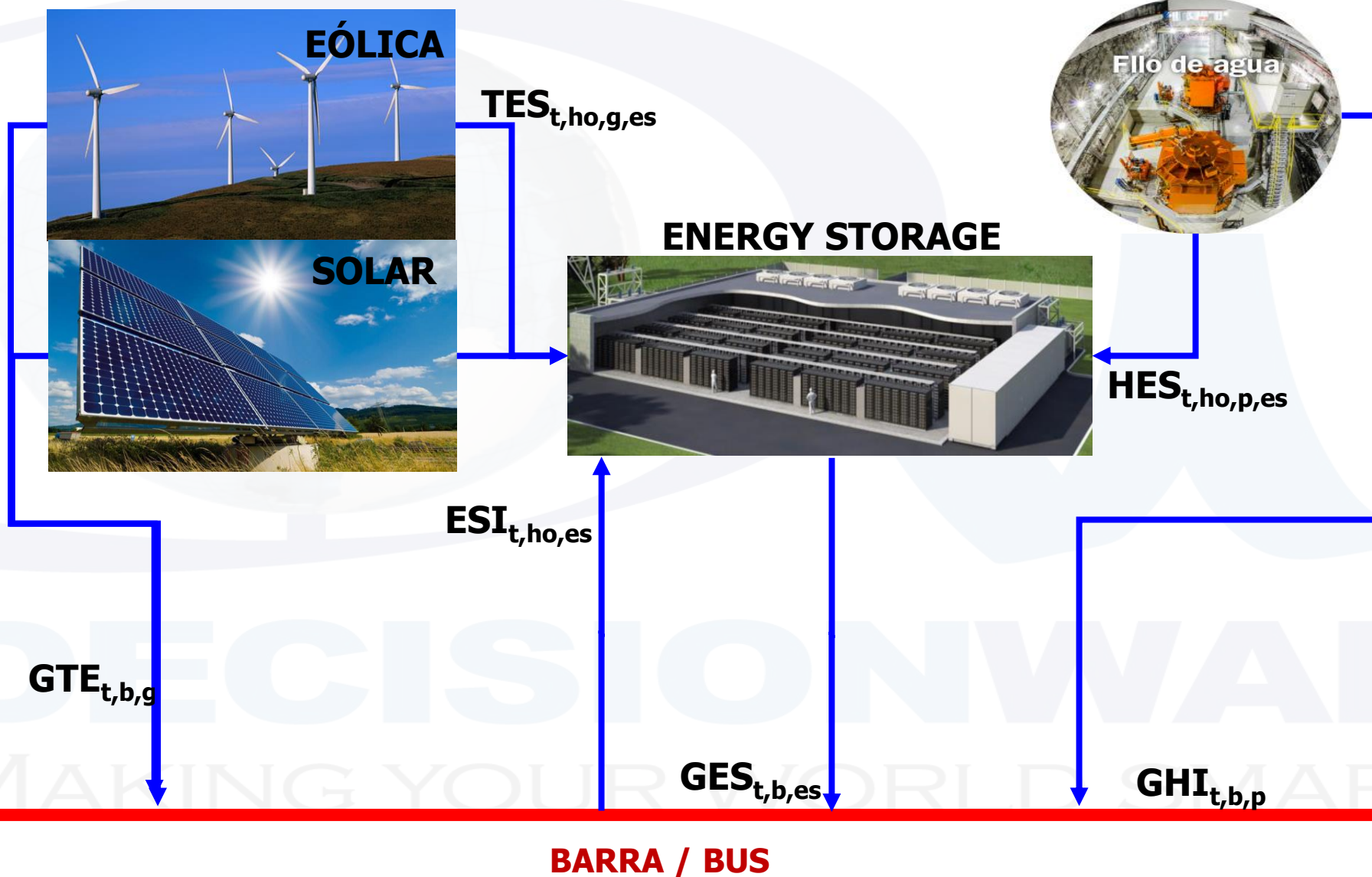


$ESI_{t,ho,es}$

$GES_{t,b,es}$

BARRA / BUS

FUENTES DE ENERGÍA RENOVABLES

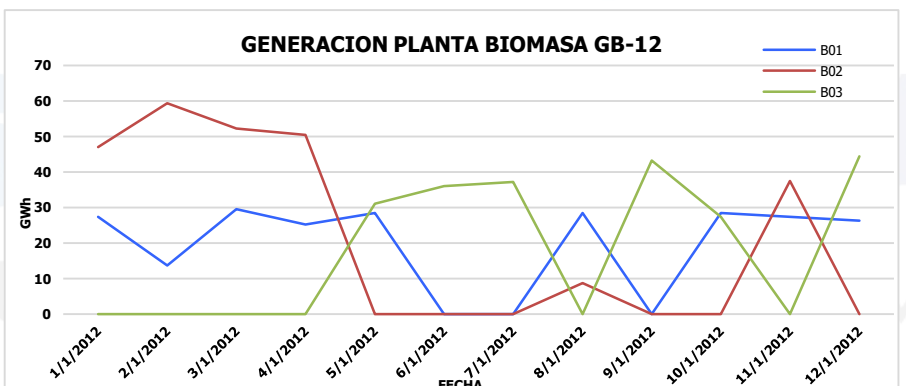
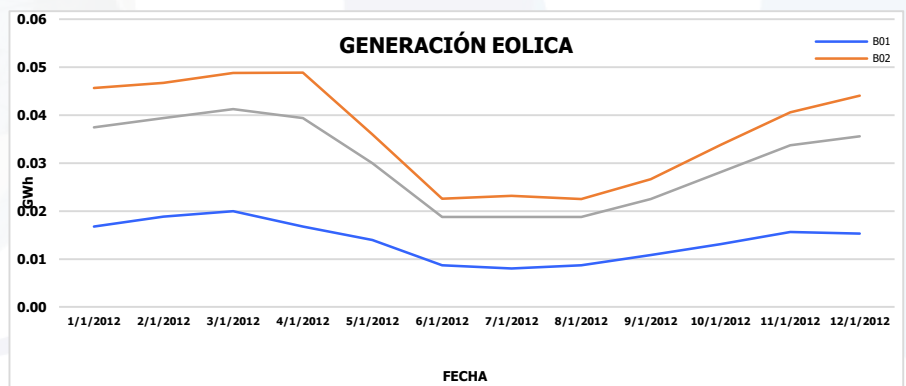
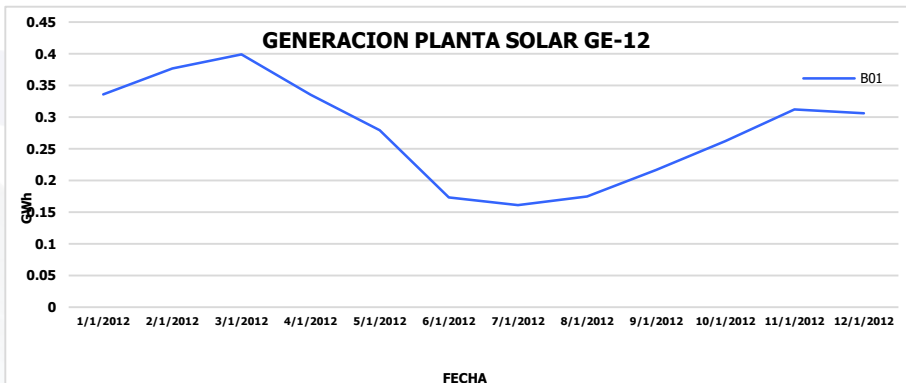


CENTRALES: SOLARES, EOLICAS, BIOMASA

| Fecha: | Cod_Cte: | Cod_Bce: | Gsol: |
|------------|----------|----------|-------|
| 01/01/2012 | GS-12 | B01 | 20.0 |
| 01/02/2012 | GS-12 | B01 | 21.0 |
| 01/03/2012 | GS-12 | B01 | 22.0 |
| 01/04/2012 | GS-12 | B01 | 21.0 |
| 01/05/2012 | GS-12 | B01 | 16.0 |
| 01/06/2012 | GS-12 | B01 | 10.0 |
| 01/07/2012 | GS-12 | B01 | 10.0 |
| 01/08/2012 | GS-12 | B01 | 10.0 |
| 01/09/2012 | GS-12 | B01 | 12.0 |
| 01/10/2012 | GS-12 | B01 | 15.0 |
| 01/11/2012 | GS-12 | B01 | 18.0 |
| 01/12/2012 | GS-12 | B01 | 19.0 |

| Fecha: | Cod_Cte: | Mweo: |
|------------|----------|-------|
| 01/01/2012 | GE-12 | 100.0 |
| 01/02/2012 | GE-12 | 105.0 |
| 01/03/2012 | GE-12 | 110.0 |
| 01/04/2012 | GE-12 | 105.0 |
| 01/05/2012 | GE-12 | 80.0 |
| 01/06/2012 | GE-12 | 50.0 |
| 01/07/2012 | GE-12 | 50.0 |
| 01/08/2012 | GE-12 | 50.0 |
| 01/09/2012 | GE-12 | 60.0 |
| 01/10/2012 | GE-12 | 75.0 |
| 01/11/2012 | GE-12 | 90.0 |
| 01/12/2012 | GE-12 | 95.0 |

| Fecha: | Cod_Cte: | Mwbi: |
|------------|----------|-------|
| 01/01/2012 | GB-12 | 100.0 |
| 01/02/2012 | GB-12 | 105.0 |
| 01/03/2012 | GB-12 | 110.0 |
| 01/04/2012 | GB-12 | 105.0 |
| 01/05/2012 | GB-12 | 80.0 |
| 01/06/2012 | GB-12 | 50.0 |
| 01/07/2012 | GB-12 | 50.0 |
| 01/08/2012 | GB-12 | 50.0 |
| 01/09/2012 | GB-12 | 60.0 |
| 01/10/2012 | GB-12 | 75.0 |
| 01/11/2012 | GB-12 | 90.0 |
| 01/12/2012 | GB-12 | 95.0 |



CENTRALES EOLICAS

2.2.1 A brief introduction to the aerodynamics of wind turbines

Wind turbine power production depends on interaction between the wind turbine rotor and the wind. The mean power output is determined by the mean wind speed, thus only steady-state aerodynamics have been considered to be important in this project and turbulence has been ignored. The first aerodynamic analyses of wind turbines were carried out by Betz [40] and Glauert [41] in the late 1920s and early 1930s. Power available in the wind is given by:

$$P_{wind} = \frac{1}{2} \rho A V_{wind}^3 \quad (2.1)$$

In the above equation, ρ is air density, A is area swept by blades, and V_{wind} is wind speed. Betz proved that the maximum power extractable by an ideal turbine rotor with infinite blades from wind under ideal conditions is 59.26% (0.5926 times) of the power available in the wind. This limit is known as the Betz limit. In practice, wind turbines are limited to two or three blades due to a combination of structural and economic considerations, and hence, the amount of power they can extract is closer to about 50% (0.5 times) of the available power. The ratio of extractable power to available power is expressed as the rotor power coefficient C_p . The extractable power can thus be written as:

$$P_{wind} = \frac{1}{2} C_p \rho A V_{wind}^3 \quad (2.2)$$

CENTRALES EOLICAS

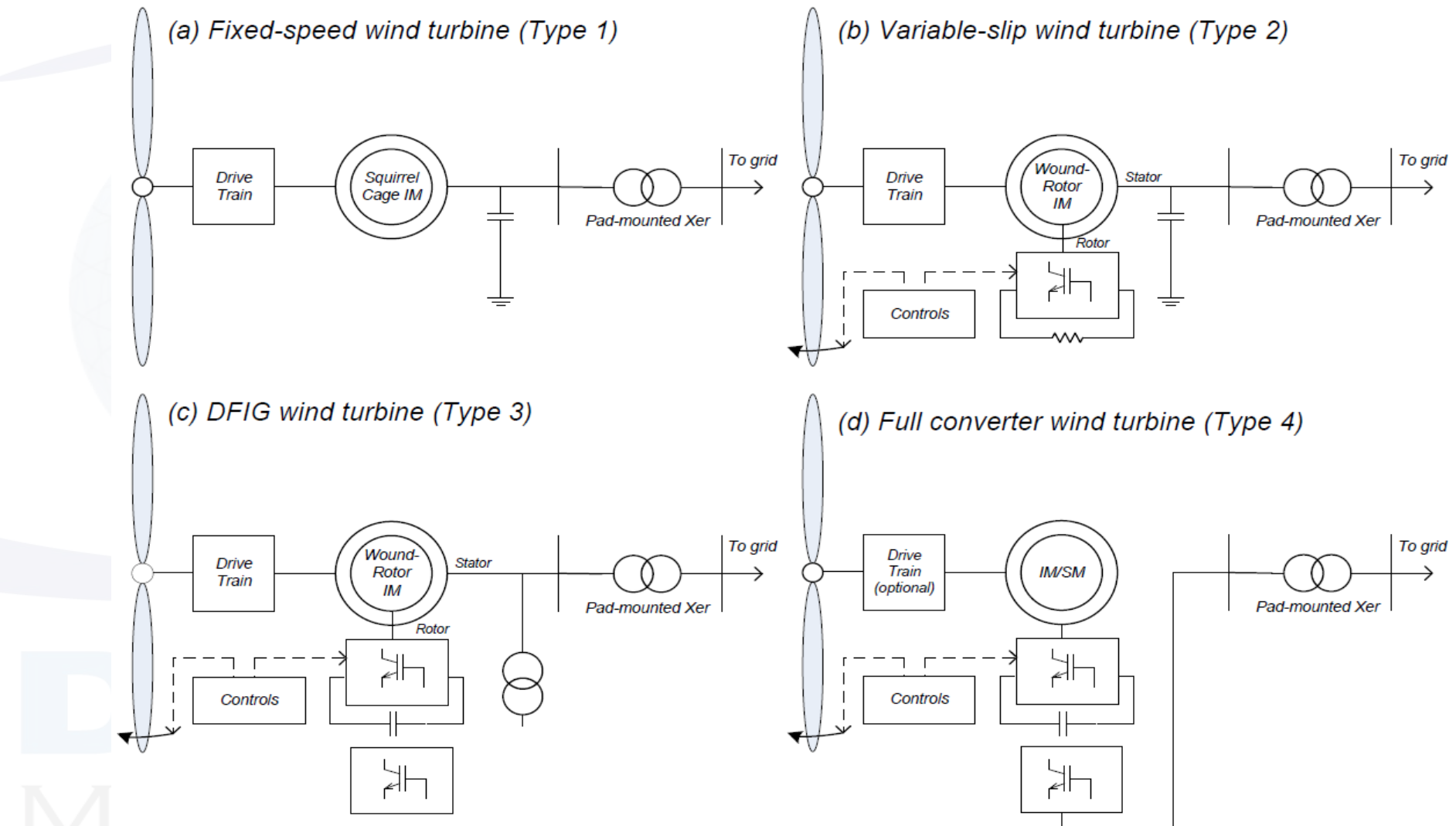
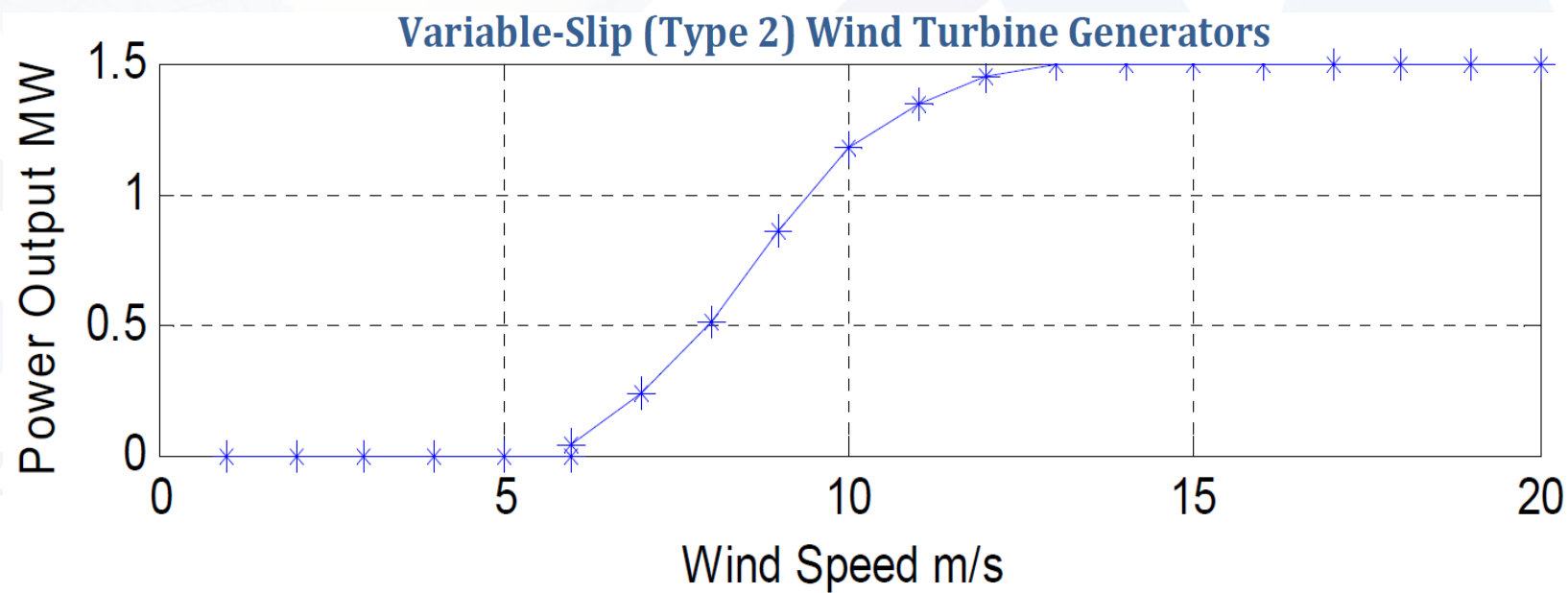
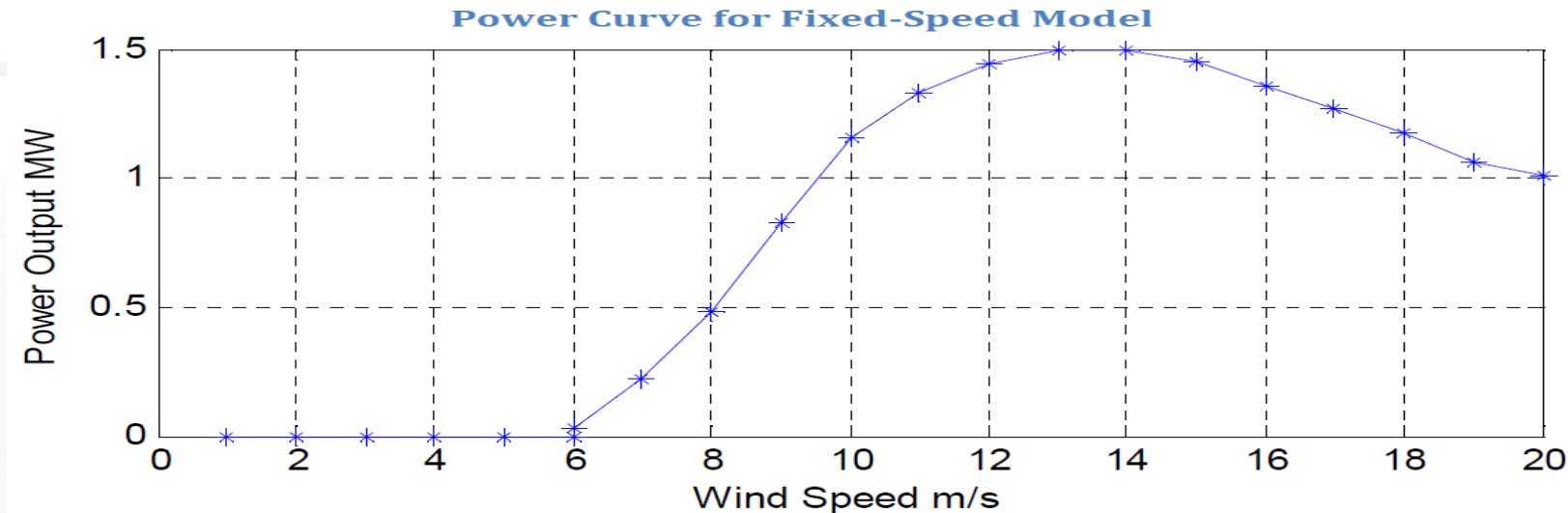
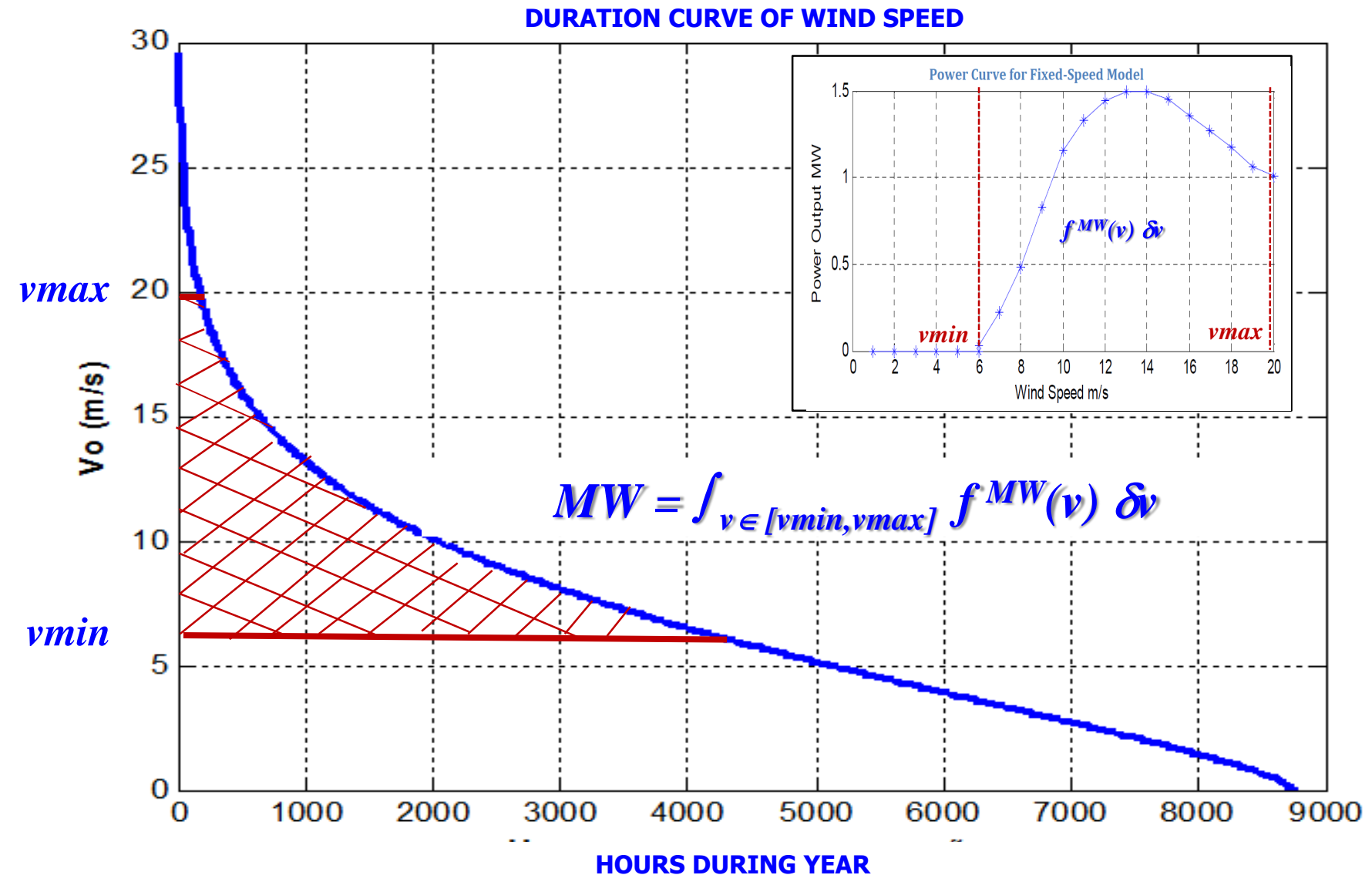


Figure 1.2: Dominant wind turbine technologies.

CENTRALES EOLICAS



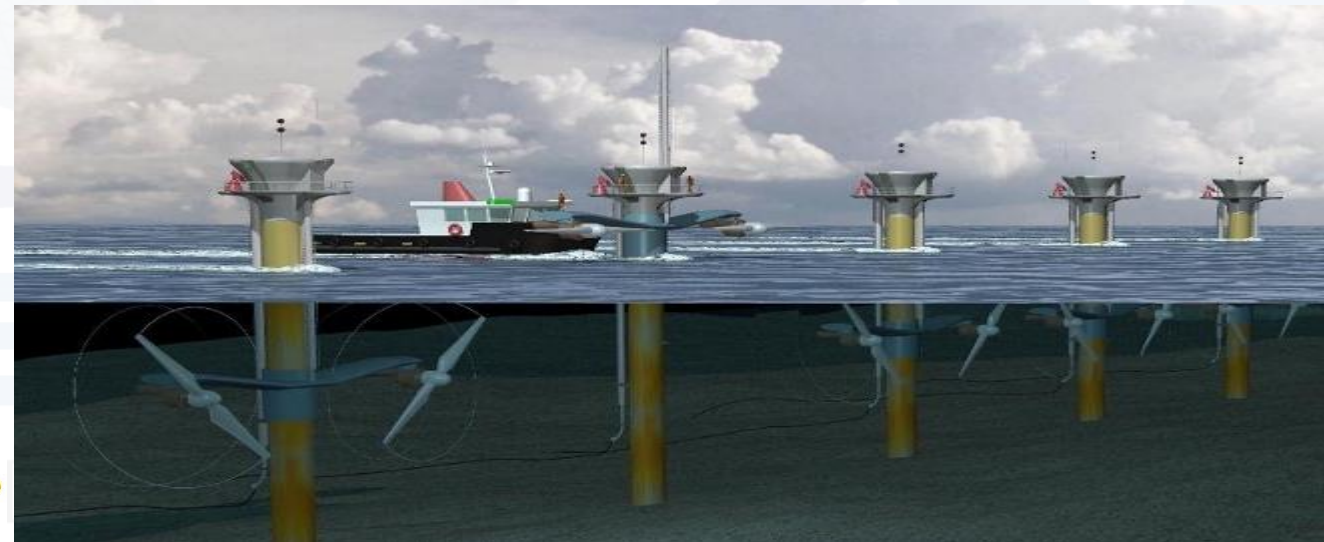
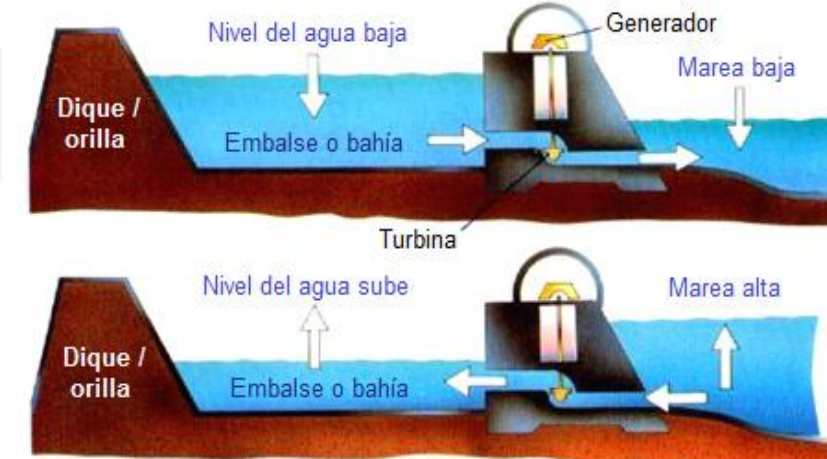
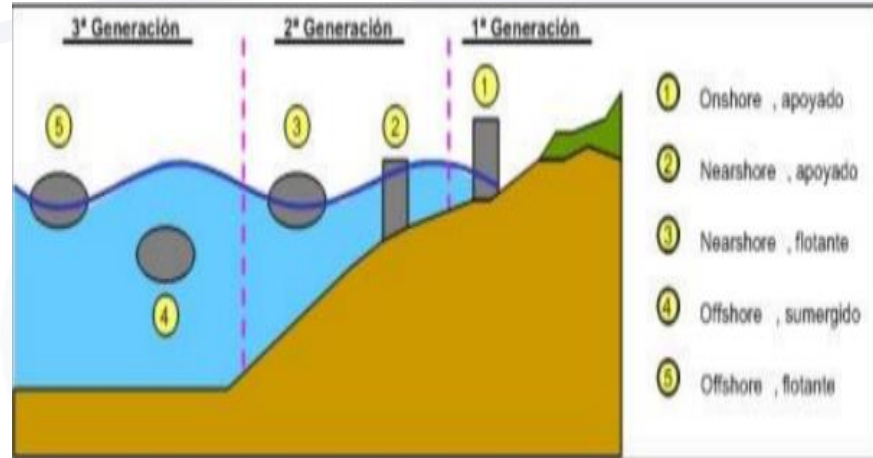
WIND POWER FORECASTING



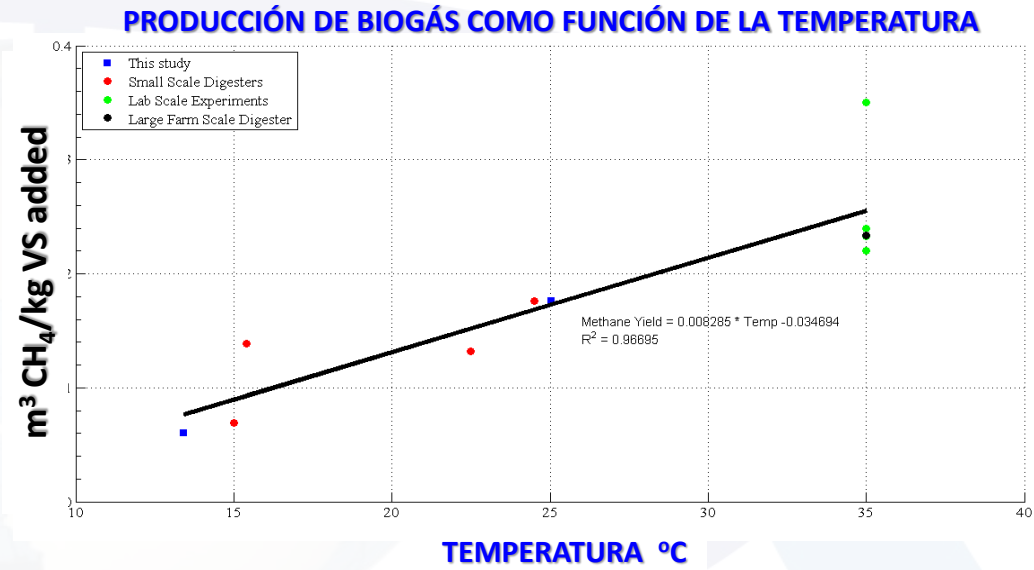
OTRAS FUENTES DE ENERGÍA: GEOTÉRMICA



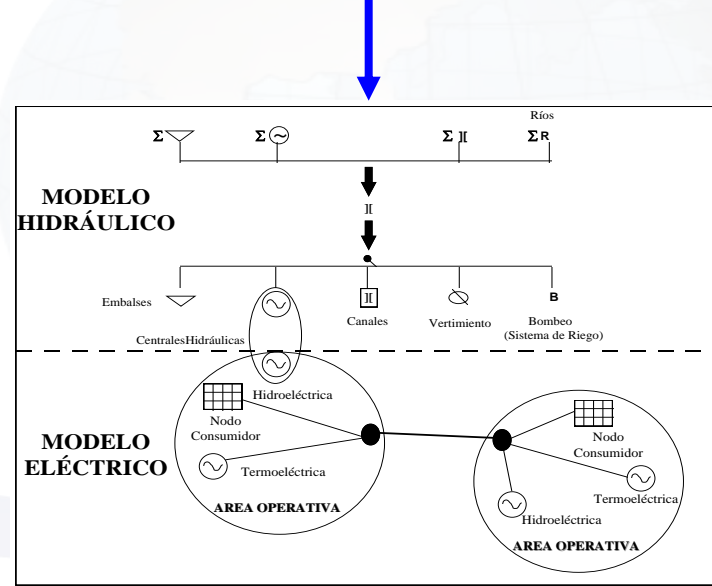
OTRAS FUENTES DE ENERGÍA: MARÍTIMA (WAGE POWER)



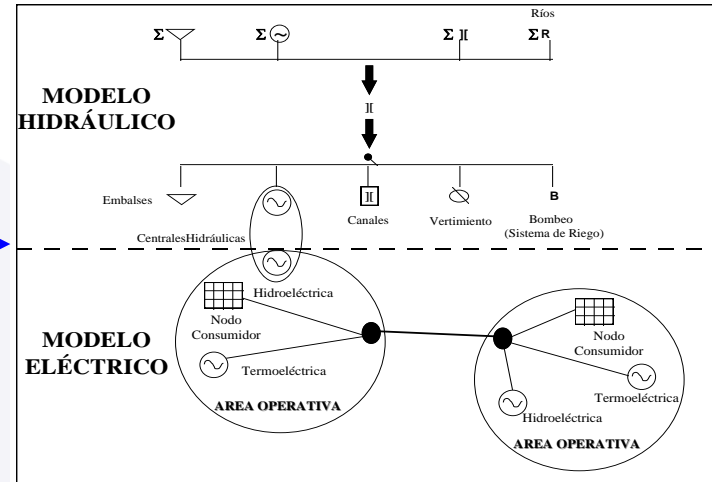
OTRAS FUENTES DE ENERGÍA: BIOMASA



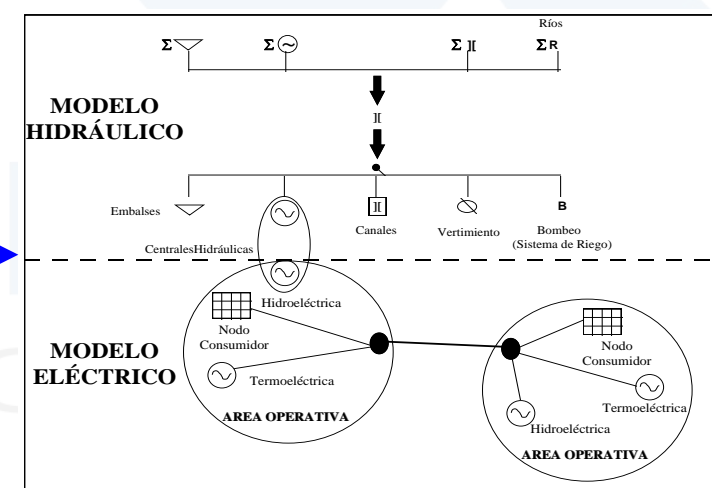
INTERCONEXIÓN ELECTRICA MULTIRREGIÓN (COORDINADA)



COLOMBIA

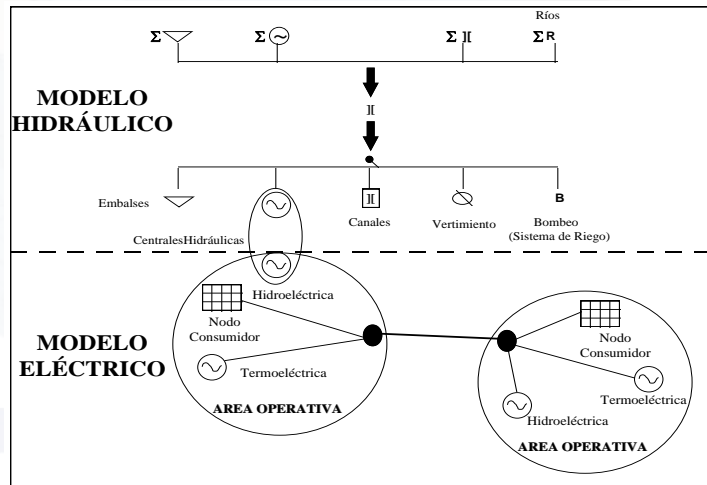


ECUADOR

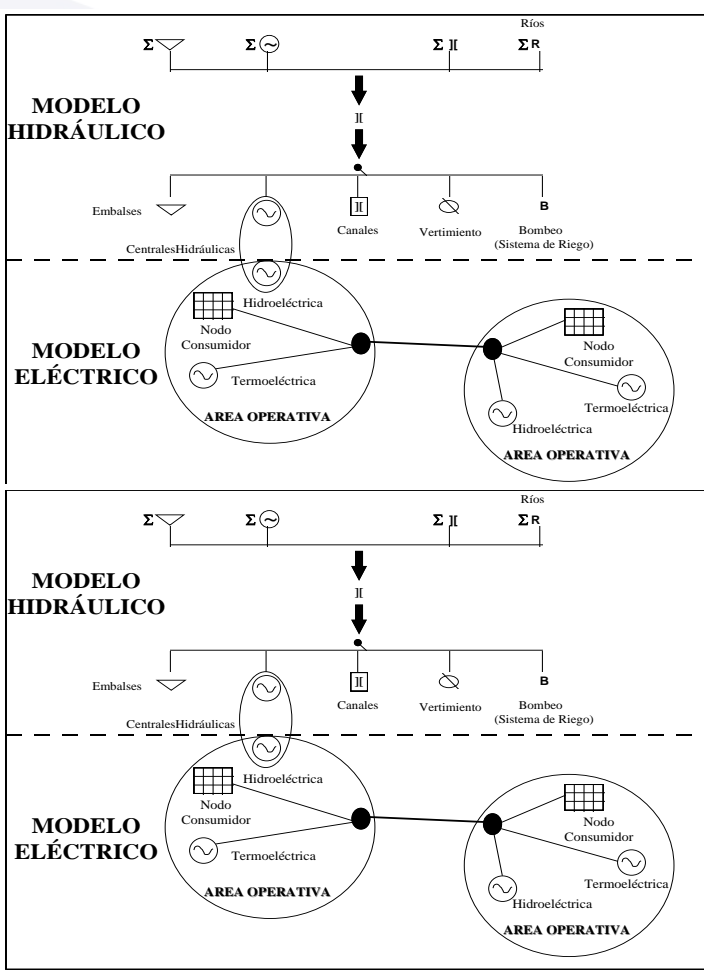


PANAMA

INTERCONEXIÓN ELECTRICA MULTIRREGION (INTEGRADA)



COLOMBIA



PANAMA

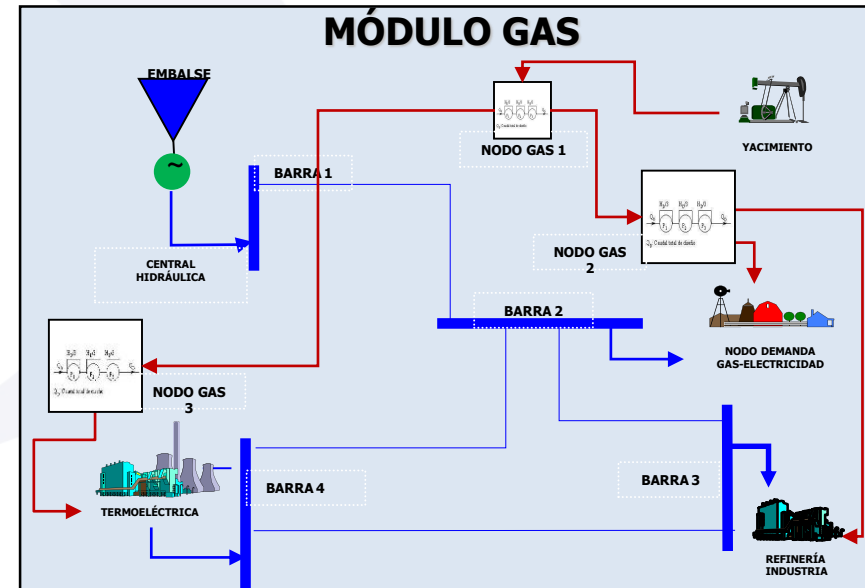
OPCHAIN-E&G

OPTIMIZING THE VALUE CHAIN

Electricity & Gas Supply Chain Optimization

PHYSICAL MODELING – NATURAL GAS SYSTEM





DECISIONWARE
MAKING YOUR WORLD SMARTER

OPCHAIN-GAS

OPTIMIZING NATURAL GAS SUPPLY CHAIN

OPCHAIN-GAS corresponde a un conjunto de modelos matemáticos orientados a soportar las decisiones de los diferentes agentes que participan en la cadena de abastecimiento de gas natural, a nivel de la planificación sectorial y del negocio de generación de gas natural:

DEMANDA DE GAS NATURAL SECTORIZADA

- Residencial, Industrial, Vehicular, Plantas Térmicas
- Aéreas Operativas

MANEJO DE GAS LICUADO

- Estaciones de Bombeo (Compresión)
- Plantas de Licuefacción
- Plantas de Regasificación

TRANSPORTE DE GAS

- Sistema de Gasoductos
- Restricciones de Presión

DESPACHO ÓPTIMO INTEGRADO DE LOS SISTEMAS DE ELECTRICIDAD Y DE GAS NATURAL

- Determina el punto de equilibrio parcial de los mercados de electricidad y de gas natural bajo condiciones competencia perfecta.
- Analizar el impacto de los contratos "take or pay" de gas en el despacho de electricidad.
- Determinar costos marginales en los dos mercados y su impacto en otros mercados como los del gas vehicular y el gas industrial.
- Análisis del impacto del diseño de un sistema en el otro sistema
- Análisis del impacto de externalidades que se generan en un mercado como consecuencia de acciones en el otro mercado.
- Análisis del comportamiento de los agentes en ambos mercados

DESPACHO ÓPTIMO INTEGRADO DE LOS SISTEMAS DE ELECTRICIDAD Y DE GAS NATURAL

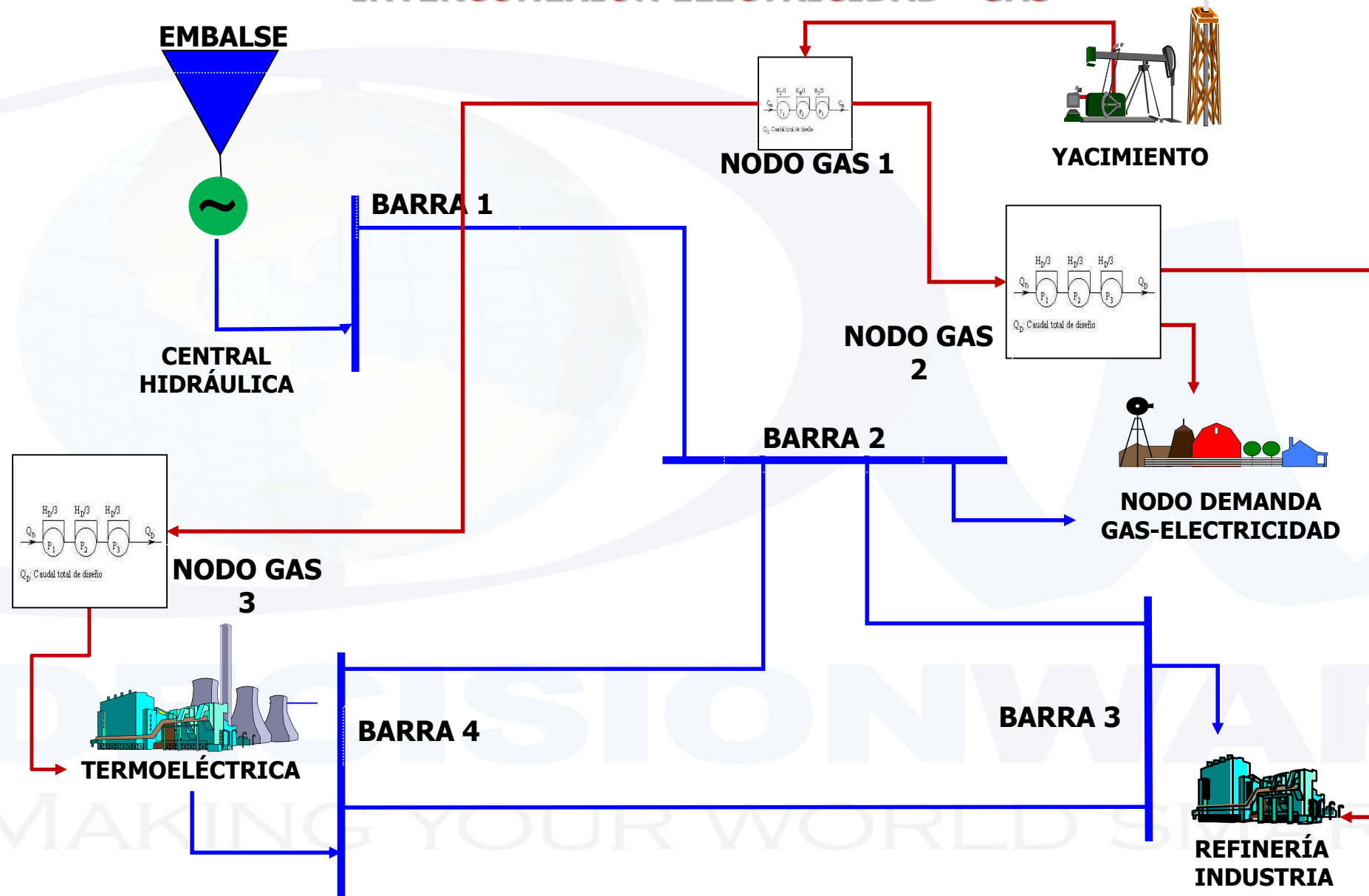
- Sistema de transporte de gas por medio de una red que interconecta yacimientos, plantas térmicas y nodos consumidores de gas vehicular, gas industrial y gas residencial, diferenciados por los segmentos consumidores;
- Manejo dual de combustibles en plantas térmicas
- Demanda de gas considerando dos tipos: la exclusiva del gas y la optimizable que puede abastecerse con electricidad y/o con gas, como puede ser la generación de calor.
- Demanda ubicada en nodos consumidores de gas vehicular, gas industrial y gas residencial, diferenciados por los segmentos consumidores.
- Modelaje agregado del sistema de transporte de gas con base en un sistema de transporte y límites en capacidad
- Modelaje detallado del sistema de transporte de gas que permita visualizar efectos de la infraestructura en el despacho del gas

SECTORES DEMANDA GAS

**Vehicular
Plantas Térmicas
Industrial
Comercial
Doméstico**

DECISIONWARE
MAKING YOUR WORLD SMARTER

INTERCONEXIÓN ELECTRICIDAD - GAS



CADENA DE ABASTECIMIENTO DE GAS NATURAL

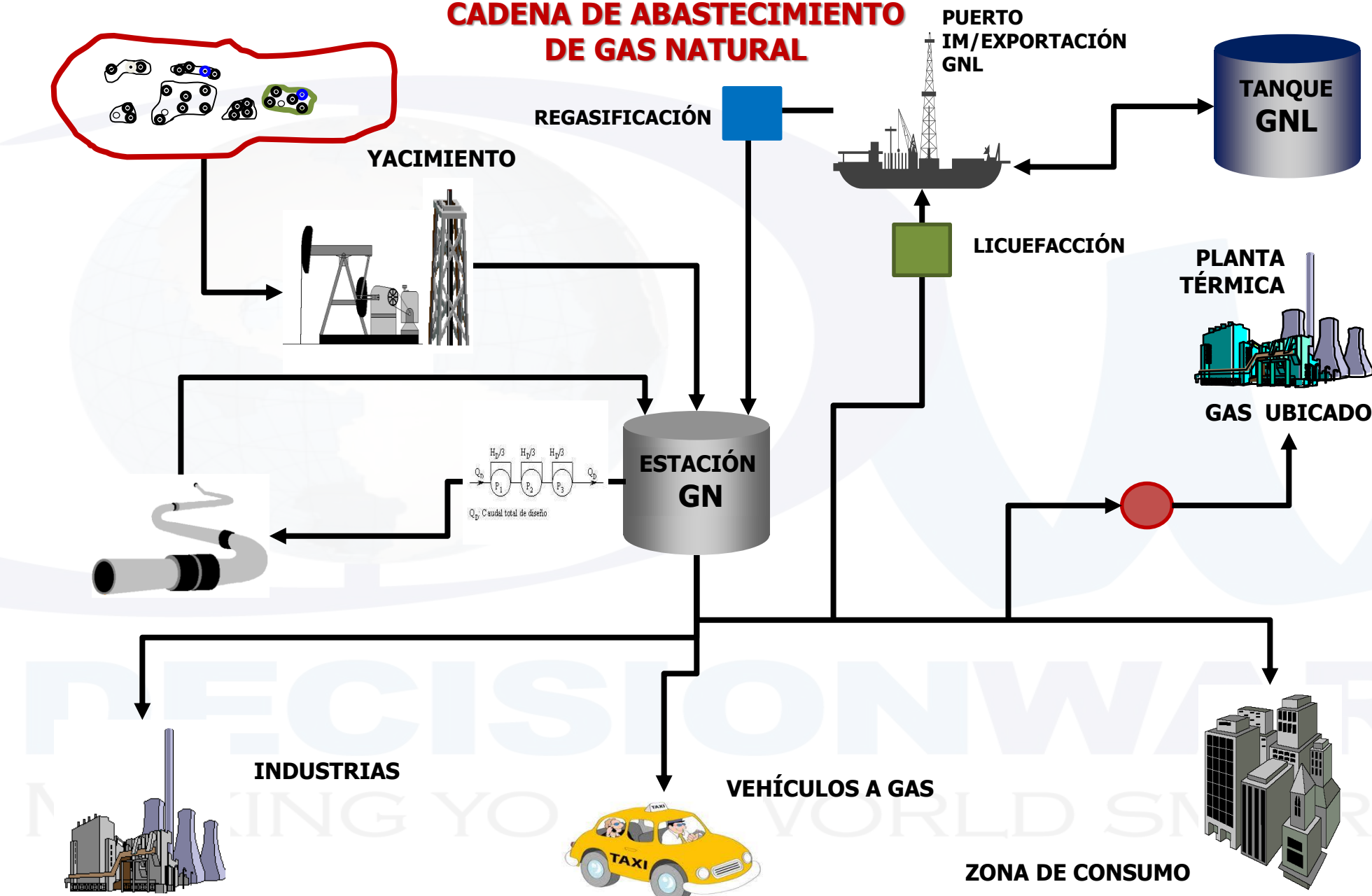
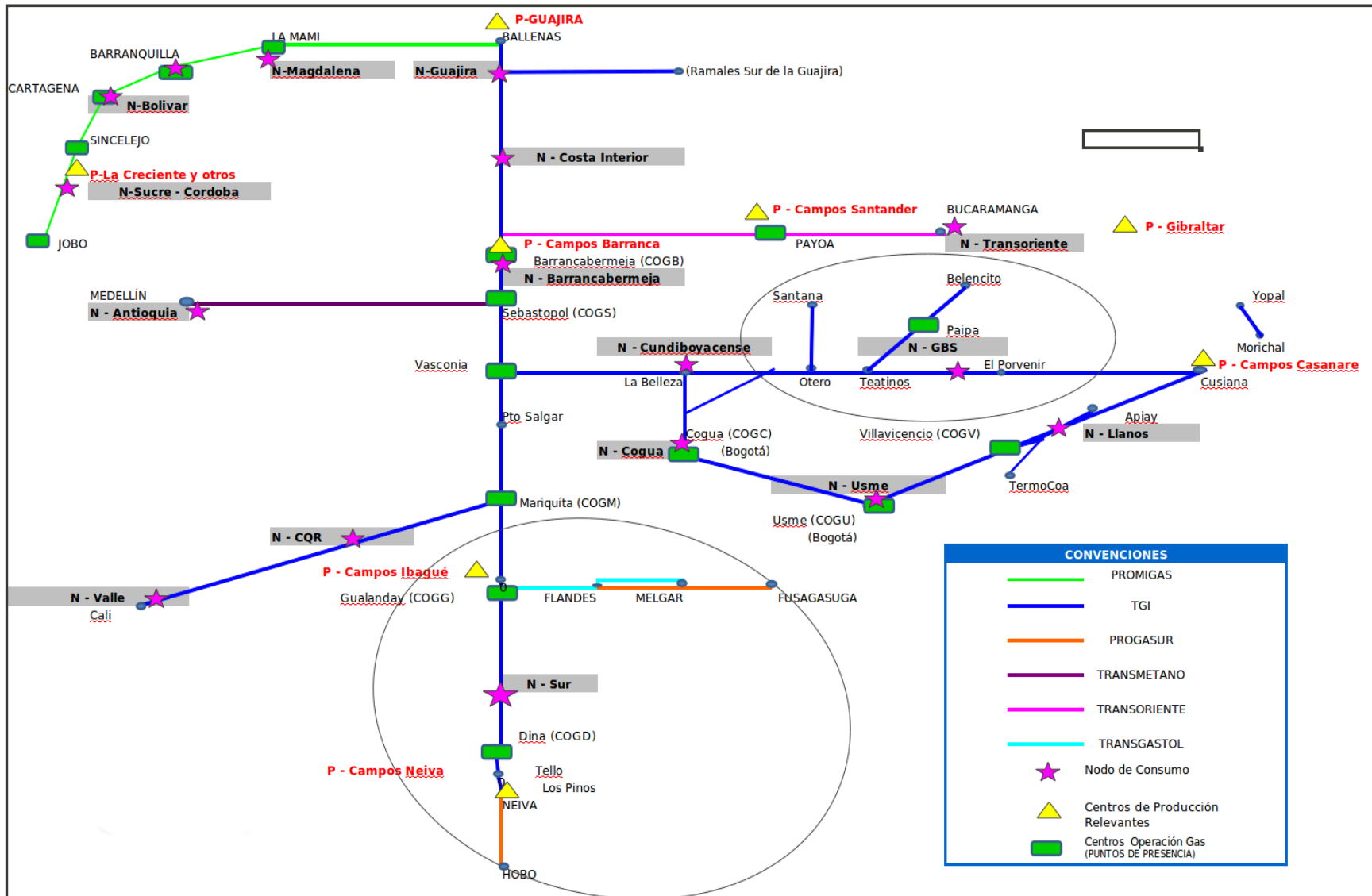


DIAGRAMA DE FLUJO DE GAS ENTRE NODOS



OPCHAIN-E&G

OPTIMIZING THE VALUE CHAIN

Electricity & Gas Supply Chain Optimization

RISK MANAGEMENT



MANEJO DE RIESGOS FINANCIEROS/ECONÓMICOS/FÍSICOS

El manejo del riesgo por medio de modelos neutrales al riesgo que optimizan el valor esperado de la función de rendimiento (mínimo costo) **sin incluir explícitamente las metodologías matemáticas utilizadas para manejo de riesgos en modelos de optimización estocástica** llevan al sistema a posición vulnerables propias de las decisiones que ignoran los riesgos de cualquier tipo.

Lo que conlleva a que el riesgo se maneje por medio de artificios matemáticos cuyo objetivo es racionalizar el uso de los recursos (el hídrico principalmente) bajo condiciones de escases, por ejemplo

**Curvas de Mínimos Operativos,
o de Aversión al Riesgo,
o Niveles de Alerta.**

OPCHAIN-E&G permite el manejo de los diferentes tipos de riesgo utilizando formulaciones basadas en aproximaciones empíricas/subjetivas, como las mencionadas, o incluyendo ecuaciones "exactas" (probabilísticas) para controlar los diferentes tipos de riesgos: los financieros y los de escasez del recursos naturales.

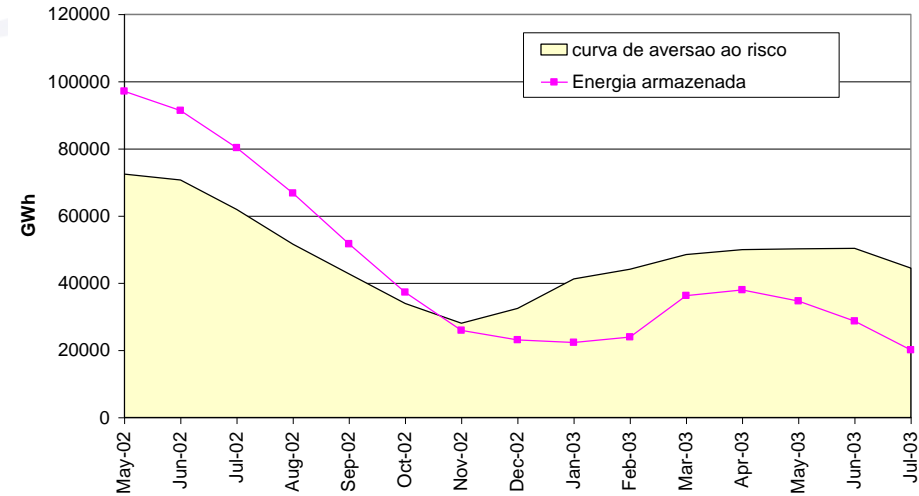
MÍNIMOS OPERATIVOS, CURVAS DE AVERSIÓN AL RIESGO NIVELES DE ALERTA

Las curvas de mínimos operativos, o curvas de aversión al riesgo, o niveles de alerta, son un concepto propio de ciertas reglamentaciones y de formulaciones matemáticas para tratar de evitar que un embalse, o una red de embalses, opere por debajo de un determinado nivel; esto debido a se considera que dicho hecho podría producir déficit de energía en el futuro que el modelo matemático no sería capaz de "controlar" sin incluir dicha restricción.

Convencionalmente, se introducen restricciones "**blandas**" que penalizan la función de costos cuando un embalse opere por debajo del mínimo operativo, ...

Esta aproximación conlleva serias distorsiones ya que no representa lo que se persigue con la introducción las penalizaciones.

Evolución del almacenamiento sin la CAR

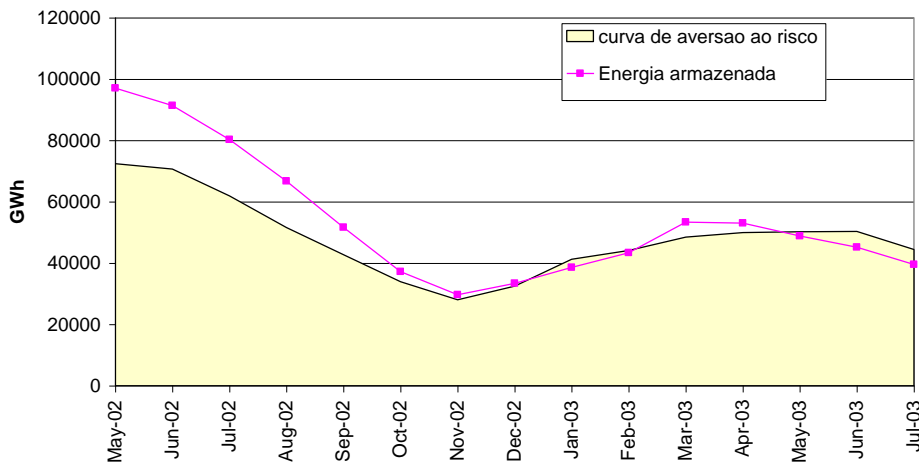


FSI

17

RESTRICCIONES DE SEGURIDAD OPERATIVA

Evolución esperada con la penalización



FSI

19

FORMULACIÓN CONVENCIONAL

VMI_{t,h,m} – PENALIZACIÓN DE LA VIOLACIÓN DEL MÍNIMO

“mínimo operativo” ≤ nivel final + violación “mínimo operativo”

$$\mathbf{MOP}_{t,m} \leq \mathbf{NF}_{t,h,m} + \mathbf{VMI}_{t,h,m}$$

$$\forall t=1,T \quad \forall m \in EMB$$

donde:

t

período de planificación

m

Embalse

h

Condición/escenario aleatorio

EMB

Conjunto de embalses con “mínimos operativos”

HDR

Conjunto de condiciones aleatorias

MOP_{t,m}

Mínimo operativo para el embalse **m**

NF_{t,h,m}

Nivel final del embalse **m**

VMI_{t,h,m}

Violación del mínimo operativo en el embalse **m**, que se penaliza en la función objetivo

FORMULACIÓN CONVENCIONAL

VMI_{t,h,m} – PENALIZACIÓN DE LA VIOLACIÓN DEL MÍNIMO

“mínimo operativo” \leq nivel final + violación “mínimo operativo”

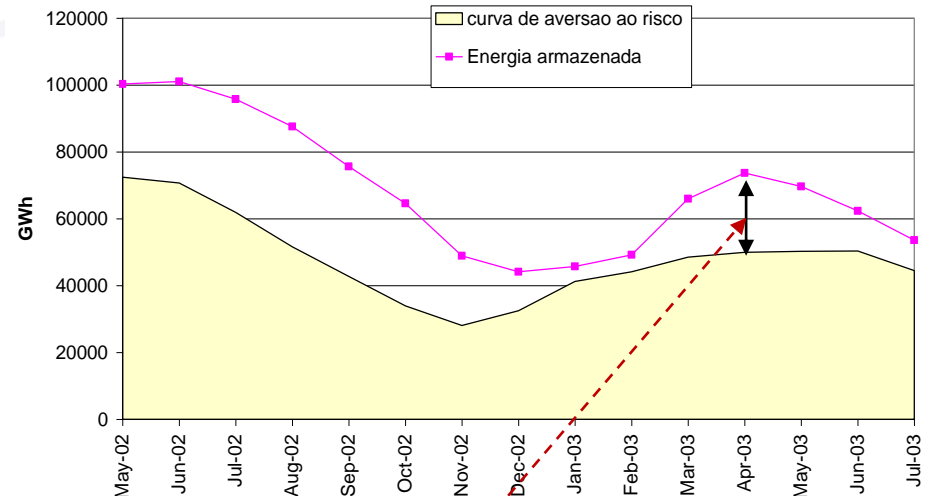
$$\text{MOP}_{t,m} \leq \text{NF}_{t,h,m} + \text{VMI}_{t,h,m}$$

$$\forall t=1,T \quad \forall m \in EMB$$

Implica la posibilidad de múltiple penalización si el embalse viola el mínimo operativo en un período y no lo puede recuperar en el siguiente

Especialmente problemática
En la época en que el mínimo operativo está subiendo
Cuando la longitud del período tiende a cero

Evolución observada con la penalización

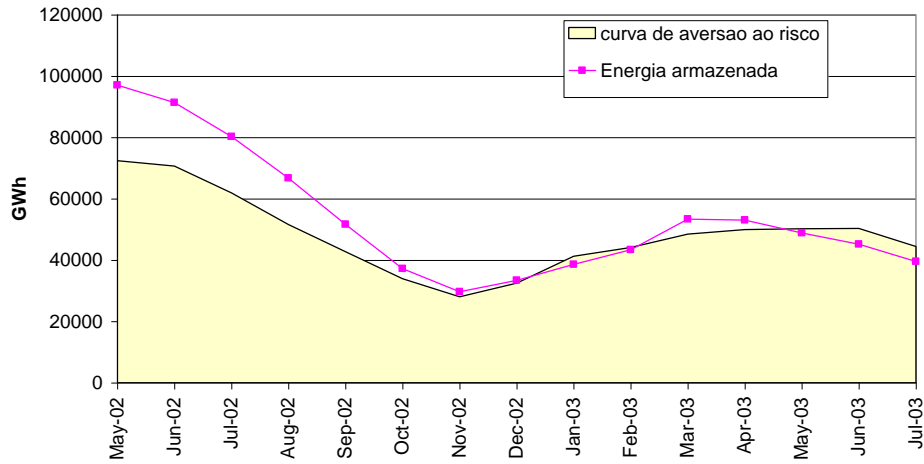


**POSIBLE SOBRE-COSTO EN LA OPERACIÓN
DERIVADO DEL
MODELAMIENTO MATEMÁTICO,
UN MODELAJE ALTERNATIVO
NO PRODUCE ESTE SOBRECOSTO**

RESTRICCIONES DE SEGURIDAD OPERATIVA

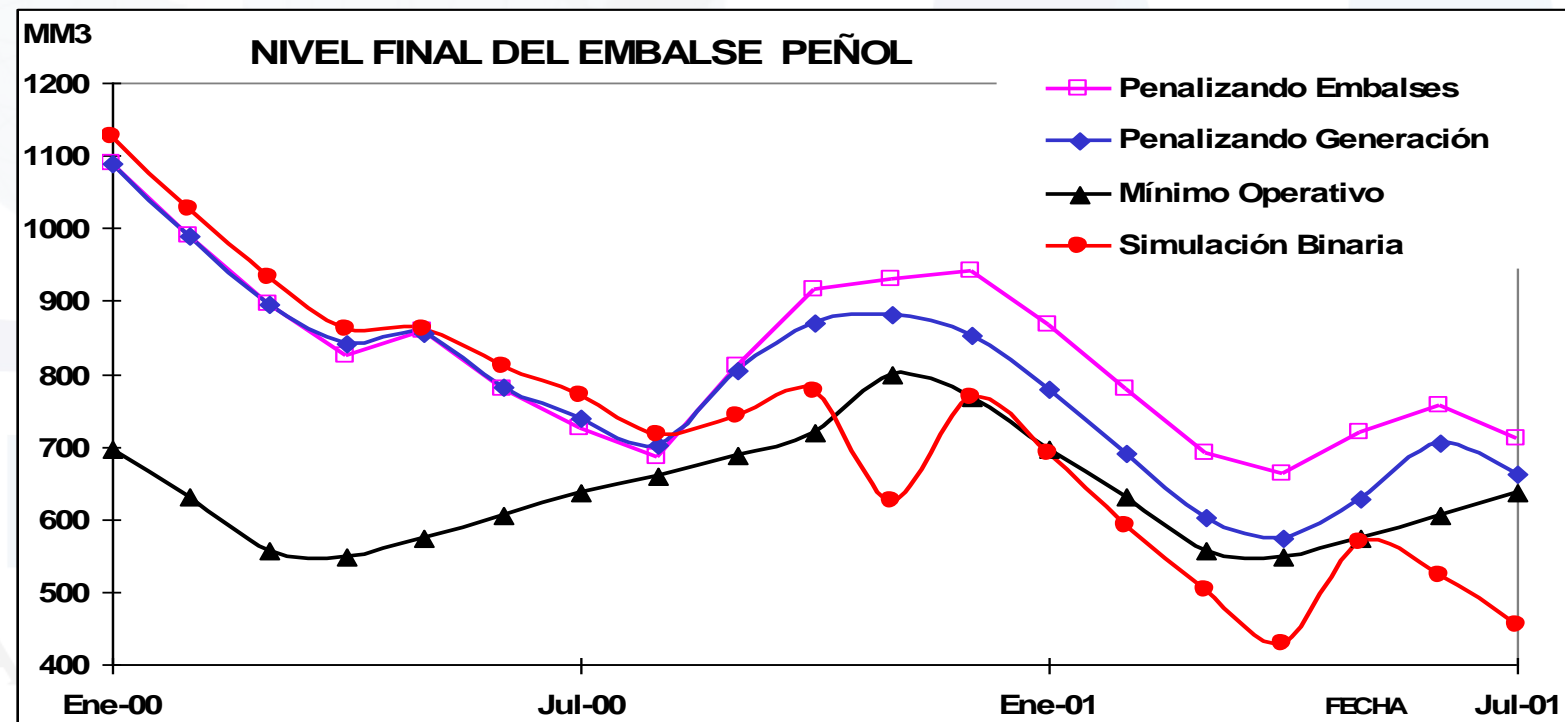
$$MOP_{t,m} \leq NF_{t,h,m} + VMI_{t,h,m}$$

Evolución esperada con la penalización



OPCHAIN-E&G – CURVAS DE ALERTA MODELAMIENTO - ALTERNATIVAS

| MODELAJE | Costo Operación | Sobre-Costo |
|---------------------------------------|-----------------|-------------|
| | Millones USD | % |
| DW0 Modelaje Exacto -Binario- | 124.72 | 0 |
| DW1 Penalización Generación | 135.92 | 8.98 |
| VMI Penalización Violación del Mínimo | 137.64 | 10.36 |



MANEJO DE RIESGOS FINANCIEROS/ECONÓMICOS/FÍSICOS

El manejo del riesgo por medio de modelos neutrales al riesgo que optimizan el valor esperado de la función de rendimiento (mínimo costo)

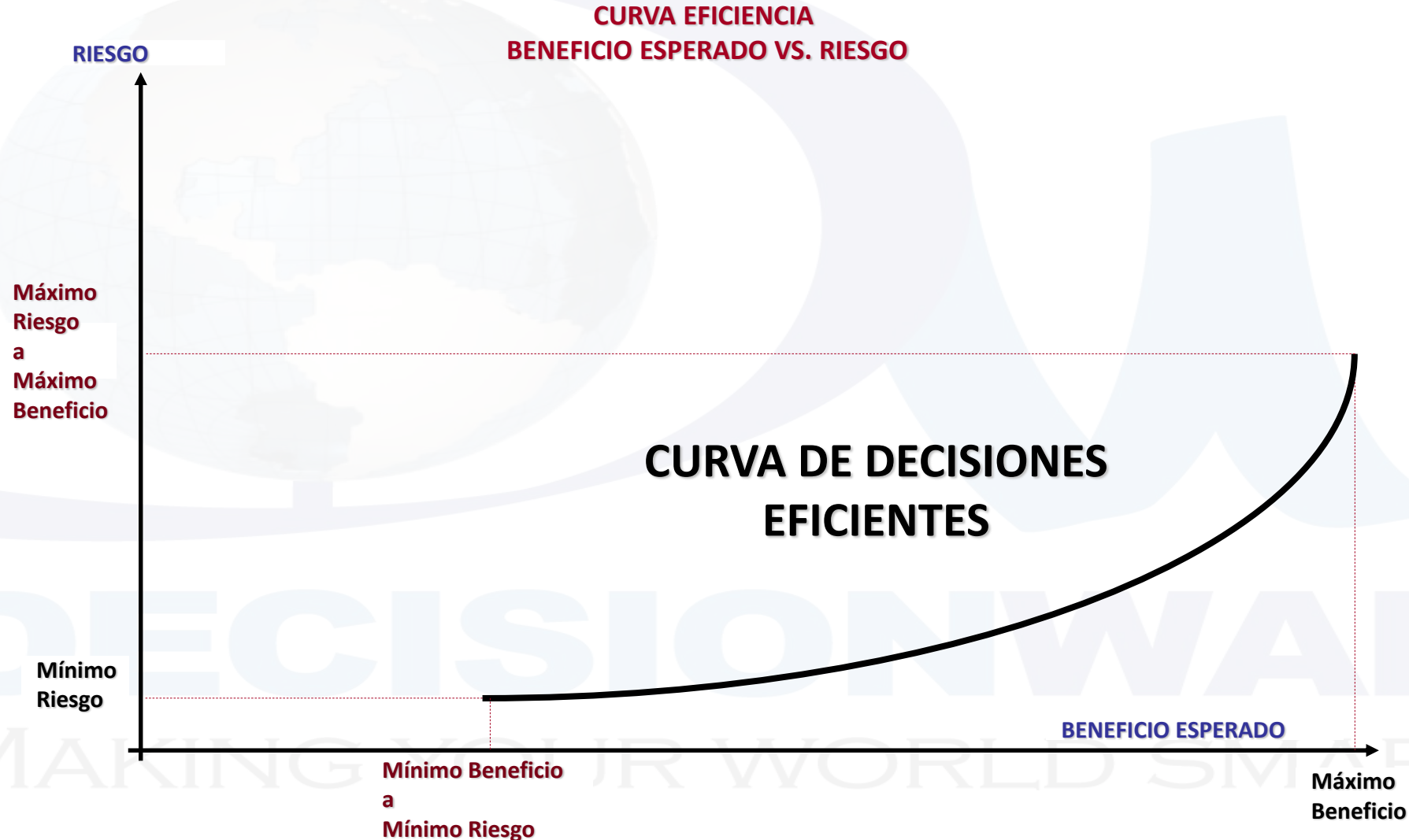
sin incluir explícitamente las metodologías matemáticas utilizadas para manejo de riesgos en modelos de optimización estocástica

I llevan al sistema a posiciones vulnerables propias de las decisiones que ignoran los riesgos de cualquier tipo. Las manipulaciones de la operación para incluir estos conceptos, pueden empeorar la situación, encareciendo significativamente el costo de la operación.

Las versiones estocásticas de los modelos deben incluir los elementos matemáticos formales, que son necesarios para modelar el control de riesgo de cualquier variable aleatoria involucrada en el modelo.

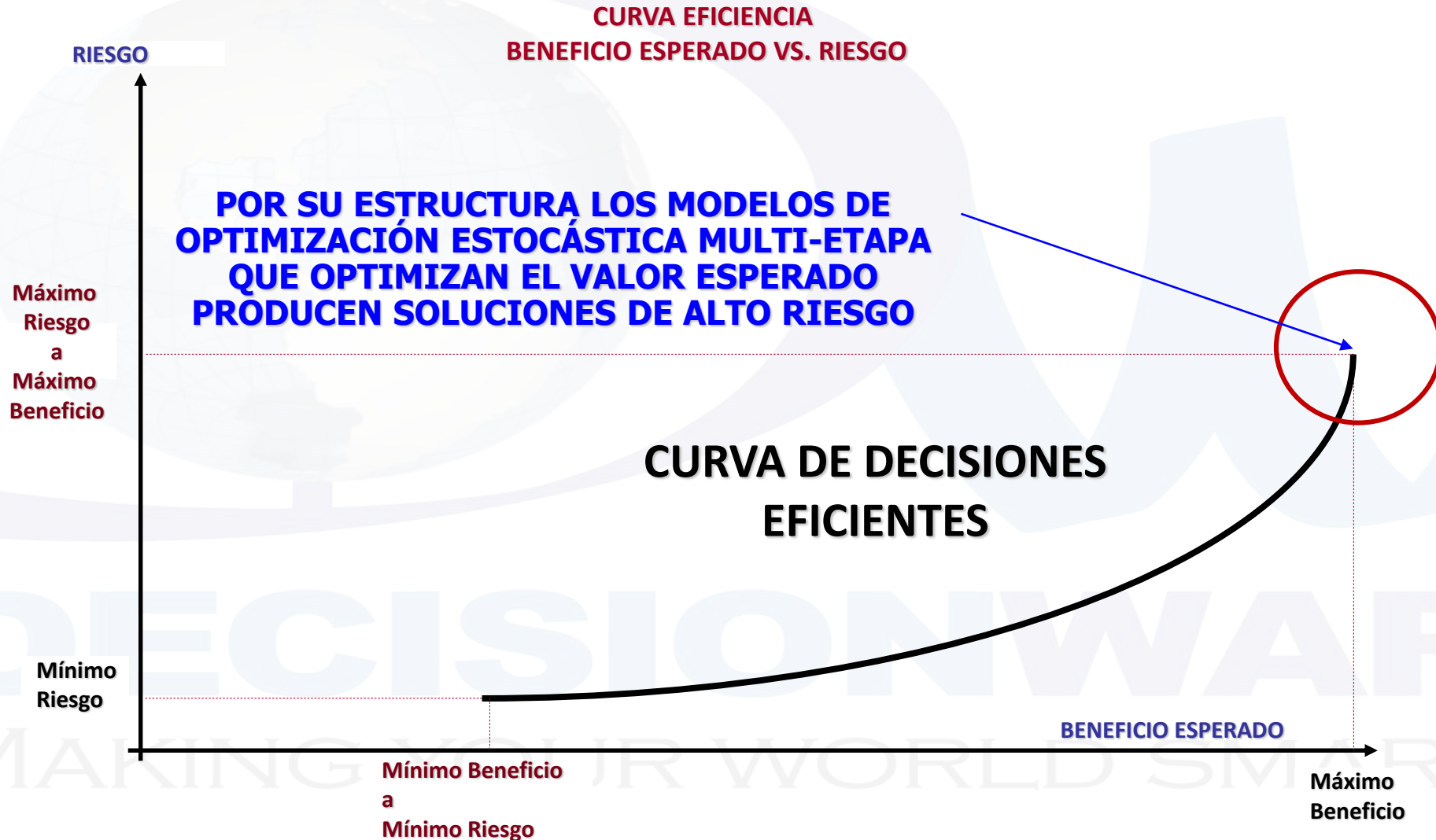
OPCHAIN-E&G - RISK MANAGEMENT

CRITERIOS DE DECISIÓN



OPCHAIN-E&G - RISK MANAGEMENT

CRITERIOS DE DECISIÓN



VALUE-At-RISK & CONDITIONAL VALUE-At-RISK

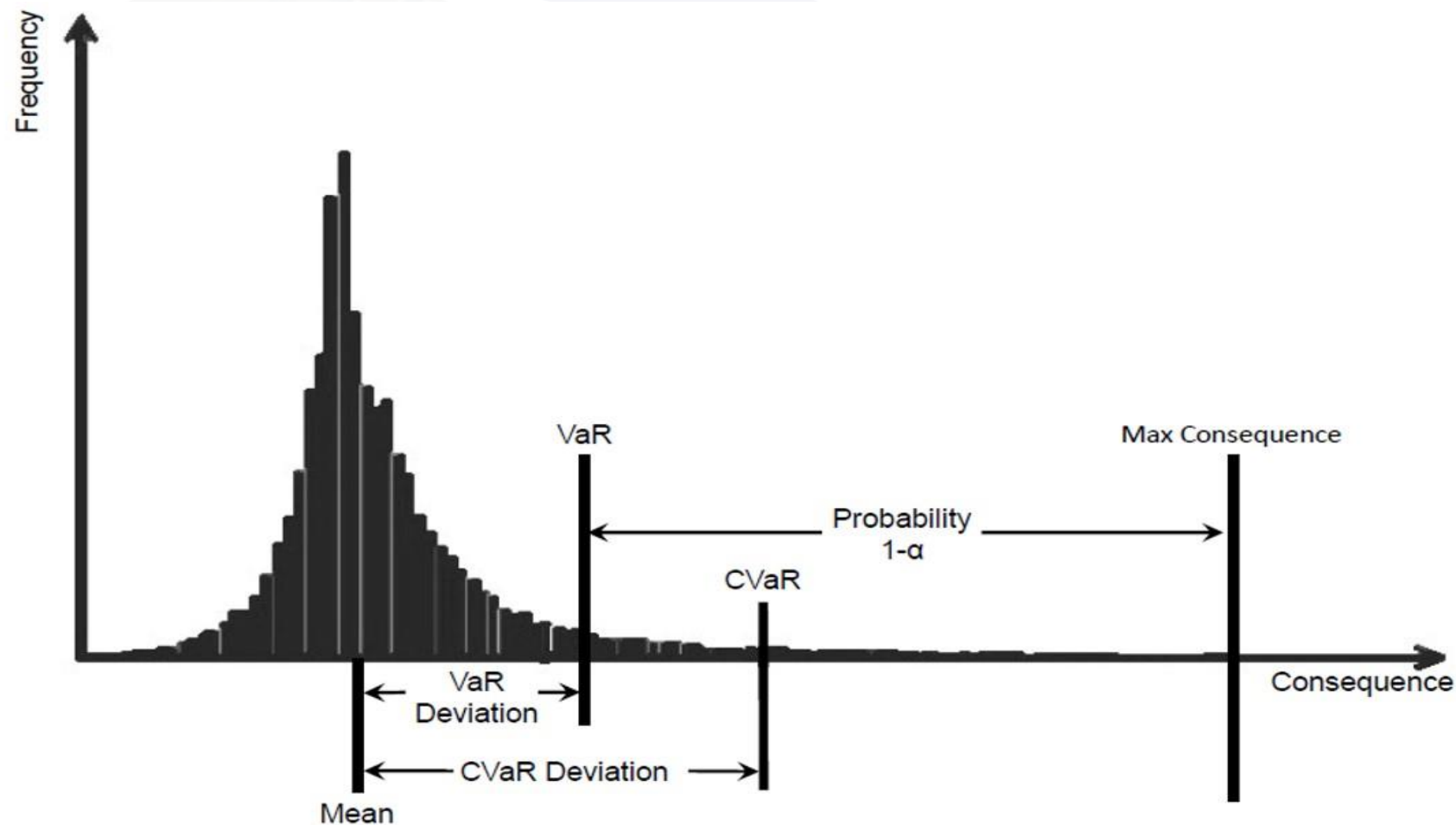


Figure 1: VaR and CVaR Deviations [Source: Sarykalin et al (2008)]

CONDITIONAL VALUE – AT – RISK DISTRIBUCIONES EMPÍRICAS

Si se considera \mathbf{Y} como perteneciente a un universo discreto de escenarios equiprobables, el **C-VaR** puede escribirse como

$$\phi_{\beta}(\mathbf{X}) = \alpha_{\beta}(\mathbf{X}) + (1-\beta)^{-1} \sum_{h=1, E} \max[0, f(\mathbf{X} | \mathbf{Y}_h) - \alpha_{\beta}(\mathbf{X})] / NE$$

donde \mathbf{Y}_h representa el valor de las variables aleatorias correspondientes al escenario h .

$$\phi_{\beta}(\mathbf{X}) = \alpha_{\beta}(\mathbf{X}) + (1-\beta)^{-1} \sum_{h=1, E} \max[0, f(\mathbf{X} | \mathbf{Y}_h) - \alpha_{\beta}(\mathbf{X})] / NE$$

se puede calcular con base en el siguiente conjunto de ecuaciones lineales

$$\phi_{\beta}(\mathbf{X}) = \alpha_{\beta}(\mathbf{X}) + (1-\beta)^{-1} \sum_{h=1, E} w_h / NE$$

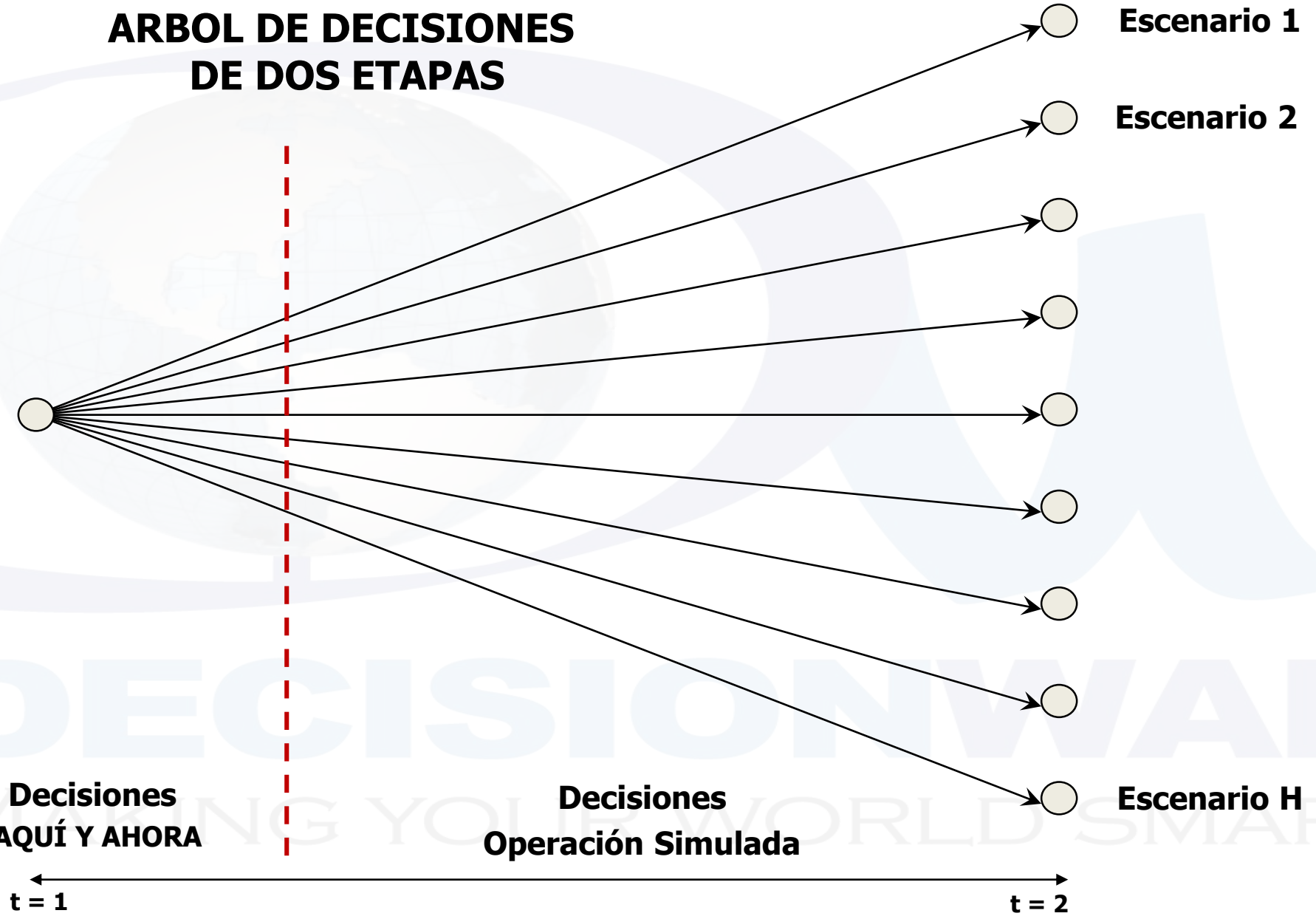
$$w_h \geq f(\mathbf{X} | \mathbf{Y}_h) - \alpha_{\beta}(\mathbf{X})$$

$$w_h \geq 0$$

donde w_h representa el exceso de pérdida sobre el **VaR** ($\alpha_{\beta}(\mathbf{X})$) cuando ocurre el escenario h .

Estas ecuaciones son utilizadas para introducir el **CVaR** en los modelos de optimización estocástica con base en escenarios.

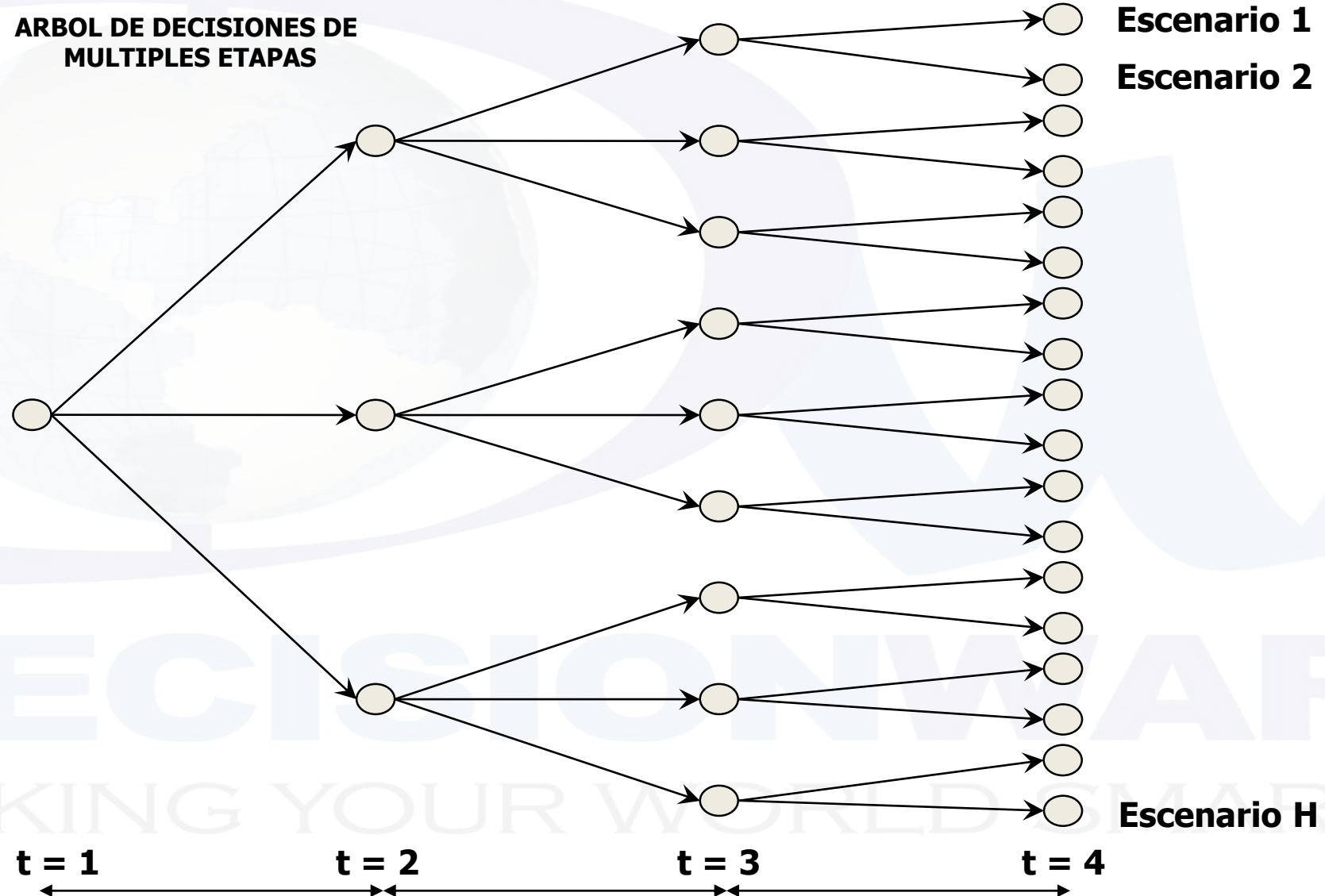
ARBOL DE DECISIONES DE DOS ETAPAS



OPCHAIN-E&G - RISK MANAGEMENT

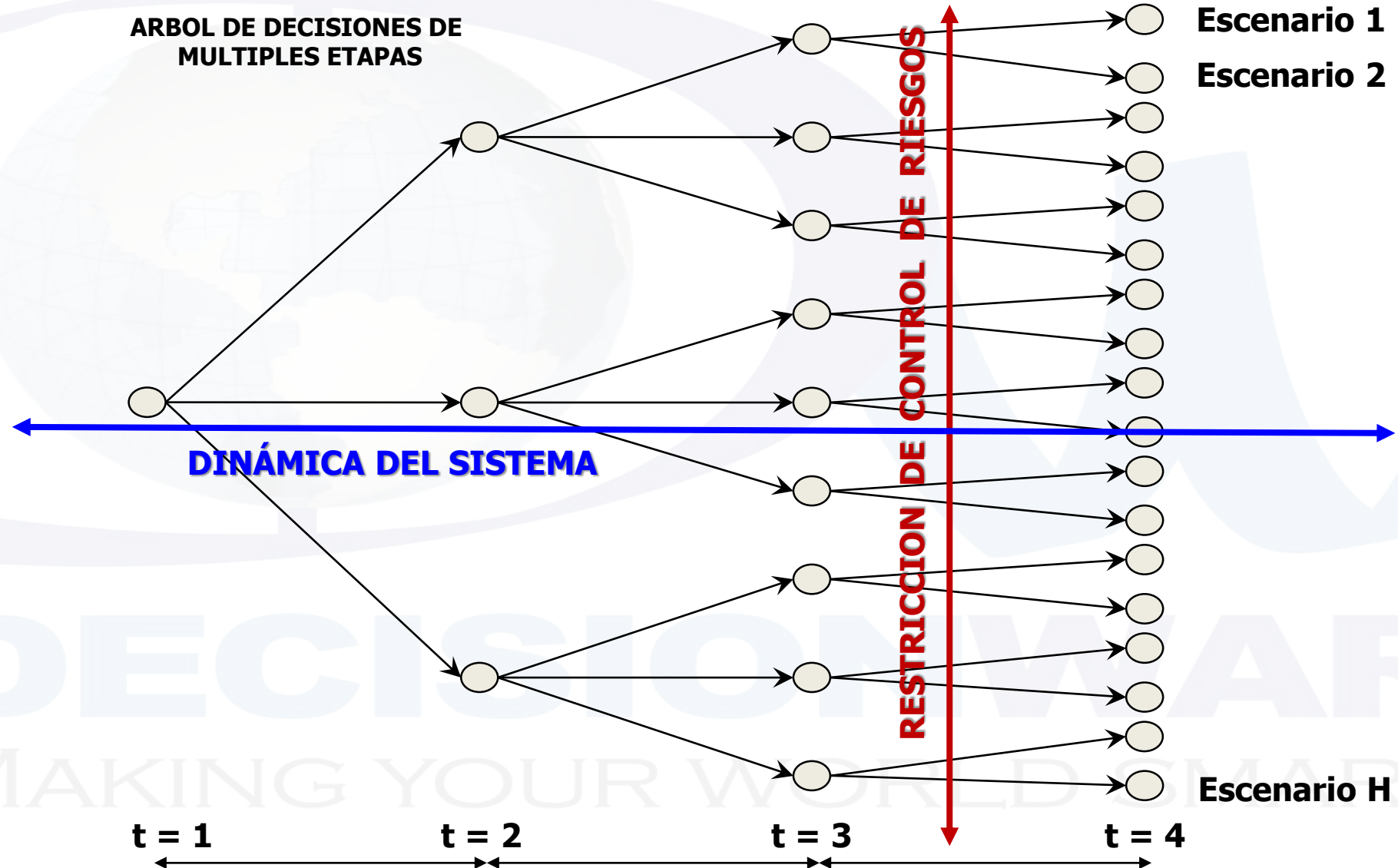
OPTIMIZACIÓN ESTOCÁSTICA NO-ANTICIPATIVA

ARBOL DE DECISIONES DE
MULTIPLES ETAPAS



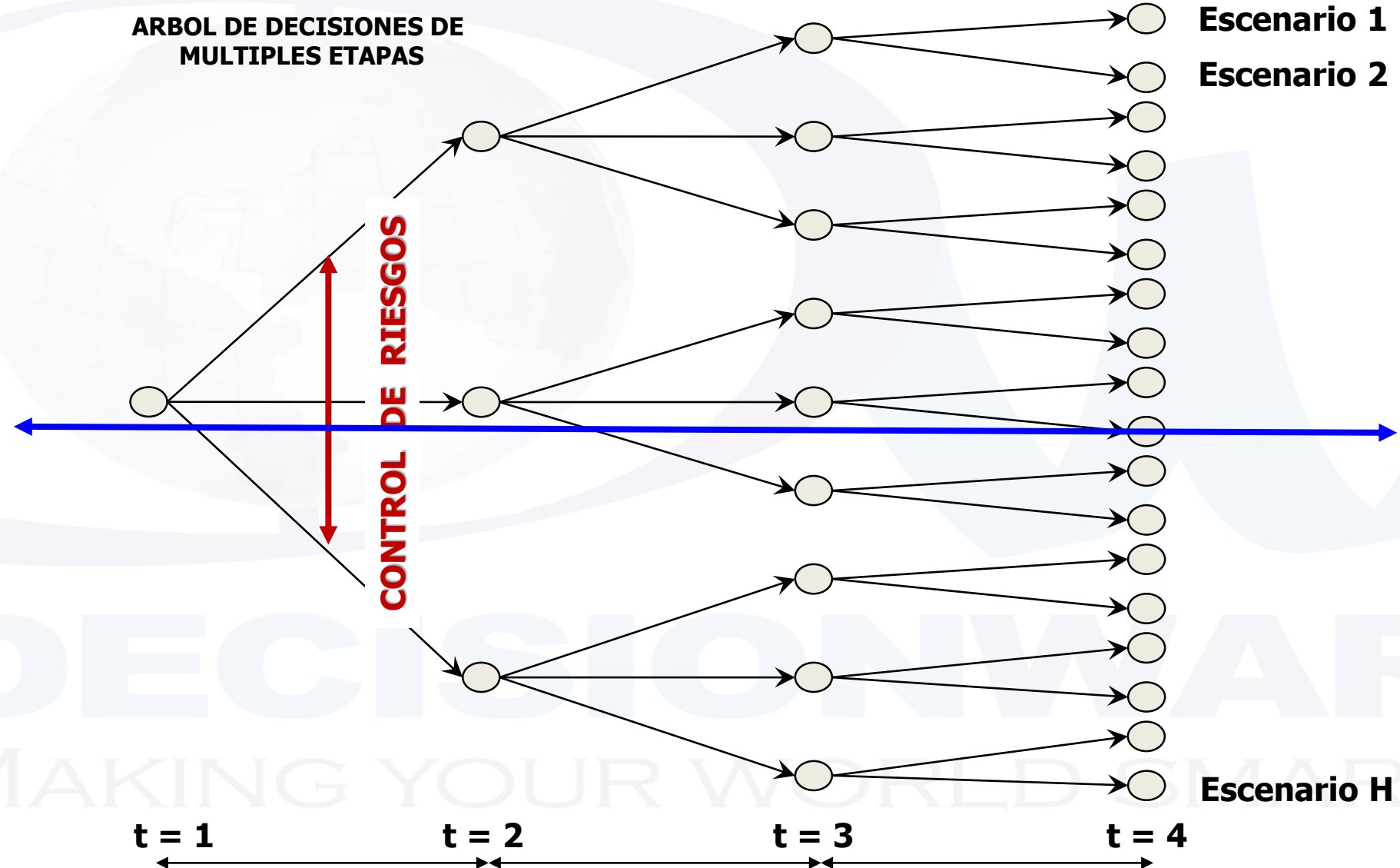
OPCHAIN-E&G - RISK MANAGEMENT

OPTIMIZACIÓN ESTOCÁSTICA NO-ANTICIPATIVA



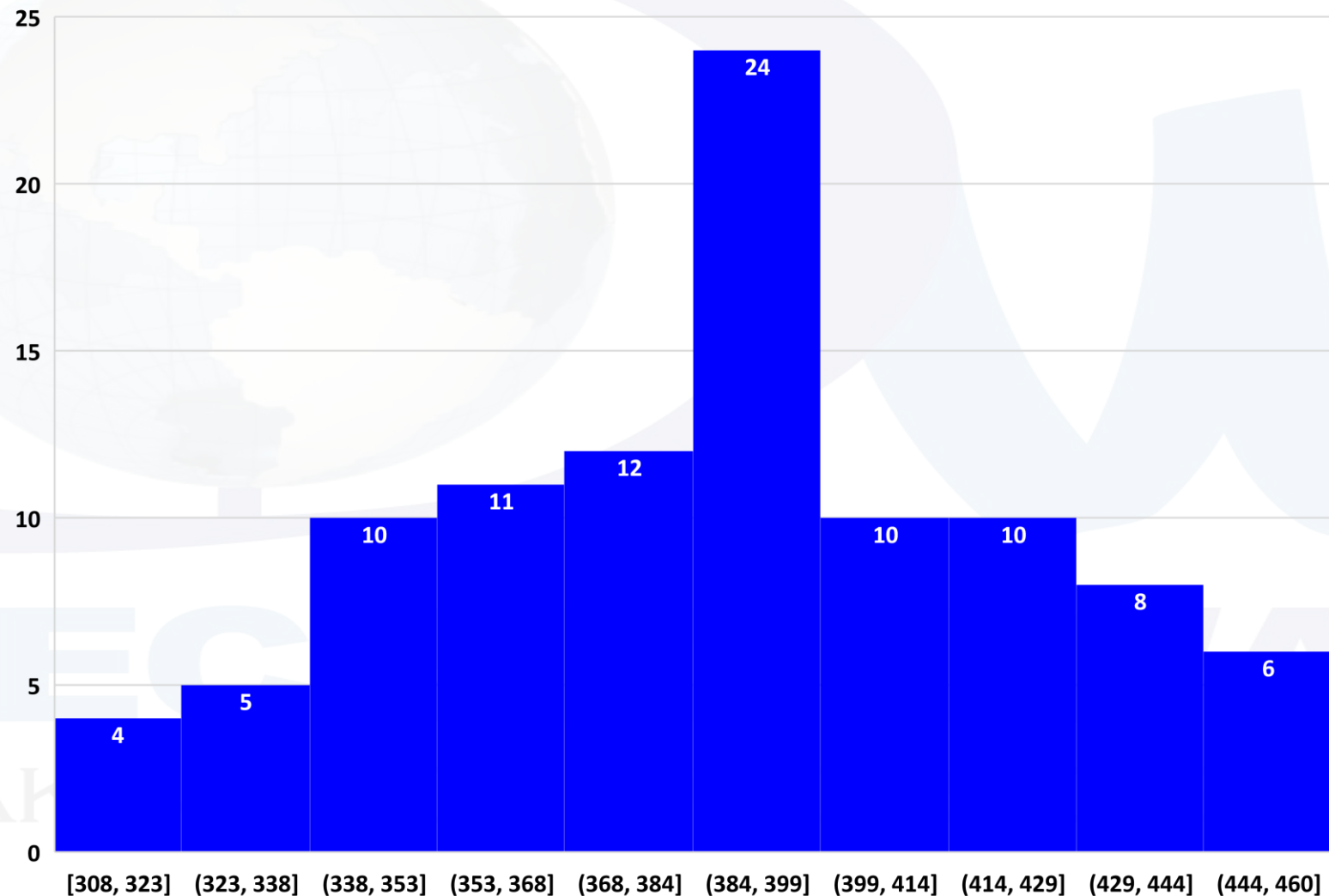
OPCHAIN-E&G - RISK MANAGEMENT

OPTIMIZACIÓN ESTOCÁSTICA NO-ANTICIPATIVA



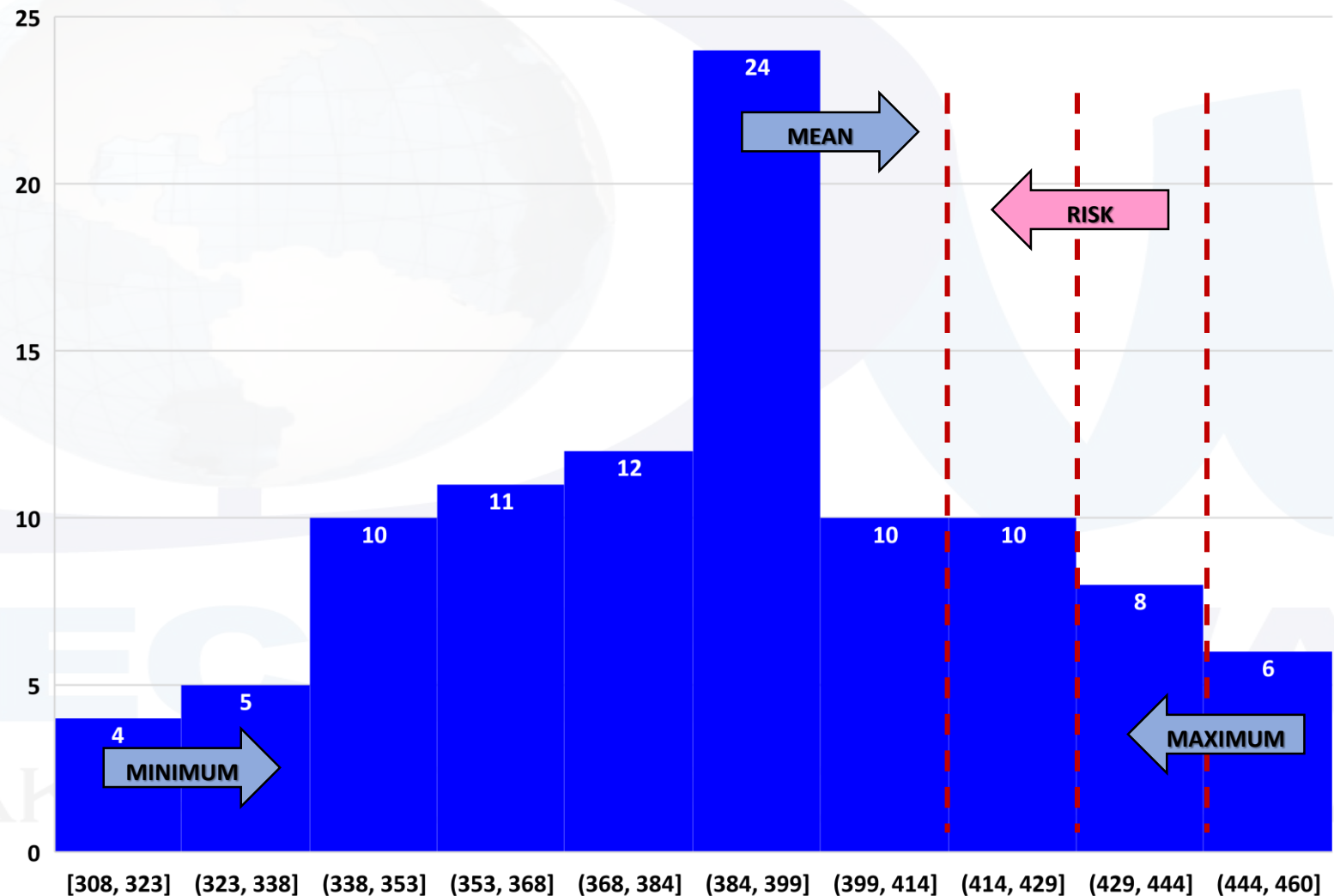
OPCHAIN-E&G - RISK MANAGEMENT

| Mean | Deviation | Maximum | Minimum | Range |
|---------|-----------|---------|---------|---------|
| 387.094 | 35.742 | 459.503 | 307.566 | 151.938 |



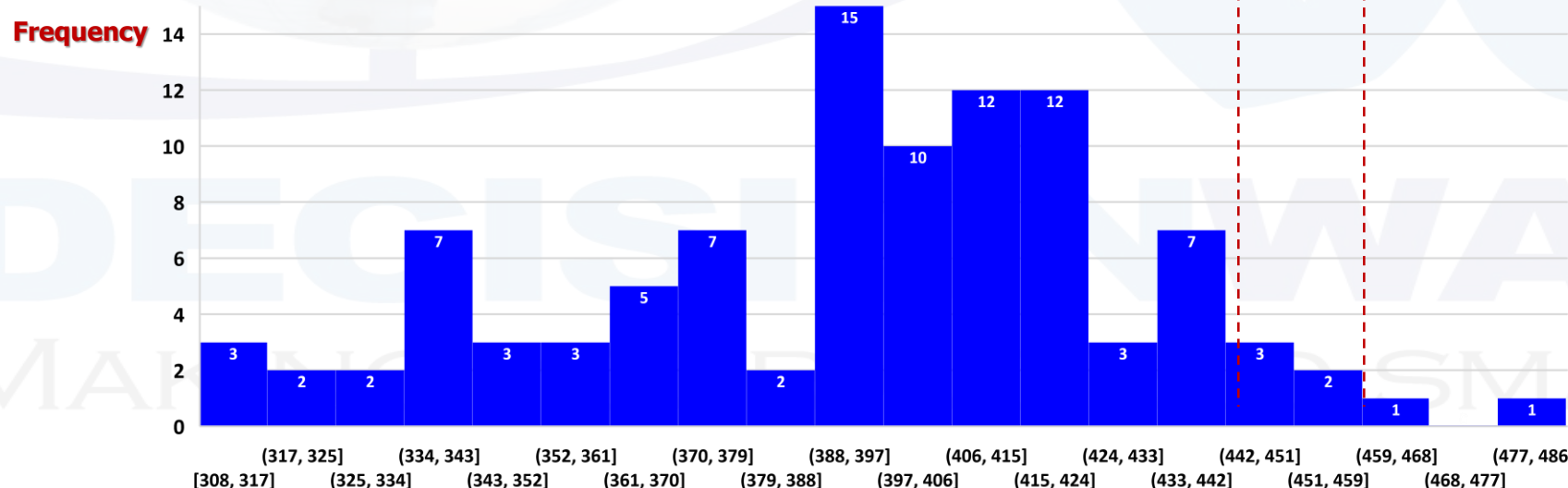
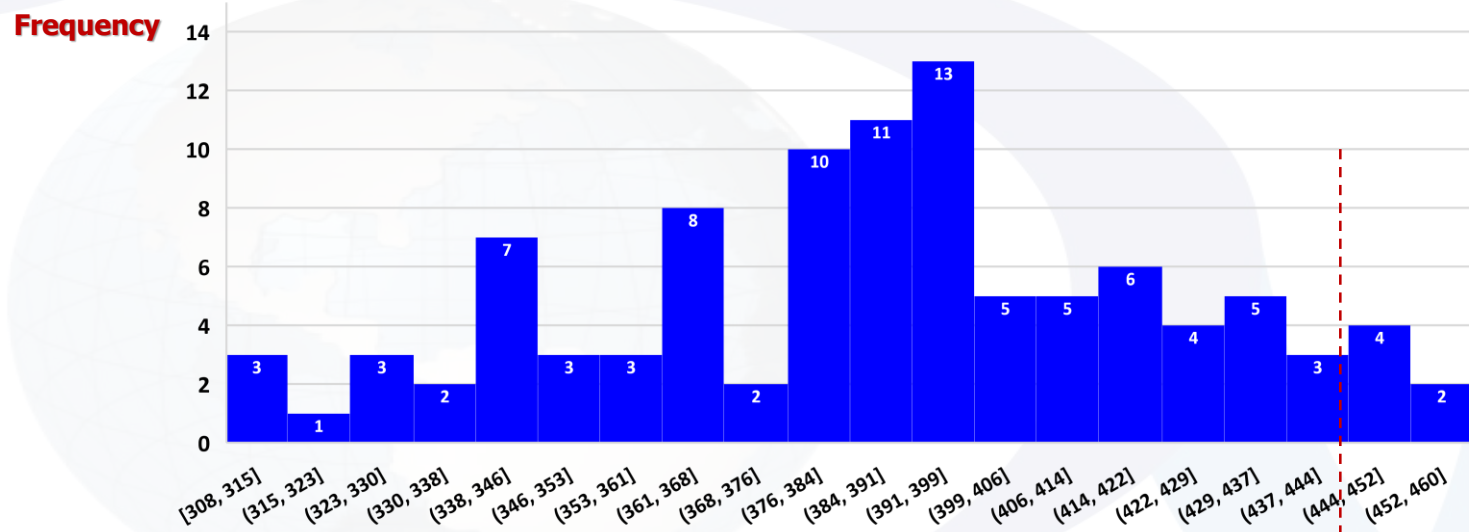
OPCHAIN-E&G - RISK MANAGEMENT

| Mean | Deviation | Maximum | Minimum | Range |
|---------|-----------|---------|---------|---------|
| 387.094 | 35.742 | 459.503 | 307.566 | 151.938 |



OPCHAIN-E&G - RISK MANAGEMENT

| Scenarios | Mean | Deviation | Maximum | Minimum | Range | CVaR Limit | Probability | VaR | CVaR |
|-----------|--------|-----------|---------|---------|--------|------------|-------------|--------|------|
| 100 | 387.09 | 35.74 | 459.50 | 307.57 | 151.94 | | | | |
| 100 | 392.84 | 36.89 | 486.29 | 307.57 | 178.72 | 444 | 0.05 | 442.94 | 444 |



OPCHAIN-E&G

OPTIMIZING THE VALUE CHAIN

Electricity & Gas Supply Chain Optimization

REGULATORY MODELING

0010 - 17/12/93 CONDICIONES DE SUMINISTRO DE ENERGÍA Y POTENCIA A GRANDES CONSUMIDORES

- A1 Definiciones fundamentales:- *Gran consumidor:* es aquel que estando conectado a niveles superiores a 1 KV y cuya demanda máxima mensual, medida en el sitio individual de entrega, excede un determinado nivel mínimo de consumo de energía, que inicialmente se define igual a 2MW (Artículo 2)- *Comercializador:* compra energía para venderla a los grandes consumidores, a las empresas de distribución y/o a los grupos de consumidores con tarifa regulada- *Generador:* es un productor de energía y potencia que la vende a terceros (comercializadores) en el mercado de corto y largo plazo. Se definen tres tipos de generadores. *Actuales:* los que pertenecen al sistema Interconectado. *Independientes:* que utilizan el sistema Interconectado para su generación propia y para comercializar energía. *cogeneradores:* que producen en forma combinada electricidad y calor para uso industrial y venden energía y potencia a terceros-*Mercado de corto plazo:* sistema de intercambios hora a hora valorados al costo marginal de corto plazo- *Mercado de largo plazo:* sistema de contratos bilaterales a plazos superiores a un (1) mes.
- A2 Caracteriza detalladamente a los grandes consumidores industriales y comerciales.
- A3 Limita los contratos bilaterales a una duración no mayor de dos (2) años.
- A7 Define el tratamiento tarifario para los usuarios que no son grandes consumidores, el cual se regirá por la junta nacional de tarifas

$$\text{Min } \sum_t \sum_j \sum_h CT_t(GT_{jth})$$

sujeto a:

$$GD_{zth} - \sum_{ueTN(z)} LD_{uzth} = 0$$

$$GD_{zth} + GHA_{zth} + DEF_{zth} = DEM_{zth}$$

$$EN_{uth} - \sum_{jeL1(u)} GTE_{juth} \\ - \sum_{veL2(u)} LL_{vuth} = 0$$

REGLAMENTACIÓN Y MODELOS MATEMÁTICOS

- 0010 - 17/12/93 CONDICIONES DE SUMINISTRO DE ENERGÍA Y POTENCIA A GRANDES CONSUMIDORES
- **A1** Definiciones fundamentales:- Gran consumidor: es aquel que estando conectado a niveles superiores a 1 KV y cuya demanda máxima mensual, medida en el sitio individual de entrega, excede un determinado nivel mínimo de consumo de energía, que inicialmente se define igual a 2MW (Artículo 2)- Comercializador: compra energía para venderla a los grandes consumidores, a las empresas de distribución y/o a los grupos de consumidores con tarifa regulada- Generador: es un productor de energía y potencia que la vende a terceros (comercializadores) en el mercado de corto y largo plazo. Se definen tres tipos de generadores. Actuales: los que pertenecen al sistema Interconectado. Independientes: que utilizan el sistema Interconectado para su generación propia y para comercializar energía. cogeneradores: que producen en forma combinada electricidad y calor para uso industrial y venden energía y potencia a terceros-Mercado de corto plazo: sistema de intercambios hora a hora valorados al costo marginal de corto plazo- Mercado de largo plazo: sistema de contratos bilaterales a plazos superiores a un (1) mes.
- **A2** Caracteriza detalladamente a los grandes consumidores industriales y comerciales.
- **A3** Limita los contratos bilaterales a una duración no mayor de dos (2) años.
- **A7** Define el tratamiento tarifario para los usuarios que no son grandes consumidores, el cual se regirá por la junta nacional de tarifas



$$\text{Min } \sum_t \sum_j \sum_h CT_t(GT_{jth})$$

sujeto a:

$$GD_{zth} - \sum_{u \in TN(z)} LD_{uzth} = 0$$

$$GD_{zth} + GHA_{zth} + DEF_{zth} = DEM_{zth}$$

$$EN_{uth} - \sum_{j \in L1(u)} GTE_{juth} \\ - \sum_{v \in L2(u)} LL_{vuth} = 0$$

OPCHAIN-E&G permite incorporar restricciones propias de cada mercado y/o de cada sistema eléctrico regional.

DESPACHO A MÍNIMO COSTO CON RESTRICCIONES DE MERCADO

**MODELO
DESPACHO
ECONOMICO
-FÍSICO-**



**NIVELES DE ACTIVIDAD
DE LA INFRAESTRUCTURA**

**ENERGÍA
GENERADA**

**MODELO DE DESPACHO
ECONOMICO TRADICIONAL**

DESPACHO A MÍNIMO COSTO CON RESTRICCIONES DE MERCADO

**MODELO
DESPACHO
ECONOMICO
-FÍSICO-**



**NIVELES DE ACTIVIDAD
DE LA INFRAESTRUCTURA**

Minimizar $f(x)$

sujeto a

$$G(x) = b$$

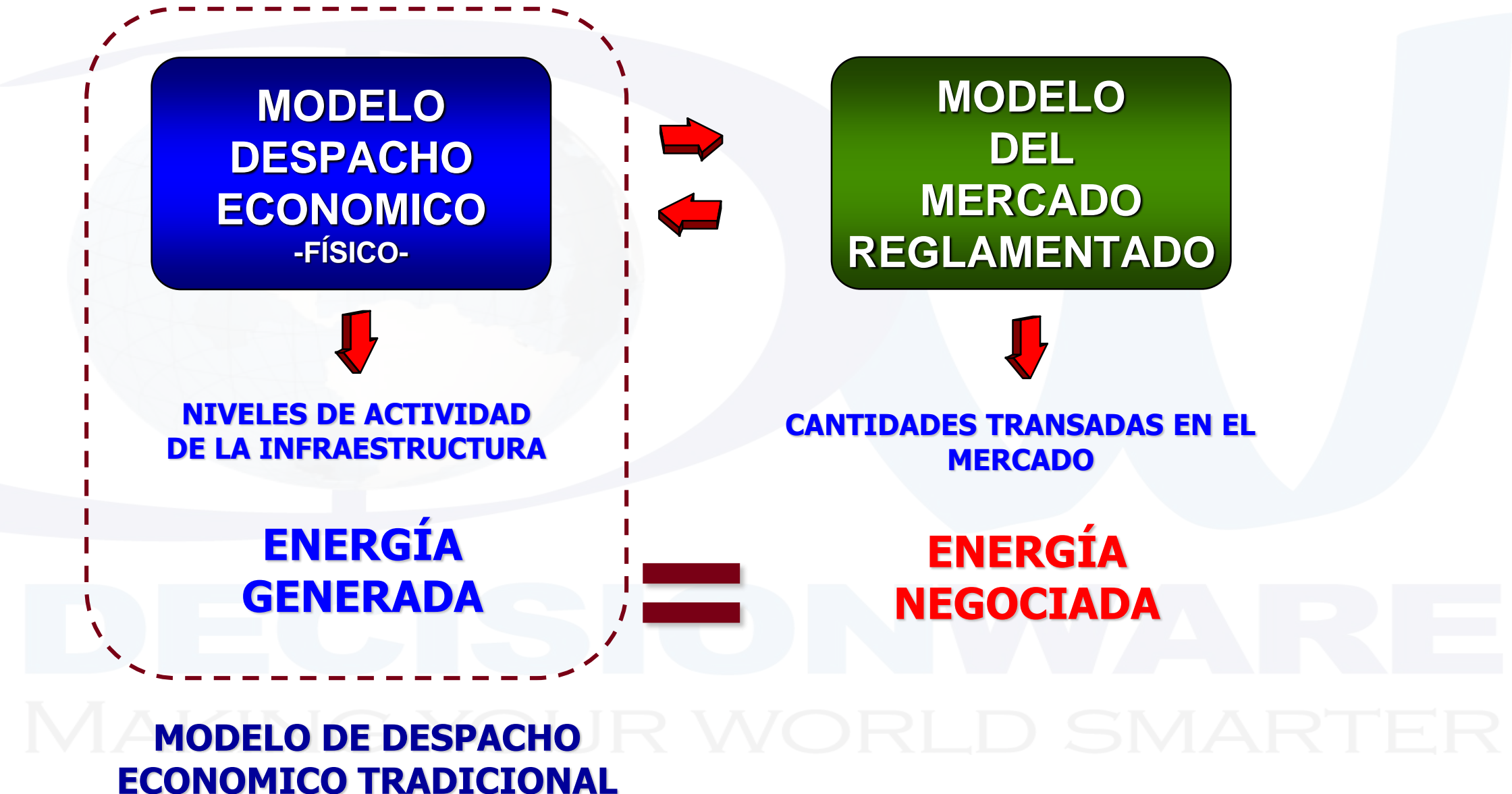
$$x \in R$$

*x variables de
despacho*

**ENERGÍA
GENERADA**

**MODELO DE DESPACHO
ECONOMICO TRADICIONAL**

DESPACHO A MÍNIMO COSTO CON RESTRICCIONES DE MERCADO



DESPACHO A MÍNIMO COSTO CON RESTRICCIONES DE MERCADO

**MODELO
DESPACHO
ECONOMICO
-FÍSICO-**

**MODELO
DEL
MERCADO
REGLAMENTADO**

Minimizar $f(x,y)$

sujeto a

$$G(x) = b_d$$

$$F(x,y) = b_m$$

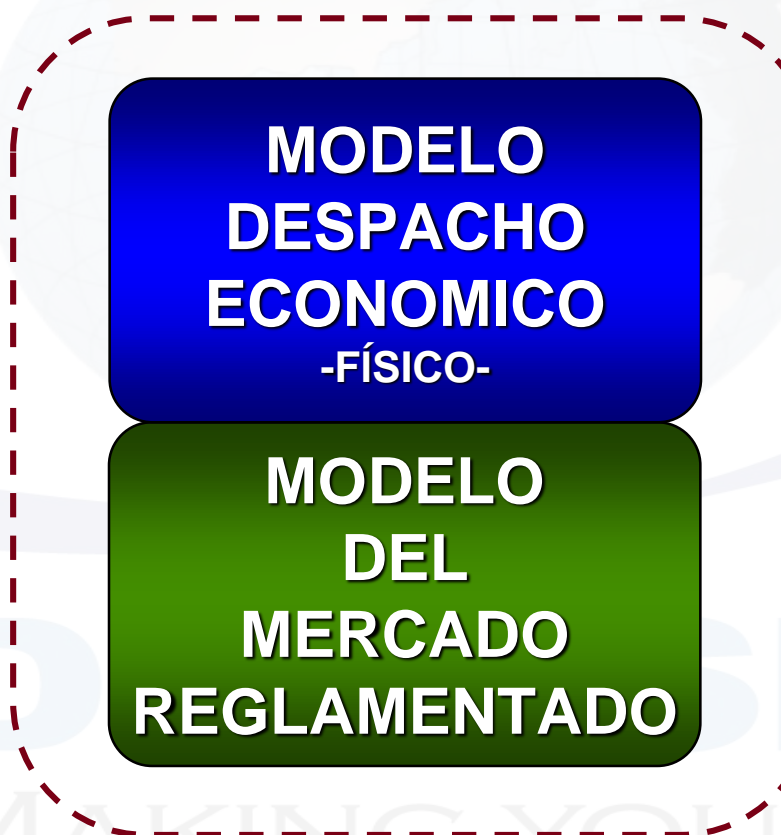
$$x \in R_d$$

$$y \in R_m$$

*x variables de
despacho*

y variables de mercado

DESPACHO A MÍNIMO COSTO CON RESTRICCIONES DE MERCADO



Minimizar $f(x,y)$

sujeto a

$$G(x) = b_d$$

$$F(x,y) = b_m$$

$$x \in R_d$$

$$y \in R_m$$

*x variables de despacho
y variables de mercado*

CASO COLOMBIA

- DESPACHO IDEAL
- PRECIO DE LA ESCASEZ
- CONTRATOS SUMINISTRO DE ELECTRICIDAD
- CONTRATOS SUMINISTRO DE COMBUSTIBLE
 - CARGO POR CONFIABILIDAD
 - OPCIONES DE ENERGÍA FIRME
 - ARRANQUE/PARADA DE PLANTAS

OPCHAIN-E&G-NASH

OPTIMIZING THE VALUE CHAIN

NASH-COURNOT EQUILIBRIUM MODELING



MS(II, DGS, GA)

sujeto a:

$$\begin{aligned}
 VF_{t+1,m} &= VF_{t,m} + \sum_{p \in CA(m)} GT_{t,p} - \sum_{p \in CB(m)} GT_{t,p} - \sum_{n \in EA(m)} WC_{t,n,m} - \sum_{n \in EB(m)} WC_{t,m,n} - WS_{t,m} + Q_{t,m} \\
 &\quad \sum_{p \in CAO(e)} GT_{t,p} + \sum_{u \in LI(e)} EL_u TL_{t,u} - \sum_{u \in LO(e)} TL_{t,u} + \sum_{z \in NC(e)} ER_{t,z} \\
 &\quad \sum_{u \in LI(e)} EL_u TL_{t,u} \leq CI_{t,e} \\
 &\quad \sum_{u \in LO(e)} TL_{t,u} \leq CX_{t,e} \\
 &\quad GO_{t,p} = \sum_{p \in GP(e)} GA_{t,p} \\
 &\quad DT_{t,z} + ER_{t,z} = DM_{t,z} \\
 &\quad DFS_t + DFR_t = \sum_p DF_{t,z} \\
 &\quad VF_{t,m} \leq CE_{t,m}, WC_{t,m,n} \leq CC_{t,m,n}, TL_{t,u} \leq CL_{t,u}, GT_{t,p} \leq CG_{t,p}, GI_{t,p} \leq DGS_{t,p}
 \end{aligned}$$

SPOT MARKET

**GENERATOR 1
OFFER**

SPOT PRICE

**GENERATOR N
OFFER**

NAP_a(Λ):

$$\begin{aligned}
 &\text{Maximizar} \\
 &\sum_{t,a} (\lambda_t^a \sum_{p \in GP(a)} GA_{t,p} + ES_{t,a} + EN_{t,a}) - \\
 &\quad \sum_{p \in CA(a)} IEQ_{t,p}(\lambda_t^a) - \sum_{p \in CB(a)} IEN_{t,p}(\lambda_t^a)
 \end{aligned}$$

sujeto a:

$$\begin{aligned}
 ET_{t,a}(\lambda_t) &= \sum_{p \in GP(a)} GA_{t,p} + ES_{t,a} + EN_{t,a} \\
 GT_{t,p} &= G_{t,p} + DGS_{t,p} \\
 VF_{t+1,m} &= VF_{t,m} + \sum_{p \in CA(m)} GT_{t,p} - \sum_{p \in CB(m)} GT_{t,p} + \\
 &\quad \sum_{n \in EA(m)} WC_{t,n,m} - \sum_{n \in EB(m)} WC_{t,m,n} - WS_{t,m} + Q_{t,m} \\
 GT_{t,p} &\leq CG_{t,p} \\
 VF_{t,m} &\leq CE_{t,m} \\
 WC_{t,m,n} &\leq CC_{t,m,n}
 \end{aligned}$$

NAP_a(Λ):

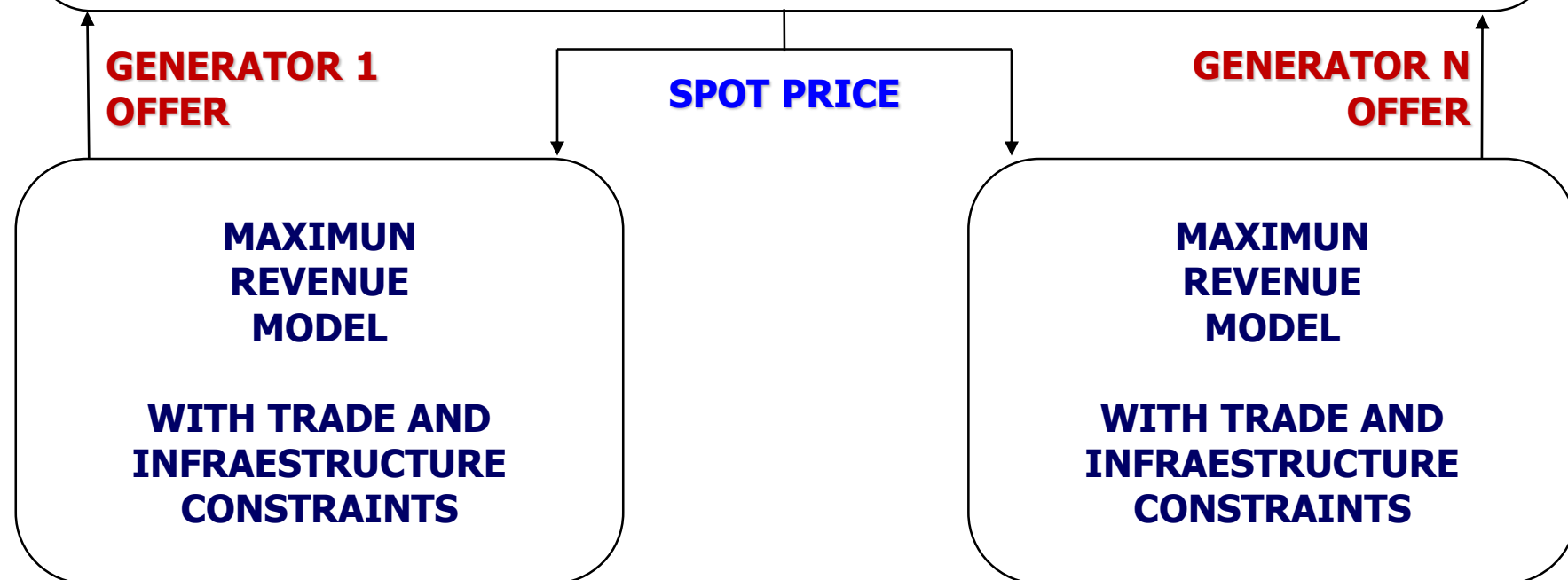
$$\begin{aligned}
 &\text{Maximizar} \\
 &\sum_{t,a} (\lambda_t^a \sum_{p \in GP(a)} GA_{t,p} + ES_{t,a} + EN_{t,a}) - \\
 &\quad \sum_{p \in CA(a)} IEQ_{t,p}(\lambda_t^a) - \sum_{p \in CB(a)} IEN_{t,p}(\lambda_t^a)
 \end{aligned}$$

sujeto a:

$$\begin{aligned}
 ET_{t,a}(\lambda_t) &= \sum_{p \in GP(a)} GA_{t,p} + ES_{t,a} + EN_{t,a} \\
 GT_{t,p} &= G_{t,p} + DGS_{t,p} \\
 VF_{t+1,m} &= VF_{t,m} + \sum_{p \in CA(m)} GT_{t,p} - \sum_{p \in CB(m)} GT_{t,p} + \\
 &\quad \sum_{n \in EA(m)} WC_{t,n,m} - \sum_{n \in EB(m)} WC_{t,m,n} - WS_{t,m} + \\
 &\quad Q_{t,m} \\
 GT_{t,p} &\leq CG_{t,p} \\
 VF_{t,m} &\leq CE_{t,m} \\
 WC_{t,m,n} &\leq CC_{t,m,n}
 \end{aligned}$$

MINIMUM DISPATCH MODEL

**WITH PHYSICAL AND TRADE
CONSTRAINTS**



MS(Π , DGS, GA)

sujeto a:

ECONOMIC DISPATCH

-PHYSICAL-

$$\sum_{p \in CA(m)} GT_{t,p} - \sum_{p \in CB(m)} GT_{t,p} + \sum_{n \in EA(m)} WC_{t,n,m} - \sum_{n \in EB(m)} WC_{t,m,n} - WS_{t,m} + Q_{t,m}$$

$$\sum_{p \in CAO(e)} GT_{t,p} + \sum_{n \in EL(e)} TL_{t,u} + \sum_{z \in NC(e)} ER_{t,z}$$

$$\sum_{u \in LI(e)} EL_u TL_{t,u} \leq CI_{t,e}$$

$$\sum_{u \in LO(e)} TL_{t,u} \leq CL_{t,e}$$

$$GO_{t,f} \leq \sum_{p \in RP(f)} GT_{t,p}$$

$$\sum_p GT_{t,p} + \sum_f DS_f - DSM_t(GT) = 0$$

$$DTSt + DTRt = \sum_p DT_{t,z}$$

TRADE INTEGRATED MODEL

-COMMERCIAL-

$$VF_{t,m} \leq CE_{t,m}, WC_{t,m,n} \leq CC_{t,m,n}, TL_{t,u} \leq CL_{t,u}, GT_{t,n} \leq CG_{t,n}, GI_{t,n} \leq DGS_{t,n}$$

$$\Pi = \{\pi_{1,1}, \pi_{2,1}, \dots, \pi_{T,1}\}$$

$$DGS = \{DGS_{1,1}, DGS_{2,1}, \dots, DGS_{T,1}\}$$

$$GA = \{GA_{1,1}, GA_{2,1}, \dots, GA_{T,1}\}$$

$$\Lambda = \{\lambda_1, \lambda_2, \dots, \lambda_T\}$$

$$\Pi = \{\pi_{1,1}, \pi_{2,1}, \dots, \pi_{T,1}\}$$

$$DGS = \{DGS_{1,1}, DGS_{2,1}, \dots, DGS_{T,1}\}$$

$$GA = \{GA_{1,1}, GA_{2,1}, \dots, GA_{T,1}\}$$

REVENUE

$$\sum_{t=1,T} \sum_{p \in GP(g)} GS_{t,p} + IEO_{t,a}(\lambda_U - \lambda_t) ES_{t,a} - \sum_{p \in CP(a)} CV_{t,p} GT_{t,p} - PN_t EN_{t,a}$$

sujeto a:

GENERATOR

$$ET_{t,a} = \sum_{p \in GP(g)} GT_{t,p} + DGS_{t,p}$$

$$GT_{t,p} = GA_{t,p} + DGS_{t,p}$$

$$VF_{t+1,m} = VF_{t,m} + \sum_{p \in CB(m)} GT_{t,p} - \sum_{p \in CB(m)} GT_{t,p} + \sum_{n \in EA(m)} WC_{t,n,m} - \sum_{n \in EA(m)} WC_{t,m,n} - WS_{t,m} + Q_{t,m}$$

$$GT_{t,p} \leq CG_{t,p}$$

$$VF_{t,m} \leq CE_{t,m}$$

$$WC_{t,m,n} \leq CC_{t,m,n}$$

1

REVENUE

$$\sum_{t=1,T} \sum_{p \in GP(g)} GS_{t,p} + IEO_{t,a}(\lambda_D - \lambda_t) ES_{t,a} - \sum_{p \in CP(a)} CV_{t,p} GT_{t,p} - PN_t EN_{t,a}$$

sujeto a:

GENERATOR

$$ET_{t,a} = \sum_{p \in GP(g)} GT_{t,p} + DGS_{t,p}$$

$$VF_{t+1,m} = VF_{t,m} + \sum_{p \in CB(m)} GT_{t,p} - \sum_{p \in CB(m)} GT_{t,p} + \sum_{n \in EA(m)} WC_{t,n,m} - \sum_{n \in EA(m)} WC_{t,m,n} - WS_{t,m} + Q_{t,m}$$

$$GT_{t,p} \leq CG_{t,p}$$

$$VF_{t,m} \leq CE_{t,m}$$

$$WC_{t,m,n} \leq CC_{t,m,n}$$

N

OPCHAIN-SGO

OPTIMIZING THE VALUE CHAIN

Electricity & Gas Supply Chain Optimization

SMART GRIDS OPTIMIZATION



SMART GRIDS - MICROGRIDS



R&D+i PROJECT

OPCHAIN-SGO

OPTIMIZING THE VALUE CHAIN

SMART GRIDS OPTIMIZATION



is looking for:

**ANGEL INVESTORS
CAPITAL PARTNERS
STRATEGIC PARTNERS
TECHNOLOGICAL PARTNERS**



OPCHAIN-SGO

IS A COMMERCIAL OPTIMIZATION SOFTWARE PRODUCED BY DECISIONWARE

OPTEX Mathematical Modeling System - Chief Scientist DecisionWare International Corp. (OPTEX MMS 374838-456059)

OPCHAIN-SGO
OPTIMIZING THE VALUE CHAIN
ELECTRICITY & GAS
SMART GRIDS OPTIMIZATION



Powered by

Think the mathematical model and  will make the software for you

Aceptar

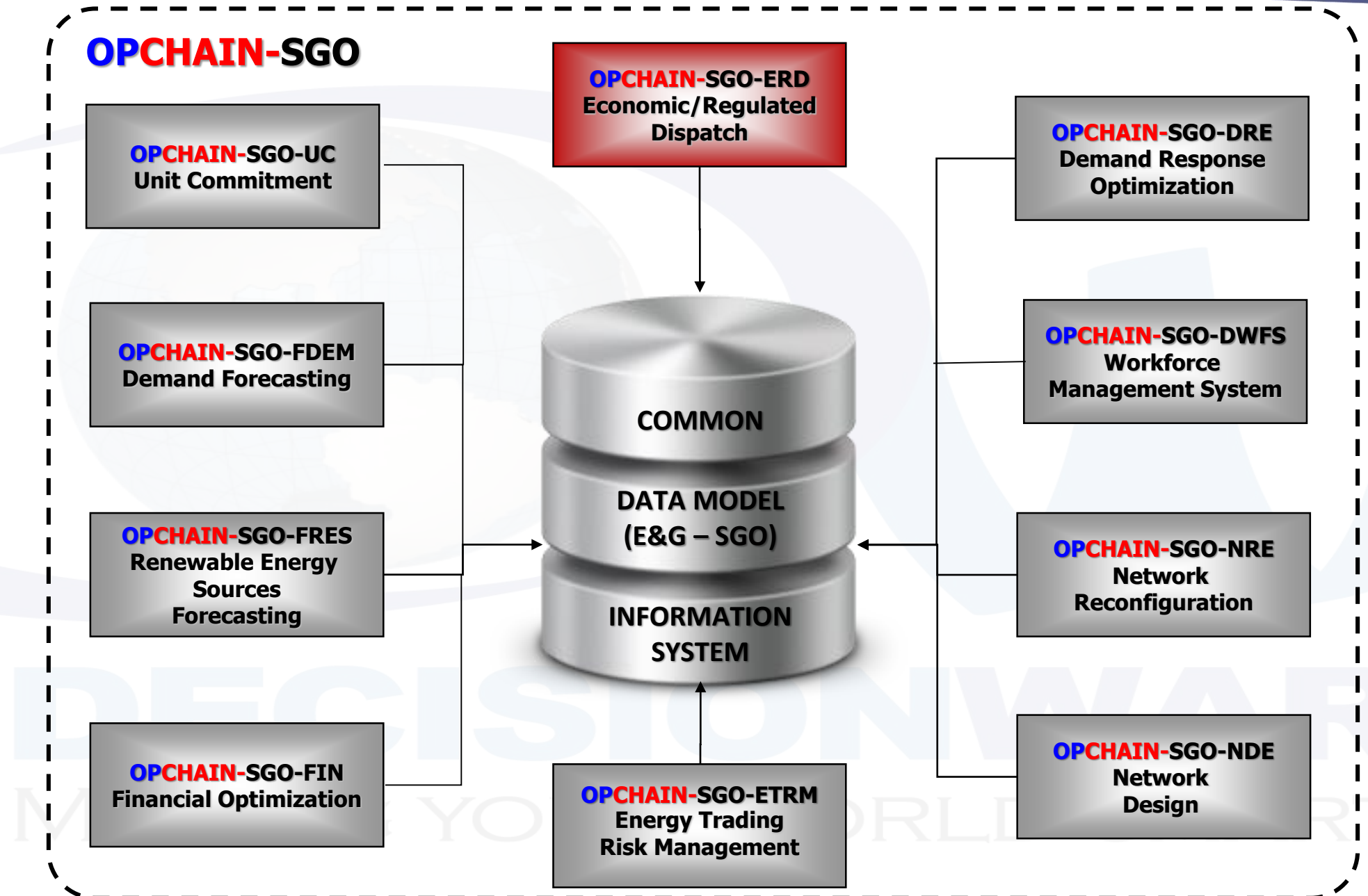
Usuario

Clave

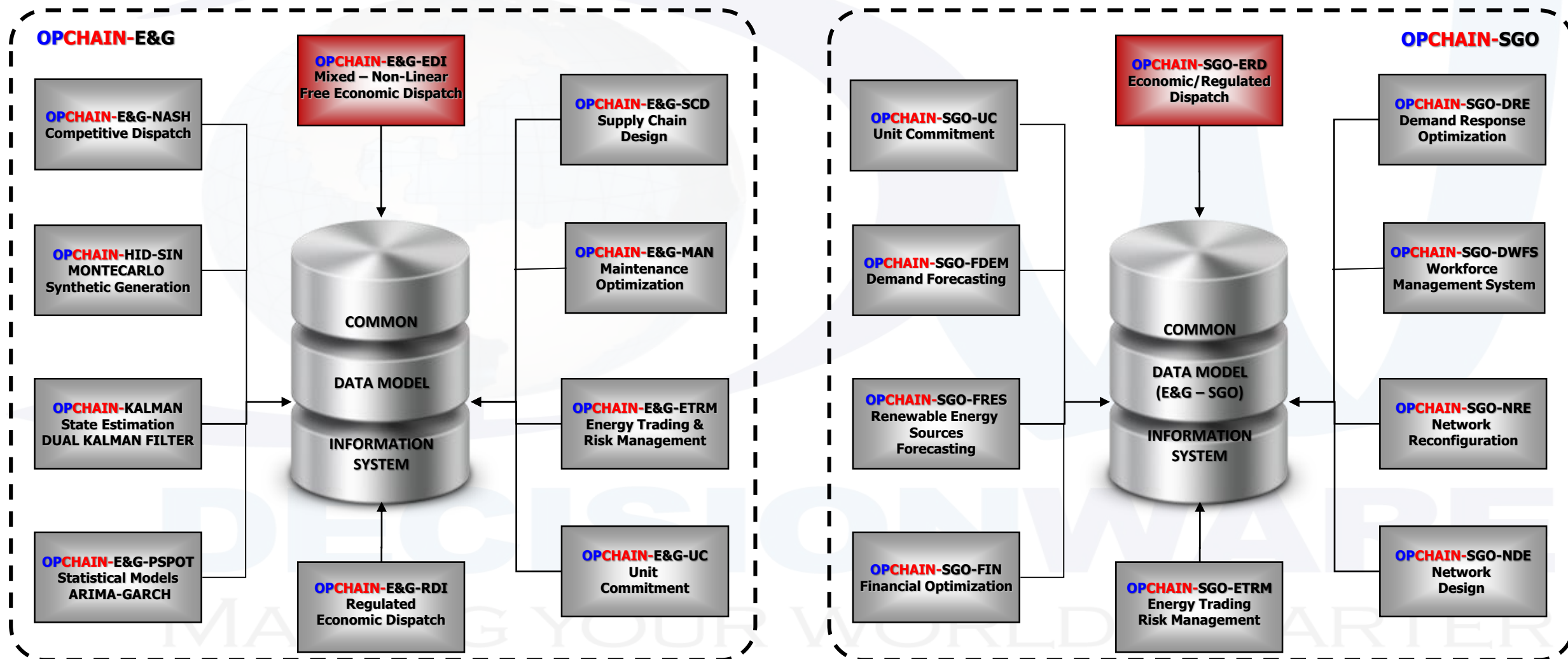
Cambiar Clave

Nueva Clave

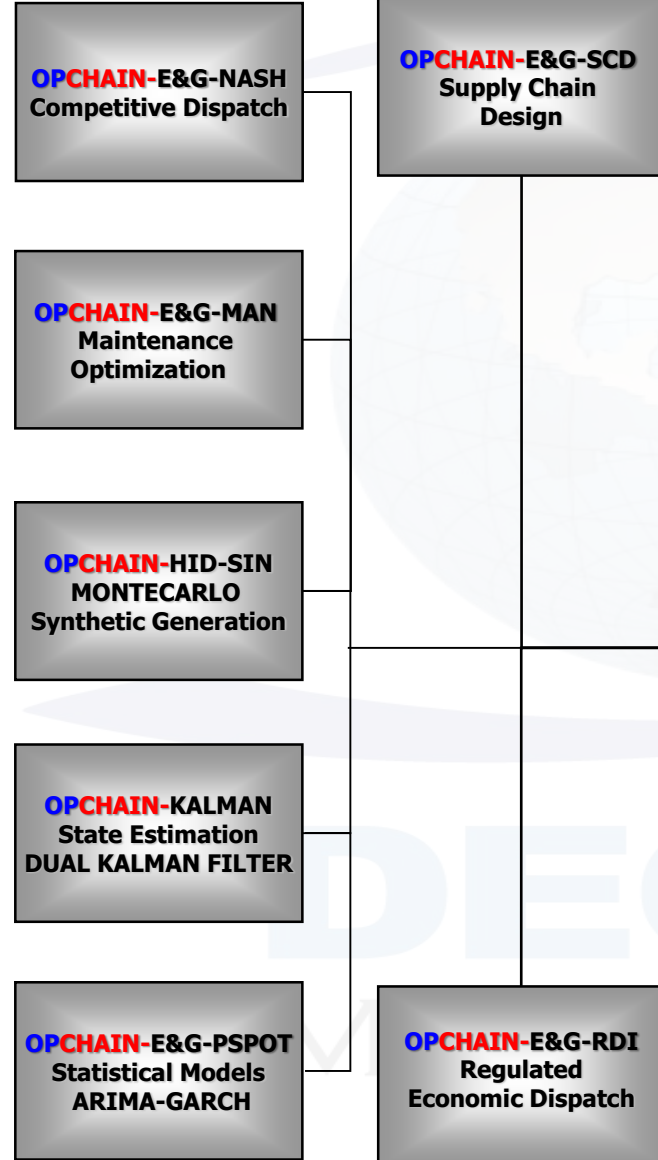
Cancelar



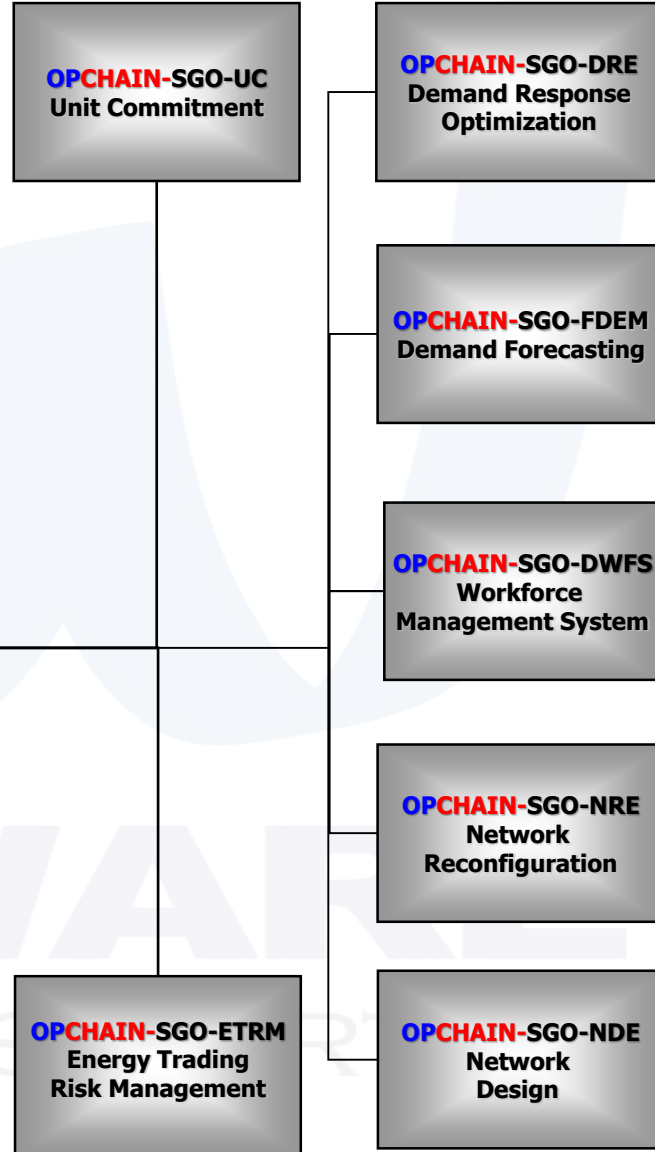
OPCHAIN-E&G - OPCHAIN-SGO INTEGRATION



OPCHAIN-E&G



OPCHAIN-SGO



OPCHAIN-E&G-FIN

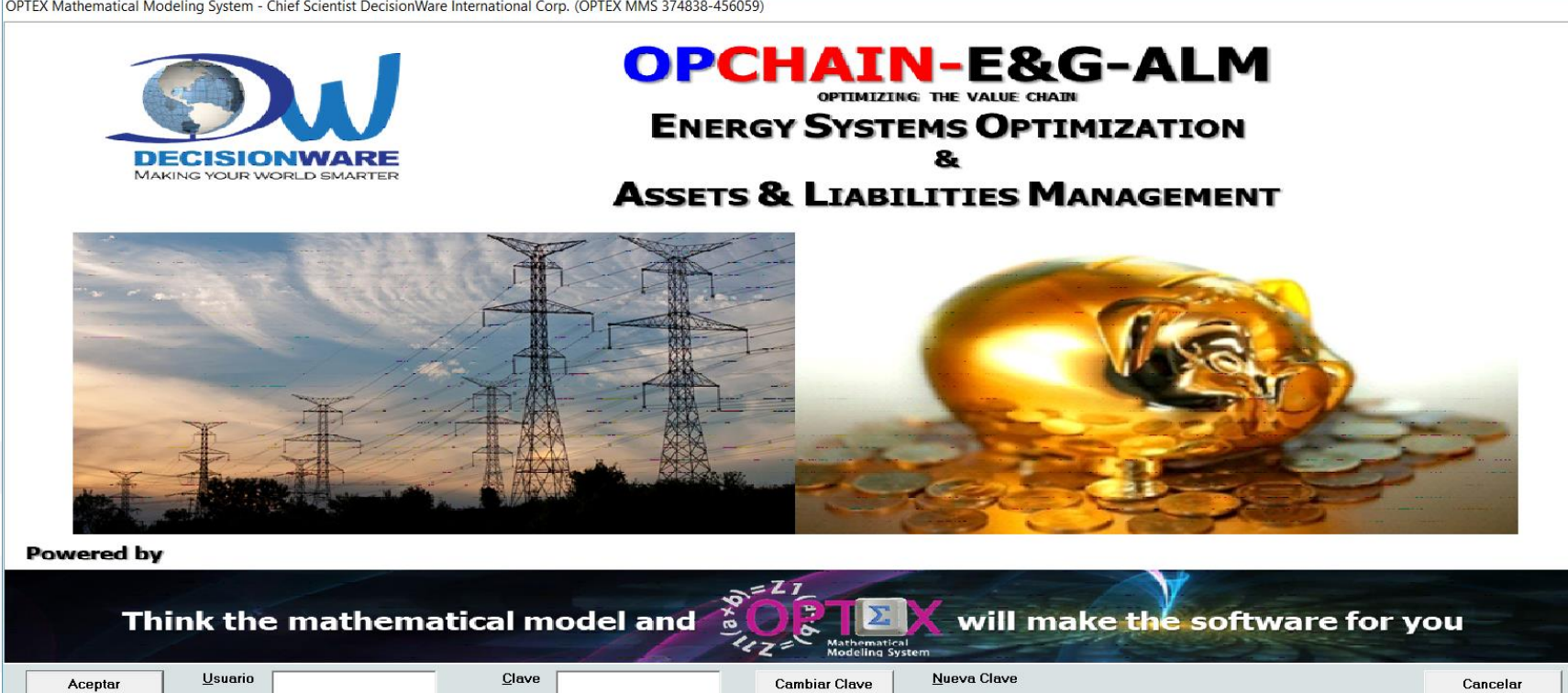
**OPTIMIZING THE VALUE CHAIN
ENERGY SYSTEMS OPTIMIZATION
AND
FINANCIAL ANALYSIS**



OPCHAIN-E&G-ALM

IS A COMMERCIAL OPTIMIZATION SOFTWARE PRODUCED BY **DECISIONWARE**

OPTEX Mathematical Modeling System - Chief Scientist DecisionWare International Corp. (OPTEX MMS 374838-456059)



OPCHAIN-E&G-ALM
OPTIMIZING THE VALUE CHAIN
ENERGY SYSTEMS OPTIMIZATION
&
ASSETS & LIABILITIES MANAGEMENT

Powered by

Think the mathematical model and **OPTEX** will make the software for you

OPTEX Mathematical Modeling System

Aceptar Usuario Clave Cambiar Clave Nueva Clave Cancelar

MAKING YOUR WORLD SMARTER

(AVAILABLE IN SPANISH & ENGLISH)

OPCHAIN-E&G-FIN

OPTIMIZING THE VALUE CHAIN
ENERGY SYSTEMS OPTIMIZATION
AND
FINANCIAL ANALYSIS

OPCHAIN-E&G-FIN corresponde a un modelo matemático financiero orientado a integrarse con los módulos de planificación del sistema **ESO** (**E**nergy **S**ystem **O**ptimization):

- **OPCHAIN-EPE** (**E**nergy **P**roject **E**valuation)

ALM
Simulación
Financiera

GENERACIÓN DE ESTADOS FINANCIEROS

La conexión de los modelos financieros con los modelos matemáticos de **OPCHAIN E&G** dan como mínima ganancia la generación automática de estados financieros bajo las Normas Internacionales de Información Financiera (NIIF) ya que reducen el tiempo y el esfuerzo de los planificadores para realizar los informes financieros y su posterior análisis de riesgos.

Los resultados a generar son:

- Estado de Resultados (pérdidas y ganancias), en función del gasto
- Flujo de efectivo, método indirecto
- Estado de la situación financiera (balance)



JUNTA DIRECTIVA

DECISIONES
FINANCIERAS

ALM Assets & Liabilities Management

ESTADO RESULTADOS

| | Notas | 31 de diciembre del 2013 | 30 de Junio del 2013 |
|------------------------------------|---------|--------------------------|----------------------|
| Ingresos operacionales | 22 | 2.298.884 | 1.978.737 |
| Costo de ventas | 23 | 775.916 | 685.070 |
| Utilidad bruta | | 1.522.968 | 1.293.667 |
| Gastos operacionales | 24 | 191.307 | 196.975 |
| Operaciones de administración | | 585.821 | 527.838 |
| Operaciones de ventas | | 588.128 | 527.838 |
| Total gastos operacionales | | 777.128 | 724.813 |
| Utilidad operacional | | 745.840 | 568.854 |
| Ingresos no operacionales | 25 | 73.290 | 130.282 |
| Egresos no operacionales | 26 | 164.913 | 219.280 |
| Método de participación | 25 y 26 | 432.545 | 447.771 |
| Utilidad antes de impuestos | | 1.086.782 | 927.627 |
| Provisión impuesto de renta | 15 | 221.273 | 178.411 |
| Impuesto de renta diferido neto | 15 | 18.156 | (13.844) |
| Utilidad neta del ejercicio | | 847.333 | 763.060 |

BALANCE ACTIVOS Y PASIVOS

| | Notas | 31 de diciembre del 2013 | 30 de junio del 2013 |
|---------------------------------|--------|--------------------------|----------------------|
| ACTIVO | | | |
| CORRIENTE | | | |
| Disponible | 4 | 83.842 | 39.125 |
| Deudores | 5 | 1.521.634 | 1.361.716 |
| Inventarios | 6 | 195.142 | 166.718 |
| Diferidos | 7 | 394 | 3.245 |
| Total corriente | | 1.802.012 | 1.570.804 |
| NO CORRIENTE | | | |
| Inversiones | 9 | 2.624.979 | 2.274.467 |
| Deudores | 5 | 96.633 | 96.299 |
| Propiedades, planta y equipo | 10 | 1.231.203 | 1.239.207 |
| Intangibles | 11 | 762.878 | 834.320 |
| Diferidos | 7 | 111.018 | 122.118 |
| Otros activos | 8 | 112 | 112 |
| Total no corriente | | 4.826.823 | 4.566.523 |
| Valorizaciones | 8-9-10 | 2.255.098 | 2.267.069 |
| TOTAL DEL ACTIVO | | 8.883.933 | 8.404.396 |
| CUENTAS DE ORDEN | 21 | 10.552.769 | 10.458.230 |
| PASIVO Y PATRIMONIO | | | |
| CORRIENTE | | | |
| Obligaciones financieras | 12 | 232.932 | 1.789 |
| Proveedores | 13 | 277.486 | 203.320 |
| Cuentas por pagar | 14 | 527.656 | 586.997 |
| Otros pasivos y tasas | 15 | 575.193 | 378.501 |
| Obligaciones laborales | 16 | 20.450 | 16.702 |
| Pasivos estimados y provisiones | 17 | 82.498 | 116.306 |
| Otros pasivos | | 93.361 | 61.527 |
| TOTAL PASIVO | | 1.052.769 | 1.045.230 |

FLUJO DE EFECTIVO

| | 31 de diciembre del 2013 | 30 de Junio del 2013 |
|---|--------------------------|----------------------|
| Fujo de efectivo originado en actividades de operación | | |
| Utilidad (pérdida) neta | 847.332 | 763.060 |
| Ajuste a los resultados: | | |
| Ajuste por diferencia en cambio | (205) | (7.630) |
| Amortizaciones | 117.930 | 94.731 |
| Depreciaciones | 103.608 | 101.446 |
| Effecto de la revisión método de participación | (432.545) | (447.771) |
| Pensiones de jubilación y contingencias | (13.763) | (13.987) |
| Recuperación pensiones de jubilación y contingencias | (10.597) | - |
| Provisión de activos fijos | 226 | 715 |
| Provisión de inventarios | - | 659 |
| Provisión de deudas | 913 | 900 |
| Otros cambios en activos no restringidos | (2.816) | (3.969) |
| Ajuste períodos anteriores | 14 | 1.851 |
| Provisión para impuesto sobre la renta | 239.428 | 164.567 |
| Perdida/utilidad en venta de propiedades planta y equipo | 17.929 | (63.475) |
| Utilidad operacional antes de cambios en el capital de trabajo | 869.676 | 597.770 |
| (Aumento) disminución en deudas | (159.200) | 19.238 |
| (Aumento) disminución en inventarios | (29.424) | 19.709 |
| (Aumento) disminución en activos fijos | 2.250 | (1.723) |
| (Aumento) disminución en impuestos diferidos | (10.557) | 35.425 |
| Aumento (disminución) en proveedores | 74.175 | (37.191) |
| Aumento (disminución) en cuentas por pagar | (68.660) | 76.594 |
| Aumento (disminución) en impuestos, gravámenes y tasas | (24.581) | (246.211) |
| Aumento (disminución) en otros pasivos | 3.148 | (5.131) |
| Aumento (disminución) en pasivos estimados y provisiones | (3.880) | 45.131 |
| Aumento (disminución) en pasivos diferidos | 7.503 | 1.510 |
| Aumento (disminución) en pasivos | 31.833 | (6.851) |
| Diferencia neta/baja de monedas más otras malas | 70.444 | 64.952 |



SISTEMA PRODUCTIVO

HIPÓTESIS
PRODUCCIÓN & VENTAS

ALM Assets & Liabilities Management



JUNTA DIRECTIVA

DECISIONES FINANCIERAS

ESTADO RESULTADOS

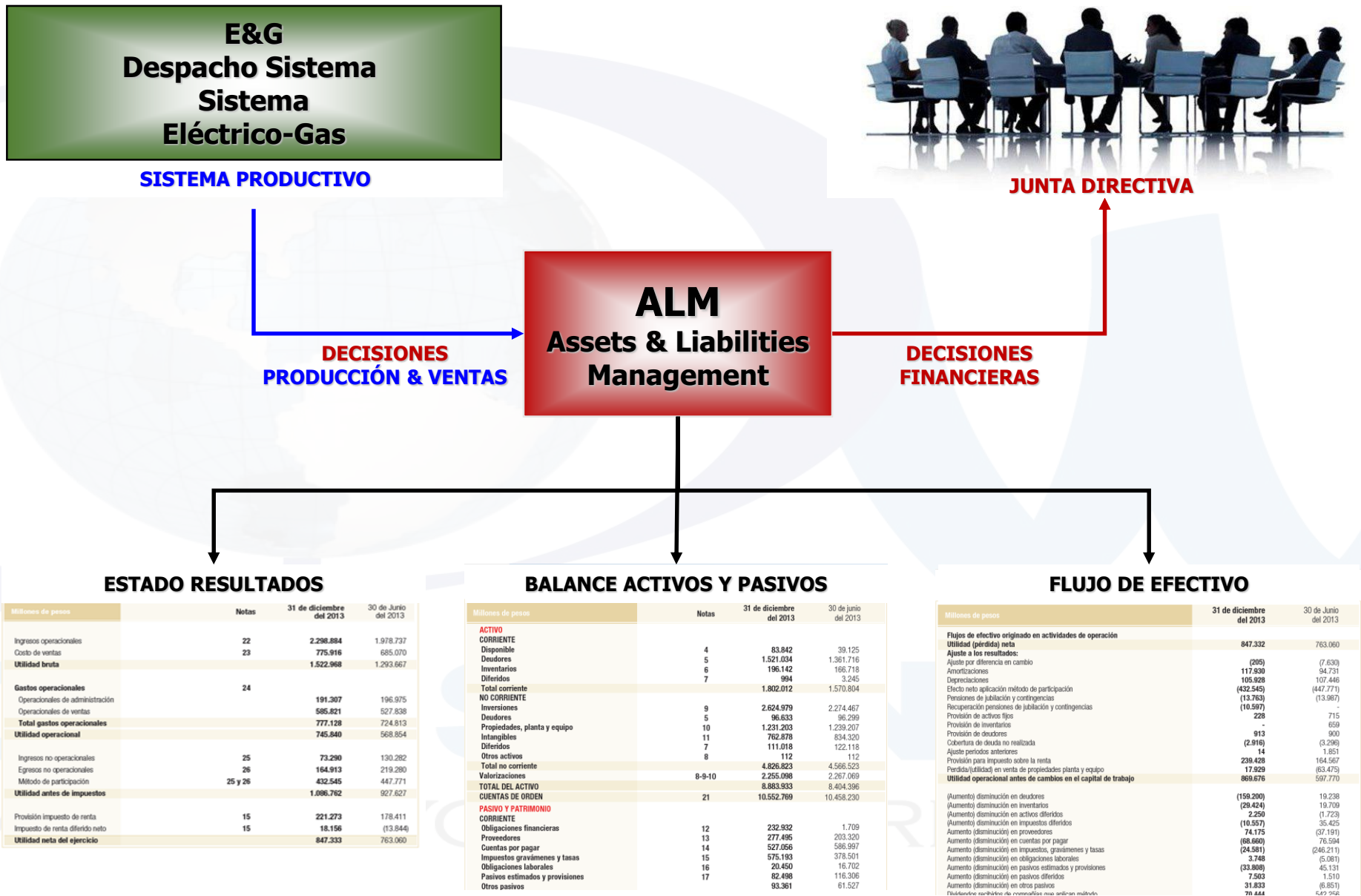
| Miles de pesos | Notas | 31 de diciembre del 2013 | 30 de Junio del 2013 |
|------------------------------------|---------|--------------------------|----------------------|
| Ingresos operacionales | 22 | 2.298.884 | 1.978.737 |
| Costo de ventas | 23 | 775.916 | 685.070 |
| Utilidad bruta | | 1.522.968 | 1.293.667 |
| Gastos operacionales | 24 | 191.307 | 196.975 |
| Operaciones de administración | | 585.821 | 527.838 |
| Operaciones de ventas | | 777.128 | 724.813 |
| Total gastos operacionales | | 745.840 | 568.854 |
| Ingresos no operacionales | 25 | 73.290 | 130.282 |
| Egresos no operacionales | 26 | 164.913 | 219.280 |
| Método de participación | 25 y 26 | 432.545 | 447.771 |
| Utilidad antes de impuestos | | 1.086.762 | 927.627 |
| Provisión impuesto de renta | 15 | 221.273 | 178.411 |
| Impuesto de renta diferido neto | 15 | 18.156 | (13.844) |
| Utilidad neta del ejercicio | | 847.333 | 763.060 |

BALANCE ACTIVOS Y PASIVOS

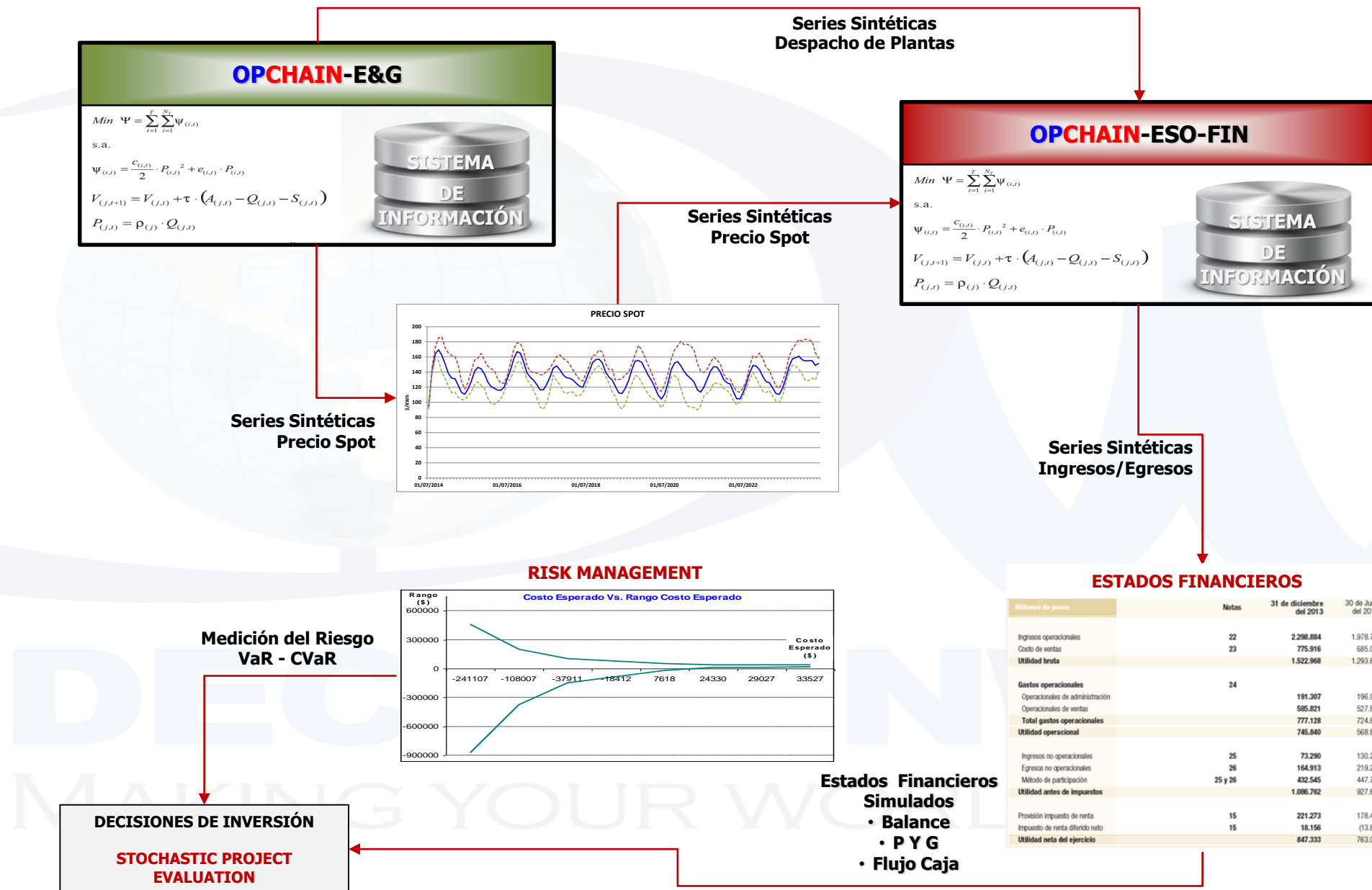
| Miles de pesos | Notas | 31 de diciembre del 2013 | 30 de junio del 2013 |
|---|--------|--------------------------|----------------------|
| ACTIVO | | | |
| CORRIENTE | | | |
| Disponible | 4 | 83.842 | 39.125 |
| Proveedores | 5 | 1.521.034 | 1.361.716 |
| Inventarios | 6 | 195.142 | 165.718 |
| Diferidos | 7 | 394 | 3.245 |
| Total corriente | | 1.802.012 | 1.570.804 |
| NO CORRIENTE | | | |
| Inversiones | 9 | 2.624.979 | 2.274.467 |
| Deudores | 5 | 96.633 | 96.299 |
| Propiedades, planta y equipo | 10 | 1.231.203 | 1.239.207 |
| Intangibles | 11 | 762.878 | 834.320 |
| Diferidos | 7 | 111.018 | 122.118 |
| Otros activos | 8 | 112 | 112 |
| Total no corriente | | 4.826.823 | 4.566.523 |
| Valorizaciones | 8-9-10 | 2.255.098 | 2.267.069 |
| TOTAL DEL ACTIVO | | 8.883.933 | 8.404.396 |
| CUENTAS DE ORDEN | | | |
| | 21 | 10.552.769 | 10.458.230 |
| PASIVO Y PATRIMONIO | | | |
| CORRIENTE | | | |
| Obligaciones financieras | 12 | 232.032 | 1.789 |
| Proveedores | 13 | 277.486 | 203.320 |
| Cuentas por pagar | 14 | 527.056 | 586.997 |
| Impuestos, honorarios y tasas | 15 | 575.193 | 378.501 |
| Obligaciones laborales | 16 | 20.450 | 16.702 |
| Passivos estimados y provisiones | 17 | 82.498 | 116.306 |
| Otros pasivos | | 93.361 | 61.527 |
| TOTAL PASIVO | | 933.361 | 615.27 |
| PASIVO Y PATRIMONIO | | | |
| CORRIENTE | | | |
| Obligaciones financieras | 12 | 232.032 | 1.789 |
| Proveedores | 13 | 277.486 | 203.320 |
| Cuentas por pagar | 14 | 527.056 | 586.997 |
| Impuestos, honorarios y tasas | 15 | 575.193 | 378.501 |
| Obligaciones laborales | 16 | 20.450 | 16.702 |
| Passivos estimados y provisiones | 17 | 82.498 | 116.306 |
| Otros pasivos | | 93.361 | 61.527 |
| TOTAL PASIVO | | 933.361 | 615.27 |
| PATRIMONIO | | | |
| Capital | | | |
| Capital social | 18 | 1.000.000 | 1.000.000 |
| Reserva legal | 19 | 1.000.000 | 1.000.000 |
| Reserva de capital | 20 | 1.000.000 | 1.000.000 |
| Reserva de resultados | 21 | 1.000.000 | 1.000.000 |
| Utilidad neta | 22 | 847.333 | 763.060 |
| TOTAL CAPITAL | | 4.000.000 | 4.000.000 |
| RESERVAS | | | |
| Reserva legal | 19 | 1.000.000 | 1.000.000 |
| Reserva de capital | 20 | 1.000.000 | 1.000.000 |
| Reserva de resultados | 21 | 1.000.000 | 1.000.000 |
| TOTAL RESERVAS | | 3.000.000 | 3.000.000 |
| OTROS PASIVOS | | | |
| Provisiones | 23 | 1.000.000 | 1.000.000 |
| Provisiones para riesgos y responsabilidades | 24 | 1.000.000 | 1.000.000 |
| Provisiones para cambios en el capital de trabajo | 25 | 1.000.000 | 1.000.000 |
| TOTAL OTROS PASIVOS | | 3.000.000 | 3.000.000 |

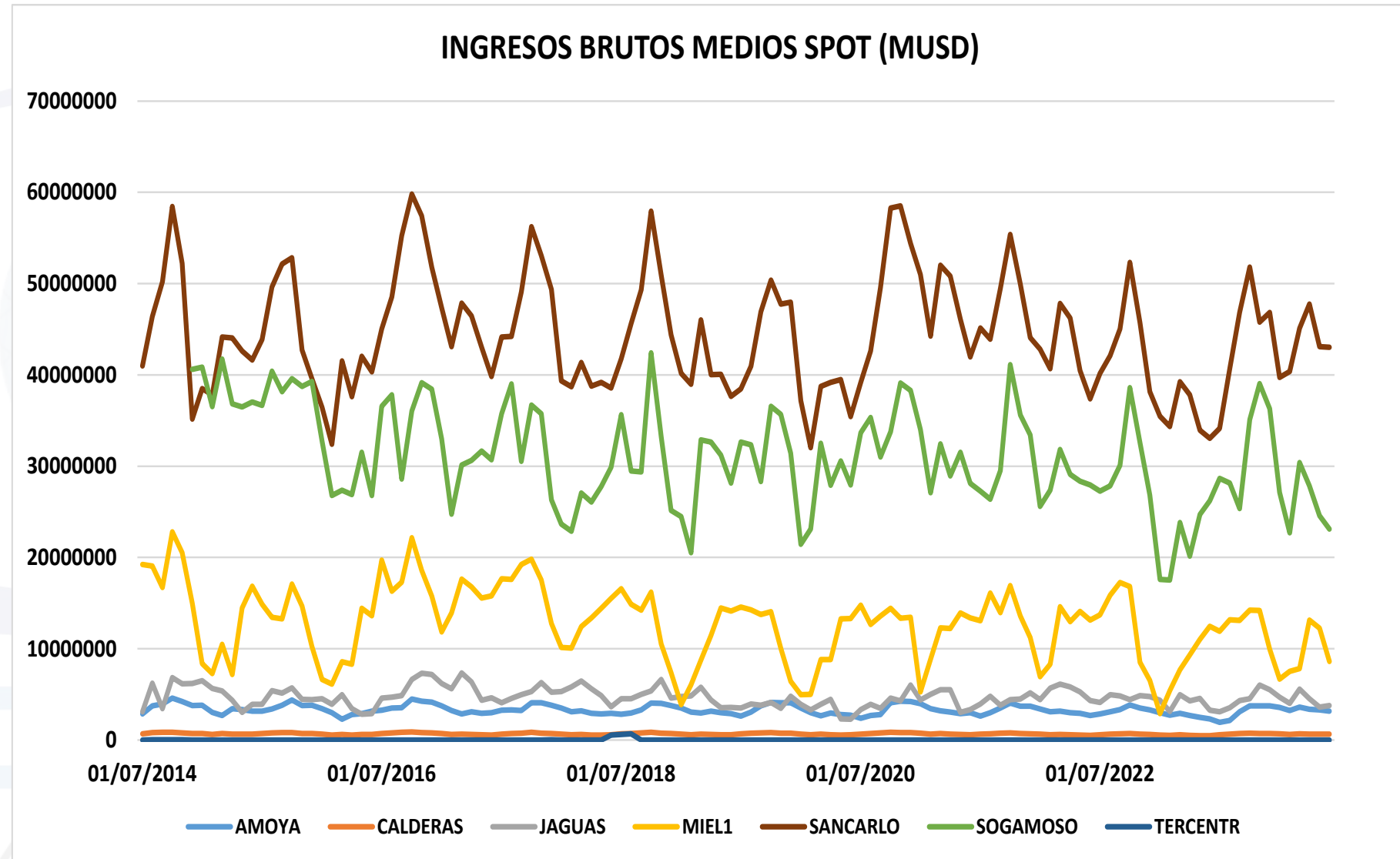
FLUJO DE EFECTIVO

| Miles de pesos | 31 de diciembre del 2013 | 30 de Junio del 2013 |
|---|--------------------------|----------------------|
| Fujo de efectivo originado en actividades de operación | | |
| Utilidad (perdida) neta | 847.332 | 763.060 |
| Ajuste a los resultados: | | |
| Ajuste por diferencia en cambio | (205) | (7.630) |
| Amortizaciones | 117.930 | 94.731 |
| Depreciaciones | 103.058 | 101.446 |
| Effecto de la reajustación método de participación | (432.546) | (447.771) |
| Pensiones de jubilación y contingencias | (13.763) | (13.987) |
| Recuperación pensiones de jubilación y contingencias | (10.597) | - |
| Provisión de activos fijos | 226 | 715 |
| Provisión de inventarios | - | 659 |
| Provisión de deudores | 913 | 900 |
| Otros ajustes de activos no reajustados | (2.816) | (3.969) |
| Ajuste períodos anteriores | 14 | 1.851 |
| Provisión para impuesto sobre la renta | 239.428 | 164.567 |
| Perdida/utilidad en venta de propiedades planta y equipo | 17.929 | (63.475) |
| Utilidad operacional antes de cambios en el capital de trabajo | 869.676 | 597.770 |
| (Aumento) disminución en deudores | | |
| (Aumento) disminución en inventarios | (159.200) | 19.238 |
| (Aumento) disminución en activos fijos | (29.424) | 19.709 |
| DISMINUCIÓN EN ACTIVOS FIJOS | 2.250 | (1.723) |
| (Aumento) disminución en impuestos diferidos | | |
| Aumento (disminución) en proveedores | (10.557) | 35.425 |
| Aumento (disminución) en cuentas por pagar | 74.175 | (37.191) |
| Aumento (disminución) en impuestos, gravámenes y tasas | (68.660) | 76.594 |
| Aumento (disminución) en provisiones fiscales | (24.581) | (246.211) |
| Aumento (disminución) en pasivos estimados y provisiones | 3.148 | (5.131) |
| Aumento (disminución) en pasivos diferidos | (3.880) | 45.131 |
| Aumento (disminución) en pasivos contingentes | 7.503 | 1.510 |
| Aumento (disminución) en pasivos a largo plazo | 31.833 | (6.851) |
| DISMINUCIÓN EN PASIVOS CONTINGENTES | 70.444 | 54.952 |



CONCEPTUALIZACIÓN DEL PROCESO EVALUACIÓN DE PROYECTOS – COORDINADA





| FLUJO DE INGRESOS/EGRESOS OPERACIONALES – MERCADEO LARGO PLAZO (MUSD) | | | | | | | | | | | | | | | | |
|--|-------------------|----------------|-------------|-------------|--------------|------------------|-------------|------------|-----------|-------------|-------------|------------|-----------|-------------|-------------|------|
| AÑO | INGRESOS (VENTAS) | | | | | EGRESOS (COSTOS) | | | | | | | | | | NETO |
| | SPOT | RECONCILIACIÓN | OEFs | LARGO PLAZO | TOTAL | GAS | SPOT | AOM | AGC | F99 | CERE | CONX | ASIC CND | TOTAL | | |
| 01/01/2014 | 72.61 | 0 | 12.46 | 38.82 | 123.89 | 42.83 | 1.17 | 1.15 | 2.52 | 16.25 | 9.91 | 0.18 | 74.02 | 49.88 | | |
| 01/02/2014 | 73.02 | 0 | 12.42 | 38.14 | 123.58 | 47.85 | 1.04 | 1.10 | 2.23 | 14.36 | 9.91 | 0.18 | 76.66 | 46.92 | | |
| 01/03/2014 | 87.44 | 0 | 12.56 | 38.74 | 138.74 | 53.10 | 1.14 | 1.27 | 2.44 | 15.75 | 9.91 | 0.18 | 83.78 | 54.96 | | |
| 01/04/2014 | 91.69 | 0 | 12.54 | 38.44 | 142.67 | 51.48 | 1.22 | 1.34 | 2.62 | 16.88 | 9.91 | 0.18 | 83.63 | 59.04 | | |
| 01/05/2014 | 82.53 | 0 | 12.57 | 49.03 | 144.13 | 59.00 | 1.22 | 1.26 | 2.63 | 16.96 | 9.91 | 0.18 | 91.16 | 52.97 | | |
| 01/06/2014 | 58.80 | 0 | 12.56 | 49.28 | 120.63 | 51.75 | 0.99 | 0.95 | 2.14 | 13.79 | 9.91 | 0.18 | 79.71 | 40.92 | | |
| 01/07/2014 | 66.86 | 0.003 | 12.57 | 49.34 | 128.76 | 4.67 | 52.78 | 1.02 | 0.39 | 14.96 | 14.96 | 9.91 | 0.18 | 98.86 | 29.90 | |
| 01/08/2014 | 76.25 | 0.000 | 12.57 | 49.40 | 138.22 | 62.48 | 1.12 | 0.53 | 16.91 | 16.91 | 9.91 | 0.18 | 108.05 | 30.17 | | |
| 01/09/2014 | 75.13 | 0.005 | 12.57 | 47.85 | 135.55 | 64.96 | 1.22 | 0.62 | 18.57 | 18.57 | 9.91 | 0.18 | 114.02 | 21.53 | | |
| 01/10/2014 | 93.54 | 0.007 | 12.57 | 48.09 | 154.20 | 64.66 | 1.23 | 0.66 | 19.57 | 19.57 | 9.91 | 0.18 | 115.77 | 38.43 | | |
| 01/11/2014 | 83.96 | 0.033 | 12.57 | 47.66 | 144.16 | 60.28 | 1.22 | 0.61 | 19.60 | 19.60 | 9.91 | 0.18 | 111.40 | 32.75 | | |
| 01/12/2014 | 101.40 | 0.009 | 12.38 | 43.67 | 157.45 | 47.64 | 1.56 | 0.63 | 24.99 | 24.99 | 13.00 | 0.23 | 113.03 | 44.42 | | |
| 01/01/2015 | 98.72 | 0.000 | 12.56 | 42.73 | 154.01 | 45.85 | 1.48 | 0.62 | 23.72 | 23.72 | 13.00 | 0.23 | 108.63 | 45.39 | | |
| 01/02/2015 | 90.92 | 0 | 12.56 | 42.25 | 145.72 | 44.80 | 1.48 | 0.61 | 23.65 | 23.65 | 13.00 | 0.23 | 107.41 | 38.31 | | |
| 01/03/2015 | 105.13 | 0 | 12.56 | 42.73 | 160.42 | 46.81 | 1.65 | 0.70 | 26.41 | 26.41 | 13.00 | 0.23 | 115.21 | 45.21 | | |
| . | . | . | . | . | . | . | . | . | . | . | . | . | . | . | . | |
| . | . | . | . | . | . | . | . | . | . | . | . | . | . | . | . | |
| 01/02/2022 | 85.68 | 0 | 29.95 | 0.00 | 115.62 | 0.00 | 1.44 | 0.54 | 23.09 | 23.09 | 0.00 | 0.16 | 48.31 | 67.31 | | |
| 01/03/2022 | 104.16 | 0 | 32.26 | 0.00 | 136.43 | 0.00 | 1.76 | 0.64 | 28.19 | 28.19 | 0.00 | 0.16 | 58.95 | 77.48 | | |
| 01/04/2022 | 97.69 | 0 | 29.62 | 0.00 | 127.31 | 0.00 | 1.84 | 0.63 | 29.42 | 29.42 | 0.00 | 0.16 | 61.47 | 65.85 | | |
| 01/05/2022 | 91.66 | 0 | 31.20 | 0.00 | 122.86 | 0.00 | 1.86 | 0.55 | 29.78 | 29.78 | 0.00 | 0.16 | 62.13 | 60.73 | | |
| 01/06/2022 | 85.97 | 0 | 30.64 | 0.00 | 116.61 | 0.00 | 1.69 | 0.50 | 27.12 | 27.12 | 0.00 | 0.16 | 56.59 | 60.03 | | |
| 01/07/2022 | 88.67 | 0 | 32.19 | 0.00 | 120.85 | 0.00 | 1.80 | 0.59 | 28.89 | 28.89 | 0.00 | 0.16 | 60.33 | 60.52 | | |
| 01/08/2022 | 94.53 | 0 | 32.61 | 0.00 | 127.14 | 0.00 | 1.78 | 0.66 | 28.51 | 28.51 | 0.00 | 0.16 | 59.62 | 67.52 | | |
| 01/09/2022 | 101.25 | 0 | 32.53 | 0.00 | 133.78 | 0.00 | 1.89 | 0.79 | 30.33 | 30.33 | 0.00 | 0.16 | 63.50 | 70.27 | | |
| 01/10/2022 | 116.71 | 0 | 33.47 | 0.00 | 150.19 | 0.00 | 1.90 | 0.81 | 30.38 | 30.38 | 0.00 | 0.16 | 63.63 | 86.56 | | |
| 01/11/2022 | 95.79 | 0 | 32.48 | 0.00 | 128.27 | 0.00 | 1.39 | 0.55 | 22.22 | 22.22 | 0.00 | 0.16 | 46.53 | 81.74 | | |
| 01/12/2022 | 80.22 | 0 | 32.52 | 0.00 | 112.74 | 0.00 | 1.14 | 0.40 | 18.19 | 18.19 | 0.00 | 0.15 | 38.07 | 74.67 | | |
| 01/01/2023 | 63.82 | 0 | 31.53 | 0.00 | 95.34 | 0.00 | 1.15 | 0.35 | 18.40 | 18.40 | 0.00 | 0.15 | 38.45 | 56.89 | | |
| 01/02/2023 | 63.65 | 0 | 30.01 | 0.00 | 93.66 | 0.00 | 1.32 | 0.41 | 21.12 | 21.12 | 0.00 | 0.15 | 44.11 | 49.55 | | |
| 01/03/2023 | 79.20 | 0 | 30.64 | 0.00 | 109.84 | 0.00 | 1.64 | 0.52 | 26.22 | 26.22 | 0.00 | 0.15 | 54.75 | 55.09 | | |
| 01/04/2023 | 74.74 | 0 | 30.19 | 0.00 | 104.93 | 0.00 | 1.73 | 0.47 | 27.72 | 27.72 | 0.00 | 0.15 | 57.79 | 47.14 | | |
| 01/05/2023 | 77.22 | 0 | 31.88 | 0.00 | 109.09 | 0.00 | 1.81 | 0.45 | 28.97 | 28.97 | 0.00 | 0.15 | 60.34 | 48.75 | | |
| 01/06/2023 | 77.76 | 0 | 31.04 | 0.00 | 108.80 | 0.00 | 1.55 | 0.40 | 24.88 | 24.88 | 0.00 | 0.15 | 51.86 | 56.94 | | |
| 01/07/2023 | 80.33 | 0 | 32.26 | 0.00 | 112.58 | 0.00 | 1.58 | 0.49 | 25.35 | 25.35 | 0.00 | 0.15 | 52.93 | 59.65 | | |
| 01/08/2023 | 88.32 | 0 | 33.03 | 0.00 | 121.35 | 0.00 | 1.58 | 0.60 | 25.32 | 25.32 | 0.00 | 0.15 | 52.97 | 68.37 | | |
| 01/09/2023 | 93.42 | 0 | 32.65 | 0.00 | 126.06 | 0.00 | 1.82 | 0.81 | 29.17 | 29.17 | 0.00 | 0.15 | 61.12 | 64.94 | | |
| 01/10/2023 | 110.17 | 0 | 33.34 | 0.00 | 143.50 | 0.00 | 1.70 | 0.77 | 27.18 | 27.18 | 0.00 | 0.15 | 56.99 | 86.51 | | |
| 01/11/2023 | 109.45 | 0 | 32.35 | 0.00 | 141.79 | 0.00 | 1.66 | 0.72 | 26.61 | 26.61 | 0.00 | 0.15 | 55.74 | 86.05 | | |
| 01/12/2023 | 103.02 | 0 | 32.99 | 0.00 | 136.01 | 0.00 | 1.47 | 0.60 | 23.54 | 23.54 | 0.00 | 0.14 | 49.29 | 86.72 | | |
| 01/01/2024 | 82.41 | 0 | 32.06 | 0.00 | 114.48 | 0.00 | 1.23 | 0.48 | 19.74 | 19.74 | 0.00 | 0.14 | 41.33 | 73.14 | | |
| 01/02/2024 | 78.41 | 0 | 28.94 | 0.00 | 107.35 | 0.00 | 1.31 | 0.49 | 21.00 | 21.00 | 0.00 | 0.14 | 43.94 | 63.41 | | |
| 01/03/2024 | 93.17 | 0 | 31.66 | 0.00 | 124.82 | 0.00 | 1.54 | 0.61 | 24.68 | 24.68 | 0.00 | 0.14 | 51.65 | 73.17 | | |
| 01/04/2024 | 97.27 | 0 | 31.38 | 0.00 | 128.65 | 0.00 | 1.70 | 0.65 | 27.23 | 27.23 | 0.00 | 0.14 | 56.94 | 71.71 | | |
| 01/05/2024 | 87.46 | 0 | 32.80 | 0.00 | 120.26 | 0.00 | 1.57 | 0.58 | 25.16 | 25.16 | 0.00 | 0.14 | 52.62 | 67.64 | | |
| 01/06/2024 | 82.29 | 0 | 31.69 | 0.00 | 113.97 | 0.00 | 1.53 | 0.58 | 24.45 | 24.45 | 0.00 | 0.14 | 51.15 | 62.83 | | |
| TOTAL | 11936 | 1.49 | 3298 | 1764 | 16999 | 4.67 | 2005 | 197 | 83 | 3064 | 3144 | 745 | 23 | 9270 | 7729 | |

FIN
Simulación
Financiera

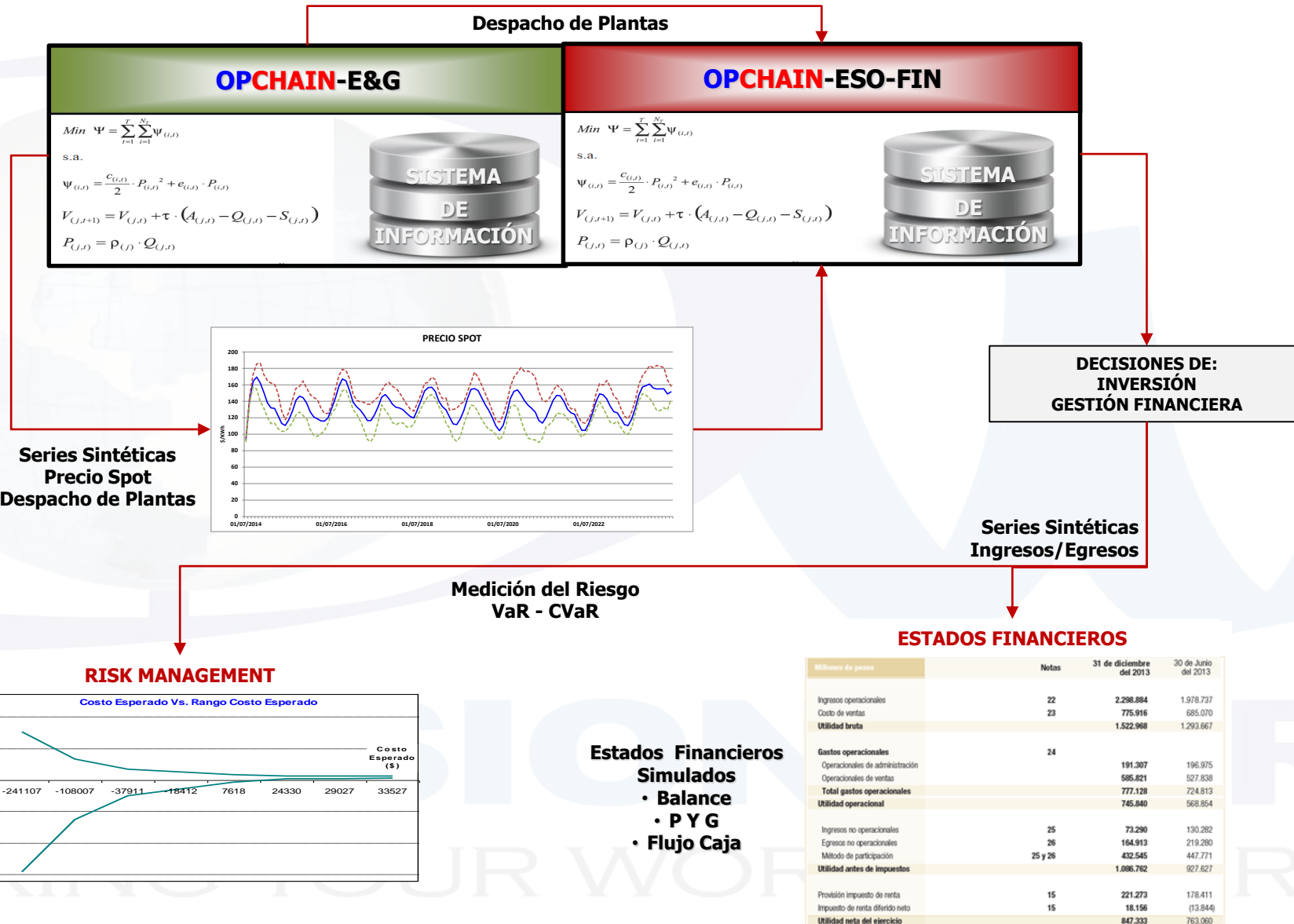
OPTIMIZACIÓN DE DECISIONES FINANCIERAS

Como mejora sustancial al proceso de toma de decisiones, la vinculación del modelo financiero con los modelos de ESO: "Energy Systems Optimization" permite:

- Optimizar:
 - Manejo fiscal (dividendos, repatriaciones de capital, pago/pre-pago de pasivos, ...)
 - Estructura de capital
 - Precios de transferencia
- Realizar:
 - Análisis de riesgos financiero corporativo

de forma tal de obtener decisiones "sólidas" que protejan a la organización ante eventuales eventos inesperados.

CONCEPTUALIZACIÓN DEL PROCESO EVALUACIÓN DE PROYECTOS – INTEGRADA



OPCHAIN-E&G-MAN

OPTIMIZING THE VALUE CHAIN

Electricity & Gas Supply Chain Optimization

MANTENIMIENTO DE ACTIVOS INDUSTRIALES



POLÍTICAS ÓPTIMAS DE MANTENIMIENTO

Objetivos:

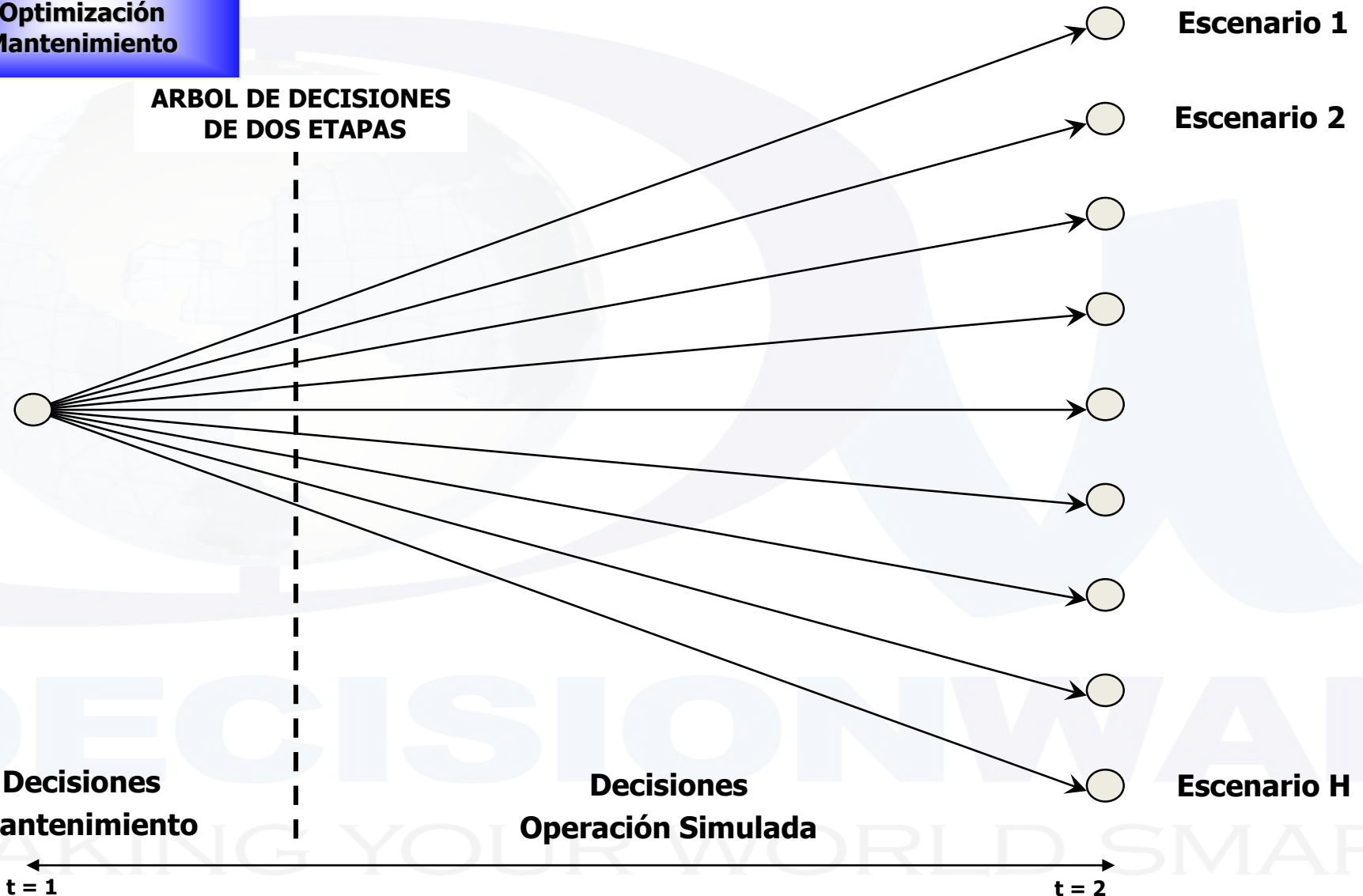
- Optimizar uso de los recursos del mantenimiento
- Minimizar impacto del mantenimiento.
- Decisiones sobre fechas para realización de mantenimientos (meses, semanas, días)
- Minimizar costos.
- Maximizar beneficios económicos

Dimensión de tiempo de Operación:

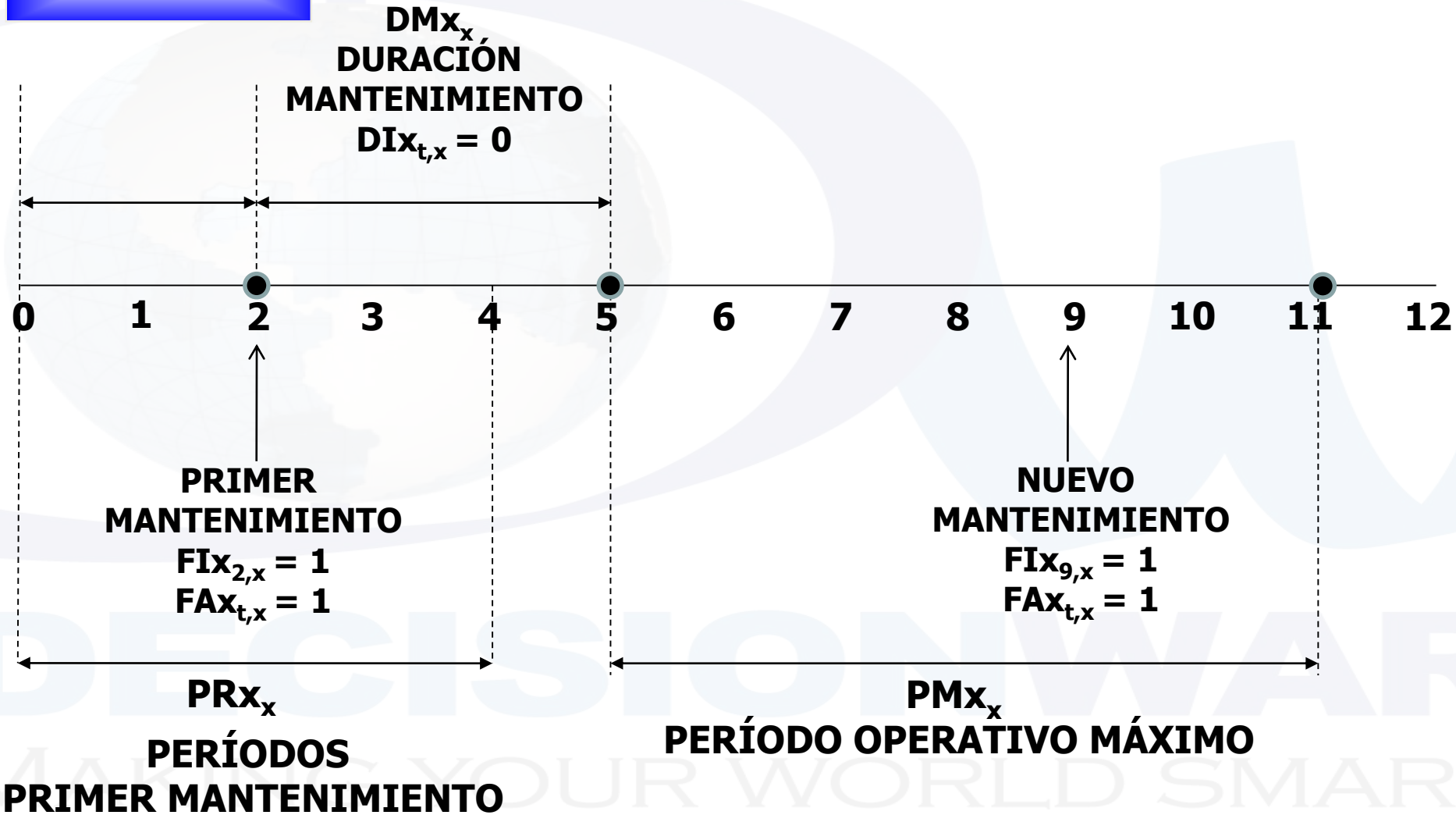
- Tiempo (días)
- Generación (MWh)

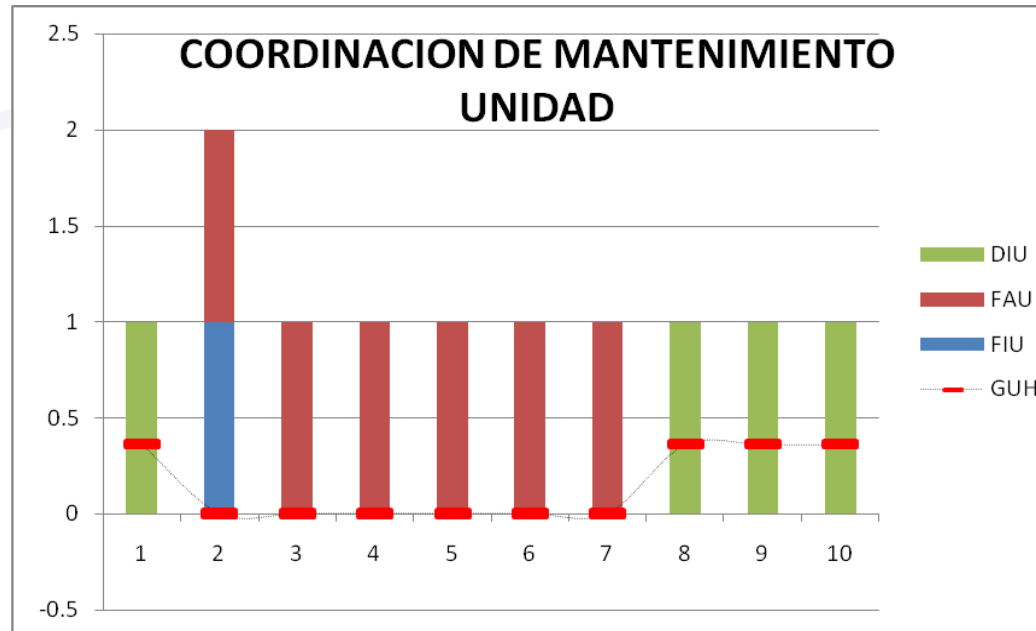
OPT-MAN
Optimización
Mantenimiento

ARBOL DE DECISIONES DE DOS ETAPAS

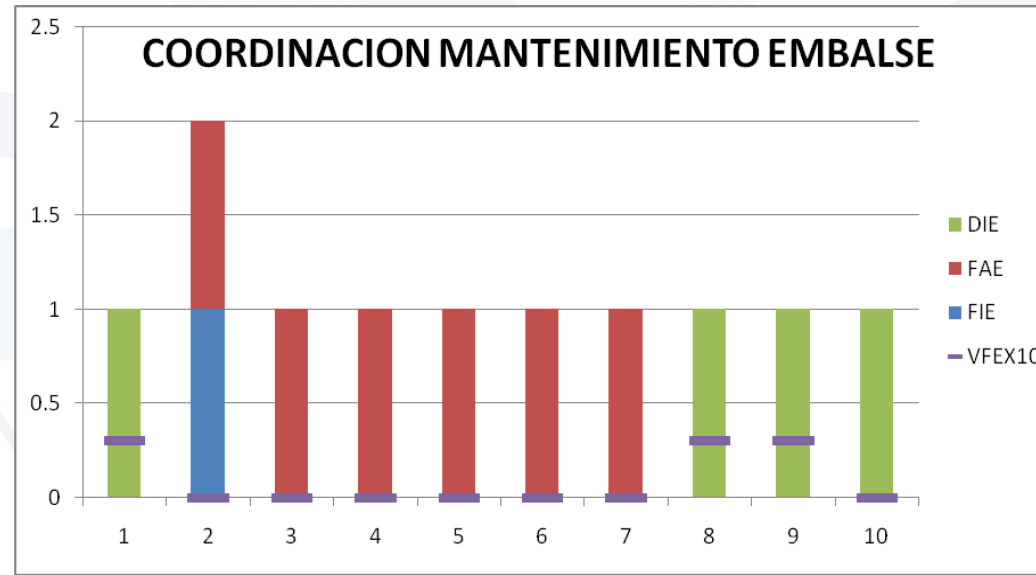


OPT-MAN
Optimización
Mantenimiento





| Déficit Obligación de Energía Firme | | | | |
|-------------------------------------|----------|---------|----------|-----------|
| FECHA | COD_CHI | COD_BCE | VALOR | COSTO_OBJ |
| 02/01/2009 | CESMERAL | B01 | 0 | 13730 |
| 02/02/2009 | CESMERAL | B01 | 0.013409 | 13730 |
| 02/03/2009 | CESMERAL | B01 | 0.013409 | 13730 |
| 02/04/2009 | CESMERAL | B01 | 0.013409 | 13730 |
| 02/05/2009 | CESMERAL | B01 | 0.013409 | 13730 |
| 02/06/2009 | CESMERAL | B01 | 0.013409 | 13730 |
| 02/07/2009 | CESMERAL | B01 | 0.013409 | 13730 |
| 02/08/2009 | CESMERAL | B01 | 0 | 13730 |
| 02/09/2009 | CESMERAL | B01 | 0 | 13730 |
| 02/10/2009 | CESMERAL | B01 | 0 | 13730 |
| 02/01/2009 | INSULA | B01 | 0 | 13730 |
| 02/02/2009 | INSULA | B01 | 0 | 13730 |
| 02/03/2009 | INSULA | B01 | 0 | 13730 |
| 02/04/2009 | INSULA | B01 | 0 | 13730 |
| 02/05/2009 | INSULA | B01 | 0 | 13730 |
| 02/06/2009 | INSULA | B01 | 0 | 13730 |

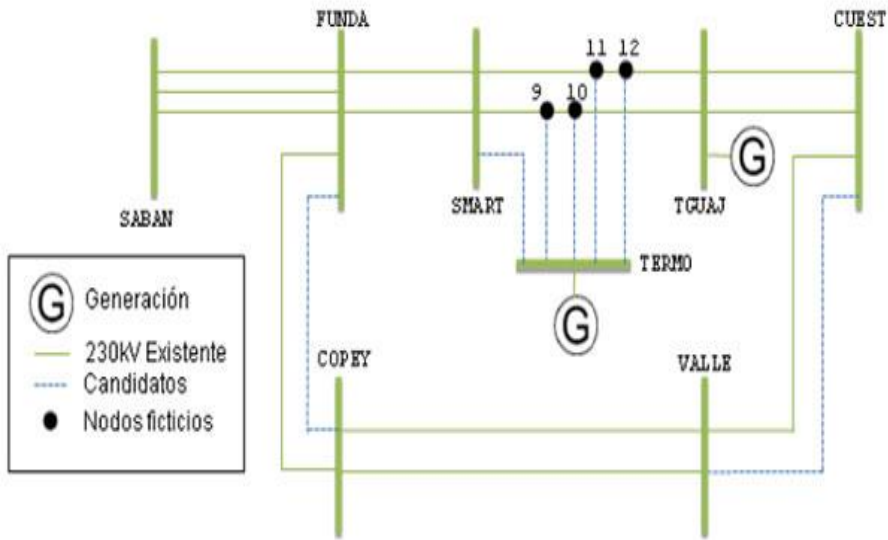


| GENERACIÓN POR PLANTA | | | |
|-----------------------|---------------|-----------|-----------------|
| DIAS | SAN FRANCISCO | ESMERALDA | INSULA |
| 1 | 0.305464 | 0.644679 | 0.262903 |
| 2 | 0.853414 | 0 | 0.262903 |
| 3 | 0.840178 | 0 | 0.262903 |
| 4 | 0.840178 | 0 | 0.262903 |
| 5 | 0.840178 | 0 | 0.262903 |
| 6 | 0.840178 | 0 | 0.262903 |
| 7 | 0.840178 | 0 | 0.262903 |
| 8 | 0.826942 | 0.56158 | 0.262903 |
| 9 | 0.840178 | 0.573014 | 0.262903 |
| 10 | 2.353487 | 0.584448 | 0.262903 |

OPCHAIN-E&G-SCD

OPTIMIZING THE VALUE CHAIN
Electricity & Gas Supply Chain Optimization

DISEÑO DE REDES DE SUMINISTRO DE ENERGIA



EXPANSIÓN INFRAESTRUCTURA INDUSTRIAL

Determinar decisiones óptimas con respecto a las inversiones a realizar en expansión de infraestructura energética

- Diseño óptimo de expansión sobre un sistema de potencia, ubicación, capacidad instalada, cambios de tecnología.
- Modelaje de decisión de expansión teniendo en cuenta inversión de proyectos

DECISIONWARE
MAKING YOUR WORLD SMARTER

PROYECTOS DE INVERSIÓN

- Los proyectos de expansión de infraestructura brindan la posibilidad de aumentar capacidad de la infraestructura ya instalada (por medio de ampliaciones o de modernizaciones de la infraestructura actual) o de crear nueva capacidad por medio de nuevas instalaciones. La ubicación “óptima” de la infraestructura y la asignación de recursos estará relacionada con decisiones orientadas a minimizar costos y/o a maximizar beneficios, con el objetivo global de maximizar la utilidad social por cada peso invertido.
- El modelaje de proyectos de inversión considera los siguientes tipos:
 - Instalación de capacidad adicional
 - Desinstalación de infraestructura
 - Modernización de infraestructura

EXPANSIÓN INFRAESTRUCTURA INDUSTRIAL

- INO_{t,i}** Variable binaria que será igual a **1** si la instalación **i entra** en operación durante el período **t**
- OPE_{t,i}** Variable binaria que será igual a **1** si la instalación **i esta** en operación durante el período **t**
- ACT_{t,i}** Variable que representa el nivel de actividad durante el periodo **t**.
- CAPA_i** Capacidad de operación de la instalación **i**.

$$\sum_{t=1,T} \mathbf{BE}_{t,i} \leq 1$$

$$\mathbf{OPE}_{t,i} = \sum_{q=1,t} \mathbf{INO}_{q,i}$$

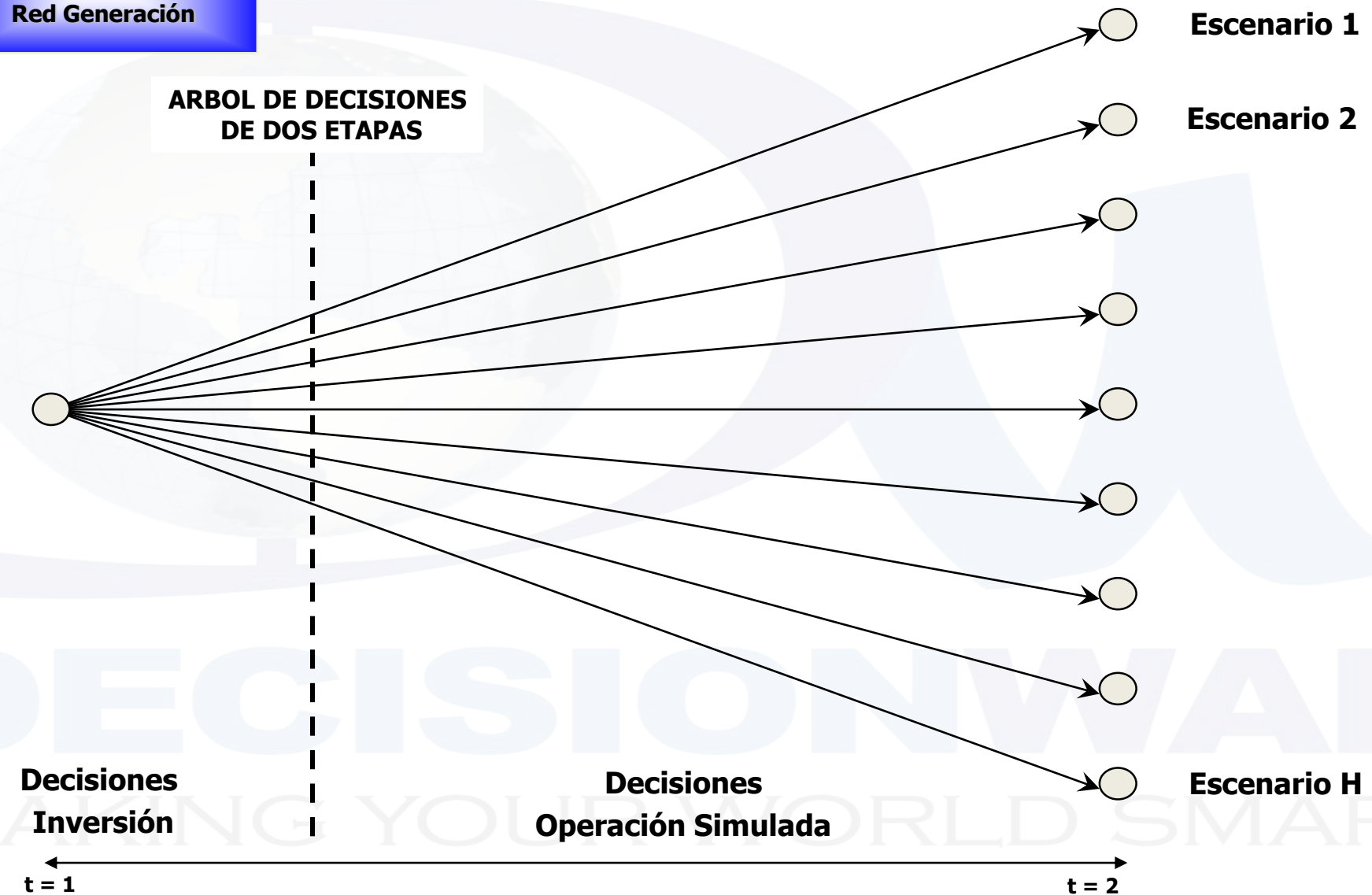
$$\mathbf{ACT}_i \leq \mathbf{CAP}_i \times \mathbf{OPE}_{t,i}$$

Costo de inversión basado en el costo anual equivalentes **CAQ_i** esto es:

$$\sum_{t=1,T} \mathbf{CAQ}_i \times \mathbf{OPE}_{t,i}$$

OPT-PES
Optimización Diseño
Red Generación

EXPANSIÓN INFRAESTRUCTURA INDUSTRIAL

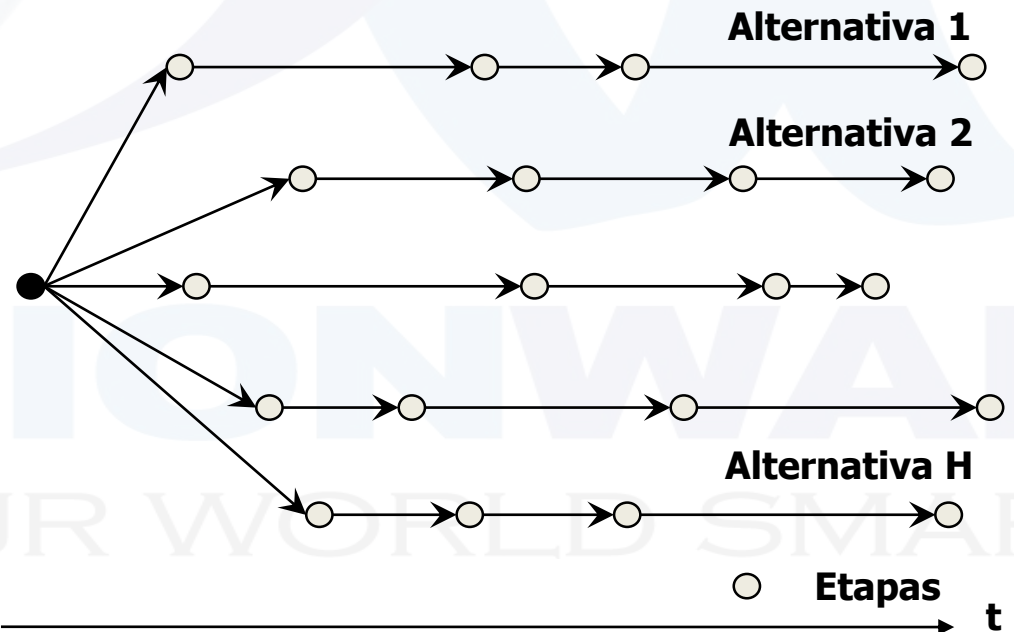


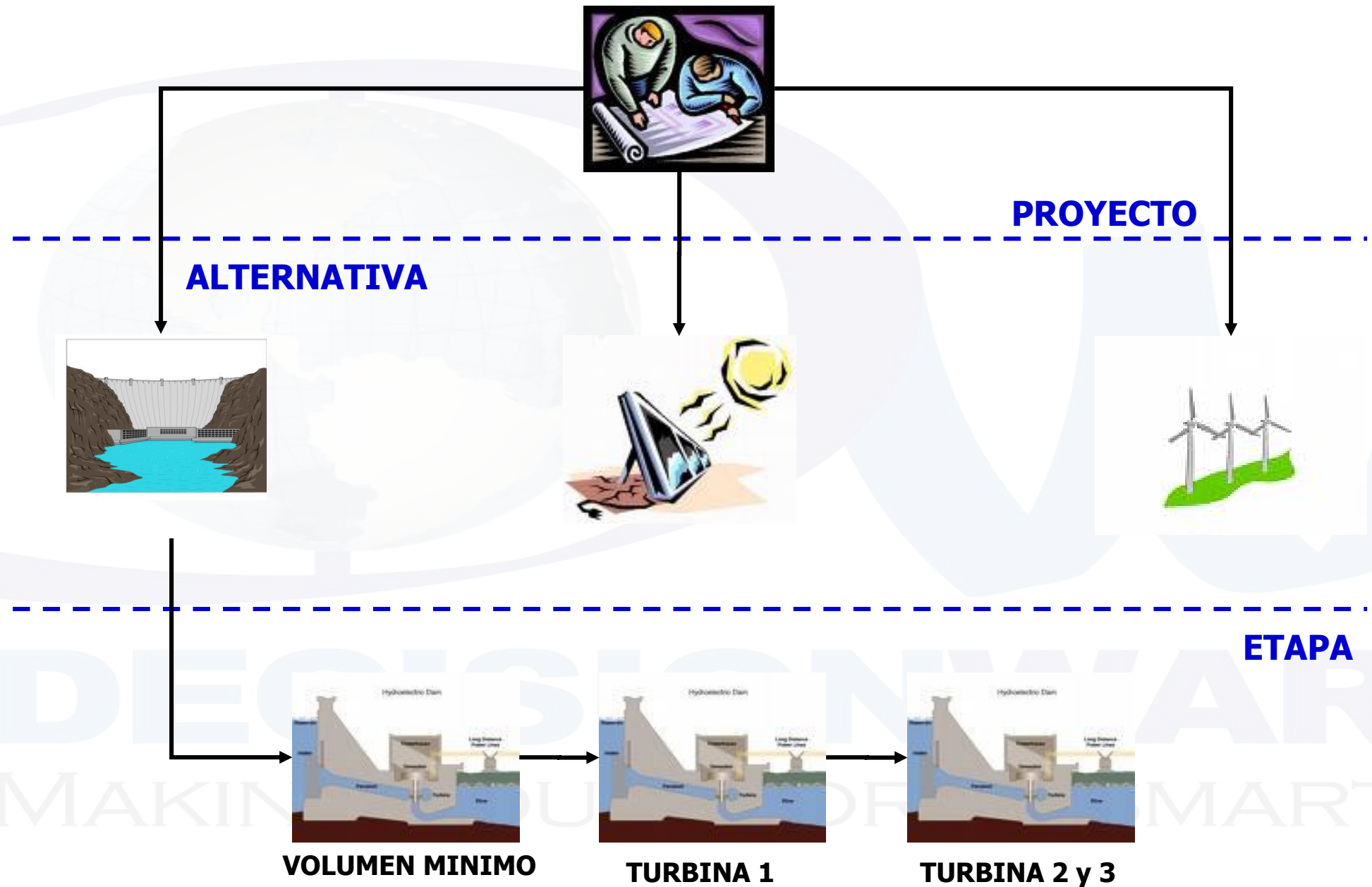
OPT-PES
Optimización Diseño
Red Generación

PROYECTOS

- Suma de Obras de Infraestructura
- Desarrollo por alternativas y etapas

EMBALSES +
PLANTAS HIDRÁULICAS +
CANALES +
PLANTAS TERMICAS +
LINEAS DE TRASMISION +
TRAMOS GASDUCTOS +
YACIMIENTOS





OPCHAIN-E&G

OPTIMIZING THE VALUE CHAIN

Electricity & Gas Supply Chain Optimization

OPTIMIZATION TECHNOLOGIES



OPCHAIN-E&G

IS A COMMERCIAL OPTIMIZATION SOFTWARE DEVELOPED USING OPT Σ X MMS

OPTEX Mathematical Modeling System - Chief Scientist DecisionWare International Corp. (OPTEX MMS 374838-456059)

OPCHAIN-E&G

OPTIMIZING THE VALUE CHAIN

ELECTRICITY & GAS SUPPLY CHAIN OPTIMIZATION



Powered by

Think the mathematical model and  OPT Σ X will make the software for you

Aceptar

Usuario

E&G

Clave

Cambiar Clave

Nueva Clave

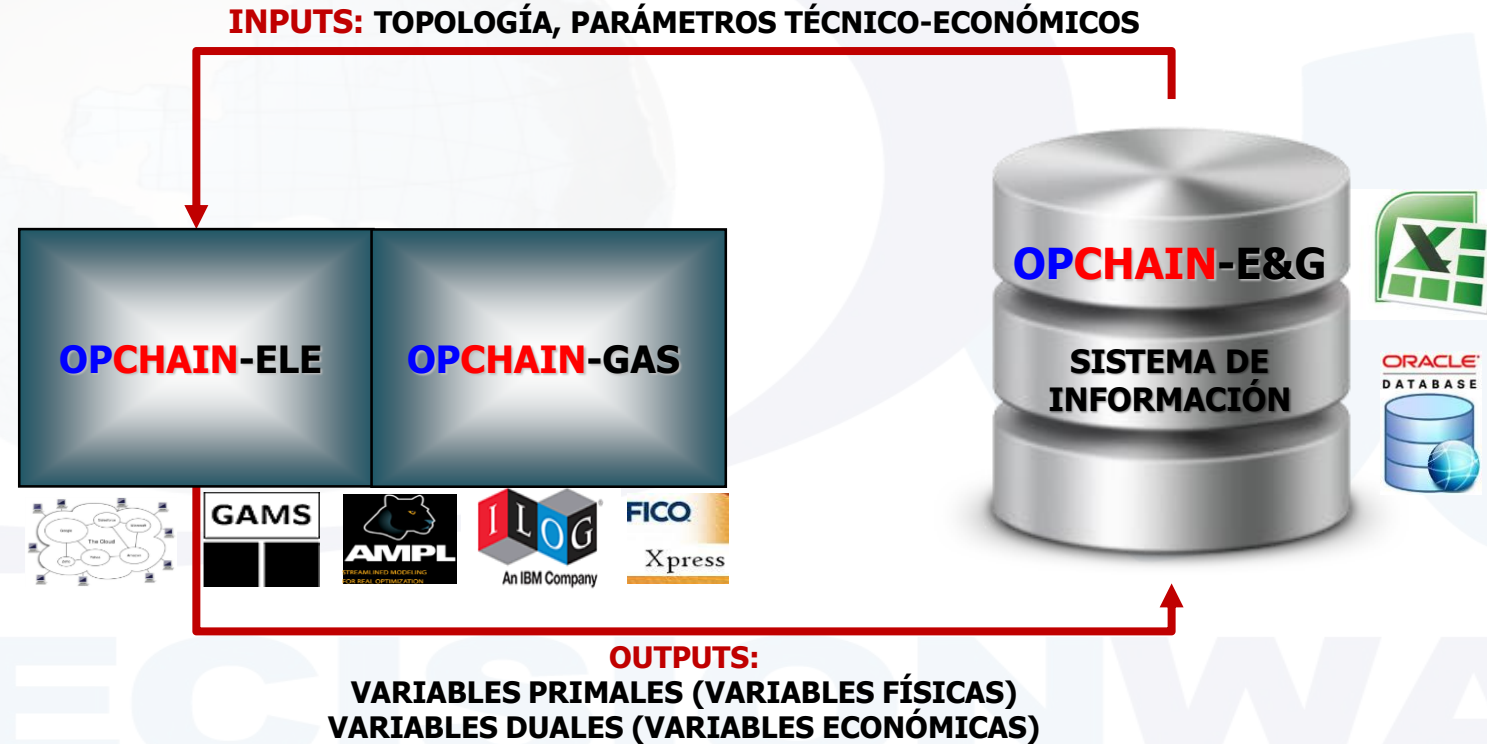
Cancelar

**OPTEX MATHEMATICAL MODELING SYSTEM
IS A COMMERCIAL OPTIMIZATION TECHNOLOGY
PRODUCED BY DO ANALYTICS
(A SPIN OFF COMPANY OF DECISIONWARE)**

OPTEX Mathematical Modeling System - Chief Scientist DecisionWare International Corp. (OPTEX MMS 374838-456059)



OPCHAIN-E&G ARQUITECTURA



MAKING YOUR WORLD SMARTER

IDE gamside: D:\Dropbox\GENEX\COES\SHTGES-EXP\MODPLA\PE\OPTEX_MODPLAN.gpr - [d:\Dropbox\GENEX\COES\SHTGES-EXP\MODPLA\PE\OPTEX_MODPLAN.gms]

File Edit Search Windows Utilities Model Libraries Help

ICDA (a) MS DS

OPTEX_MODPLAN.gms

```

*OPTEX-> Restriccion: Consumo Combustible por Nodo
R_CCNS[t,ns]$( C_TTT(t) and C_NTE(ns) )...
+ SUM([C_BLO[b],C_CTN[ns,g],C_CBT[g,k]],P_IPCA[k] * V_CCO[t,b,g,k]$(C_TTT(t) and C_BLO(b) and C_TMCR(g) and C_CBT(g,k))) )
- SUM([C_DGT[sd]],V_VCL[t,ns,sd]$(C_TTT(t) and C_NTD(ns) and C_DTN(ns,sd))) ) =l= 0 ;

*OPTEX-> Restriccion: Conservación Materia Entrada Central Hidráulica con Pondaje
R_CCP[t,p]$( C_TTT(t) and C_HCP(p) )...
+ SUM([C_BLO[b]],V_ATU[t,p,b]$(C_TTT(t) and C_HID(p) and C_BLO(b)))
+ SUM([C_BLO[b]],V_VCE[t,p,b]$(C_TTT(t) and C_HID(p) and C_BLO(b)))
- SUM([C_BLO[b],C_CAC[p,c]],P_ECCC[p,c] * V_HCC[t,c,p,b]$(C_TTT(t) and C_CAC(p,c) and C_HID(p) and C_BLO(b)))
- SUM([C_EVC[p,m]],P_ECVE[m] * V_VEE[t,m]$(C_TTT(t) and C_EMB(m)))
- SUM([C_BLO[b],C_KAC[p,cb]],P_ECKC[cb,p] * V_HKC[t,cb,p,b]$(C_TTT(t) and C_KAN(cb) and C_AKC(cb,p) and C_BLO(b)))
- SUM([C_BLO[b],C_EAC[p,m]],P_ECEC[m,p] * V_HEC[t,p,m,b]$(C_TTT(t) and C_HID(p) and C_EAC(p,m) and C_BLO(b))) ) =e= P_HAT[t,p]

*OPTEX-> Restriccion: Conservación Materia Salida Central Hidráulica
R_CGS[t,p,b]$( C_TTT(t) and C_CEC(p) and C_BLO(b) )...
+ SUM([C_EBC[p,m]],V_HCE[t,p,m,b]$(C_TTT(t) and C_HID(p) and C_EBC(p,m) and C_BLO(b)))
+ SUM([C_CBC[p,c]],V_HCC[t,p,c,b]$(C_TTT(t) and C_HID(p) and C_CBC(p,c) and C_BLO(b)))
+ SUM([C_CAK[p,cb]],V_HCK[t,p,cb,b]$(C_TTT(t) and C_HID(p) and C_CAK(p,cb) and C_BLO(b)))
- V_ATU[t,p,b]$(C_TTT(t) and C_HID(p) and C_BLO(b)) ) =e= 0 ;

*OPTEX-> Restriccion: Continuidad Energía Barras - 1ra Ley Kirchhoff perdidas Direccionaladas
R_CNDF[t,z,b]$( C_TTT(t) and C_BAR(z) and C_BLO(b) )...
+ SUM([C_TBA[z,g]],V_GTE[t,g,b]$(C_TTT(t) and C_TER(g) and C_BLO(b)))
+ SUM([C_HBA[z,p]],V_GHI[t,p,b]$(C_TTT(t) and C_HID(p) and C_BLO(b)))
+ SUM([C_CBB[z,f]],V_TCC[t,b,f]$(C_TTT(t) and C_BLO(b) and C_CIR(f)))
- SUM([C_CB2[z,f]],V_TCC[t,b,f]$(C_TTT(t) and C_BLO(b) and C_CIR(f)))
- V_ENR[t,z,b]$(C_TTT(t) and C_BAD(z) and C_BLO(b))
- SUM([C_CB2[z,f]],V_PED[t,b,f]$(C_TTT(t) and C_BLO(b) and C_CIR(f)))
- V_EIC[t,b,z]$(C_TTT(t) and C_BLO(b) and C_BIC(z))
+ V_IIC[t,b,z]$(C_TTT(t) and C_BLO(b) and C_BIC(z)) ) =e= 0 ;

```

**OPCHAIN-E&G
GAMS PROGRAM
GENERATED BY OPTEX**

IDE Gamside: C:\GENEX\SHTG\SHTGES\GDDP-C\CO\OPTEX_GDDPUNI.GPR - [c:\GENEX\SHTG\SHTGES\GDDP-C\CO\OPTEX_GDDPUNI.gms]

File Edit Search Windows Utilities Model Libraries Help

RSPH_ (a) MIS

OPTEX_GDDPUNI.gms

```

* OPTEX-> File creation date: 02/10/2017 - 10:59:05-->
* GAMS Program Code generated by OPTEX Mathematical Modeling System copyright DO ANALYTICS LLC.
* This code can be legally used only with write or digital license of DO ANALYTICS LLC.
* User License ID: Chief Scientist DecisionWare International Corp. (OPTEX MMS 374838-456059)

* OPTEX-> Modelo: GDDPUNI - GDDP - Nodo Unico - Deterministico

* OPTEX-> Problema(s):
*   Problema: BENUNICO Despacho Ideal Nodo Unico - Coordinador Benders
*   Problema: BENUNISP Despacho Ideal Nodo Unico - SubProblema Benders

*Tipo Modelo: Normal

$title OPTEX - Modelo: GDDPUNI GDDP - Nodo Unico - Deterministico
*OPTEX-> Include MOD ##INIT##

*OPTEX-> Include PRO BENUNICO ##INIT##
*OPTEX-> Include PRO BENUNISP ##INIT##

$onempty
*OPTEX-> Maestros Indices

SET t(*) Tiempo
/
$include I_t.opt
/;
* SET C__TTT(t) Periodos Modelo

SET r TTT/t1 Periodos Modelo
  
```

OPCHAIN-E&G
GAMS PROGRAM
GENERATED BY OPTEX

USING
G-SDDP
GENERALIZED STOCHASTIC DUAL
DYNAMIC PROGRAMMING

1: 1 Insert

ILOG OPL Development Studio IDE

Archivo Editar Navegar Ejecutar Ventana Ayuda

Proyectos OPL Depurar

Vehicle Routing Problem (Vehicle Routing Problem)

- Configuraciones de ejecución
- Vehicle Routing Problem.mod
- Vehicle Routing Problem OPTEX.mod
- Vehicle Routing Problem.ops
- Vehicle Routing Problem.dat
- VRP.mdb

*Vehicle Routing Problem Vehicle Routing Problem. Vehicle Routing Problem. Vehicle Routing Problem.

```

1 // OPTEX-> Fecha de creacion del archivo: 29/01/2009 - 06:13:17
2
3 // Programa IBM ILOG OPL generado por OPTEX Mathematical Modeling System propiedad
4 // Solo puede ser utilizado legalmente bajo licenciamiento escrito de DecisionWare
5
6
7
8 // OPTEX-> Modelo
9 //     Modelo: VRP Ruteo Vehiculos (VRP)
10 // OPTEX-> Problema
11 //     Problema: VRP Ruteo Vehiculos (VRP)
12
13
14 // OPTEX-> Conjuntos Maestros
15(string) master_v = ...; // Vehiculo
16(string) master_c = ...; // Destino (c)
17(string) master_k = ...; // Destino (k)
18(string) master_z = ...; // Zonas
19
20 // OPTEX-> Conjuntos
21 // v -> VAZ() - Vehiculos Asignados Zona
22 tuple Iset_VAZ { string v; } ;
23(Iset_VAZ) IIset_VAZ = ...;
24(string) set_VAZ = { v | <v> in IIset_VAZ } ;
25
26 // c -> CLD() - Nodos ( Clientes + Origen)
27 tuple Iset_CLD { string c; } ;
28(Iset_CLD) IIset_CLD = ...;
29(string) set_CLD = { c | <c> in IIset_CLD } ;
30
31 // k -> KCD(c) - Cliente c <-> Cliente + Origen
32 tuple Iset_KCD { string c; string k; } ;
33(Iset_KCD) IIset_KCD = ...
  
```

Examinador d (x= Variables) Puntos de int

| Nombre | Valor |
|-------------------------|-------|
| Datos | |
| Variables de decisión | |
| Expresiones de decisión | |
| Restricciones | |
| Postprocesando datos | |

| Propiedades | Valor |
|-------------|-------|
|-------------|-------|

Problemas Registro de guiones Soluciones Conflictos Relajaciones Registro del motor Estadísticas Perfilador

0 errores, 0 avisos, 0 informaciones

Descripción Recurso Vía de acceso Ubicación

Esquema usando CPLEX

- Datos (58)
 - <> Dpar_CUVE
 - <> Dpar_DIST
 - <> IIpar_CUVE
 - <> IIpar_DIST
 - <> IIset_AZD
 - <> IIset_AZK
 - <> IIset_AZW
 - <> IIset_CKL
 - <> IIset_CLD
 - <> IIset_CLI
 - <> IIset.DAO
 - <> IIset_DAZ
 - <> IIset_DEK
 - <> IIset_DEO
 - <> IIset_DKO
 - <> IIset_KAZ
 - <> IIset_KCD
 - <> IIset_KCL
 - <> IIset_KDE
 - <> IIset_KLD
 - <> IIset_KLI
 - <> IIset_NOK
 - <> IIset_NOR
 - <> IIset_VAZ
 - <> IIset_VCL
 - <> IIset_VDE
 - <> IIset_VEH
 - <> IIset_ZAG
 - (a) master_c
 - (a) master_k

OPCHAIN-E&G
IBM ILOG OPL PROGRAM
GENERATED BY OPTEX

Dev-C++ 4.9.9.2

Archivo Edición Buscar Ver Proyecto Ejecutar Depurar Herramientas CVS Ventana Ayuda

Nuevo ... Insertar ... Añadir/Quitar Ir a

Proyecto Clases Depurar

[*] OPTEX_Model_MODSEIAOP_Main.c

```
1 // OPTEX-> Fecha de creacion del archivo: 09/10/2008 - 08:52:06
2
3 // Programa generado por OPTEX Mathematical Modeling System propiedad de DecisionWare Ltda,
4 // Solo puede ser utilizado legalmente bajo licenciamiento por escrito de DecisionWare Ltda.
5
6 //OPTEX-> Modulo
7 // Modelos: MODSEIAOP MODSEI Areas Operativas
8 // Problema: MODSEIAOP MODSEI Areas Operativas
9
10 //OPTEX - Includes
11 #include <stdio.h>
12 #include <stdlib.h>
13 #include <time.h>
14 #include <string.h>
15 #include "glpk.h"
16 #include "lp_lib.h"
17 #include "CoinMP.h"
18 #include <cctype.h>
19 #include <ilcplex/cplex.h>
20 //#include "xprs.h"
21 //#include "symphony.h"
22
23 CPXENVptr env;
24 int status;
25
26 int MaxRegs=80000, nStacks=100;
27 int onCOIN=0, onCPLEX=0, onXPRESS=0, onGLPK=0;
28 int nInd_t;
29
30 char *itoa0(int iMes);
31 struct tm tmFecha(char *sFecha);
32 int FXP_DiasPeriodo(char *FechaFin,char *FechaIni);
33 int TimeProcess(time_t tIni);
34 time_t tIni;
35 char *Netime_t tIni(char *Fecha);
```

OPCHAIN-E&G
C PROGRAM
GENERATED BY OPTEX

Compilador Recursos Resultado de la compilación Depurar Ver Resultados

35:9 Modificac Insertar Líneas del Archivo: 8990

Inicio Bandeja de e... Microsoft Po... Panel de control MODSEI - Me... OPTEX-MODS... A Dev-C++ EN Ve 21:03

EYG - Menú Administrador OPCCHAIN E&G - [OPTEX_GUI - Menu Explorer]



Sistema Información COES-SINAC

- Sistema Hidráulico
 - Cuenca/Cadenas
 - Embalses
 - Centrales Hidráulicas
 - Punto Conexión
 - Ríos
 - Demandas Externas
 - Trayectorias
 - Convex Hull Hidro-Generación
 - Conectividad Hidráulica
- Sistema Electrico
 - Paises / Regiones
- Sistema Gas
 - Nodos Gas
 - Demandas > Nodo Gas
 - Tipo Gas Natural
 - Combustibles Ubicados
 - Centrales Térmicas & RER
 - Sectores Demanda Gas
 - Rutas Gas
 - Tramo Gasoducto Real
 - Tramos Direccional Gasoducto
 - Tipo Nodo Gas
 - Tipo Vehículo
 - Tramos Déficit Gas
- Elementos Matematicos
- Series Datos Temporales
- Demanda Electricidad
- Dimensiones Incertidumbres

Sistema Hidráulico Sistema Electrico Sistema Gas Elementos Matematicos Series Datos Temporales Demanda Electricidad Dimensiones Incertidumbres Datos Generales

Tablas Maestras Tablas Secundarias Menu Visualizacion Maestras

OPCHAIN-E&G

SISTEMA DE INFORMACIÓN RELACIONAL

MODSEI - Menú Administrador MODSEI - [GENEX - Menu Explorer]

Archivo Ver Herramientas Ventana Ayuda



- Administrador GENEX - MODSEI
- SIMM - Modelos Matemáticos
- MODSEI-**información Permanente**
 - Sistema Hidroelectrico
 - Embalses
 - Centrales Hidráulicas
 - Ríos
 - Hidrologías
 - Cadena Hidráulica
 - Mínimos Operativos Superior
 - Sistema Térmico
 - Plantas Térmicas
 - Combustibles Ubicados
 - Tipo de Combustibles
 - Menú Sistema Series de Tiempo
 - Sistema Series de Tiempo
 - Maestro Entidades -Series de
 - Maestro Variables -Series de
 - Sistema Interconexión
 - Areas Operativas
 - Circuitos Sistema Interconexi
 - Barras Sistema Interconexion
 - Circuitos Sistema Interconexi
 - Líneas Inteconexion Areas C
 - Grupos Generación Segurida
 - Sistema Demanda
 - Nodos Consumidores

| OPCION | ELEMENTO | TIPO | KEY | CODIGO |
|------------------------|----------|------|-----|----------|
| Area Operativa de Gas | Window | S | 1 | S:AROPGA |
| Tramo de Gasoducto | Window | S | 2 | S:TRGASD |
| Yacimiento de Gas | Window | S | 3 | S:YACIMI |
| Nodos Consumidores Gas | Window | S | 4 | S:NODCSG |
| Demanda Mensual Gas | Window | S | 5 | S:DEMGAS |


OPCHAIN-E&G
SISTEMA DE INFORMACIÓN RELACIONAL

MODSEI - Embalses

Archivo Edición Ver Análisis Ventana Ayuda

|-|<|>|<<|>>|<<<|>>>|<<<<|>>>>|<<<<<|>>>>>|?|

EMBALSES

| Código | Descripción | Cade |
|--------------|--------------|------|
| GUAVIO | Guavio | |
| HIDRONAN | Hidronacion | |
| MIEL1 | Miel | |
| MIRAFLOR | Miraflores | |
| MUNA | Muña | |
| NEUSA | Neusa | |
| PAUTE | Paute - EC | |
| PENOL | Penol | |
| PLAYAS | Playas | |
| PORCE | Porce | |
| PORCE3 | Porce 3 | |
| PRADO | Prado | |

EMBALSE -> C. HIDRÁULICAS

| C. Hidráulica | Embalse |
|---------------|---------|
| PFORCE2 | PFORCE |

**EMBALSE
->
CENTRAL
HIDRÁULICA**

CAPACIDAD DE EMBALSES

| Embalse | Fecha | CAI |
|---------|------------|------|
| PFORCE | 01/02/2008 | 96.2 |

**EMBALSE
CAPACIDAD
EMBALSE**

EMBALSE EXPANSIÓN

| Embalse | Fecha | Volumen Util Mm ³ | Esc. Expansión |
|---------|------------|------------------------------|----------------|
| PFORCE | 01/01/2001 | 183.00 | |

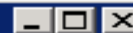
CADENA HIDRÁULICA

| Código | Descripción | Diagrama |
|--------|-------------|----------|
| | | |

C. HIDRÁULICA -> EMBALSES

| Embalse | C. Hidráulica |
|---------|---------------|
| PFORCE | RIOGRAN1 |
| PFORCE | TASAJERA |

**CENTRAL
HIDRÁULICA
->
EMBALSE**

OPTEX - Mathematical Modeling System


Control Input | Librerías | Optimización | Escenarios | General | Modelo | Problemas | Topología | Parámetros | Matrix | Restricciones | Variables | Resultados | Gráficas | Tablas | Reportes

Explorar Resultados



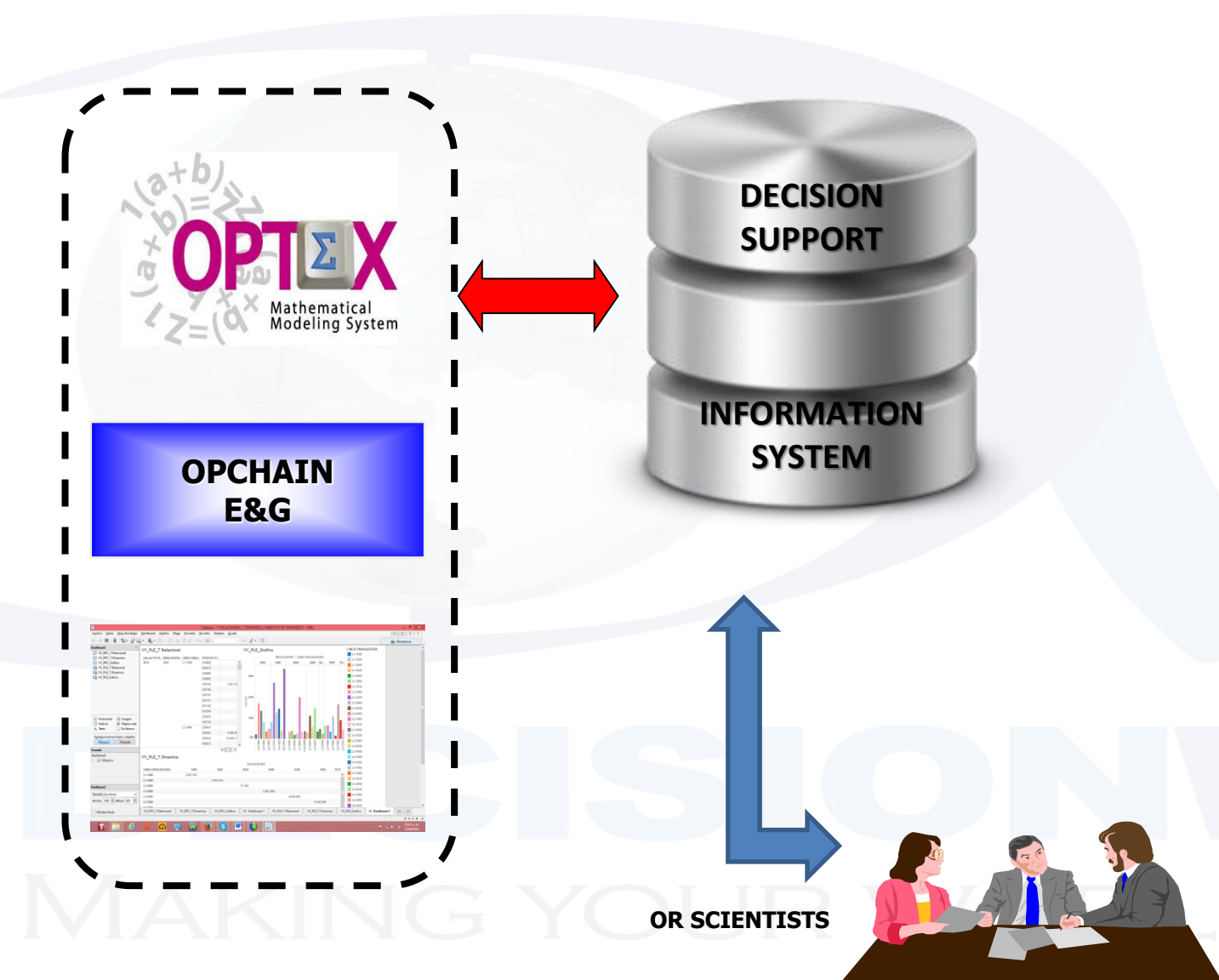
Cancelar

Ver Tablas

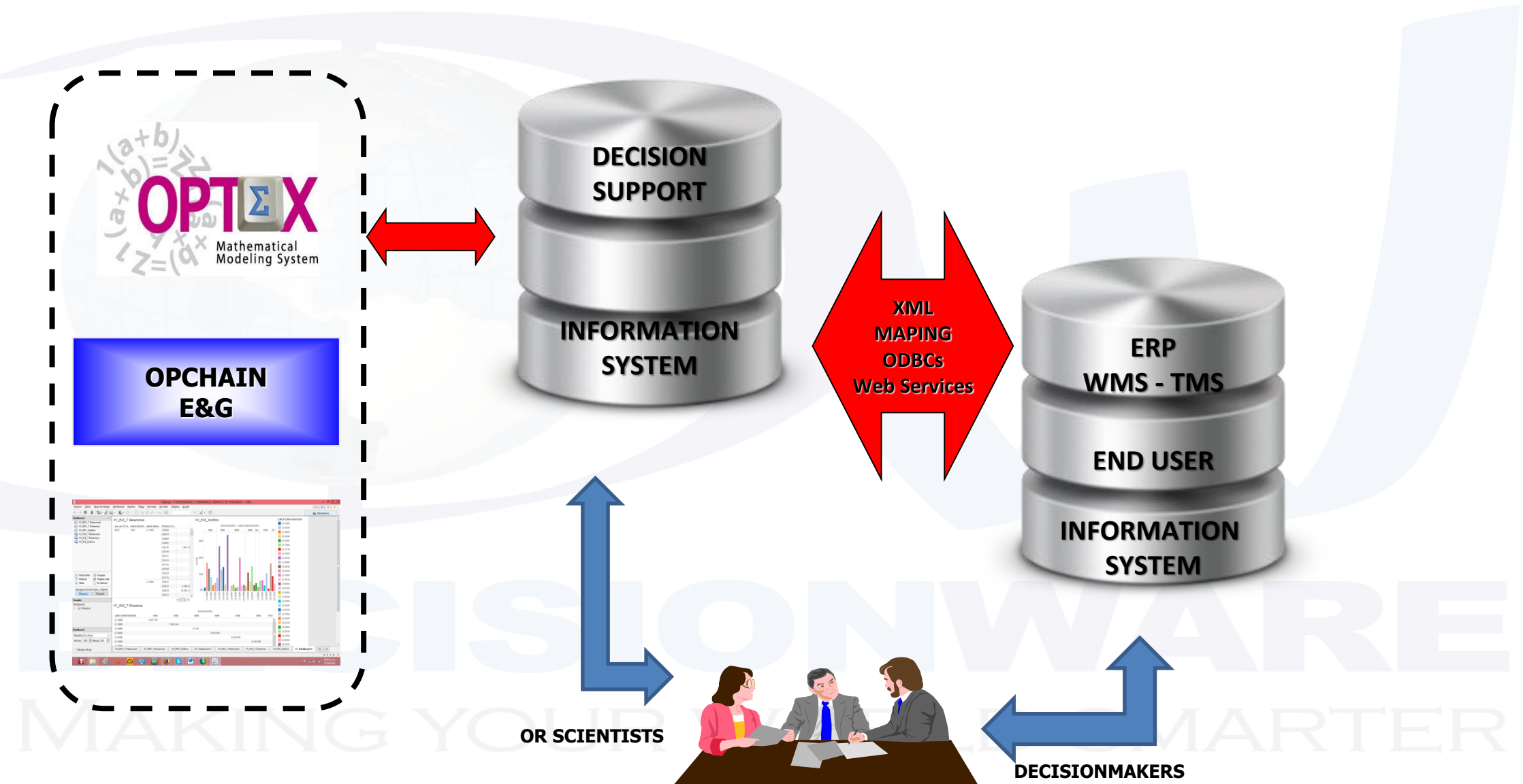
- WV_HEC | Agua Embalse -> C. Hidráulica
- WV_HEE | Agua Embalse (m) -> Embalse (n)
- WV_HEK | Agua Embalse -> Canal Bocatoma
- WV_HKC | Agua Canal Bocatoma -> C. Hidráulica
- WV_HKE | Agua Canal Bocatoma -> Embalse
- WV_PYA | Producción Yacimiento Nodo
- WV_SQE | Agua Saliendo Embalse
- WV_TVTC | Volumen Transportado al Cliente (total m³)
- WV_VAT | Volumen Reservas
- WV_VCE | Vertimiento Central Hidráulica
- WV_VDG | Volumen Sistema de Ductos Tipo Gas
- WV_VEE | Vertimiento Embalse
- WV_VFE | Volumen Final Embalse
- WV_VRU | Volumen de Producto en la Ruta
- WV_VSD | Transporte Sistema Ductos
- WV_VTA | Volumen Tipo Gas Almacenado
- WV_VTC | Volumen Transportado al Cliente**
- RR_CCP | Conservación Materia Entrada Central Hidráulica
- RR_CGS | Conservación Materia Salida Central Hidráulica
- RR_COE | Conservación Materia Embalses
- RR_CSP | Conservación Materia Entrada Central Hidráulica
- RR_CTOP | Consumo Combustible Térmica "Take or Pay"
- RR_DUN | Demanda Electricidad Sistema Interconectado
- RR_EQE | Entrada Agua Embalses

| FECHA | COD_CBT | COD_NOD | COD_DGS | COD_EPR | COD_EDM | COD_E... | VALOR |
|------------|----------|----------|---------|---------|---------|----------|------------|
| 01/01/2011 | GBALLENA | ANTIOQUI | DGCOM | DOE | UPMEA | 1980 | 32.5325000 |
| 01/01/2011 | GBALLENA | ANTIOQUI | DGDOM | DOE | UPMEA | 1980 | 292.792500 |
| 01/01/2011 | GBALLENA | ANTIOQUI | DGIND | DOE | UPMEA | 1980 | 585.585000 |
| 01/01/2011 | GBALLENA | ANTIOQUI | DGTER | DOE | UPMEA | 1980 | 0.00000000 |
| 01/01/2011 | GBALLENA | ANTIOQUI | DGVEH | DOE | UPMEA | 1980 | 175.748965 |
| 01/01/2011 | GBALLENA | ATLANTIC | DGCOM | DOE | UPMEA | 1980 | 55.0550000 |
| 01/01/2011 | GBALLENA | ATLANTIC | DGDOM | DOE | UPMEA | 1980 | 377.877500 |
| 01/01/2011 | GBALLENA | ATLANTIC | DGIND | DOE | UPMEA | 1980 | 1326.32500 |
| 01/01/2011 | GBALLENA | ATLANTIC | DGTER | DOE | UPMEA | 1980 | 7668.02300 |
| 01/01/2011 | GBALLENA | ATLANTIC | DGVEH | DOE | UPMEA | 1980 | 335.335000 |
| 01/01/2011 | GBALLENA | BOLIVAR | DGCOM | DOE | UPMEA | 1980 | 30.0300000 |
| 01/01/2011 | GBALLENA | BOLIVAR | DGDOM | DOE | UPMEA | 1980 | 197.697500 |
| 01/01/2011 | GBALLENA | BOLIVAR | DGIND | DOE | UPMEA | 1980 | 1078.57750 |
| 01/01/2011 | GBALLENA | BOLIVAR | DGPTR | DOE | UPMEA | 1980 | 270.270000 |
| 01/01/2011 | GBALLENA | BOLIVAR | DGREF | DOE | UPMEA | 1980 | 1679.17750 |
| 01/01/2011 | GBALLENA | BOLIVAR | DGTER | DOE | UPMEA | 1980 | 49.7891990 |
| 01/01/2011 | GBALLENA | BOLIVAR | DGVEH | DOE | UPMEA | 1980 | 152.652500 |
| 01/01/2011 | GBALLENA | COQUA | DGCOM | DOE | UPMEA | 1980 | 0.00000000 |
| 01/01/2011 | GBALLENA | COQUA | DGDOM | DOE | UPMEA | 1980 | 0.00000000 |
| 01/01/2011 | GBALLENA | COQUA | DGIND | DOE | UPMEA | 1980 | 0.00000000 |
| 01/01/2011 | GBALLENA | COQUA | DGPTR | DOE | UPMEA | 1980 | 0.00000000 |
| 01/01/2011 | GBALLENA | COQUA | DGTER | DOE | UPMEA | 1980 | 0.00000000 |
| 01/01/2011 | GBALLENA | COQUA | DGVEH | DOE | UPMEA | 1980 | 0.00000000 |
| 01/01/2011 | GBALLENA | CORDSUC | DGCOM | DOE | UPMEA | 1980 | 0.00000000 |
| 01/01/2011 | GBALLENA | CORDSUC | DGDOM | DOE | UPMEA | 1980 | 0.00000000 |
| 01/01/2011 | GBALLENA | CORDSUC | DGIND | DOE | UPMEA | 1980 | 0.00000000 |
| 01/01/2011 | GBALLENA | CORDSUC | DGTER | DOE | UPMEA | 1980 | 0.00000000 |
| 01/01/2011 | GBALLENA | CORDSUC | DGVEH | DOE | UPMEA | 1980 | 0.00000000 |
| 01/01/2011 | GBALLENA | COSTAINT | DGCOM | DOE | UPMEA | 1980 | 25.0250000 |
| 01/01/2011 | GBALLENA | COSTAINT | DGDOM | DOE | UPMEA | 1980 | 92.5925000 |
| 01/01/2011 | GBALLENA | COSTAINT | DGIND | DOE | UPMEA | 1980 | 382.882500 |
| 01/01/2011 | GBALLENA | COSTAINT | DGTER | DOE | UPMEA | 1980 | 0.00000000 |
| 01/01/2011 | GBALLENA | COSTAINT | DGVEH | DOE | UPMEA | 1980 | 37.5375000 |
| 01/01/2011 | GBALLENA | CQR | DGCOM | DOE | UPMEA | 1980 | 0.00000000 |
| 01/01/2011 | GBALLENA | CQR | DGDOM | DOE | UPMEA | 1980 | 239.313343 |
| 01/01/2011 | GBALLENA | CQR | DGIND | DOE | UPMEA | 1980 | 0.00000000 |

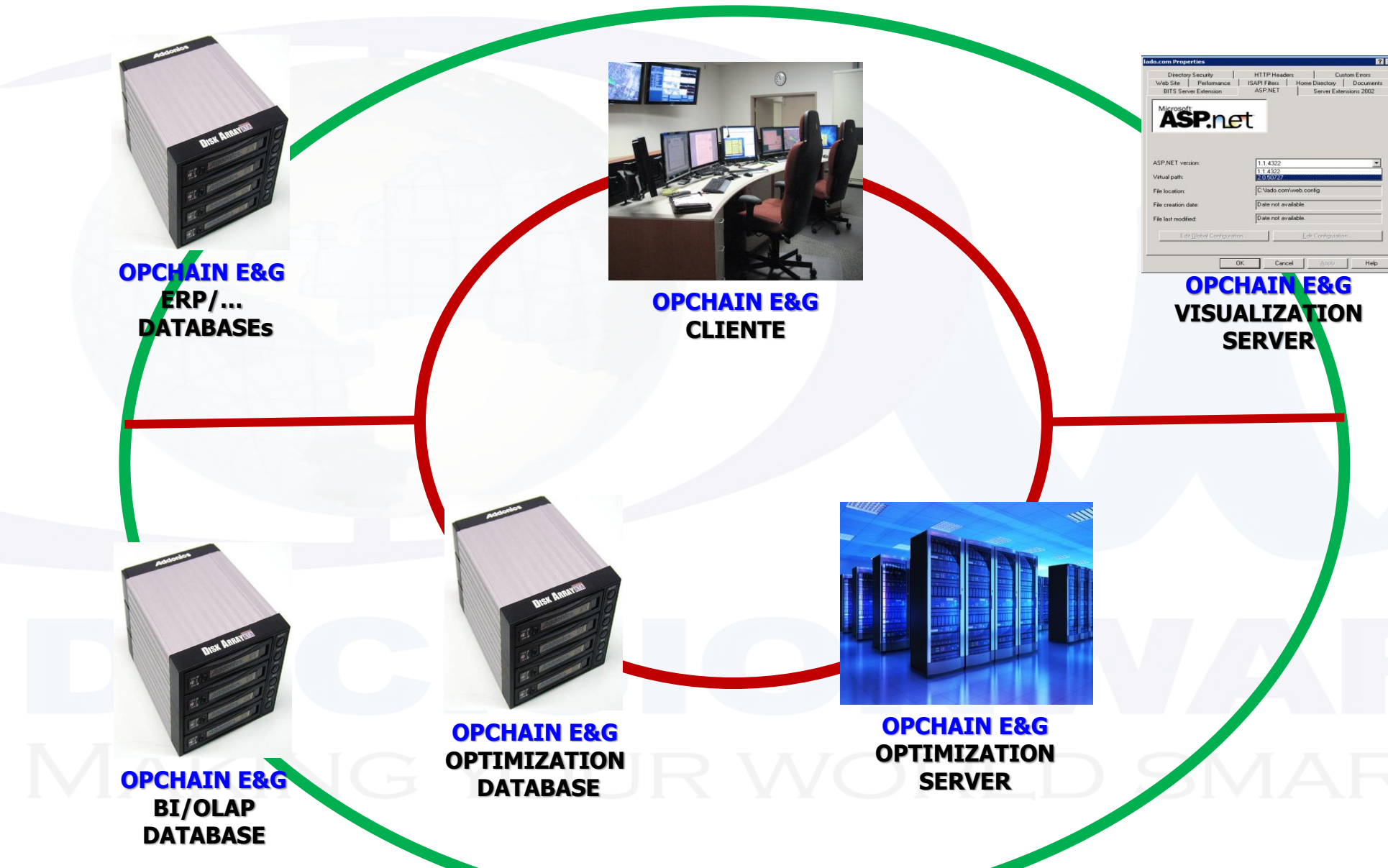
CONECTIVIDAD SISTEMAS DE INFORMACIÓN



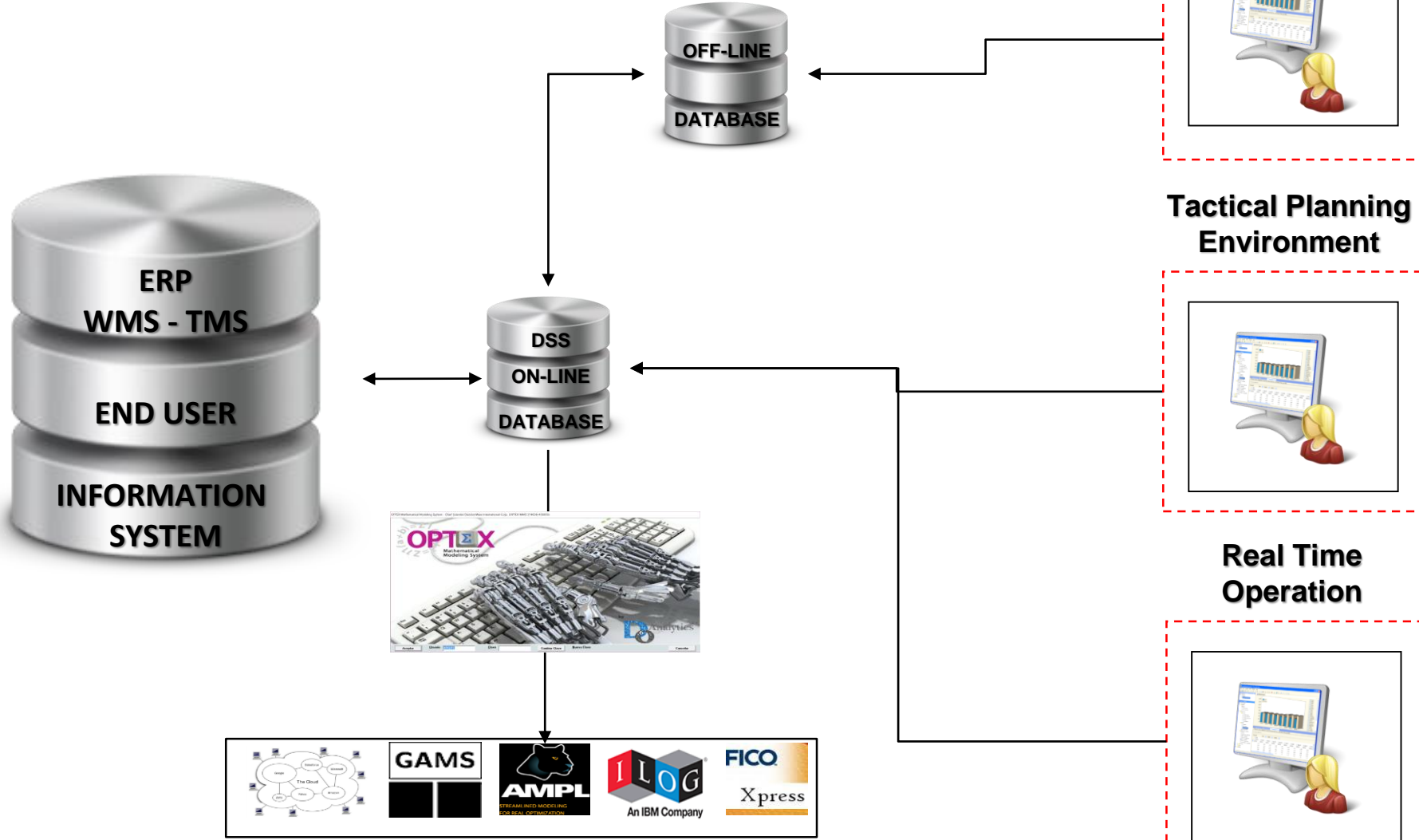
CONECTIVIDAD SISTEMAS DE INFORMACIÓN



SSD / OPCHAIN E&G – ARQUITECTURA CLIENTE-SERVIDOR



ARQUITECTURA FUNCIONAL



ENERGY SERVICES

ETRM:
Energy Trading & Risk Management

EFO:
Industrial Energy Efficiency Optimization

EPE:
Energy Project Evaluation

SGO:
Smarts Grids Optimization

MRR:
Modeling Regulatory Affairs

OIL:
OIL Supply Chain Optimization





**ACUMULA MAS DE VEINTE AÑOS DE EXPERIENCIA
RESOLVIENDO PROBLEMAS DE EMPRESAS DEL
SECTOR ENERGÍA UTILIZANDO PARA ELLO MODELOS
BASADOS EN
PROGRAMACIÓN MATEMÁTICA**

**PRINCIPALES
PROYECTOS EJECUTADOS**





Bogotá, Ciudad de México, D.C., Lima, Madrid, Santiago